



UNIVERSIDADE DE BRASÍLIA
FACULDADE DE MEDICINA
PROGRAMA DE PÓS-GRADUAÇÃO EM CIÊNCIAS MÉDICAS

**EFEITOS DA CURCUMINA NA EXPRESSÃO DE MICRORNAS EM CÉLULAS DE
CÂNCER DE PÂNCREAS, MAMA E OSTEOSSARCOMA**

ALAN JHONES BARBOSA DE ASSIS

BRASÍLIA – DF

2021

ALAN JHONES BARBOSA DE ASSIS

**EFEITOS DA CURCUMINA NA EXPRESSÃO DE MICRORNAS EM CÉLULAS DE
CÂNCER DE PÂNCREAS, MAMA E OSTEOSSARCOMA**

Dissertação apresentada ao Programa de Pós-graduação em Ciências Médicas da Universidade de Brasília como requisito parcial para obtenção do título de Mestre em Ciências Médicas.

Área de concentração: Ciências Aplicadas à Saúde.

Orientadora: Prof^a. Dr^a. Fabiana Pirani Carneiro

Co-orientadora: Prof^a. Dr^a. Andréa Barretto Motoyama

BRASÍLIA – DF

2021

ALAN JHONES BARBOSA DE ASSIS

**EFEITOS DA CURCUMINA NA EXPRESSÃO DE MICRORNAS EM CÉLULAS DE
CÂNCER DE PÂNCREAS, MAMA E OSTEOSARCOMA**

Dissertação apresentada ao Programa de Pós-graduação em Ciências Médicas da Universidade de Brasília como requisito parcial para obtenção do título de Mestre em Ciências Médicas.

Área de concentração: Ciências Aplicadas à Saúde.

Orientadora: Profª. Drª. Fabiana Pirani Carneiro

Co-orientadora: Profª. Drª. Andréa Barretto Motoyama

Aprovado em:

Banca Examinadora:

Profª. Drª. Fabiana Pirani Carneiro (Presidente)

Faculdade de Medicina, Universidade de Brasília

Profª. Drª. Marcella Lemos Brettas Carneiro (Membro interno)

Faculdade de Planaltina, Universidade de Brasília

Profª. Drª. Rosângela Vieira de Andrade (Membro externo)

Universidade Católica de Brasília

Profª. Drª. Leonora Maciel de Souza Vianna (Suplente)

Faculdade de Medicina, Universidade de Brasília

BRASÍLIA – DF

2021

AGRADECIMENTOS

Agradeço primeiramente e de forma imensa à minha família: ao meu pai Cloves e à minha mãe Ângela por todo o apoio e incentivo durante a minha vida, e por sempre acreditarem em mim. Obrigado por também aguentarem os meus estresses durante todo esse tempo de graduação e pós-graduação!

Gostaria de agradecer à professora Fabiana Pirani por ter aceitado, por estar sempre disposta a ajudar no que fosse necessário para o andamento do projeto. Também agradeço pelos chocolates e pela máquina de café, que permitiram seguir com o dia-a-dia no laboratório.

Gostaria de agradecer à professora Andréa Barreto Motoyama por ter me recebido em seu laboratório (desde a graduação), por correr atrás das necessidades e nunca poupar esforços para que as coisas acontecessem, por procurar colaborações sempre que não podia orientar, por atender aos pedidos, ouvir as ideias, reclamações, dúvidas e desesperos. Por todo o incentivo quando estava desanimado. Muito obrigado por tudo!

Agradeço ao Fábio William, vulgo Fabão, pelas conversas, resgates a passarinhos intrusos no laboratório e pelos cafés. Agradeço também à Ísis, Luma, Mariane, Andreanne e Tales por toda a ajuda e prestatividade no laboratório, além das conversas e companhia no laboratório.

Agradeço a todos aqueles da Universidade de Brasília que me ajudaram de alguma forma, permitindo o uso de algum equipamento, emprestando algum reagente, ensinando algum protocolo ou pela simples troca de ideias. A colaboração de vocês foi indispensável para a conclusão do projeto.

Agradeço à banca examinadora, por ter aceitado o convite e cedido o precioso tempo para leitura, avaliação e contribuições na arguição desse trabalho.

Por fim, agradeço às agências de fomento à pesquisa CAPES, FAP-DF, CNPq, bem como à FUB/UnB pelo apoio financeiro.

RESUMO

O câncer de pâncreas é uma das malignidades mais letais no mundo. Sua taxa de sobrevida de 5 anos é de cerca de 9%. A dificuldade de diagnóstico precoce, alta resistência à quimioterapia, falta de terapia alvo contribuem para sua letalidade. MicroRNAs são pequenos RNAs não codificantes que regulam negativamente a expressão de genes. O miRNA-145-5p se encontra com baixa expressão em diversos tipos de câncer, e tem se destacado como supressor tumoral uma vez que possui com alvos genes envolvidos em vias de sinalização celular relacionadas à pluripotência, proliferação, invasão e migração celular. O miRNA-1246 por sua vez vem sendo mais recentemente estudado, e se encontra hiperexpresso em diversos tipos de câncer, e tem se atribuído papel de oncomiR, estando relacionado à manutenção da proliferação celular, pluripotência e resistência a terapias. A curcumina é um fitoquímico muito utilizado como tempero na culinária asiática. Diversos estudos vêm mostrando seu potencial com agente antioxidante e antitumoral. Entretanto pouco se sabe sobre o papel da curcumina na modulação da expressão de miRNAs em geral e do miRNA-1246 em especial, ou deste próprio, no câncer de pâncreas,. O presente trabalho teve como objetivo investigar, *in vitro*, se o tratamento com curcumina altera o nível de expressão dos miRNAs miR-145-5p e miR-1246, bem como seus alvos, no câncer de pâncreas humano. Estratégias de bioinformática foram utilizadas para se compreender o papel biológico dos miRNAs, seu significado clínico, bem como de seus alvos. A linhagem celular PANC-1 foi tratada com curcumina e viabilidade celular foi avaliada pelo método colorimétrico de MTT. A expressão dos miRNAs miRNA-145-5p e miRNA-1246 foi medida por meio de RT-qPCR após tratamento com curcumina por 06h, 24h e 48h. A expressão dos genes alvos do miRNA-145-5p, e relacionados à pluripotência, OCT4, SOX2, KLF4 e c-MYC foi avaliada por meio de RT-qPCR após tratamento com curcumina por 06h, 24h e 48h. A expressão do gene alvo do miRNA-1246, CCNG2 e o gene predito CRADD foi avaliada por meio de RT-qPCR após tratamento com curcumina a 15 µM por 06h, 24h e 48h. O tratamento com curcumina reduziu a viabilidade de maneira estatisticamente significativa em quase todas as concentrações utilizadas. O tratamento com curcumina alterou de forma significativa a expressão de miR-145-5p em 06h após o tratamento com curcumina; de miR-1246 e OCT4 em 06h e 48h após tratamento; e de CCNG2 em 24h e 48h após tratamento. Esses resultados sugerem a existência de uma via de pluripotência, que pode ser ativada por compostos citotóxicos, com a curcumina, e que pode levar à resistência à quimioterapia e agressividade do tumor.

Palavras-chave: microRNA, curcumina, câncer de pâncreas, expressão gênica, pluripotência.

ABSTRACT

Pancreatic cancer is one of the deadliest malignancies in the world. Its 5-year survival rate is around 9%. Difficulty in early diagnosis, high resistance to chemotherapy and lack of targeted therapy all contribute to its high lethality. MicroRNAs are small non-coding RNAs that negatively regulate gene expression. MiRNA-145-5p is found with low expression in several types of cancer and has been proposed as a tumor suppressor because it targets genes that are involved in cell signaling pathways related to pluripotency, cell proliferation, invasion and migration. In turn, miRNA-1246 has only been more recently studied, and has been reported as overexpressed in several types of cancer. It has been assigned the role of 'oncomiR' (oncogenic miRNA), due to being related to the maintenance of cell proliferation, pluripotency and resistance to therapies. Curcumin is a phytochemical widely used as a spice in Asian cuisine. Several studies have shown its potential as an antioxidant and antitumor agent. However, little is known about the role of miRNA-1246 in pancreatic cancer, as well as about the role of curcumin in modulating the expression of miRNAs in pancreatic cancer. The present work aimed to investigate, *in vitro*, whether curcumin treatment alters the expression level of miRNAs miR-145-5p and miR-1246, as well as their targets, in human pancreatic cancer. Bioinformatics strategies were used to understand the biological role of miRNAs, their clinical significance, as well as their targets. The PANC-1 cell line was treated with curcumin and cell viability was evaluated by the MTT colorimetric assay. The expression of miRNAs miRNA-145-5p and miRNA-1246 was assayed by RT-qPCR after treatment with curcumin for 06h, 24h and 48h. The expression of target genes of miRNA-145-5p, and related to pluripotency, OCT4, SOX2, KLF4 and c-MYC was assayed by RT-qPCR after treatment with curcumin for 06h, 24h and 48h. The expression of the target gene of miRNA-1246, CCNG2 and the predicted gene CRADD was evaluated by RT-qPCR after treatment with curcumin at 15 µM for 06h, 24h and 48h. Treatment with curcumin significantly reduced viability at almost all concentrations used. Curcumin treatment statistically significantly altered miR-145-5p expression at 06h after curcumin treatment; miR-1246 and OCT4 at 06h and 48h after curcumin treatment; and CCNG2 at 24h and 48h after curcumin treatment. These results suggest the existence of a stemness pathway, which can be activated by cytotoxic compounds, such as curcumin, and which can lead to chemotherapy resistance and tumor aggressiveness.

Keywords: microRNA, curcumin, pancreatic cancer, gene expression, pluripotency.

LISTA DE ABREVIATURAS E SIGLAS

- 3'-UTR – terminação 3'-não traduzida
- AGO – Argonauta
- AJCC – *American Joint Committee on Cancer*
- ATCC – *American Type Culture Collection*
- BC – processo biológico (do inglês *biological process*)
- BCRJ – Banco de Células do Rio de Janeiro
- BRCA – câncer de mama
- CC – componente celular (do inglês *cellular component*)
- CCNG2 – *cyclin G2*
- cDNA – DNA complementar
- CRADD – *CASP2 and RIPK1 domain containing adaptor with death domain*
- CSC – células tronco de câncer (do inglês *cancer stem cells*)
- Cq – ciclo de quantificação (do inglês *quantification cycle*)
- DMEM – *Dulbecco's Modified Eagle's Medium*
- DMSO – dimetilsulfóxido
- DGCR8 – *DiGeorge 8*
- EGA – *European Genome-phenome Archive*
- EGFR – receptor do fator de crescimento epidérmico
- EMT – transição epitelial-mesenquimal (do inglês *epithelial-mesenchymal transition*)
- ESA – antígeno específico do epitélio (*epithelial specific antigen*)
- GAPDH – *glyceraldehyde-3-phosphate dehydrogenase*
- GEO – *Gene Expression Omnibus*
- GEPIA2 – *Gene Expression Profiling Interactive Analysis*
- GO – *Gene Ontology*
- GTEX – *Genotype-Tissue Expression*
- HR – razão de risco (do inglês *hazard ratio*)
- IC₅₀ – concentração necessária para inibir a viabilidade em 50%
- KEGG – *Kyoto Encyclopedia of Genes and Genomes*
- KLF4 – *krüppel-like factor 4*
- MAPKs – proteínas quinases ativadas por mitógenos
- METABRIC – *Molecular Taxonomy of Breast Cancer International Consortium*
- MF – função molecular (do inglês *molecular function*)
- miRISC – complexo silenciador induzido por miRNA
- miRNA/miR – microRNA
- mRNA – RNA mensageiro

MTT – (brometo de 3-(4,5-dimetiltiazol-2-il)-2,5-difeniltetrazolium)

MYC/c-MYC – MYC proto-oncogene

OCT4 – *octamer-binding transcription factor 4*

OS – sobrevida global (do inglês *overall survival*)

PAAD – câncer de pâncreas

PBS – solução salina tamponada com fosfato

ROC – Característica de Operação do Receptor (do inglês *Receiver Operating Characteristic Curve*)

RPMI 1640 – *Roswell Park Memorial Institute 1640*

RTKs – receptores tirosina quinase

SARC – sarcoma

SOD – superóxido dismutase (do inglês *superoxide dismutase*)

SOX2 – *SRY (sex determining region Y)-box 2*

TCGA – *The Cancer Genome Atlas*

TGF β – fator de crescimento transformante β

uPA – ativador de plasminogênio tipo-uroquinase (do inglês *urokinase-type plasminogen activator*, uPA)

XPO5 – Exportina 5

LISTA DE FIGURAS

Figura 1. As características adquiridas do câncer. Adaptado de (HANAHAN; WEINBERG, 2011)	13
Figura 2. Incidência e mortalidade de câncer de pâncreas no mundo. Número estimado de casos incidentes e mortes de 15 tipos de câncer em todo o mundo, no ano de 2020, em ambos os sexos, em todas as idades (entre 0 e 85+ anos). Adaptado de GLOBOCAN, [s.d.].....	14
Figura 3. Incidência e mortalidade de câncer de pâncreas no Brasil. Número estimado de casos incidentes e mortes de 15 tipos de câncer no Brasil, no ano de 2020, em ambos os sexos, em todas as idades (entre 0 e 85+ anos). Adaptado de GLOBOCAN, [s.d.]	15
Figura 4. Visão geral da via canônica de biogênese de miRNA e mecanismo de regulação da expressão gênica de seu mRNA alvo. Retirado de: (LIN; GREGORY, 2015).	20
Figura 5. Estrutura química da curcumina. Retirado de: (ZHOU et al., 2017).....	24
Figura 6. Diagrama de Venn mostrando possíveis 263 genes alvos do miR-145-5p em comum às três ferramentas de predição de alvos.	42
Figura 7. Diagrama de Venn mostrando possíveis 118 genes alvos do miR-1246 em comum às três ferramentas de predição de alvos.	43
Figura 8. Sequências 3'-UTR de alvos de miRNAs. A. Sequências dos alvos do miR-145-5p. B. Sequências dos alvos do miR-1246.....	44
Figura 9. A expressão de OCT4 analisada no banco de dados GEPIA2. Não houve diferença estatística na expressão entre as amostras para os tipos de câncer analisados (em vermelho) em comparação com seus respectivos controles (em cinza) BRCA: câncer de mama; PAAD: câncer de pâncreas; SARC: sarcoma; num(T): número de amostras tumorais; num(N): número de amostras normais.....	54
Figura 10. A expressão de SOX2 analisada no banco de dados GEPIA2. Não houve diferença estatística na expressão entre as amostras para os tipos de câncer analisados (em vermelho) em comparação com seus respectivos controles (em cinza). BRCA: câncer de mama; PAAD: câncer de pâncreas; SARC: sarcoma; num(T): número de amostras tumorais; num(N): número de amostras normais.....	55
Figura 11. A expressão de KLF4 analisada no banco de dados GEPIA2. A expressão de KLF4 foi significativamente regulada para baixo no grupo de amostras de tecido de câncer de mama, e para cima no grupo de amostras de câncer de pâncreas. Não houve diferença significativa na expressão entre os grupos de amostras de tecido de sarcoma e controle. Amostras de câncer em vermelho, e amostras controle normais em cinza. BRCA: câncer de mama; PAAD: câncer de pâncreas; SARC: sarcoma; num(T): número de amostras tumorais; num(N): número de amostras normais; *p<0,01	56
Figura 12. A expressão de c-MYC analisada no banco de dados GEPIA2. A expressão de c-MYC foi significativamente regulado para baixo no grupo de amostras de tecido de câncer de mama. Não houve diferença significativa na expressão entre os grupos de amostras de tecido de câncer de pâncreas e de sarcoma com seus respectivos controles. Amostras de câncer em vermelho, e amostras controle normais em cinza. BRCA: câncer de mama; PAAD: câncer de pâncreas; SARC: sarcoma; num(T): número de amostras tumorais; num(N): número de amostras normais; *p<0,01	57
Figura 13. A expressão de CCNG2 analisada no banco de dados GEPIA2. A expressão de CCNG2 foi significativamente regulado para cima no grupo de amostras de tecido de câncer de pâncreas. Não houve diferença significativa na expressão entre os grupos de amostras de tecido de câncer de mama e de sarcoma com seus respectivos controles. Amostras de câncer em vermelho, e amostras controle normais em cinza. BRCA: câncer de mama; PAAD: câncer de pâncreas; SARC: sarcoma; num(T): número de amostras tumorais; num(N): número de amostras normais; *p<0,01	58
Figura 14. A expressão de CRADD analisada no banco de dados GEPIA2. Não houve diferença estatística na expressão entre as amostras para os tipos de câncer analisados (em	

vermelho) em comparação com seus respectivos controles (em cinza). BRCA: câncer de mama; PAAD: câncer de pâncreas; SARC: sarcoma; num(T): número de amostras tumorais; num(N): número de amostras normais.....	59
Figura 15. Valor prognóstico da expressão de miR-145 e de miR-1246 na coorte de câncer de pâncreas. A. Kaplan-Meier com curva de sobrevida global de acordo com níveis de expressão de miR-145. B. Kaplan-Meier com curva de sobrevida global de acordo com níveis de expressão de miR-1246. Linha preta representa o grupo com baixa expressão e linha vermelha representa o grupo com alta expressão. Não houve diferença estatisticamente significativa na OS entre pacientes com baixa e alta expressão de miR-145. A OS é significativamente menor no grupo de pacientes com alta expressão de miR-1246. Logrank P<0,05 foi considerado estatisticamente significativo.	60
Figura 16. Valor prognóstico da expressão de miR-145 e de miR-1246 na coorte de câncer de mama. A. Kaplan-Meier com curva de sobrevida global de acordo com níveis de expressão de miR-145. B. Kaplan-Meier com curva de sobrevida global de acordo com níveis de expressão de miR-1246. Linha preta representa o grupo com baixa expressão e linha vermelha representa o grupo com alta expressão. Não houve diferença estatisticamente significativa na OS entre pacientes com baixa e alta expressão de miR-145. A OS é significativamente menor no grupo de pacientes com alta expressão de miR-1246. Logrank P<0,05 foi considerado estatisticamente significativo.	61
Figura 17. Valor prognóstico da expressão de miR-145 e de miR-1246 na coorte de sarcoma. A. Kaplan-Meier com curva de sobrevida global de acordo com níveis de expressão de miR-145. B. Kaplan-Meier com curva de sobrevida global de acordo com níveis de expressão de miR-1246. Linha preta representa o grupo com baixa expressão e linha vermelha representa o grupo com alta expressão. Não houve diferença estatisticamente significativa na OS entre pacientes com baixa e alta expressão de miR-145 e de miR-1246. Logrank P<0,05 foi considerado estatisticamente significativo.....	61
Figura 18. Valor prognóstico de genes alvo de miR-145 na coorte de câncer de pâncreas. A. Kaplan-Meier com curva de sobrevida global de acordo com níveis de expressão de OCT4. B. Kaplan-Meier com curva de sobrevida global de acordo com níveis de expressão de SOX2. C. Kaplan-Meier com curva de sobrevida global de acordo com níveis de expressão de OCT4 (POU5F1), KLF4, MYC. Linha preta representa o grupo com baixa expressão e linha vermelha representa o grupo com alta expressão. A OS é significativamente menor no grupo de pacientes com alta expressão de OCT4 (POU5F1), KLF4, MYC. Logrank P<0,05 foi considerado estatisticamente significativo.....	63
Figura 19. Valor prognóstico de genes alvo de miR-1246 na coorte de câncer de pâncreas. A. Kaplan-Meier com curva de sobrevida global para CCNG2. B. Kaplan-Meier com curva de sobrevida global para CRADD. Linha preta representa o grupo com baixa expressão e linha vermelha representa o grupo com alta expressão. A OS é significativamente menor no grupo de pacientes com alta expressão de CCNG2. Logrank P<0,05 foi considerado estatisticamente significativo.....	64
Figura 20. Valor prognóstico de genes alvo de miR-145 na coorte de câncer de mama. A. Kaplan-Meier com curva de sobrevida global de acordo com níveis de expressão de OCT4. B. Kaplan-Meier com curva de sobrevida global de acordo com níveis de expressão de SOX2. C. Kaplan-Meier com curva de sobrevida global de acordo com níveis de expressão de OCT4 (POU5F1) e MYC. Linha preta representa o grupo com baixa expressão e linha vermelha representa o grupo com alta expressão. A OS é significativamente menor no grupo de pacientes com baixa expressão de OCT4 (POU5F1) e MYC. Logrank P<0,05 foi considerado estatisticamente significativo.....	65
Figura 21. Valor prognóstico de genes alvo de miR-1246 na coorte de câncer de mama. A. Kaplan-Meier com curva de sobrevida global para CCNG2. B. Kaplan-Meier com curva de sobrevida global para CRADD. Linha preta representa o grupo com baixa expressão e linha vermelha representa o grupo com alta expressão. A OS é significativamente menor no grupo de pacientes com alta expressão de CRADD. Logrank P<0,05 foi considerado estatisticamente significativo.....	66
Figura 22. Valor prognóstico de genes alvo de miR-145 na coorte de sarcoma. A. Kaplan-Meier com curva de sobrevida global de acordo com níveis de expressão de OCT4. B. Kaplan-	

Meier com curva de sobrevida global de acordo com níveis de expressão de SOX2. C. Kaplan-Meier com curva de sobrevida global de acordo com níveis de expressão Linha preta representa o grupo com baixa expressão e linha vermelha representa o grupo com alta expressão. A OS é significativamente menor no grupo de pacientes com alta expressão de SOX2 e MYC. Logrank P<0,05 foi considerado estatisticamente significativo.....	67
Figura 23. Valor prognóstico de genes alvo de miR-1246 na coorte de sarcoma. A. Kaplan-Meier com curva de sobrevida global para CCNG2. B. Kaplan-Meier com curva de sobrevida global para CRADD. Linha preta representa o grupo com baixa expressão e linha vermelha representa o grupo com alta expressão. A OS é significativamente menor no grupo de pacientes com baixa expressão de CRADD. Logrank P<0,05 foi considerado estatisticamente significativo.....	68
Figura 24. Expressão relativa de miR-145-5p nas diferentes linhagens utilizadas. N=1.....	69
Figura 25. Expressão relativa de miR-1246 nas diferentes linhagens utilizadas. N=1..	70
Figura 26. Expressão relativa de OCT4 nas diferentes linhagens. N=1	71
Figura 27. Expressão relativa de SOX2 nas diferentes linhagens utilizadas. N=1	72
Figura 28. Expressão relativa de KLF4 nas diferentes linhagens utilizadas. N=1.....	73
Figura 29. Expressão relativa de MYC nas diferentes linhagens utilizadas. N=1.....	74
Figura 30. Expressão relativa de CCNG2 nas diferentes linhagens utilizadas. N=1....	75
Figura 31. Expressão relativa de CRADD nas diferentes linhagens utilizadas. N=1....	76
Figura 32. Efeitos da curcumina na viabilidade celular da linhagem PANC-1. A. Viabilidade celular após 24h de tratamento. B. Viabilidade Celular após 48h de tratamento. Curcumina reduziu viabilidade celular de forma estatisticamente significante em relação ao controle em quase todas as concentrações utilizadas, nos dois tempos. Dados em percentual e normalizados em relação ao controle DMSO. Experimento realizado única vez em quadruplicata. Dados expressos como média (\pm erro padrão da média) e analisados por ANOVA de uma via, seguida pelo teste de Tukey (*p<0,05; **p<0,01; ***p<0,001; ****p<0,0001; ns = não significativo).	77
Figura 33. Curva dose-resposta da curcumina e IC₅₀. A. Curva dose-resposta da curcumina e IC ₅₀ no tempo de 24h. B. Curva dose-resposta da curcumina e IC ₅₀ no tempo de 48h. Gráfico em função logarítmica da concentração em relação à viabilidade celular. Os respectivos valores de IC ₅₀ foram calculados após análise de regressão não linear das respectivas curvas de dose-resposta. Dados normalizados com o controle DMSO. Experimento realizado única vez em quadruplicata.....	77
Figura 34. Expressão relativa de miR-145-5p após tratamento com curcumina 15 μM. A. Células PANC-1 expostas à curcumina após 06h mostraram aumento de 1,80 (\pm 0,36) vezes na expressão de miR-145-5p. B. Células PANC-1 expostas à curcumina após 24h mostraram diminuição de 0,86 (\pm 0,11) vezes na expressão de miR-145-5p. N = 3. Ensaio de RT-qPCR realizados em duplicata, normalizados pelo gene de referência RNU6B. Expressão relativa calculada pelo método 2 ^{-ΔΔCq} e analisada pelo teste t de Student (*p<0,05; **p<0,01; ***p<0,001; ****p<0,0001; ns = não significativo).	78
Figura 35. Expressão relativa de miR-1246 após tratamento com curcumina 15 μM. A. Células PANC-1 expostas à curcumina após 06h mostraram aumento de 2,26 (\pm 0,32) vezes na expressão de miR-1246. B. Células PANC-1 expostas à curcumina após 24h mostraram aumento de 1,70 (\pm 0,60) vezes na expressão de miR-1246. C. Células PANC-1 expostas à curcumina após 48h mostraram aumento de 4,36 (\pm 1,59) vezes na expressão de miR-1246. N = 3. Ensaio de RT-qPCR realizados em duplicata, normalizados pelo gene de referência RNU6B. Expressão relativa calculada pelo método 2 ^{-ΔΔCq} e analisada pelo teste t de Student (*p<0,05; **p<0,01; ***p<0,001; ****p<0,0001; ns = não significativo).	79
Figura 36. Expressão relativa de OCT4 após tratamento com curcumina 15 μM. A. Células PANC-1 expostas à curcumina após 06h mostraram aumento de 3,70 (\pm 1,34) vezes na expressão de OCT4. B. Células PANC-1 expostas à curcumina após 24h mostraram diminuição de 0,82 (\pm 0,24) vezes na expressão de OCT4. C. Células PANC-1 expostas à curcumina após 48h mostraram aumento de 1,75 (\pm 0,04) vezes na expressão de OCT4. N = 3. Ensaio de RT-qPCR realizados em duplicata, normalizados pelo gene de referência	

RNU6B. Expressão relativa calculada pelo método $2^{-\Delta\Delta C_q}$ e analisada pelo teste t de Student (*p<0,05; **p<0,01; ***p<0,001; ****p<0,0001; ns = não significativo).....	80
Figura 37. Expressão relativa de SOX2 após tratamento com curcumina 15 µM. A. Células PANC-1 expostas à curcumina após 06h mostraram aumento de 1,26 ($\pm 0,43$) vezes na expressão de SOX2. B. Células PANC-1 expostas à curcumina após 24h mostraram diminuição de 0,98 ($\pm 0,24$) vezes na expressão de SOX2. C. Células PANC-1 expostas à curcumina após 48h mostraram aumento de 1,14 ($\pm 0,06$) vezes na expressão de SOX2. N = 3. Ensaios de RT-qPCR realizados em duplicita, normalizados pelo gene de referência RNU6B. Expressão relativa calculada pelo método $2^{-\Delta\Delta C_q}$ e analisada pelo teste t de Student (A) ou teste de Mann-Whitney (B e C) (*p<0,05; **p<0,01; ***p<0,001; ****p<0,0001; ns = não significativo).....	81
Figura 38. Expressão relativa de KLF4 após tratamento com curcumina 15 µM. A. Células PANC-1 expostas à curcumina após 06h mostraram aumento de 1,41 ($\pm 0,28$) vezes na expressão de KLF4. B. Células PANC-1 expostas à curcumina após 24h mostraram aumento de 1,11 ($\pm 0,08$) vezes na expressão de KLF4. C. Células PANC-1 expostas à curcumina após 48h mostraram aumento de 1,55 ($\pm 0,10$) vezes na expressão de KLF4. N = 3. Ensaios de RT-qPCR realizados em duplicita, normalizados pelo gene de referência RNU6B. Expressão relativa calculada pelo método $2^{-\Delta\Delta C_q}$ e analisada pelo teste t de Student (*p<0,05; **p<0,01; ***p<0,001; ****p<0,0001; ns = não significativo).....	81
Figura 39. Expressão relativa de MYC após tratamento com curcumina 15 µM. A. Células PANC-1 expostas à curcumina após 06h mostraram aumento de 1,21 ($\pm 0,10$) vezes na expressão de MYC. B. Células PANC-1 expostas à curcumina após 24h mostraram diminuição de 0,69 ($\pm 0,23$) vezes na expressão de MYC. C. Células PANC-1 expostas à curcumina após 48h mostraram diminuição de 0,83 ($\pm 0,03$) vezes na expressão de MYC. N = 3. Ensaios de RT-qPCR realizados em duplicita, normalizados pelo gene de referência RNU6B. Expressão relativa calculada pelo método $2^{-\Delta\Delta C_q}$ e analisada pelo teste t de Student (*p<0,05; **p<0,01; ***p<0,001; ****p<0,0001; ns = não significativo).....	82
Figura 40. Expressão relativa de CCNG2 após tratamento com curcumina 15 µM. A. Células PANC-1 expostas à curcumina após 06h mostraram aumento de 1,26 ($\pm 0,17$) vezes na expressão de CCNG2. B. Células PANC-1 expostas à curcumina após 24h mostraram diminuição de 0,80 ($\pm 0,05$) vezes na expressão de CCNG2. C. Células PANC-1 expostas à curcumina após 48h mostraram diminuição de 0,66 ($\pm 0,01$) vezes na expressão de CCNG2. N = 3. Ensaios de RT-qPCR realizados em duplicita, normalizados pelo gene de referência RNU6B. Expressão relativa calculada pelo método $2^{-\Delta\Delta C_q}$ e analisada pelo teste t de Student (*p<0,05; **p<0,01; ***p<0,001; ****p<0,0001; ns = não significativo).....	83
Figura 41. Expressão relativa de CRADD após tratamento com curcumina 15 µM. A. Células PANC-1 expostas à curcumina após 06h mostraram aumento de 1,39 ($\pm 0,49$) vezes na expressão de CRADD. B. Células PANC-1 expostas à curcumina após 24h mostraram diminuição de 0,61 ($\pm 0,06$) vezes na expressão de CRADD. C. Células PANC-1 expostas à curcumina após 48h mostraram diminuição de 0,89 ($\pm 0,03$) vezes na expressão de CRADD. N = 3. Ensaios de RT-qPCR realizados em duplicita, normalizados pelo gene de referência RNU6B. Expressão relativa calculada pelo método $2^{-\Delta\Delta C_q}$ e analisada pelo teste t de Student (B e C) ou teste de Mann-Whitney (A) (*p<0,05; **p<0,01; ***p<0,001; ****p<0,0001; ns = não significativo).....	84
Figura 42. Representação esquemática de via proposta. A. curcumina pode ativar a transcrição de OCT4, que por sua vez ativa a transcrição de miR-1246. Este então inibe a tradução de CCNG2. B. MiR-145-5p pode regular negativamente a tradução de OCT4, não transcrevendo miR-1246, que por sua vez não inibiria a transcrição de CCNG2. Setas verdes indicam ativação/transcrição; bloco vermelho indica repressão; o efeito da ativação/transcrição ou repressão está indicado na caixa branca abaixo de cada componente da via proposta.....	88

LISTA DE TABELAS

Tabela 1 - Classificação TNM de câncer de pâncreas	Erro! Indicador não definido.
Tabela 2 - Características de linhagens celulares utilizadas	Erro! Indicador não definido.
Tabela 3 - Quantidades e concentrações dos reagentes utilizados na síntese de cDNA.	Erro! Indicador não definido.
Tabela 4 - Configurações do termociclador para síntese de cDNA.	Erro! Indicador não definido.
Tabela 5 - Quantidades e concentrações dos reagentes utilizados na síntese de cDNA.	Erro! Indicador não definido.
Tabela 6 - Configurações do termociclador para síntese de cDNA.	Erro! Indicador não definido.
Tabela 7 - Informações sobre miRNAs e controle endógeno ..	Erro! Indicador não definido.
Tabela 8 - Componentes da reação de RT-qPCR.....	Erro! Indicador não definido.
Tabela 9 - Parâmetros de ciclagem térmica.....	Erro! Indicador não definido.
Tabela 10 - Informações sobre alvos e controle endógeno.....	Erro! Indicador não definido.
Tabela 11 - Componentes da reação de RT-qPCR para alvos.	Erro! Indicador não definido.
Tabela 12 - Parâmetros de ciclagem térmica para alvos.....	Erro! Indicador não definido.
Tabela 13 - Enriquecimento da via KEGG e anotação funcional GO de possíveis genes alvo de miR-145-5p.....	45
Tabela 14 - Enriquecimento da via KEGG e anotação funcional GO de possíveis genes alvo de miR-1246.	51

SUMÁRIO

1. INTRODUÇÃO	11
1.1 Biologia do Câncer	11
1.2 Câncer de Pâncreas.....	13
1.2.1 Epidemiologia e Fatores de Risco	14
1.2.2 Diagnóstico e Estadiamento.....	16
1.2.3 Tratamento.....	17
1.2.4 Aspectos Moleculares	17
1.3 Células Tronco de Câncer	18
1.4 MicroRNAs e Câncer de Pâncreas	19
1.5 Câncer de mama	22
1.6 Sarcoma.....	23
1.7 Curcumina	23
2. JUSTIFICATIVA	26
3. OBJETIVOS.....	27
3.1 Objetivo Geral	27
3.2 Objetivos Específicos	27
4. METODOLOGIA.....	28
4.1 Análise de Bioinformática	28
4.1.1 Elaboração de lista de possíveis alvos regulados por miRNAs.....	28
4.1.2 Análise de enriquecimento funcional da sobreposição de possíveis genes alvos	28
4.1.3 Análise de perfil de expressão de alvos em servidor <i>online</i>	29
4.1.4 Análise de sobrevida Kaplan-Meier	30
4.2 Células e Cultivo	30
4.3 Extração, Quantificação e Integridade de RNA Total	32
4.4 Síntese de DNA Complementar.....	33
4.5 Quantificação de miRNAs e alvos por RT-qPCR	35
4.6 Curcumina	40
4.7 Ensaio de viabilidade celular para curva dose-resposta e tratamento	40
4.8 Análise Estatística	41
5. RESULTADOS.....	42
5.1 Análise de Bioinformática	42
5.1.1 Elaboração de lista de possíveis alvos regulados por miRNAs.....	42
5.1.2 Análise de enriquecimento funcional da sobreposição de possíveis genes alvos	44
5.1.3 Análise <i>in silico</i> de perfil de expressão de alvos	54
5.1.4 Análise de sobrevida Kaplan-Meier	59
5.2 Expressão endógena de miRNAs em linhagens de câncer	68
5.3 Expressão endógena de mRNAs alvos em linhagens de câncer	70
5.4 Efeito da curcumina na viabilidade celular	76

5.5 Efeito da curcumina na expressão de miRNAs.....	78
5.6 Efeito da curcumina na expressão de mRNAs.....	79
6. DISCUSSÃO	85
7. CONCLUSÕES.....	92
8. REFERÊNCIAS BIBLIOGRÁFICAS.....	93
9. ANEXOS	101

1. INTRODUÇÃO

1.1 Biologia do Câncer

O termo neoplasia significa novo crescimento. As células neoplásicas possuem características que as diferem de células não-neoplásicas, e são ditas transformadas porque se replicam de forma descontrolada, não respeitando os processos regulatórios do crescimento celular normal. As neoplasias são comumente referidas como tumores. Os tumores são classificados como tumores benignos e tumores malignos; apenas tumores malignos são denominados de câncer. Existem quatro características fundamentais pelas quais se podem distinguir tumores benignos e malignos: diferenciação, velocidade de crescimento, invasão local e disseminação de células do local de origem para outros locais no corpo - processo conhecido como metástase. Tumores benignos são mais bem diferenciados do que malignos. Isto significa que os tumores benignos são mais semelhantes morfológica e funcionalmente às células normais do tecido de origem do que os tumores malignos. Em relação ao crescimento, tumores benignos apresentam crescimento de mais lento, ordenado e com limites mais bem definidos do que os malignos. O potencial invasivo é o que melhor difere tumores benignos dos malignos, sendo os malignos possuidores da capacidade de invasão de tecidos adjacentes, podendo atingir a circulação sanguínea e linfática (PECORINO, 2012; WEINBERG, 2013).

O crescimento desregulado pode ser causado por mutações em genes supressores de tumor e/ou em proto-oncogenes. Os genes supressores de tumor incluem genes cujas funções estão relacionadas à inibição do crescimento e proliferação celular, regulação da morte celular programada (processo conhecido como apoptose) e reparo do DNA. Existem ainda alterações adicionais, tal como hipermetilação na região promotora de transcrição de genes supressores de tumor, que ocorrem principalmente nas repetições de resíduos de citosina que precedem guanina - dinucleotídeo citosina-fosfato-guanina (CpG) presentes na região promotora, levando ao silenciamento transcricional de genes supressores de tumor (PECORINO, 2012). Outras modificações epigenéticas, como a acetilação e metilação de histonas também podem resultar tanto na hiper-expressão de oncogenes, quanto no silenciamento de genes supressores de tumor (KHAN et al., 2021; NEUREITER et al., 2014; PECORINO, 2012).

O acúmulo de mutações, dentre outras alterações, como as epigenéticas, permitiram conceber o que hoje se conhecem como as características do câncer (HANAHAN; WEINBERG, 2011) (Figura 1). Elas sumarizam as capacidades biológicas adquiridas durante o desenvolvimento em múltiplas etapas de tumores. São eles: (1) manutenção ativa das vias

de sinalização proliferativa, gerada por estímulo autócrino e parácrino de fatores de crescimento e uma hiperatividade/hiperexpressão de seus receptores e de componentes de sua via de sinalização, (2) evasão da supressão de crescimento, que envolve a repressão de genes responsáveis por regular negativamente a proliferação celular, como os que reconhecem e realizam reparos de danos ao DNA; (3) resistência à apoptose, causada por um aumento da expressão de genes anti-apoptóticos e/ou redução de genes pró-apoptóticos; (4) potencial replicativo ilimitado, devido a expressão da enzima telomerase, evitando encurtamentos dos telômeros, e assim, que as células entrem em senescência e adquiram imortalidade celular; (5) indução de angiogênese, por meio da criação de novos vasos sanguíneos para suprir necessidades de oxigênio e nutrientes, além de também contribuir para o processo de metástase; (6) invasividade e metástase, relacionada à capacidade de regular negativamente a expressão de moléculas de adesão célula-célula e célula-matriz e regular positivamente genes que expressam moléculas relacionadas à migração celular; (7) instabilidade genômica e mutabilidade, que conferem às células cancerígenas alterações genéticas que conduzem à expansão clonal e progressão tumoral; (8) promoção de processo inflamatório, a fim de recrutar fatores que facilitem o crescimento, a angiogênese, a invasão e metástase; (9) desregulação do metabolismo energético, ocasionada por uma maior captura de glicose para suprir as necessidades metabólicas, bem como a utilização do lactato, produzido do metabolismo da glicose, como fonte de energia; (10) prevenção da destruição imune, inibindo componentes do sistema imunológico através da expressão de moléculas imunossuppressoras ou recrutando células inflamatórias imunossuppressoras (HANAHAN; WEINBERG, 2011).



Figura 1. As características adquiridas do câncer. Adaptado de (HANAHAN; WEINBERG, 2011).

1.2 Câncer de Pâncreas

O pâncreas é um órgão misto, possuindo uma parte exócrina e endócrina. Está localizado na região retroperitoneal da parte superior cavidade abdominal. Geralmente refere-se às várias partes do pâncreas como cabeça, corpo e cauda. A cabeça confina com a segunda porção em forma de C do duodeno no quadrante superior direito do abdômen. A cauda emerge na cavidade peritoneal (coberta pela serosa peritoneal) e se estende até o hilo do baço no quadrante superior esquerdo. O pâncreas exócrino é formado por células acinares e ductos com tecido conjuntivo, vasos e nervos associados. Produz e secreta enzimas digestivas e joga no duodeno. Compreende mais de 95% da massa pancreática. O pâncreas endócrino é formado por um grupo de células comumente chamadas ilhotas de Langerhans. Existem cinco tipos de células reconhecidas nas ilhotas: células α , β , δ , ϵ e PP, que produzem os hormônios glucagon, insulina, somatostatina, grelina e polipeptídeo pancreático, respectivamente. A porção exócrina compreende 1-2% da massa pancreática. O pâncreas pesa cerca de 100 g e tem cerca de 14-25 cm de comprimento (BEGER, 2018).

Os tumores que afetam o pâncreas exócrino representam cerca de 95% de todos os cânceres pancreáticos. Compreendem diferentes subtipos histológicos, sendo os adenocarcinomas o maior grupo. Os tumores endócrinos podem ser benignos ou malignos e funcionais (produzindo hormônios) ou não funcionais (não produzindo hormônios) e

geralmente têm um prognóstico melhor do que os tumores exócrinos (NEOPTOLEMOS et al., 2018). O adenocarcinoma ductal pancreático é o foco do presente trabalho, e sendo assim, o termo câncer de pâncreas utilizado neste trabalho refere-se a ele. O desenvolvimento do adenocarcinoma ductal pancreático é um processo de múltiplos estágios que envolve alterações genéticas e epigenéticas. Tais alterações resultam em anormalidades histológicas e morfológicas dentro das células ductais do pâncreas, formando estruturas semelhantes a papilares. Essas lesões papilares se transformam em lesões pré-neoplásicas mais complicadas, conhecidas como neoplasia intraepitelial pancreática (PanIN). Essa neoplasia é considerada o passo inicial para a formação do câncer de pâncreas e é classificada com base na morfologia celular como PanIN-1A, PanIN-1B, PanIN-2 ou PanIN-3. Conforme aumenta o grau, há aumento da atipia celular e nuclear. Sendo assim, como resultado do surgimento das PanINs, estruturas mais complicadas se desenvolvem, progredindo para o carcinoma propriamente dito (REN; LIU; SURIAWINATA, 2019).

1.2.1 Epidemiologia e Fatores de Risco

Segundo a estimativa do *Global Cancer Observatory* 2020 (GLOBOCAN), no ano de 2020 foi estimada a incidência de 495.773 mil casos de câncer de pâncreas em todo o mundo, com morte estimada de 466.003 mil casos (GLOBOCAN, [s.d.]) (Figura 2). Sendo assim, sua taxa de letalidade é extremamente alta, de aproximadamente 94%.

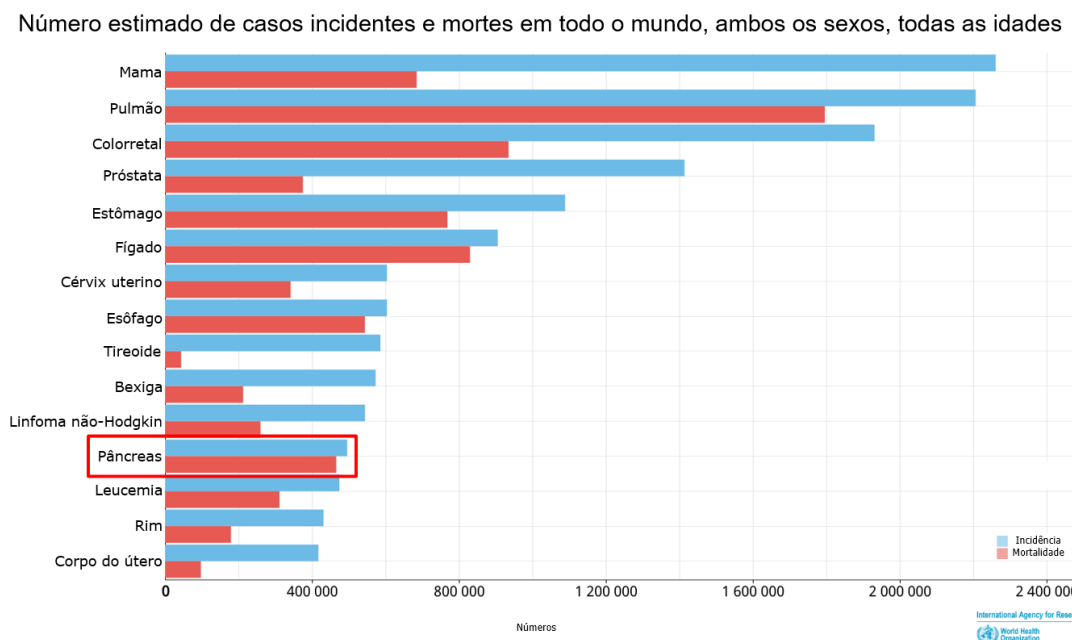


Figura 2. Incidência e mortalidade de câncer de pâncreas no mundo. Número estimado de casos incidentes e mortes de 15 tipos de câncer em todo o mundo, no ano de 2020, em ambos os sexos, em todas as idades (entre 0 e 85+ anos). Adaptado de GLOBOCAN, [s.d.].

O Instituto Nacional do Câncer (INCA) não publica as taxas de incidência desse tumor junto à estimativa anual das neoplasias mais frequentes no país. Entretanto, segundo o GLOBOCAN 2020, para o Brasil, foram estimados 13.307 mil novos casos de câncer de pâncreas e 12.911 mil óbitos totais (GLOBOCAN, [s.d.]) (Figura 3).

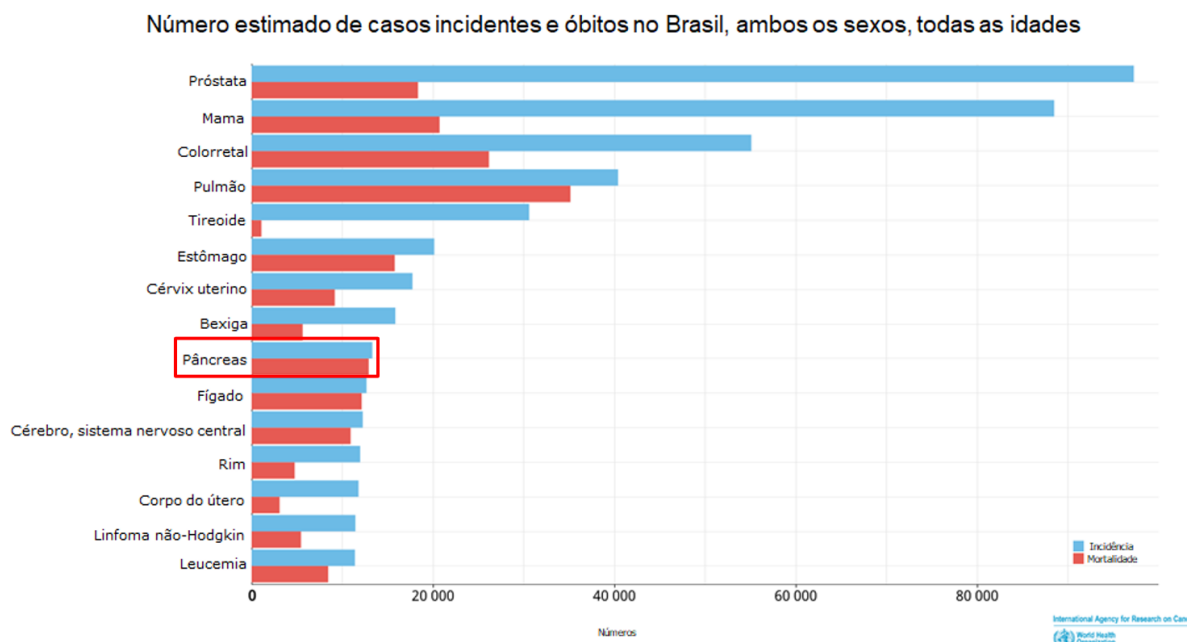


Figura 3. Incidência e mortalidade de câncer de pâncreas no Brasil. Número estimado de casos incidentes e mortes de 15 tipos de câncer no Brasil, no ano de 2020, em ambos os sexos, em todas as idades (entre 0 e 85+ anos). Adaptado de GLOBOCAN, [s.d.].

De 2014 a 2018, a taxa de sobrevida de 5 anos para câncer de pâncreas aumentou de 6% para 9%. (RAWLA; SUNKARA; GADUPUTI, 2019). Isto denota que estão ocorrendo avanços no tratamento e manejo da doença. Entretanto este tipo de câncer continua sendo um dos mais letais, e pesquisas relacionadas a ele precisam continuar e avançar.

Um dos fatores de risco é o tabagismo, uma vez que fumantes têm um risco duas a três vezes maior de desenvolver câncer de pâncreas do que os não fumantes. Inflamação, mais especificamente a pancreatite crônica também se relaciona com aumento do risco de câncer. O consumo de álcool em excesso está relacionado ao aumento de risco, uma vez que é a principal causa de pancreatite crônica. A obesidade também está relacionada ao câncer de pâncreas, bem como alguns fatores nutricionais e dietéticos, incluindo alto consumo de gorduras saturadas, baixa ingestão de vegetais e frutas e consumo de carnes vermelhas. *Diabetes mellitus* a longo prazo aproximadamente duplica o risco de câncer pancreático, sugerindo que é tanto um fator de risco para doença como consequência da doença (KAMISAWA et al., 2016; RAWLA; SUNKARA; GADUPUTI, 2019; SMOLLE et al., 2017). Vale

notar também que alguns desses fatores de risco são ligados ao estilo de vida e modificáveis. Dessa forma, há chances desse câncer agressivo ser prevenido.

1.2.2 Diagnóstico e Estadiamento

Os sinais e sintomas do câncer de pâncreas são inespecíficos e só se apresentam nos estágios mais avançados da doença. Incluem icterícia, perda de peso inexplicável, dispepsia, dor abdominal e nas costas, náusea e vômitos, diabetes mellitus de início recente (KEANE et al., 2014). O diagnóstico geralmente é feito através de exames de imagem. Após a triagem e diagnóstico, realiza-se o estadiamento do tumor, para que se saiba a extensão do tumor primário a fim de avaliar prognóstico e direcionar o tratamento. O sistema utilizado atualmente para se realizar o estadiamento do tumor é o TNM, elaborado pela *American Joint Committee on Cancer* (AJCC) (CONG et al., 2018). A classificação do sistema é feita pela extensão do tumor primário (T), pelo grau de disseminação para os linfonodos (N) e pela presença de metástases (M). A Tabela 1 apresenta os detalhes do estadiamento TNM.

Tabela 1 - Classificação TNM de câncer de pâncreas

Tumor primário (T)	
T1	Diâmetro máximo do tumor ≤ 2 cm
T2	Diâmetro máximo do tumor > 2 cm, ≤ 4 cm
T3	Diâmetro máximo do tumor > 4 cm
T4	O tumor envolve o eixo celíaco, a artéria hepática comum ou a artéria mesentérica superior
Linfonodos regionais (N)	
N0	Sem metástase nos linfonodos regionais
N1	Metástase em 1 a 3 linfonodos regionais
N2	Metástase em 4 ou mais linfonodos regionais
Metástase distante (M)	
M0	Sem metástase distante
M1	Metástase distante
Estadiamento	
IA	T1N0M0
IB	T2N0M0
IIA	T3N0M0
IIB	T1-T3N1M0

III	T4(Qualquer T)N2(Qualquer N)M0
IV	T4(Qualquer T)N2(Qualquer N)M1

Adaptado de: (CONG et al., 2018).

1.2.3 Tratamento

Para o tratamento do câncer de pâncreas, são utilizadas três estratégias: cirurgia, radioterapia e quimioterapia. Para os casos de metástase, a quimioterapia é a primeira escolha de tratamento. A extensão e local do procedimento cirúrgico pode variar, sendo os procedimentos mais frequentes a pancreatoduodenectomia (ou procedimento de Whipple), pancreatectomia distal, ou remoção total do pâncreas (pancreatectomia total). Os esquemas de quimioterapia mais utilizados são gencitabina (GEM) ou 5-fluorouracil, leucovorin (ácido folínico), oxaliplatina e irinotecano (FOLFIRINOX) (BALSANO; TOMMASI; GARAJOVA, 2019). Existem ainda tratamentos secundários para os casos metastáticos, que incluem a combinação de nab-paclitaxel (paclitaxel ligado à albumina) e gencitabina (BACHET et al., 2017).

1.2.4 Aspectos Moleculares

Sabe-se que o câncer é uma doença genética causada pelo acúmulo de mutações somáticas em oncogenes e genes supressores de tumor. Alterações epigenéticas também podem contribuir para o desenvolvimento do câncer. Dessa forma, vários estudos acerca do genoma e do exoma de pacientes de câncer de pâncreas têm sido feitos, a fim de se revelar e estabelecer alterações genéticas que levam e/ou contribuem para o surgimento da doença e centenas de alterações foram documentadas (GRASSI et al., 2018; HAYASHI et al., 2017; WANG et al., 2012; WITKIEWICZ et al., 2015). Entretanto existem quatro genes que estão frequentemente mutados no câncer de pâncreas. O KRAS, que codifica uma pequena GTPase que medeia a sinalização a jusante dos receptores de tirosina quinase, é o oncogene mais frequentemente mutado. Mutações somáticas na KRAS ocorrem em mais de 90% dos tumores (HAYASHI et al., 2017; KLEEFF et al., 2016).

O gene CDKN2A codifica o regulador essencial do ciclo celular e senescência p16, e é o gene supressor de tumor mais frequentemente alterado, com perda de função em mais de 90% dos adenocarcinomas ductais (HAYASHI et al., 2017; KLEEFF et al., 2016; REN; LIU; SURIAWINATA, 2019). A perda de sua função resulta na ausência de interrupção do ciclo celular, que geralmente é feita por meio da inibição do ponto de verificação G1/S. Assim, ocorre uma ativação transcripcional descontrolada, que contribuirá para um ciclo de retroalimentação positivo, o que leva ao aumento da divisão e proliferação celular.

Mutações no gene supressor de tumor TP53, que possui papel fundamental na resposta ao estresse celular, também são frequentes. A transcrição desse gene se dá por estímulos como danos no DNA, radiação, sinais de crescimento aberrante e agentes quimioterápicos que causam estresse celular. A ativação do TP53 resulta na inibição do ciclo celular para reparo dos danos, ou no caso de células extremamente danificadas, morte por apoptose. Mutações no gene TP53 que levam à sua perda de função foram registradas em 70% dos casos de câncer de pâncreas (HAYASHI et al., 2017; KLEEFF et al., 2016; REN; LIU; SURIAWINATA, 2019).

O gene supressor de tumor SMAD4, um fator de transcrição envolvido na inibição do crescimento celular, é ativado pela via de sinalização do fator de crescimento transformante β (TGF β). Se encontra inativado em cerca de 50% dos tumores e pode conferir resistência à radioterapia (HAYASHI et al., 2017; HERMAN et al., 2018; KAMISAWA et al., 2016).

Também ocorre ativação aberrante das vias de sinalização ativada por mitógenos como consequência da superexpressão de receptores tirosina quinase (RTKs) e ativação de proteínas quinases ativadas por mitógenos (MAPKs), como o receptor do fator de crescimento epidérmico (EGFR) e seus ligantes (ARDITO et al., 2012; KLEEFF et al., 2016; NAVAS et al., 2012). Isso acarreta em aumento da proliferação e sobrevivência celular com consequente progressão do câncer.

1.3 Células Tronco de Câncer

As células tronco de câncer (*cancer stem cells*, CSCs) são células cancerosas que possuem a capacidade de auto-renovação e pluripotência. As CSCs podem ser responsáveis pela resistência aos quimioterápicos convencionais, recidiva ou iniciação de novos tumores, uma vez que essa população, escassa dentro do microambiente tumoral, geralmente não é destruída pelos quimioterápicos. Assim, as CSCs regeneram o tumor uma vez que a terapia é descontinuada, levando à recorrência do câncer pós-tratamento, bem como à resistência ao esquema terapêutico utilizado anteriormente. As CSCs podem ser responsáveis pelo início das metástases tumorais, uma vez que nesta população a expressão de genes ligados ao processo de transição epitelial-mesenquimal (*epithelial-mesenchymal transition*, EMT) se encontra alterada. Esse processo de transição também é importante para a ocorrência de metástases. A EMT inclui quatro etapas importantes: perda de adesão de células epiteliais, expressão de proteínas mesenquimais, degradação da membrana basal, migração e invasão celular. Dessa forma as células tumorais invadem o estroma e adentram na circulação sanguínea, podendo dar origem a metástases distantes (ISHIWATA et al., 2018; LI et al., 2007; STOICA; CHANG; PAUKLIN, 2020).

O primeiro trabalho que identificou uma população de CSC em câncer de pâncreas foi publicado em 2007, utilizando xenoenxertos de adenocarcinomas pancreáticos humanos cultivados em camundongos imunocomprometidos. Nestes camundongos, foi identificada e isolada uma subpopulação altamente tumorigênica de células que expressava os marcadores de superfície celular CD44, CD24 e o antígeno específico do epitélio (*epithelial specific antigen*, ESA). Essa subpopulação de células CD44(+)/CD24(+)/ESA(+) apresentou propriedades comuns às células-tronco, como auto-renovação e pluripotência (LI et al., 2007). Diversos trabalhos tem proposto novos marcadores de superfície para identificação de CSCs pancreáticas, tais como ABCG2, ALDH1, CD133, c-Met, CXCR4, EpCAM e nestina (ISHIWATA et al., 2018). Além disso, como as CSCs possuem a propriedade de pluripotência, a expressão de genes ligados a essa propriedade também se encontra alterada. Dentre esses genes pode-se citar os fatores de transcrição NANOG, OCT4 (também conhecido como POU5F1), SOX2, KLF4 e C-MYC. Os quatro últimos são ademais conhecidos como fatores de Yamanaka.

1.4 MicroRNAs e Câncer de Pâncreas

Os microRNAs (miRNAs ou miR) são pequenos RNAs não codantes, com cerca de 18-25 nucleotídeos de comprimento. São inicialmente sintetizados no núcleo das células, a partir de um gene, pela RNA polimerase II na forma de RNA longo de dupla fita, o RNA primário (pri-miRNA). Sofrem processamento enzimático para gerarem a forma madura, localizada no citoplasma das células, onde exercem sua função na regulação da expressão gênica. Esse processamento envolve algumas etapas e diversas proteínas. Os pri-miRNAs são clivados pela enzima DROSHA e pela Região Crítica da síndrome de DiGeorge 8 (DGCR8), gerando os miRNAs precursores (pré-miRNAs), mais curtos e de dupla fita. Os pré-miRNAs são então exportados para citoplasma pela Exportina 5 (XPO5) e posteriormente processados pela DICER1, uma enzima ribonuclease III que produz os miRNAs maduros, ainda de dupla fita. Uma das fitas miRNA maduro (a cadeia guia) é carregada no complexo silenciador induzido por miRNA (miRISC), formado pelas da família Argonauta (AGO). A outra fita é geralmente degradada. Uma vez carregados no RISC, regulam a expressão gênica a nível pós-transcricional através do reconhecimento e hibridação/pareamento (completo ou incompleto) de seus nucleotídeos da terminação 5' com a terminação 3'-não traduzida (3'-UTR) de um RNA mensageiro (mRNA). Quando o miRNA é reconhecido por sequências parcialmente complementares na região 3'-UTR de mRNAs-alvos, ele ocasiona um bloqueio na tradução destes. Um fator importante na determinação de qual mRNA será pareado é a sequência de nucleotídeos nas posições 2 a 7 do miRNA maduro, chamada região semente ou “seed”. Se a complementariedade do miRNA ao mRNA-alvo for total (além da região semente),

acarretará a degradação do mRNA-alvo através do RISC. Se a complementariedade não for total, haverá o impedimento da tradução do mRNA. A Figura 4 resume a biogênese e mecanismo de ação dos miRNAs (LIN; GREGORY, 2015).

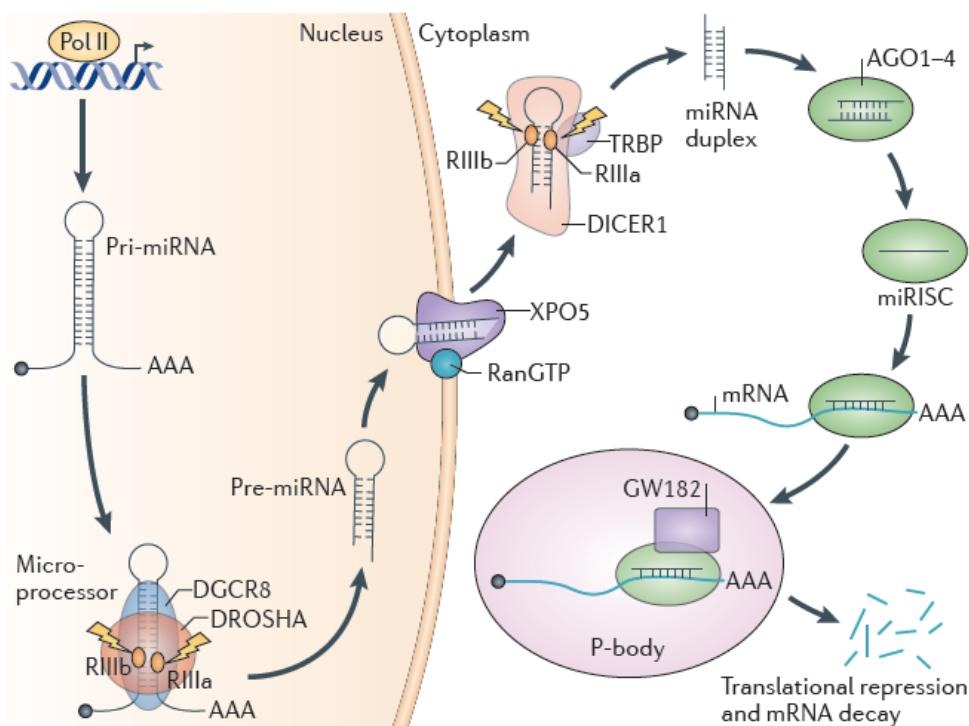


Figura 4. Visão geral da via canônica de biogênese de miRNA e mecanismo de regulação da expressão gênica de seu mRNA alvo. Retirado de: (LIN; GREGORY, 2015).

A descoberta do primeiro microRNA se deu nos anos 90, no nematódeo *Caenorhabditis elegans*, e estudos continuaram até seu reconhecimento como classe de RNA não-codante (LEE; FEINBAUM; AMBROST, 1993; REINHART et al., 2000; WIGHTMAN; HA; RUVKUN, 1993). Mas seu importante papel na regulação da expressão gênica em humanos só seria reconhecido depois, sendo a leucemia linfocítica crônica a primeira doença associada com desregulação na expressão de miRNAs (LIN; GREGORY, 2015). Os miRNAs possuem papel crítico em diversos processos biológicos regulando negativamente a expressão de genes. Dessa forma, estão implicados no processo de tumorigênese, podendo agir como supressores de tumor ou como oncogenes (ou oncomiRs), a depender do papel de seus alvos (LIN; GREGORY, 2015).

Desde que o papel de supressão tumoral ou de tumorigênese dos miRNAs foi descoberto, diversas pesquisas têm sido feitas de forma a utilizá-los como biomarcadores de diagnóstico, prognóstico e/ou estratégias terapêuticas, podendo constituir uma ferramenta para driblar a resistência à radioterapia e quimioterapia.

O conhecimento da expressão de miRNAs, bem como de seus alvos, também tem importância clínica direta, podendo constituir forma de diagnóstico precoce e/ou de

prognóstico em relação à recorrência de tumor e/ou de predição de resposta à terapia. MiR-7 se encontra hipoexpresso no câncer de pâncreas e essa condição está relacionada a um pior prognóstico da doença (BI et al., 2017; ZHU et al., 2018). A transfecção *in vitro* de células de câncer de pâncreas com o mimético sintético do miR-7 promoveu a inibição do crescimento celular, reduziu invasão e migração de células e induziu apoptose. Além disso, reduziu o crescimento de tumores *in vivo* de xenoenxerto. Tais efeitos ocorreram pela regulação direta dos alvos SOX18, ILF2, MAP3K9, bem como pela regulação indireta de genes associados ao processo EMT (BI et al., 2017; XIA et al., 2018; ZHU et al., 2018). Sendo assim, o miR-7 pode ser um importante supressor tumoral no câncer de pâncreas.

MiR-34a se encontra hipoexpresso no câncer de pâncreas devido a hipermetilação da sua região promotora (MA et al., 2020; NALLS et al., 2011). A restauração da sua expressão, seja pelo tratamento com agentes que inibem DNA metiltransferase (MA et al., 2020; NALLS et al., 2011) ou por meio de transfecção com mimético sintético (JI et al., 2009; TANG; TANG; CHENG, 2017) inibiu proliferação celular, migração e a invasão de células de câncer *in vitro*. Também induziu a apoptose e sensibilizou as células à quimioterapia e radiação (JI et al., 2009). A restauração da sua expressão pode ainda reduzir drasticamente a população de células-tronco de câncer de pâncreas (NALLS et al., 2011). Tais efeitos ocorrem pela regulação negativa da via de sinalização Notch, e também do alvo Snail1, importante mediador do processo de EMT (JI et al., 2009; MA et al., 2020; NALLS et al., 2011; TANG; TANG; CHENG, 2017).

Estudos tem mostrado que miR-145-5p, um “regulador mestre” de pluripotência (XU et al., 2009), está hipoexpresso em diversos tipos de câncer, incluindo câncer de pâncreas, e também possui função de supressão tumoral (DING; SUN; XIE, 2019; GAO et al., 2017; GARCÍA-GARCÍA et al., 2019; TANG et al., 2013). A expressão ectópica do miR-145 diminui a proliferação celular, invasão e migração em modelo *in vitro* (CHEN et al., 2020; HAN et al., 2015; KHAN et al., 2014; WANG et al., 2016) e o crescimento tumoral *in vivo* (CHEN et al., 2020; KHAN et al., 2014; WANG et al., 2016) de câncer de pâncreas. Sua ação de supressão tumoral se dá pela inibição da via do TGF β , marcadores de processo EMT e CSC, tais como MMP-3, ZEB1, OCT4, Lin28, NANOG e SOX2 (GAO et al., 2016, 2017; KHAN et al., 2014; XU et al., 2011). Também sensibilizou, *in vitro*, células ao fármaco gemcitabina através da regulação negativa de p70S6K1 (LIN et al., 2016), um efetor da via de sinalização mTOR, que possui importância na invasão e migração celular (LI et al., 2020; WANG et al., 2018).

MiR-21 tem se destacado como um importante oncomiR em câncer de pâncreas e em outros tipos de câncer. A inibição de miR-21 supriu a proliferação celular, migração e invasão de células câncer de pâncreas *in vitro* através da regulação do gene supressor de tumor VHL1, responsável pela ubiquitinação e assim marcação para degradação do HIF-1 α , importante fator para a manutenção das células em anóxia, condição presente em vários

tumores sólidos. A expressão de VEGF também diminuiu com a inibição de miR-21, e ainda de forma interessante, também foi vista a inibição da expressão das metaloproteínases de matriz MMP-2 e MMP-9, relacionadas à migração e invasão de células (SUN et al., 2019). O gene supressor de tumor PTEN também é um alvo conhecido de miR-21. Em um modelo *in vitro* de câncer de pâncreas para resistência ao fármaco 5-fluorouracil, o nível de expressão de miR-21 se encontrou maior na linhagem resistente gerada do que na linhagem parental. A inibição da expressão de miR-21 utilizando um inibidor sintético resultou na sensibilização ao fármaco 5-fluorouracil. Algo análogo foi válido para o seu alvo PTEN, em que o nível de expressão se encontrou mais reduzido na linhagem resistente gerada em relação à linhagem parental (WEI et al., 2016b).

Um dos miRNAs que vem sendo estudado no contexto de câncer é miR-1246, que possui papel de oncomiR. O estabelecimento da linhagem de câncer de pâncreas PANC-1 resistente à gemcitabina e a indução de propriedades semelhantes a CSC por meio da formação de esferas mostrou que o miR-1246 estava hiperexpresso na linhagem resistente gerada, bem como na linhagem cultivada em esferoides. A inibição da expressão de miR-1246 na linhagem resistente por meio de inibidor sintético resultou na sensibilização à gemcitabina. A resistência ao fármaco se deve à regulação do alvo CCNG2, que possui a função de inibir a progressão do ciclo celular (HASEGAWA et al., 2014). A expressão do miR-1246 também foi estudada em amostras de tecidos de pacientes com câncer de pâncreas, e os tempos de sobrevida livre de doença e de sobrevivência geral foram significativamente mais baixos no grupo com alta expressão de miR-1246 (HASEGAWA et al., 2014). Este mesmo miRNA se encontrou enriquecido em exossomos isolados do plasma de pacientes com câncer de pâncreas em relação ao de doadores saudáveis. A curva Característica de Operação do Receptor (do inglês *Receiver Operating Characteristic Curve, ROC*) foi traçada, e a área sob a curva de 0,73 indicou um potencial preditivo para o diagnóstico de câncer de pâncreas (XU et al., 2017). Outro estudo mostrou que não só esse miRNA, mas uma assinatura formada por ele e outros miRNAs presentes nos exossomos circulantes isolados do soro de pacientes com câncer de pâncreas (miR-1246, miR-4644, miR-3976 e miR-4306) associados com os biomarcadores de células-tronco presentes na superfície dos exossomos (CD44v6, Tspan8, EpCAM, MET e CD104) poderiam fornecer uma ferramenta de diagnóstico sensível para o câncer de pâncreas, com sensibilidade de 100% e especificidade de 80% (MADHAVAN et al., 2015). Dessa forma esse miRNA pode ser um possível biomarcador de prognóstico no câncer de pâncreas.

1.5 Câncer de mama

O carcinoma de mama pode ser dividido em duas categorias principais, do ponto de vista histopatológico, a depender do envolvimento do sistema ductal-lobular da mama: carcinoma *in situ* e invasivo. O carcinoma *in situ* pode ser subdividido em carcinoma ductal *in situ* ou carcinoma lobular *in situ*. O carcinoma ductal *in situ* é caracterizado pela proliferação neoplásica de células epiteliais confinadas ao sistema ductal-lobular da mama, sem evidência de invasão através da membrana basal para o estroma circundante. O carcinoma lobular *in situ*, por sua vez, é caracterizado pela proliferação de células geralmente pequenas e com pouca coesão. Quanto aos carcinomas invasivos, estes podem ser amplamente divididos em duas categorias: carcinoma invasivo de não tipo especial (que é o tipo mais comum dentre os invasivos) e subtipos especiais. Nota-se que do ponto de vista histopatológico, o câncer de mama é heterogêneo, o que implica também em uma heterogeneidade nas suas características clínicas e moleculares (ADNAN; IGCI; SORAN, 2019).

1.6 Sarcoma

Os sarcomas são um grupo de neoplasias malignas raras e heterogênea, derivados de mesênquima, originados de ossos e tecidos moles. Sendo assim, podem ocorrer no tecido esquelético e extraesquelético, incluindo músculos, tendões, gordura, sinóvia, tecido fibroso, vasos sanguíneos e sistema nervoso periférico. Para o tratamento de sarcomas são utilizadas cirurgia (sendo a terapia base), podendo então ser ou não associada com radioterapia, e também pode-se utilizar quimioterapia. A raridade dessas neoplasias e a falta de modelos pré-clínicos bem estabelecidos têm impedido o progresso no desenvolvimento de terapias sistêmicas eficazes, bem como terapias alvo-direcionadas. Os sarcomas de tecidos moles e ossos (também chamados de osteossarcomas) possuem um alto grau de heterogeneidade morfológica, molecular e clínica (CHOONG, 2021). Dessa forma há necessidade de se propor biomarcadores para essa doença, ainda que rara, porém largamente desconhecida, do ponto de vista molecular.

No presente trabalho, linhagens de células de osteossarcoma foram utilizadas para fins comparativos com células de câncer de pâncreas. Embora se tratem de tumores com origens claramente distintas, ambos apresentam crescimento celular e evolução clínica rápida, além de serem pouco conhecidos do ponto de vista molecular.

1.7 Curcumina

A curcumina é um polifenol curcuminóide. Possui nomenclatura química IUPAC (1E,6E)-1,7-bis(4-hidroxi-3-metoxifenil)-1,6-heptadieno-3,5-diona; fórmula química C₂₁H₂₀O₆

e massa molecular de 368,38 g/mol. É extraída dos rizomas da *Curcuma longa* (açafrão-da-terra), sendo também o curcumínóide mais abundante neste. Os outros curcumínóides são a desmetoxicurcumina e a bis-desmetoxicurcumina. Seu isolamento ocorreu pela primeira vez por Vogel em 1842, tendo sua estrutura sido descrita por Lampe e Milobedeska em 1910 e rota química de síntese estabelecida em 1913 (KUNNUMAKKARA et al., 2017). A Figura 5 mostra a estrutura química da curcumina.

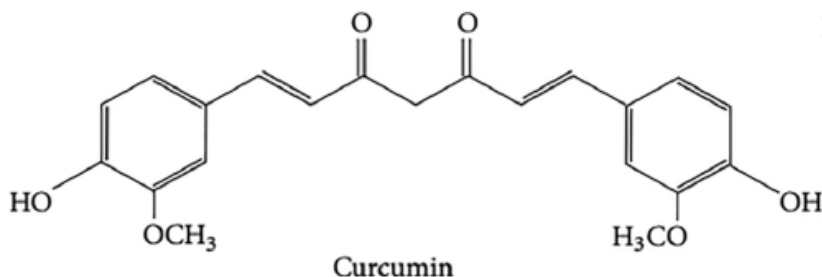


Figura 5. Estrutura química da curcumina. Retirado de: (ZHOU et al., 2017).

A curcumina é utilizada principalmente como tempero em pratos culinários típicos da Ásia e como corante em cosméticos. Seu uso tradicional é antigo devido suas propriedades antioxidantes e anti-inflamatórias. Mais recentemente diversos trabalhos têm relatado que ela também possui propriedades antitumorais, contra diversos tipos de câncer, tanto *in vitro* quanto *in vivo* (KHAN et al., 2019; LI et al., 2018a; LIU et al., 2020, 2017). Os mecanismos para tal atividade envolvem fatores de crescimento, enzimas, fatores de transcrição, quinase, citocinas inflamatórias, proteínas ligadas à apoptose. Sendo assim, diversas vias de sinalização são moduladas pela curcumina (MORTEZAEE et al., 2019).

Dentre essas vias, a do PI3K/AKT/NF-κB parece ser uma das mais importantes onde curcumina atua. Além de estar relacionada com a proliferação celular, a via do NF-κB também possui importante papel na progressão do processo EMT.

O tratamento de células de câncer com superóxido dismutase (do inglês *superoxide dismutase*, SOD) aumentou a capacidade de invasão e migração *in vitro* de câncer de pâncreas. Esse aumento se deveu ao fato de a SOD facilitar o progresso do processo EMT, uma vez que os níveis de mRNA dos marcadores E-caderina, N-caderina e vimentina aumentaram. Estes efeitos foram contrabalançados pelo tratamento com curcumina. Além disso, o tratamento com SOD juntamente com curcumina, diminuiu a expressão de p-Akt e p-NF-κB (LI et al., 2018a).

O tratamento com curcumina sozinha ou em combinação com gemcitabina em um modelo *in vivo*, diminuiu significativamente a expressão ao nível de expressão das proteínas VEGF, ciclina D1, c-myc, ICAM-1, MMP-9, COX-2, survivina, Bcl-2, Bcl-xL e IAP-1 quando comparados ao tratamento controle em tecidos tumorais pancreáticos. Vale notar que todas

as proteínas são participam daproliferação celular e/ou do processo EMT, além de serem reguladas pela via do NF- κB (KUNNUMAKKARA et al., 2007).

A curcumina foi capaz de suprimir a expressão e ativação do EGFR. A ativação de EGFR, ERK e Akt na condição de alta glicose foi diminuída pela curcumina independente da exposição ao EGF em células de câncer de pâncreas. A capacidade de invasão induzida por EGF das células também foi reduzida pela curcumina. Este último resultado pode ser explicado pelo tratamento da curcumina ter reduzido a expressão de fatores negativamente associados à metástase, como E-caderina e ativador de plasminogênio tipo-uroquinase (do inglês *urokinase-type plasminogen activator*, uPA) (LI et al., 2019).

Curcumina pode aumentar a sensibilidade de células de câncer de pâncreas à gemcitabina (LEV-ARI et al., 2007; LIU et al., 2020), docetaxel (LIU et al., 2020) e 5-fluorouracil (LI et al., 2011) em modelos *in vitro*, e à gemcitabina em um modelo *in vivo* (KUNNUMAKKARA et al., 2007).

Existem poucos estudos que mostram a relação entre as alterações nos níveis de expressão de miRNAs após o tratamento com curcumina e os efeitos antitumorais. Entretanto, a curcumina inibe o crescimento celular e a invasão *in vitro* regulando positivamente a expressão de miR-7 (suposto supressor tumoral), e com consequente diminuição de seu alvo, a metiltransferase de lisina, SET8. (MA et al., 2014). A curcumina aumentou *in vitro* a expressão de miR-340, e tanto o tratamento com curcumina ou miR-340 induziu a apoptose *in vitro* das células de câncer de pâncreas. Já quando ocorreu o silenciamento do miR-340 com silenciador sintético, houve inibição significativa do efeito pró-apoptótico da curcumina. Posteriormente, XIAP, que tem como função a supressão do processo de apoptose, foi identificado como alvo direto do miR-340 (YANG; LI; ZHAO, 2017). Tais estudos mostram que curcumina é capaz de alterar os níveis de expressão de miRNAs, bem como ajuda a elucidar alguns dos mecanismos por trás de seus efeitos antitumorais.

2. JUSTIFICATIVA

O câncer de pâncreas possui uma alta taxa de mortalidade, dificuldade de diagnóstico precoce, tratamento quimioterápico com diversos efeitos adversos e ausência de marcador de prognóstico específico. A curcumina é um fitoquímico que tem sido vastamente utilizado na alimentação e possui atividade antioxidante, sendo também associado a atividade antitumoral, com evidências *in vitro* e *in vivo*. Entretanto, pouco ainda se sabe sobre o efeito da alteração de expressão de miRNAs no contexto de câncer de pâncreas. Dessa forma, o presente projeto teve como justificativa contribuir para o entendimento da biologia do câncer de pâncreas no que diz respeito ao efeito da curcumina na modulação da expressão de miRNAs, bem como com a identificação de prováveis alvos de tratamento fitoterápico com curcumina e/ou terapia gênica através da análise de expressão gênica associada ao tratamento com tal fitoquímico.

3. OBJETIVOS

3.1 Objetivo Geral

Investigar, *in vitro*, se o tratamento com curcumina altera o nível de expressão dos miRNAs miR-145-5p e miR-1246, bem como seus alvos, em células tumorais humanas.

3.2 Objetivos Específicos

A fim de se alcançar o objetivo geral, traçaram-se os seguintes objetivos específicos:

- realizar uma busca *in silico* de possíveis alvos desses miRNAs a fim de se fazer um enriquecimento para ontologia genética e vias de sinalização celular para melhor entendimento do papel desses miRNAs;
- determinar os níveis de expressão relativa dos miRNAs miR-145-5p e miR-1246 em linhagens humanas de células de câncer de pâncreas, câncer de mama e osteossarcoma para fins de comparação;
- quantificar níveis de alvos putativos e confirmados dos miRNAs em linhagens humanas de células de câncer de pâncreas, câncer de mama e osteossarcoma para fins de comparação;
- quantificar o nível de expressão dos miRNAs miR-145-5p e miR-1246, bem como seus alvos putativos e confirmados, na linhagem humana de célula de câncer de pâncreas PANC-1 após tratamento com curcumina.

4. METODOLOGIA

4.1 Análise de Bioinformática

Para tentar compreender melhor o papel desses miRNAs no contexto de câncer, levando em consideração o resultado da expressão nas linhagens, utilizou-se uma estratégia de bioinformática. Realizou-se uma busca em ferramentas *online* de predição de possíveis alvos dos miRNAs estudados, cada uma com algoritmo de predição distinto. A partir daí fez-se um enriquecimento funcional para entendimento a nível funcional dos genes e vias de sinalização em que estão envolvidos. O perfil de expressão em amostras de câncer e não cancerosas, bem como o valor prognóstico na sobrevida global, da expressão dos alvos e dos miRNAs foi analisada através de informações de bancos de dados *online*.

Dada a relevância dos miRNAs estudados, bem como dos alvos escolhidos, no contexto de câncer, também foi realizada a pesquisa nos bancos de dados *online* de expressão e valor prognóstico na sobrevida geral, para câncer de mama e sarcoma. Leva-se em consideração também que o valor prognóstico da expressão de miR-1246, bem como de seus alvos, não está bem descrito na literatura para câncer de mama e sarcoma.

4.1.1 Elaboração de lista de possíveis alvos regulados por miRNAs

As predições de possíveis alvos de miRNAs foram obtidas utilizando-se três bancos de dados *online*: TargetScan 7.2 (<http://www.targetscan.org/>) (AGARWAL et al., 2015), miRWALK 3.0 (<http://mirwalk.umm.uni-heidelberg.de/>) (STICHT et al., 2018) e miRDB (<http://www.mirdb.org/>) (WONG; WANG, 2015). De maneira geral, as ferramentas predizem alvos biológicos do miRNA de interesse pesquisando a presença de sítios conservados que correspondem à região de semente de cada miRNA. As ferramentas foram escolhidas por estarem atualizadas, por seu amplo uso na literatura científica, e por apresentarem interface amigável, e gerarem resultado de forma didática. Para se obter uma lista de genes candidatos a alvo de cada miRNA, realizou-se o cruzamento do conjunto de genes alvo comuns de cada ferramenta de predição através de um diagrama de Venn. Para isso utilizou-se a ferramenta *online* VENNY 2.1 (<https://bioinfogp.cnb.csic.es/tools/venny/>). Os alvos candidatos da lista resultante foram escolhidos para análise posterior tendo aparecido como resultado de pelo menos duas bases, com base no seu papel biológico e em relatos publicados na literatura no contexto de câncer.

4.1.2 Análise de enriquecimento funcional da sobreposição de possíveis genes alvos

Ontologia genética (do inglês *gene ontology*, GO) é uma maneira para se anotar genes e seus produtos para ganhar entendimento a nível funcional por meio da construção de um vocabulário estruturado, preciso, comum e controlado para descrever os papéis dos genes e seus produtos nos diversos organismos. As anotações são feitas por um consórcio de pesquisadores de todo o mundo que atuam como biocuradores. Eles garantem a identificação do gene correto e selecionam os termos GO mais precisos e significativos para descrever e entender a função de um gene na biologia de um organismo. O modelo de representação computacional tem base nos achados experimentais da crescente literatura científica. Assim, existem três categorias de anotações: processo biológico (do inglês *biological process*, BC), função molecular (do inglês *molecular function*, MF) e componente celular (do inglês *cellular component*, CC). A função molecular refere-se à atividade do produto gênico no nível molecular; o componente celular refere-se à localização da atividade do produto gênico em relação às estruturas celulares (compartimentos celulares ou complexos macromoleculares estáveis); e processo biológico refere-se ao programa biológico maior em qual a função molecular de um gene é utilizada (CARBON et al., 2019; MICHAEL et al., 2000).

A *Kyoto Encyclopedia of Genes and Genomes* (KEGG) (<https://www.genome.jp/>) é um recurso de banco de dados *online* que auxilia na interpretação biológica de sequências do genoma e permite análise sistemática de funções gênicas, por meio de diagramas gráficos de vias de sinalização. Dessa forma, esse recurso foi utilizado para se ganhar um entendimento das vias de sinalização nas quais os possíveis alvos regulados pelos miRNAs estão inseridos, e assim possibilitar um melhor entendimento do papel dos miRNAs no contexto biológico (KANEHISA et al., 2019).

A ferramenta *online* Enrichr (<http://amp.pharm.mssm.edu/Enrichr/>) foi utilizada para realizar a anotação funcional de classes GO, que incluiu as três classes citadas anteriormente, e a análise de enriquecimento de vias pelo KEGG (CHEN et al., 2013; KULESHOV et al., 2016). A escolha dessa ferramenta se deu pela sua interface amigável e por representar os resultados de forma dinâmica e didática.

4.1.3 Análise de perfil de expressão de alvos em servidor *online*

Para melhor tentar elucidar o papel da expressão dos mRNAs, realizou-se pesquisa no servidor *online* Gene Expression Profiling Interactive Analysis (GEPIA2) (<http://gepia2.cancer-pku.cn/>). A ferramenta realiza análise do perfil de expressão de genes em amostras tumorais e não-tumorais. Os dados de expressão gênica e outras informações disponíveis são baixados das bases de dados *The Cancer Genome Atlas* (TCGA) e *Genotype-Tissue Expression* (GTEx) (TANG et al., 2019b). A pesquisa foi realizada utilizando as ferramentas “*Expression Analysis*” e “*Expression DIY*”, apresentando o resultado como gráfico

de *box plot*. As configurações utilizadas foram os padrões da ferramenta. A escolha dessa ferramenta se deu por estar atualizada, pela sua interface amigável e facilidade de uso.

4.1.4 Análise de sobrevida Kaplan-Meier

Para melhor tentar entender a implicância da expressão dos miRNAs estudados e de seus alvos, realizou-se na ferramenta *online* KM-plotter (<https://kmplot.com/analysis/>). A ferramenta realiza análise de sobrevida global (do inglês *overall survival*, OS). A base de dados é curada manualmente. Os dados de expressão gênica e informações de sobrevida geral são baixados de *Gene Expression Omnibus* (GEO), *European Genome-phenome Archive* (EGA), *Molecular Taxonomy of Breast Cancer International Consortium* (METABRIC) e o Pan-Cancer do *The Cancer Genome Atlas* (TCGA). Para analisar o valor prognóstico de um determinado gene, as amostras de pacientes são divididas em dois grupos de acordo com várias expressões de quartis do biomarcador proposto. Os dois grupos são comparados por um gráfico de sobrevida de Kaplan-Meier, e a razão de risco (do inglês *hazard ratio*, HR) com intervalos de confiança de 95% e valor logrank P são calculados (NAGY et al., 2018). O conjunto de dados das coortes utilizado foi o do Pan-Cancer para todos os tipos de câncer estudados. Para câncer de pâncreas, o banco de dados inclui informações de 178 pacientes de câncer de pâncreas para avaliar a associação entre miRNAs e sobrevivência geral, e de 177 pacientes para avaliar a associação entre mRNAs e sobrevivência geral. Para câncer de mama, o banco de dados o banco de dados inclui informações de 1077 pacientes para avaliar a associação entre miRNAs e sobrevivência geral, e de 1078 pacientes para avaliar a associação entre mRNAs e sobrevivência geral. Para sarcoma, o banco de dados inclui informações de 259 pacientes para avaliar a associação entre miRNAs e sobrevivência geral, e mRNAs e sobrevivência geral. As configurações utilizadas foram os padrões da ferramenta. A escolha dessa ferramenta se deu por estar atualizada, pela sua interface amigável e facilidade de uso.

4.2 Células e Cultivo

Neste trabalho utilizaram-se 3 linhagens celulares de câncer de pâncreas humano comercialmente disponíveis: PANC-1, CAPAN-1 e CAPAN-2 e linhagens de outros tipos de câncer. Todas as linhagens foram obtidas do Banco de Células do Rio de Janeiro (BCRJ). A Tabela 2 traz as principais características das linhagens celulares utilizadas, bem como os respectivos códigos BCRJ e *American Type Culture Collection* (ATCC). Como controle não tumoral, utilizou-se a linhagem humana HEK-293.

Tabela 2 - Características de linhagens celulares utilizadas

Linhagem	Característica/tipo de tumor	Código BCRJ	Código ATCC
PANC-1	Ductal	0201	CRL-1469
CAPAN-1	Obtida de metástase instalada no fígado	0265	HTB-79
CAPAN-2	Obtida de biópsia pancreática direta	0060	HTB-80
U-2 OS	Osteossarcoma	0304	HTB-96
MG-63	Osteossarcoma	0173	CRL-1427
MCF-7	Câncer de mama	0162	HTB-22
MDA-MB-231	Câncer de mama	0164	HTB-26
BT-474	Câncer de mama	0353	HTB-20
HEK-293	Normal	0009	CRL-1573

As linhagens PANC-1, CAPAN-1 e CAPAN-2 foram mantidas em meio *Roswell Park Memorial Institute* 1640 (RPMI 1640) (#31800022, Gibco) suplementado com bicarbonato de sódio (5 mM), penicilina (100 UI/mL), estreptomicina (0,1 mg/mL) (Life Technologies) e 10% de soro fetal bovino (Gibco, Invitrogen Corporation, Burlington, Canadá). As linhagens U-2 OS, MG-63, MCF-7, MDA-MB-231, BT-474 e HEK-293 foram mantidas em meio *Dulbecco's Modified Eagle's Medium* (DMEM) (#D7777, Sigma-Aldrich) suplementado com bicarbonato de sódio (5 mM), penicilina (100 UI/mL), estreptomicina (0,1 mg/mL) (Life Technologies) e 10% de soro fetal bovino (Gibco, Invitrogen Corporation, Burlington, Canadá). Todas as linhagens foram mantidas a 37 °C em estufa úmida com 5% de dióxido de carbono (CO₂).

Para a passagem das células aderentes, o meio de cultura foi aspirado da placa e esta foi lavada com solução salina tamponada com fosfato (PBS) 1X por três vezes. Foi adicionando 1 mL de tripsina com concentração 0,25% à placa, ocorrendo incubação por 1 minuto a 37 °C até que as células se soltassem da placa, conforme verificado em microscópio óptico invertido. Foram adicionados 3 mL de meio completo adequado para cada tipo celular a fim de retardar o processo de degradação por tripsina das células e meio. Estas foram ressuspensas, transferidas para um tubo cônico de 15 mL e centrifugadas por 5 minutos a 1.500 rpm. O sobrenadante foi descartado e o *pellet* resultante foi ressuspandido em 10 mL de meio de cultura adequado. A quantidade desejada de células foi transferida (razão de 1:2 a 1:6 dependendo da linhagem, de acordo com recomendações do BCRJ e ATCC para cada linhagem) para novas placas de cultura e o volume final foi ajustado para 10 mL de meio completo. As células foram incubadas a 37 °C em estufa úmida com 5% de CO₂.

Levou-se em consideração para a inclusão das linhagens de câncer de mama e de osteossarcoma o fato de que a expressão de miR-1246 nessas linhagens ainda não está bem caracterizada na literatura.

4.3 Extração, Quantificação e Integridade de RNA Total

O RNA total das linhagens foi extraído utilizando-se o *kit* comercial *mirVana™ PARIS™ RNA and Native Protein Purification* (#AM1556, Invitrogen™), segundo orientações do fabricante. Previamente à extração, 375 µL de 2-mercaptopetanol foram adicionados ao frasco rotulado *2X Denaturing Solution*, ocorrendo homogeneização; 21 mL de etanol 100% grau ACS foram adicionados ao frasco rotulado *miRNA Wash Solution 1*, ocorrendo homogeneização; 40 mL de etanol 100% grau ACS foram adicionados ao frasco rotulado *miRNA Wash Solution 2/3*, ocorrendo homogeneização. O meio de cultura das placas de cultura de 10 cm de diâmetro contendo as células em fase exponencial de crescimento foi descartado e as placas foram lavadas com PBS 1X gelado por três vezes. Foi adicionando 1 mL de tripsina com concentração 0,25% à placa, ocorrendo incubação por 1 minuto a 37 °C até que se soltassem da placa, conforme verificado em microscópio óptico invertido. Foram adicionados 3 mL de meio completo adequado para cada tipo celular a fim de retardar o processo de tripsinização das células. Estas foram ressuspensas, transferidas para um tubo cônico de 15 mL e centrifugadas por 5 minutos a 1.500 rpm. O sobrenadante foi descartado e o *pellet* resultante foi ressuspandido em 1 mL de PBS 1X gelado, transferiu-se o volume para um tubo *eppendorf* de 1,5 mL, ocorrendo centrifugação e descarte do PBS 1X. As células foram colocadas em gelo. Em seguida foi adicionado 300 µL de *Cell Disruption Buffer* gelado, pipetando-se vigorosamente para lisar completamente as células e obtendo um lisado homogêneo. Imediatamente foram adicionados 300 µL de *2X Denaturing Solution*, e a mistura foi incubada por 5 minutos em gelo. Transcorrido o tempo, 600 µL de Ácido-Fenol:Clorofórmio foram adicionados, agitando-se a mistura no vórtice por 60 segundos para homogeneização. Em seguida ocorreu centrifugação a 20.627 x g (15.000 rpm) por 5 minutos em temperatura ambiente para separar a mistura em fases aquosa (superior) e orgânica (inferior), com uma interfase extremamente compacta. A fase aquosa foi removida cuidadosamente, sem perturbar a fase inferior ou interfase, e transferida para um tubo novo. O volume recuperado foi notado. Foram adicionados 1,25 volumes de etanol 100% à temperatura ambiente à fase aquosa (por exemplo, se 300 µL foram recuperados, 375 µL de etanol foram adicionados) e misturou-se bem por inversão do tubo. Para cada amostra, um cartucho de filtro foi colocado em um tubo (ambos fornecidos pelo *kit*). A mistura lisado/etanol foi pipetada no cartucho de filtro, centrifugou-se por cerca de 30 segundos, ou até que toda a mistura passasse pelo filtro, à velocidade de 10.000 x g. O filtrado foi descartado, o cartucho de filtro foi reposto no tubo e

700 µL de *miRNA Wash Solution 1* foram pipetados no cartucho de filtro. Centrifugou-se por cerca de 15 segundos à velocidade de 10.000 x g. O filtrado foi descartado, o filtro foi reposto no tubo e 500 µL de *miRNA Wash Solution 2/3* foram pipetados no cartucho de filtro. Centrifugou-se por cerca de 15 segundos à velocidade de 10.000 x g. O passo anterior foi repetido. O filtrado foi descartado, o cartucho de filtro foi reposto no tubo e centrifugado por 1 minuto a fim de se remover fluido residual do filtro. O cartucho de filtro foi transferido para um tubo de coleta novo. Foram aplicadas 100 µL de água sem nuclease pré-aquecida a 95 °C ao centro do filtro. Centrifugou-se por cerca 30 segundos à velocidade de 10.000 x g para recuperar o RNA. O mesmo foi identificado e armazenado à -80 °C até o momento do uso.

A quantificação do RNA foi feita com alíquota de 2 µL do RNA extraído a fim de se verificar a quantidade e a pureza do material extraído. Foi utilizado espectrofotômetro NanoVue Plus™ (GE Healthcare) para posteriormente realizar a síntese eficiente de cDNA. A pureza foi dada pela razão das absorbâncias obtidas a 260 nm e 280 nm (A_{260}/A_{280}), sendo o valor dessa razão igual ou maior que 1,7 considerado adequado. A razão das absorbâncias obtidas a 260nm e 230nm (A_{260}/A_{230}) também foi obtida para se avaliar contaminação por sais de guanidina.

A integridade do RNA extraído foi verificada através de eletroforese em gel de agarose 0,8%. A garantia da qualidade do material extraído foi inspecionada por meio da apresentação de duas bandas de RNA ribossomal, sendo a banda mais pesada (28S) tendo o dobro da intensidade da banda mais leve (18S). O gel foi visualizado em fotodocumentador com luz ultra-violeta.

4.4 Síntese de DNA Complementar

O DNA complementar (cDNA) para análise de expressão de miRNAs foi sintetizado a partir do RNA total utilizando-se o *kit TaqMan™ MicroRNA Reverse Transcription (#4366596, Applied Biosystems™)*, segundo orientações do fabricante. Previamente à síntese de cDNA, os componentes do *kit* de transcrição reversa foram descongelados em gelo. Os *primers* de transcrição reversa também foram descongelados em gelo, agitados rapidamente em vórtice e depois centrifugados brevemente para coletar o conteúdo no fundo do tubo. Em um tubo de microcentrífuga de tamanho adequado, foi preparada a mistura de reação RT de acordo com a Tabela 3, a seguir:

Tabela 3 - Quantidades e concentrações dos reagentes utilizados na síntese de cDNA.

Componente	Volume (1 reação)
100 mM dNTPs (with dTTP)	0,15 µL
MultiScribe™ Reverse	1,00 µL

Transcriptase, 50 U/ μ L	
10X Reverse Transcription Buffer	1,50 μ L
RNase Inhibitor, 20 U/ μ L	0,19 μ L
H ₂ O Milli-Q®	4,16 μ L
Volume total	7,00 μ L

A relação mostrada na Tabela 3 foi escalonada conforme necessidade. Após preparada, a mistura de reação RT foi invertida para misturar e, em seguida, centrifugada brevemente para coletar o conteúdo na parte inferior do tubo. Em um tubo de reação, 7 μ L de mistura de reação de RT foram pipetados, seguidos de 5 μ L de RNA total contendo 10 ng. O conteúdo foi homogeneizado e depois centrifugou-se brevemente para coletar o conteúdo no fundo dos tubos de reação. Foram adicionados 3 μ L de 5 X RT Primer específicos para cada miRNA em respectivo tubo de reação. Os tubos foram selados e centrifugados brevemente para coletar o conteúdo no fundo. Os tubos de reação foram colocados em um termociclador Veriti® Thermal Cycler (Applied Biosystems) e incubados utilizando o ciclo padrão, com volume de reação de 15 μ L e as seguintes configurações na Tabela 4, abaixo:

Tabela 4 - Configurações do termociclador para síntese de cDNA.

Passo	Temperatura	Tempo
Transcrição reversa	16 °C	30 minutos
	42 °C	30 minutos
Reação de parada	85 °C	5 minutos
Espera	4 °C	Espera

O produto obtido foi armazenado a -20 °C até o momento do uso.

Para a análise de expressão dos alvos a nível de mRNA, realizou-se tratamento com DNase I (#AMPD1, Sigma-Aldrich) para evitar a interferência causada pela presença de DNA genômico nas amostras de RNA total. De forma breve, em um tubo de PCR sem RNase adicionaram-se 1 μ g RNA em 8 μ L de água sem RNase, 1 μ L de 10X Reaction Buffer, 1 μ L de DNase I, Amplification grade, 1 unit/ μ L. Misturou-se o conteúdo delicadamente com a pipeta e incubou-se por 15 minutos em temperatura ambiente. Decorrido o tempo adicionou-se 1 μ L de Stop Solution para ligar o cálcio e íons de magnésio e inativar a DNase I. Aqueceu-se a 70 °C por 10 minutos no termociclador para desnaturar a DNase I e o RNA.

A síntese de cDNA a partir de RNA total tratado com DNase I foi realizada por meio do *kit High-Capacity cDNA Reverse Transcription®* (# 4368814, Applied Biosystems™), segundo orientações do fabricante. Previamente à síntese de cDNA, os componentes do *kit* de

transcrição reversa foram descongelados em gelo. Em um tubo de microcentrífuga de tamanho adequado, foi preparada a mistura de reação RT de acordo com a Tabela 5, a seguir:

Tabela 5 - Quantidades e concentrações dos reagentes utilizados na síntese de cDNA.

Componente	Volume (1 reação)
10X RT Buffer	2,00 µL
25X dNTP Mix (100 mM)	0,80 µL
10X Random Primers	2,00 µL
MultiScribe™ Reverse Transcriptase	1,00 µL
H ₂ O Milli-Q®	4,20 µL
Volume total	10,00 µL

A relação mostrada na Tabela 5 foi escalonada conforme necessidade. Após preparada, a mistura de reação RT foi invertida para misturar e, em seguida, centrifugada brevemente para coletar o conteúdo na parte inferior do tubo. Em um tubo de reação, 10 µL de mistura de reação de RT foram pipetados, seguidos de 10 µL de RNA total tratado com DNase I. O conteúdo foi homogeneizado e depois centrifugou-se brevemente para coletar o conteúdo no fundo dos tubos de reação. Os tubos foram selados e centrifugados brevemente para coletar o conteúdo no fundo. Os tubos de reação foram colocados em um termociclador Veriti® Thermal Cycler (Applied Biosystems) e incubados usando o ciclo padrão, com volume de reação de 20 µL e as seguintes configurações de acordo com a Tabela 6, abaixo:

Tabela 6 - Configurações do termociclador para síntese de cDNA.

Passo	Temperatura	Tempo
Passo 1	25 °C	10 minutos
Passo 2	37 °C	120 minutos
Passo 3	85 °C	5 minutos
Passo 4	4 °C	Espera

O produto obtido foi armazenado a -20 °C até o momento do uso.

4.5 Quantificação de miRNAs e alvos por RT-qPCR

Para a quantificação da expressão dos miRNAs miR-145-5p e miR-1246 foram utilizadas sondas de hidrólise do sistema TaqMan® e o *mix TaqMan® Universal Master Mix II, no UNG (#4440040, Applied Biosystems™)*. Como controle endógeno, foi utilizado o

pequeno RNA nuclear RNU6B, também quantificado com sondas do sistema TaqMan®. A Tabela 7 traz informações sobre os miRNAs, RNU6B e os ensaios.

Tabela 7 - Informações sobre miRNAs e controle endógeno.

miRNA	Sequência 5'-3'	Número de Acesso ao miRBase	Número de Acesso NCBI	ID do Ensaio
miR-145-5p	GUCCAGUUUUCCCAGGAAUCCU	MIMAT0000437	-	000467
miR-1246	AAUGGAUUUUUGGAGCAGG	MIMAT0005898	-	4398987*
RNU6B	CGCAAGGATGACACGCAAATTG TGAGCGTTCCATATTTT	-	NR_002752	001093

*Ensaio customizado.

Previamente à reação de RT-qPCR, o *mix TaqMan® Universal Master Mix II, no UNG*, os ensaios TaqMan® e as amostras de cDNA foram descongelados em gelo, homogeneizados em vórtice e centrifugados brevemente para coletar o conteúdo no fundo dos tubos. Os componentes da reação, quantidades utilizadas e concentração final estão na Tabela 8, abaixo. A reação foi preparada em placa de 96 poços e escalonada conforme necessidade. Foi incluído um controle para verificar contaminação para cada ensaio na placa, que se constituiu de todos os reagentes utilizados, mas sem a presença cDNA, acrescentando-se igual volume de água Milli-Q® no lugar.

Tabela 8 - Componentes da reação de RT-qPCR.

Componente	Volume (μ L) por reação	Concentração final
TaqMan® Universal Master Mix II (2X)	10,00	1 X
TaqMan® Small RNA Assay (20X)	1,00	1 X
cDNA	1,33	10 a 100 ng
H ₂ O Milli-Q®	7,67	-
Volume total	20,00	-

A reação foi realizada no sistema de PCR em tempo real StepOnePlus™ (Applied Biosystems) em duplicata. A programação do termociclador está na Tabela 9, abaixo.

Tabela 9 - Parâmetros de ciclagem térmica.

Passo	Temperatura	Tempo	Ciclos
Ativação da enzima	95 °C	10 minutos	1
Desnaturação	95 °C	15 segundos	
Anelamento/extensão	60 °C	60 segundos	40

Para a quantificação da expressão dos alvos possíveis ou confirmados dos miRNAs, foram utilizadas sondas de hidrólise do sistema TaqMan® e o *mix TaqMan® Universal Master Mix* (#4304437, Applied Biosystems™). Como controle endógeno, foi utilizado o gene gliceraldeído-3-fosfato desidrogenase (GAPDH), também quantificado com sondas do sistema TaqMan®. A Tabela 10 traz informações sobre os alvos, controle endógeno e os ensaios.

Tabela 10 - Informações sobre alvos e controle endógeno.

Símbolo do Gene	Nome do Gene	Localização do Cromossomo	ID do Ensaio
		Cromossomo	
c-MYC	MYC proto-oncogene	8q24.21	Hs001153402_m1
OCT4	octamer-binding transcription factor 4	6p21.33	Hs01895061_u1
SOX2	SRY (sex determining region Y)-box 2	3q26.33	Hs01053049_m1
KLF4	krüppel-like factor 4	9q31.2	Hs00358836_m1
CCNG2	cyclin G2	4q21.1	Hs00171119_m1
CRADD	CASP2 and RIPK1 domain containing adaptor with death domain	12q22	Hs01011159_g1
GAPDH	glyceraldehyde-3-phosphate dehydrogenase	12p13.31	Hs02758991_g1

Previamente à reação de RT-qPCR, o *mix TaqMan® Universal Master Mix*, os ensaios TaqMan® e as amostras de cDNA foram descongelados em gelo, homogeneizados em vórtice e centrifugados brevemente para coletar o conteúdo no fundo dos tubos. Os componentes da reação, quantidades utilizadas e concentração final estão na Tabela 11, abaixo. A reação foi preparada em placa de 96 poços e escalonada conforme necessidade. Foi incluído um controle para verificar contaminação para cada ensaio na placa, que se constituiu de todos os reagentes utilizados, mas sem a presença cDNA, acrescentando-se igual volume de água Milli-Q® no lugar.

Tabela 11 - Componentes da reação de RT-qPCR para alvos.

Componente	Volume (μL) por reação	Concentração final
TaqMan® Universal Master	5,00	1 X
Mix (2X)		
TaqMan® Gene Expression	0,50	1 X
Assay (20X)		
cDNA	2,00	10 a 100 ng
H ₂ O Milli-Q®	2,50	-
Volume total	10,00	-

A reação foi realizada no sistema de PCR em tempo real StepOnePlus™ (Applied Biosystems) em duplicata. A programação do termociclador está na Tabela 12, abaixo.

Tabela 12 - Parâmetros de ciclagem térmica para alvos.

Passo	Temperatura	Tempo	Ciclos
Incubação da UNG	50 °C	2 minutos	1
Ativação da enzima	95 °C	10 minutos	1
Desnaturação	95 °C	15 segundos	
Anelamento/extensão	60 °C	60 segundos	40

Os resultados de expressão por RT-qPCR foram determinados pelo método de expressão relativa (LIVAK; SCHMITTGEN, 2001). O ciclo de quantificação (do inglês *quantification cycle*, Cq) representa o ciclo da RT-q PCR em que a amplificação do produto entra na fase exponencial. O ΔCq representa a diferença entre o Cq para o gene de interesse comparado com o gene de referência ou controle endógeno. O ΔΔCq representa a diferença entre o ΔCq da amostra de interesse - normalizado pelo gene de referência ou controle endógeno - e o ΔCq da amostra controle também normalizado pelo seu respectivo gene de referência ou controle endógeno. Por fim, calcula-se a proporção da expressão $2^{-\Delta\Delta Cq}$.

4.6 Curcumina

Adquiriu-se curcumina (#78246, Sigma Aldrich®) em forma liofilizada, com grau de pureza analítica (substância da matriz para MALDI-MS, pureza ≥99,5%, grau HPLC) e mantida estocada conforme as instruções do fabricante. Preparou-se uma solução estoque na concentração de 30 mM a partir de 10 mg de curcumina solubilizada em dimetilsulfóxido (DMSO). A partir dela, preparou-se uma solução de trabalho na concentração de 10 mM. Armazenaram-se ambas as soluções, protegidas da luz, a -20º C até o momento da utilização.

4.7 Ensaio de viabilidade celular para curva dose-resposta e tratamento

Determinou-se a viabilidade celular através do método colorimétrico de MTT (brometo de 3-(4,5-dimetiltiazol-2-il)-2,5-difeniltetrazolium). O método é baseado na redução do sal de tetrazólio, de cor amarela, a cristal de formazan, de cor púrpura, por meio da ação de desidrogenases mitocondriais de células viáveis e metabolicamente ativas. Sendo assim, a formação de formazan é diretamente proporcional à viabilidade celular.

As células foram semeadas em placas de 96 poços a uma densidade de 4×10^3 células por poço em um volume total de 100 µL, incubadas durante a noite e tratadas com concentrações de curcumina obtidas por meio de diluição seriada (100, 50, 25, 12,5 e 6,25 µM) durante 24h ou 48h. A escolha das concentrações utilizadas se deu pela busca na literatura de concentrações de curcumina que afetassem a viabilidade da linhagem PANC-1, a fim de permitir o cálculo de uma IC₅₀ nos tempos escolhidos (FRIEDMAN et al., 2009; LEV-ARI et al., 2006; LIU et al., 2020; SCHWARZ et al., 2020; SU et al., 2016; YOSHIDA et al., 2017; ZHOU et al., 2016). Após cada tempo de tratamento, aspirou-se o meio e adicionaram-se 200 µL de PBS 1X a cada poço para lavá-los. Adicionaram-se 100 µL de meio RPMI-1640 contendo 10% de solução MTT (Sigma-Aldrich) na concentração final de 0,5 mg/mL, seguindo-se incubação em estufa durante 3h a 37º C. Decorrido o tempo, o meio foi aspirado e adicionaram-se 100 µL de DMSO para dissolver os cristais de formazan. Recobriu-se a placa com papel alumínio, e agitou-se em agitador de placa à velocidade baixa por 5 minutos. A absorbância foi mensurada no comprimento de onda de 570 nm em um espectrofotômetro SpectraMax® Plus 384 (Molecular Devices, EUA). Utilizou-se um controle com poços contendo apenas DMSO (branco) para descartar a possibilidade de interferência desse reagente na análise. A concentração de DMSO utilizada no meio não foi superior a 0,015%. O ensaio foi feito em quadruplicata. Converteram-se os valores de absorbância dos grupos experimentais tratados com curcumina em porcentagem de viabilidade em relação ao valor obtido no grupo experimental tratado apenas com DMSO (veículo utilizado para solubilizar a

curcumina). Após a obtenção dos dados de viabilidade celular, construiu-se uma curva dose-resposta para se determinar o IC₅₀ (concentração necessária para inibir a viabilidade em 50%) dos tratamentos através da regressão não linear. A partir daí estabeleceu-se uma concentração fixa, próxima ao IC₅₀ para tratamento das células com curcumina e posterior quantificação de possíveis alterações de expressão gênica promovidas pelo tratamento.

Para o tratamento com a concentração fixa, próxima ao IC₅₀, semearam-se as células em placas de cultura de tecidos de 60 mm a uma densidade de 2,5x10⁵ células por placa em um volume total de 2 mL, cultivadas durante a noite, e então tratadas com curcumina por 06h, 24h ou 48h. Após cada tempo de tratamento, aspirou-se o meio, lavaram-se as células três vezes com PBS 1X frio e procedeu-se à coleta para extração de RNA conforme item 4.3. Utilizaram-se células tratadas apenas com DMSO (veículo) a 0,015% como grupo de controle. O experimento foi realizado apenas uma vez, em triplicata.

4.8 Análise Estatística

Utilizou-se o software GraphPad Prism® 9, versão 9.0.0 (121), para obtenção dos dados estatísticos. Avaliaram-se previamente os dados quanto à sua distribuição de normalidade utilizando o teste de Shapiro-Wilk. Considerando a distribuição normal dos dados, utilizou-se o teste ANOVA de uma via, com pós-teste de Tukey; ou teste t de Student não pareado. Expressaram-se os dados como média (\pm erro padrão da média). Considerando a distribuição não normal dos dados, utilizou-se o teste não paramétrico de Mann-Whitney. Valores de p<0,05 foram considerados significativos.

5. RESULTADOS

5.1 Análise de Bioinformática

5.1.1 Elaboração de lista de possíveis alvos regulados por miRNAs

Para o miR-145-5p, a pesquisa na base de dados TargetScan 7.2 retornou 907 possíveis alvos, miRDB retornou 909 possíveis alvos e miRWALK 3.0 retornou 6520 possíveis alvos (após a exclusão de transcritos diferentes de um mesmo gene para essa base) (ANEXO A). A ferramenta VENNY 2.1 mostrou que 263 genes compõem a sobreposição dos resultados em comum às três bases de predição de alvos (Figura 6). A lista com os 263 genes se encontra no ANEXO A.

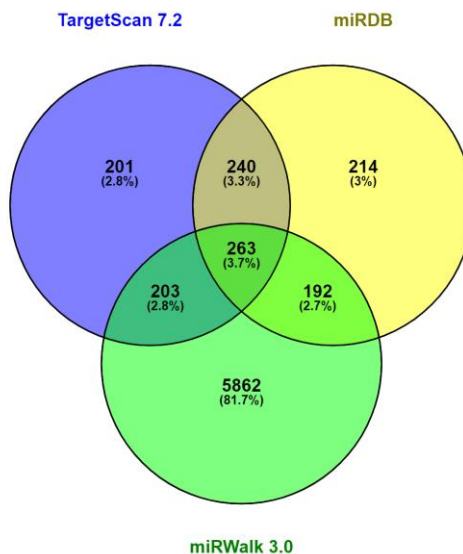


Figura 6. Diagrama de Venn mostrando possíveis 263 genes alvos do miR-145-5p em comum às três ferramentas de predição de alvos.

Para o miR-1246, a pesquisa na base de dados TargetScan 7.2 retornou 3032 possíveis alvos, miRDB retornou 407 possíveis alvos e miRWALK 3.0 retornou 3343 possíveis alvos (uma vez que se fez a exclusão de transcritos diferentes de um mesmo gene para essa base) (ANEXO B). A ferramenta VENNY 2.1 mostrou que 118 genes compõem a sobreposição dos resultados em comum às três bases de predição de alvos (Figura 7). A lista com os 118 genes se encontra no ANEXO B.

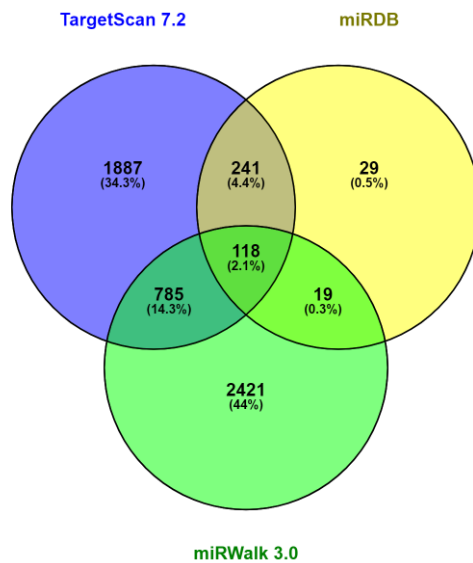


Figura 7. Diagrama de Venn mostrando possíveis 118 genes alvos do miR-1246 em comum às três ferramentas de predição de alvos.

A sequência 3'-UTR dos alvos já confirmados na literatura do miR-145-5p avaliados (OCT4, SOX2, KLF4 e c-MYC) foram retiradas da literatura (XU et al., 2009; ZHANG et al., 2014), e estão representados na Figura 8. Em relação aos alvos do miR-1246, com base na pesquisa nas bases de predição de alvos, bem como na literatura, o gene CRADD foi selecionado para se determinar o nível de expressão nas linhagens. O gene aparece como resultado das bases de predição TargetScan 7.2 e miRDB (ANEXO B), e está relacionado ao processo de apoptose. Sua expressão se encontra desregulada em câncer gástrico (SHEN et al., 2014) e pode ter papel na sensibilidade à quimioterápicos (YANG et al., 2009). O gene CCNG2, alvo já confirmado na literatura do miR-1246 (HASEGAWA et al., 2014; LIN et al., 2018) também foi escolhido dada à natureza do presente trabalho. A sequência 3'-UTR dos alvos do miR-1246 avaliados foram retiradas da ferramenta TargetScan 7.2, e estão representados na Figura 8.



Figura 8. Sequências 3'-UTR de alvos de miRNAs. A. Sequências dos alvos do miR-145-5p. B. Sequências dos alvos do miR-1246.

5.1.2 Análise de enriquecimento funcional da sobreposição de possíveis genes alvos

Para investigar a função biológica dos genes alvo, foi realizado o enriquecimento de vias de sinalização KEGG e termos GO. Apenas os 10 primeiros itens enriquecidos de forma estatisticamente significativa ($p<0,05$) são mostrados.

A Tabela 13 e Tabela 14 a seguir trazem os resultados das análises para o miR-145-5p e miR-1246 respectivamente, contendo os termos do enriquecimento, ID do termo, genes da lista pertencente a cada termo e valor p.

Tabela 13 - Enriquecimento da via KEGG e anotação funcional GO de possíveis genes alvo de miR-145-5p.

Vias de sinalização KEGG		
Termo	Genes	Valor de p
Endocitose	SMAD2; RAB5C; SMAD3; CAV2; NEDD4L; STAM; AP2B1; ARPC5; IGF1R; TGFBR2; PSD3; RAB11FIP4; GIT1; ARF6	0,00000436
Junção aderente	SMAD2; SMAD4; FER; SMAD3; ACTB; ACTG1; IGF1R; TGFBR2	0,00000465
Via de sinalização Hippo	SMAD2; SMAD4; RASSF2; SMAD3; FZD4; DLG4; SERPINE1; ACTB; YWHAG; ACTG1; TGFBR2	0,00000910
Via de sinalização MAPK	MAP4K2; FLT1; DUSP6; CRKL; IGF1R; TGFBR2; ELK4; CACNB2; ERBB4; TAOK1; AKT3; RASA2; RAPGEF2; MAP4K4	0,0000389
Senescência celular	SMAD2; SMAD3; CDK6; RASSF5; SERPINE1; AKT3; ETS1; HIPK3; TGFBR2; HIPK2	0,0000530
Carcinoma hepatocelular	SMAD2; SMAD4; SMAD3; CDK6; FZD4; AKT3; ACTB; ACTG1; IGF1R; TGFBR2	0,0000793
Via de sinalização TGF-beta	SMAD2; SMAD4; SMAD3; ACVR1B; ACVR2A; SKP1; TGFBR2	0,000200
Invasão bacteriana de células epiteliais	CAV2; ELMO1; ARPC5; ACTB; CRKL; ACTG1	0,000428
Câncer de pâncreas	SMAD2; SMAD4; SMAD3; CDK6; AKT3; TGFBR2	0,000460
Leucemia mieloide crônica	SMAD4; SMAD3; CDK6; AKT3; CRKL; TGFBR2	0,000494
Anotação funcional GO		
Termos GO BP (GO ID)	Genes	Valor de p
regulação positiva da via de sinalização da proteína serina /	SMAD2; BMP3; ADAM17; SMAD4; SMAD3; RBPM3; SOX11; ACVR1B; ACVR2A; HIPK2	0,000000121

treonina quinase do receptor transmembrana (GO: 0090100)		
regulação positiva da transcrição, modelada por DNA (GO: 0045893)	CASZ1; CSRNP2; MYRF; ONECUT2; SERPINE1; IKZF2; ETS1; ELK4; ERBB4; MYO6; RREB1; TRIM44; DDX17; SMAD2; SMAD4; SMAD3; FZD4; TET2; RFX3; ATP1B4; SOX11; VEZF1; RUNX3; FLI1; ACVR2A; HIPK2; NR4A2; MYCN; NFIA; MTF1; ZNF516; TBPL1; ERG; LPIN2; SSBP3; CREB5	0,0000006360
regulação da via de sinalização do receptor do fator de crescimento transformador beta (GO: 0017015)	SMAD2; ZNF451; ADAM17; SMAD4; SMAD3; SOX11; VASN; TGFBR2; HIPK2	0,0000009460
regulação positiva da transcrição do promotor de RNA polimerase II (GO: 0045944)	CSRNP2; PLXND1; ONECUT2; SERPINE1; IKZF2; ETS1; ELK4; MYO6; RREB1; DDX17; SMAD2; SMAD4; SMAD3; ERLIN1; TET2; RFX3; ATP1B4; SOX11; VEZF1; ACVR2A; HIPK2; NR4A2; MYCN; NFIA; MTF1; TBPL1; ERG; LPIN2; SSBP3	0,00000264
fosforilação de proteína (GO: 0006468)	SMAD2; MAP4K2; CAMK2D; FLT1; CAMK1D; DYRK1A; ACVR1B; RUNX3; HIPK3; UHMK1; HIPK2; IGF1R; TGFBR2; FER; CDK6; ERBB4; TAOK1; AKT3; ERG; MAP4K4	0,00000450
Via de sinalização da proteína tirosina quinase do receptor transmembrana (GO: 0007169)	FLT1; CAV2; NEDD9; AP2B1; ARPC5; ACTB; ACTG1; IGF1R; FER; RAB14; ERBB4; ELMO1; RAPGEF2; AP3S1; GIT1; MPZL1; APPL1	0,0000212
modificação de peptidil-treonina (GO: 0018210)	CAMK2D; CAMK1D; GALNT1; DYRK1A; ACVR1B; HIPK3; TGFBR2; HIPK2	0,0000226
fosforilação de peptidil-treonina (GO: 0018107)	CAMK2D; CAMK1D; DYRK1A; ACVR1B; HIPK3; TGFBR2; HIPK2	0,0000307

regulação positiva da transcrição modelada com ácido nucleico (GO: 1903508)	DDX17; SMAD2; CASZ1; SMAD4; SMAD3; MYRF; FZD4; RFX3; SOX11; RUNX3; ETS1; FLI1; HIPK2; MYCN; ERBB4; ZNF516; RREB1; TRIM44; CREB5	0,00000396
regulação positiva da via de sinalização do receptor de ativina (GO: 0032927)	SMAD2; ACVR1B; ACVR2A	0,00000437

Termos GO CC (GO ID)	Genes	Valor de p
citoesqueleto de actina (GO: 0015629)	TMOD1; FLT1; TPM4; ONECUT2; TPM3; TMOD3; ABRACL; ARPC5; PPP1R9A; ACTB; ACTG1; ARHGAP21; ADAM17; FER; LASP1; FSCN1; TLN2 KANK2; TMOD1; FLT1; TPM4; ONECUT2; TPM3; TMOD3; DYRK1A; ABRACL;	0,000000392
citoesqueleto (GO: 0005856)	ARPC5; PPP1R9A; ACTB; ACTG1; EPB41L5; ARHGAP21; ADAM17; CLIP1; FER; KIF3A; DLG4; AKAP9; FSCN1; TLN2	0,000000434
vesícula endocítica (GO: 0030139)	RAB5C; RAB14; MYO6; RAPGEF2; AP2B1; CLCN3; RAB11FIP4; ARF6	0,0000911
adesão focal (GO: 0005925)	FLT1; TPM4; CAV2; ARPC5; ACTB; ACTG1; ADAM17; LASP1; TLN2; GIT1; MPZL1; YWHAG; ARF6	0,000918
grânulo de estresse citoplasmático (GO: 0010494)	NUFIP2; RBPM3; CAPRIN1; LARP4B	0,002019346
Complexo de ubiquitina ligase SCF (GO: 0019005)	SPOP; KLHL11; SKP1; SPSB4	0,005521005

componente integral da membrana plasmática (GO: 0005887)	PTGFR; FLT1; PLXND1; SLC1A2; HTR2A; CELSR1; ACVR1B; CLCN3; HS6ST1; SLC7A1; IGF1R; PODXL; ERBB4; TSPAN6; PLXNA2; SLC16A2; SLC38A2; SEMA6A; FZD4; CAV2; ATP1B4; ADRA2B; ACVR2A; TGFBR2; SLC8A3; CACNB2; ADAM17; SLC7A8; DLG4; CAPRIN1; RAPGEF2	0,005834268
filamento de actina (GO: 0005884)	TMOD1; TPM4; TPM3; ACTG1	0,005893631
cromatina (GO: 0000785)	SMAD2; SMAD4; FER; MYCN; SMAD3; RFX3; SMCR8; ESCO2; RUNX3; ACTB	0,006006311
Complexo de proteína acetiltransferase N-terminal (GO: 0031414)	NAA50; NAA25	0,007230648

Termos GO MF (GO ID)	Genes	Valor de p
atividade ativadora transcricional, ligação específica da sequência da região proximal do promotor do núcleo da RNA polimerase II (GO: 0001077)	SMAD2; SMAD4; ONECUT2; SOX11; ETS1; ELK4; NR4A2; MYCN; NFIA; MTF1; TBPL1; ERG; SSBP3	0,000000579
ligação de DNA específica da sequência da região proximal do promotor do núcleo (GO: 0000987)	SMAD2; SMAD4; SMAD3; ONECUT2; RFX3; ETS1; ACTB; ELK4; NR4A2; MYCN; NFIA; MTF1; ZNF516; TBPL1; ERG; SSBP3	0,000000922
Ligação de DNA específica da sequência da região proximal do	SMAD2; SMAD4; SMAD3; ONECUT2; RFX3; ETS1; ACTB; ELK4; NR4A2; MYCN; NFIA; MTF1; TBPL1; ERG; SSBP3	0,00000217

promotor principal da RNA polimerase II (GO: 0000978)		
atividade ativadora da transcrição, ligação específica da sequência da região reguladora da transcrição da RNA polimerase II (GO: 0001228)	SMAD2; SMAD4; ONECUT2; SOX11; VEZF1; ETS1; ELK4; NR4A2; MYCN; NFIA; MTF1; TBPL1; ERG; RREB1; SSBP3	0,00000580
Ligação ao DNA específica da sequência da região regulatória de RNA polimerase II (GO: 0000977)	SMAD2; SMAD4; SMAD3; ONECUT2; RFX3; SOX11; VEZF1; RUNX3; ETS1; ACTB; ELK4; NR4A2; MYCN; NFIA; MTF1; TBPL1; ERG; RREB1; SSBP3	0,0000119
Atividade reguladora de GTPase (GO: 0030695)	RTKN; ARHGAP28; IPO7; ABR; RIMS1; ARHGAP21; RASA2; RAPGEF2; SRGAP3; SRGAP1; GIT1; TBC1D15; AGFG1; APPL1	0,0000180
atividade do fator de transcrição, ligação específica da sequência da região proximal do promotor do núcleo da RNA polimerase II (GO: 0000982)	SMAD2; SMAD4; ONECUT2; SOX11; ETS1; ELK4; NR4A2; MYCN; NFIA; MTF1; TBPL1; ERG; SSBP3	0,0000917
ligação de actina (GO: 0003779)	TMOD1; CACNB2; BLOC1S6; TPM4; TPM3; MYO6; FSCN1; ABRACL; TLN2; ARPC5; PPP1R9A; PHACTR4	0,000145
atividade da proteína quinase do receptor transmembrana (GO: 0019199)	FLT1; ERBB4; ACVR1B; ACVR2A; IGF1R; TGFBR2	0,000160

ligação de filamento de actina
(GO: 0051015)

CACNB2; BLOC1S6; TPM4; TPM3; MYO6; FSCN1; ARPC5; PPP1R9A

0,000280

Tabela 14 - Enriquecimento da via KEGG e anotação funcional GO de possíveis genes alvo de miR-1246.

Vias de sinalização KEGG		
Termo	Genes	Valor de p
Processamento de proteínas no retículo endoplasmático	MARCH6; ATF6; UGGT1; SEC63	0,016578842
Anotação funcional GO		
Termos GO BP (GO ID)	Genes	Valor de p
desenvolvimento do sistema nervoso (GO: 0007399)	NHLH2; DLG1; RPS6KA6; SEMA6A; FZD5; GLRB; ERBB4; CRIM1; DCX; PCDHA9	0,000367
lactação (GO: 0007595)	ERBB4; PRLR	0,001209371
especificação do eixo dorsal / ventral (GO: 0009950)	FZD5; LRP6	0,001505888
regulação negativa da cascata ERK1 e ERK2 (GO: 0070373)	RPS6KA6; DLG1; DUSP3	0,001686973
regulação positiva da resposta da proteína desdobrada do retículo endoplasmático (GO: 1900103)	TMEM33; ATF6	0,002191657
regulação positiva da produção de citocinas de células T (GO: 0002726)	FZD5; MALT1	0,002191657
desmontagem do complexo de proteínas (GO: 0043241)	FZD5; LAMP2; LRP6	0,002526238
regulação da produção de citocinas de células T (GO: 0002724)	FZD5; MALT1	0,002580171
modificação de mRNA (GO: 0016556)	DKC1; METTL3	0,002580171
regulação da diferenciação de linfócitos (GO: 0045619)	METTL3; ZFP36L1	0,002998619
Termos GO CC (GO ID)	Genes	Valor de p
centro fibrilar (GO: 0001650)	RPS6KA6; DKC1; IP6K1; MALT1	0,00759322
parte nucleolar (GO: 0044452)	RPS6KA6; DKC1; IP6K1; MALT1	0,012892389
Complexo nuclear de ubiquitina ligase (GO: 0000152)	ANAPC16; PHC3	0,024365839

região perinuclear do citoplasma (GO: 0048471)	SCEL; DLG1; NDFIP1; OSBPL6; VPS53; DYNC1I1	0,024685205
membrana granular densa de plaquetas (GO: 0031088)	LAMP2	0,034886036
componente integral da membrana do retículo endoplasmático (GO: 0030176)	TMEM33; MARCH6; ATF6	0,040170351
Complexo de holoenzima de quinase de ativação de proteína quinase dependente de ciclina (GO: 0019907)	KDM5A	0,040581901
autolisossomo (GO: 0044754)	LAMP2	0,046244434
retículo endoplasmático perinuclear (GO: 0097038)	OSBPL6	0,046244434
componente integral da membrana plasmática (GO: 0005887)	MSR1; SEMA6A; CADM1; FZD5; KCNH8; PTGER3; XG; ATRN; DLG1; GLRB; IYD; ERBB4; TNFRSF8; PCDHA9	0,049379312

Termos GO MF (GO ID)	Genes	Valor de p
Atividade de fator de troca Rho guanil-nucleotídeo (GO: 0005089)	PREX2; PLEKHG2; ARHGEF26	0,005118134
Ligação de domínio PDZ (GO: 0030165)	CADM1; CRIM1; ARHGAP29	0,005878699
Atividade do receptor ativado por Wnt (GO: 0042813)	FZD5; LRP6	0,007381193
ligação específica de domínio desordenada (GO: 0097718)	CALM2; BCL2L2	0,008053188
Atividade do ativador GTPase (GO: 0005096)	PREX2; STARD13; ELMOD2; ARHGAP29; RASAL2	0,016130819
atividade de proteína tirosina / serina / treonina fosfatase (GO: 0008138)	DUSP3; DUSP18	0,017120661
Ligação ao DNA específica da sequência da região regulatória de RNA polimerase II (GO: 0000977)	KLF8; NHLH2; HLF; THR8; ATF6; SKIL; BACH2	0,01934994
Atividade reguladora de GTPase (GO: 0030695)	PREX2; STARD13; ELMOD2; ARHGAP29; RASAL2	0,023618278

atividade de fosfatase (GO: 0016791)	DLG1; DUSP3; DUSP18	0,023696577
atividade de fosfotransferase, grupo fosfato como aceitador (GO: 0016776)	DLG1; IP6K1	0,024365839

5.1.3 Análise *in silico* de perfil de expressão de alvos

De acordo com o programa de análise GEPIA2, não houve diferença significativa na expressão de OCT4 nas amostras do grupo de câncer de mama (BRCA) ($n = 1085$) em comparação com o grupo controle ($n = 291$), com um valor de $p>0,01$ (Figura 9).

Não houve diferença significativa na expressão de OCT4 nas amostras de tecido de câncer de pâncreas (PAAD) ($n = 179$) em comparação com o grupo de tecido controle ($n = 171$), com um valor de $p>0,01$ (Figura 9).

Não houve diferença significativa na expressão de OCT4 nas amostras de tecido de sarcoma (SARC) ($n = 262$) em comparação com o grupo de tecido controle ($n = 2$), com um valor de $p>0,01$ (Figura 9).

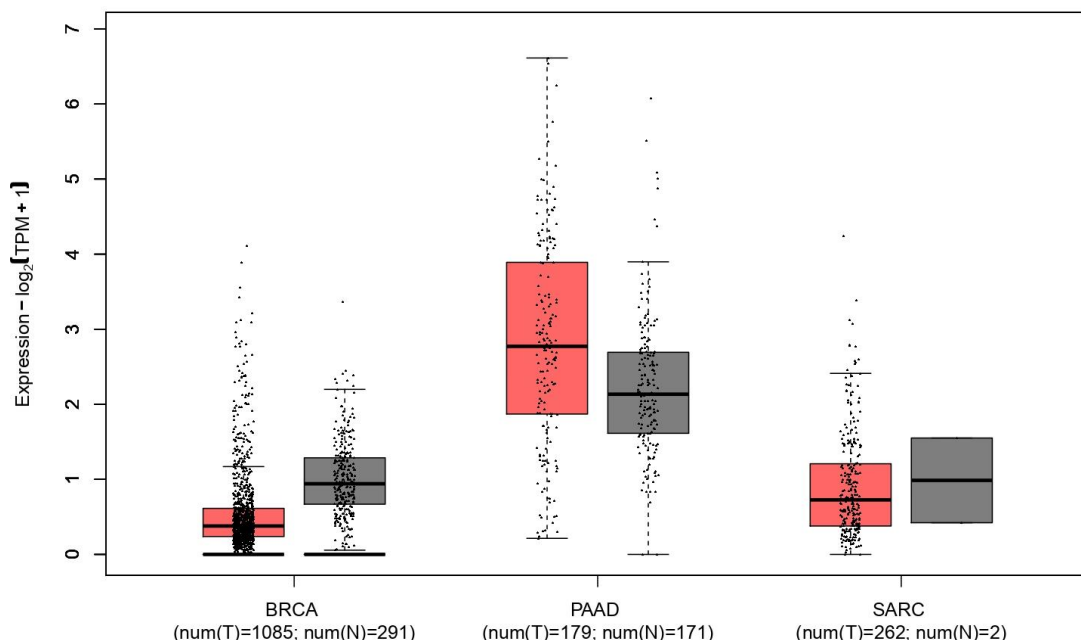


Figura 9. A expressão de OCT4 analisada no banco de dados GEPIA2. Não houve diferença estatística na expressão entre as amostras para os tipos de câncer analisados (em vermelho) em comparação com seus respectivos controles (em cinza) BRCA: câncer de mama; PAAD: câncer de pâncreas; SARC: sarcoma; num(T): número de amostras tumorais; num(N): número de amostras normais.

De acordo com o programa de análise GEPIA2, não houve diferença significativa na expressão de SOX2 nas amostras do grupo de câncer de mama (BRCA) ($n = 1085$) em comparação com o grupo controle ($n = 291$), com um valor de $p>0,01$ (Figura 10).

Não houve diferença significativa na expressão de SOX2 nas amostras de tecido de câncer de pâncreas (PAAD) ($n = 179$) em comparação com o grupo de tecido controle ($n = 171$), com um valor de $p>0,01$ (Figura 10).

Não houve diferença significativa na expressão de SOX2 nas amostras de tecido de sarcoma (SARC) ($n = 262$) em comparação com o grupo de tecido controle ($n = 2$), com um valor de $p>0,01$ (Figura 10).

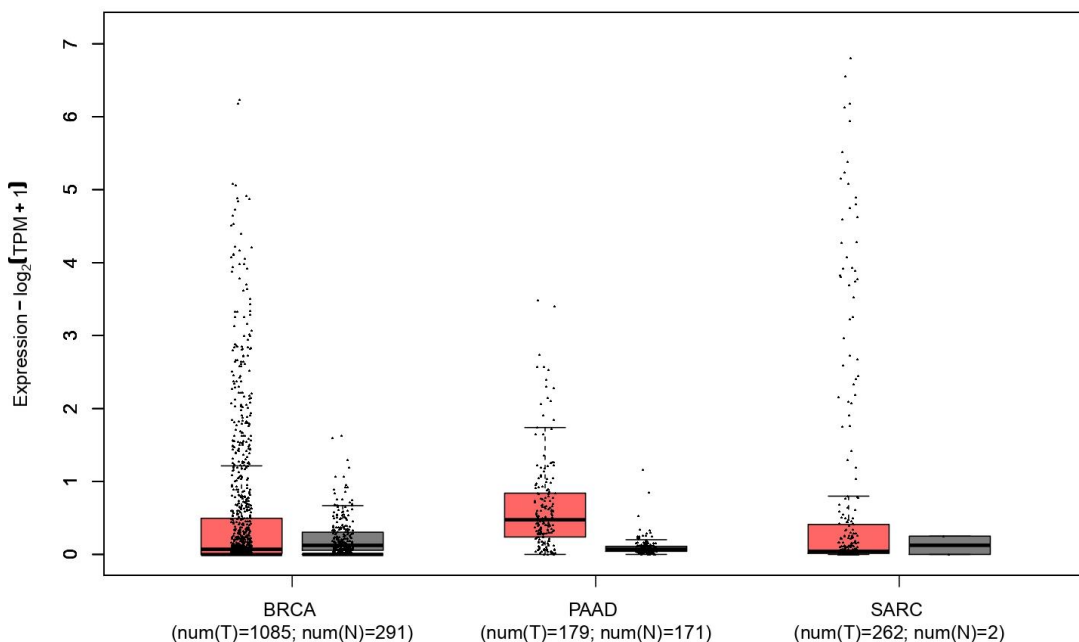


Figura 10. A expressão de SOX2 analisada no banco de dados GEPIA2. Não houve diferença estatística na expressão entre as amostras para os tipos de câncer analisados (em vermelho) em comparação com seus respectivos controles (em cinza). BRCA: câncer de mama; PAAD: câncer de pâncreas; SARC: sarcoma; num(T): número de amostras tumorais; num(N): número de amostras normais.

De acordo com o programa de análise via GEPIA2, a expressão de KLF4 foi significativamente regulado para baixo no grupo de amostras de tecido de câncer de mama (BRCA) ($n = 1085$) em comparação com o grupo de controle ($n = 291$), com um valor de $p<0,01$ (Figura 11).

A expressão de KLF4 foi significativamente regulado para cima no grupo de amostras de tecido de câncer de pâncreas (PAAD) ($n = 179$) em comparação com o grupo de controle ($n = 171$), com um valor de $p<0,01$ (Figura 11).

No entanto, a expressão de KLF4 não exibiu diferença significativa expressão entre os grupos de amostras de tecido de sarcoma (SARC) ($n = 262$) em comparação com o grupo de controle ($n = 2$), com um valor de $p>0,01$ (Figura 11).

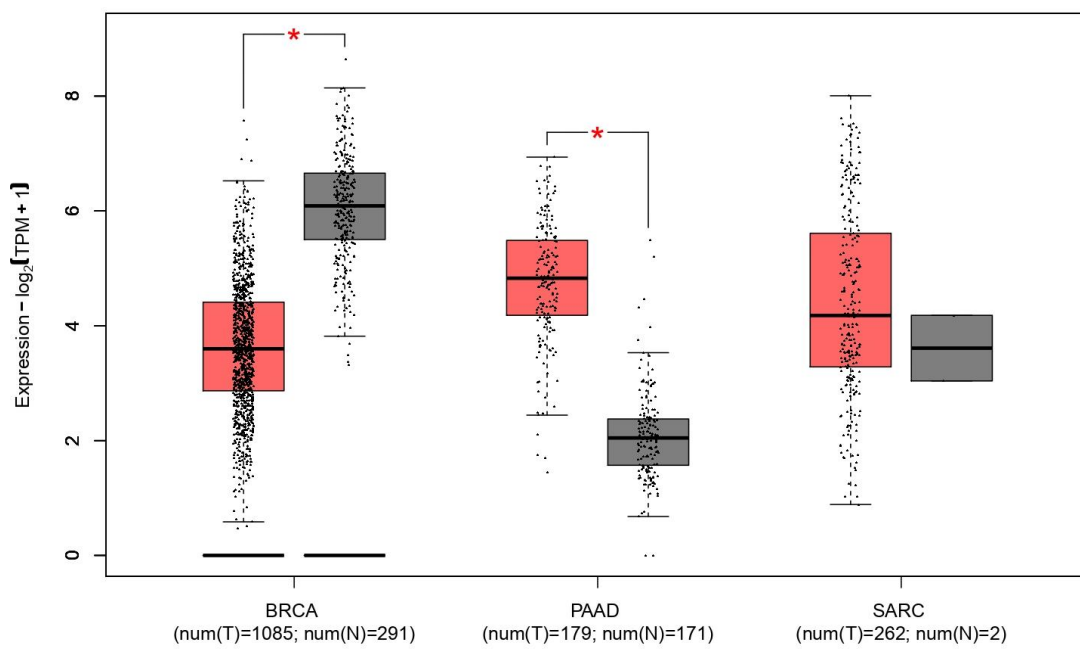


Figura 11. A expressão de KLF4 analisada no banco de dados GEPIA2. A expressão de KLF4 foi significativamente regulada para baixo no grupo de amostras de tecido de câncer de mama, e para cima no grupo de amostras de câncer de pâncreas. Não houve diferença significativa na expressão entre os grupos de amostras de tecido de sarcoma e controle. Amostras de câncer em vermelho, e amostras controle normais em cinza. BRCA: câncer de mama; PAAD: câncer de pâncreas; SARC: sarcoma; num(T): número de amostras tumorais; num(N): número de amostras normais; *p<0,01.

De acordo com o banco de dados GEPIA2, a expressão de c-MYC foi significativamente regulado para baixo no grupo de amostras de tecido de câncer de mama (BRCA) ($n = 1085$) em comparação com o grupo de controle ($n = 291$), com um valor de $p<0,01$ (Figura 12).

A expressão de c-MYC não exibiu diferença significativa expressão entre os grupos de amostras de tecido de câncer de pâncreas (PAAD) ($n = 179$) em comparação com o grupo de controle ($n = 171$), com um valor de $p>0,01$ (Figura 12).

A expressão de c-MYC não exibiu diferença significativa expressão entre os grupos de amostras de tecido de sarcoma (SARC) ($n = 262$) em comparação com o grupo de controle ($n = 2$), com um valor de $p>0,01$ (Figura 12).

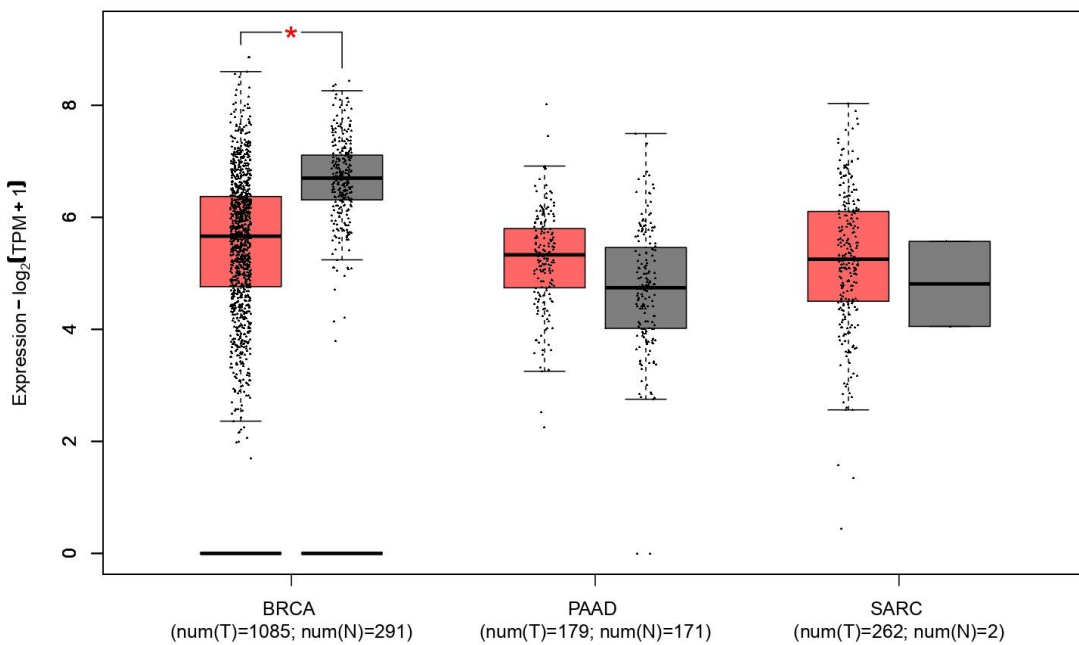


Figura 12. A expressão de c-MYC analisada no banco de dados GEPIA2. A expressão de c-MYC foi significativamente regulado para baixo no grupo de amostras de tecido de câncer de mama. Não houve diferença significativa na expressão entre os grupos de amostras de tecido de câncer de pâncreas e de sarcoma com seus respectivos controles. Amostras de câncer em vermelho, e amostras controle normais em cinza. BRCA: câncer de mama; PAAD: câncer de pâncreas; SARC: sarcoma; num(T): número de amostras tumorais; num(N): número de amostras normais; *p<0,01.

De acordo com o banco de dados GEPIA2, a expressão de CCNG2 não exibiu diferença significativa expressão grupo de amostras de tecido de câncer de mama (BRCA) ($n = 1085$) em comparação com o grupo de controle ($n = 291$), com um valor de $p>0,01$ (Figura 13).

A expressão de CCNG2 foi significativamente regulada para cima no grupo de amostras de tecido de câncer de pâncreas (PAAD) ($n = 179$) em comparação com o grupo de controle ($n = 171$), com um valor de $p<0,01$ (Figura 13).

A expressão de CCNG2 não exibiu diferença significativa expressão entre o grupo de amostras de tecido de sarcoma (SARC) ($n = 262$) em comparação com o grupo de controle ($n = 2$), com um valor de $p>0,01$ (Figura 13).

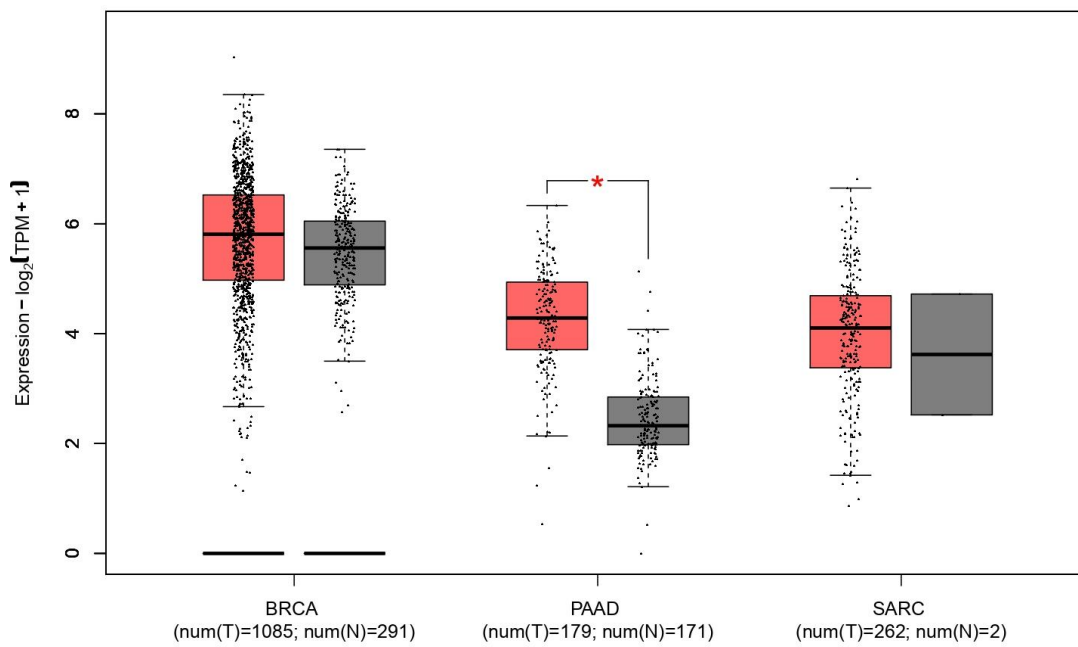


Figura 13. A expressão de CCNG2 analisada no banco de dados GEPIA2. A expressão de CCNG2 foi significativamente regulado para cima no grupo de amostras de tecido de câncer de pâncreas. Não houve diferença significativa na expressão entre os grupos de amostras de tecido de câncer de mama e de sarcoma com seus respectivos controles. Amostras de câncer em vermelho, e amostras controle normais em cinza. BRCA: câncer de mama; PAAD: câncer de pâncreas; SARC: sarcoma; num(T): número de amostras tumorais; num(N): número de amostras normais; *p<0,01.

De acordo com o banco de dados GEPIA2, a expressão de CRADD não exibiu diferença significativa expressão grupo de amostras de tecido de câncer de mama (BRCA) ($n = 1085$) em comparação com o grupo de controle ($n = 291$), com um valor de $p>0,01$ (Figura 14).

A expressão de CRADD não exibiu diferença significativa expressão grupo de amostras de tecido de câncer de pâncreas (PAAD) ($n = 179$) em comparação com o grupo de controle ($n = 171$), com um valor de $p<0,01$ (Figura 14).

A expressão de CRADD não exibiu diferença significativa expressão entre o grupo de amostras de tecido de sarcoma (SARC) ($n = 262$) em comparação com o grupo de controle ($n = 2$), com um valor de $p>0,01$ (Figura 14).

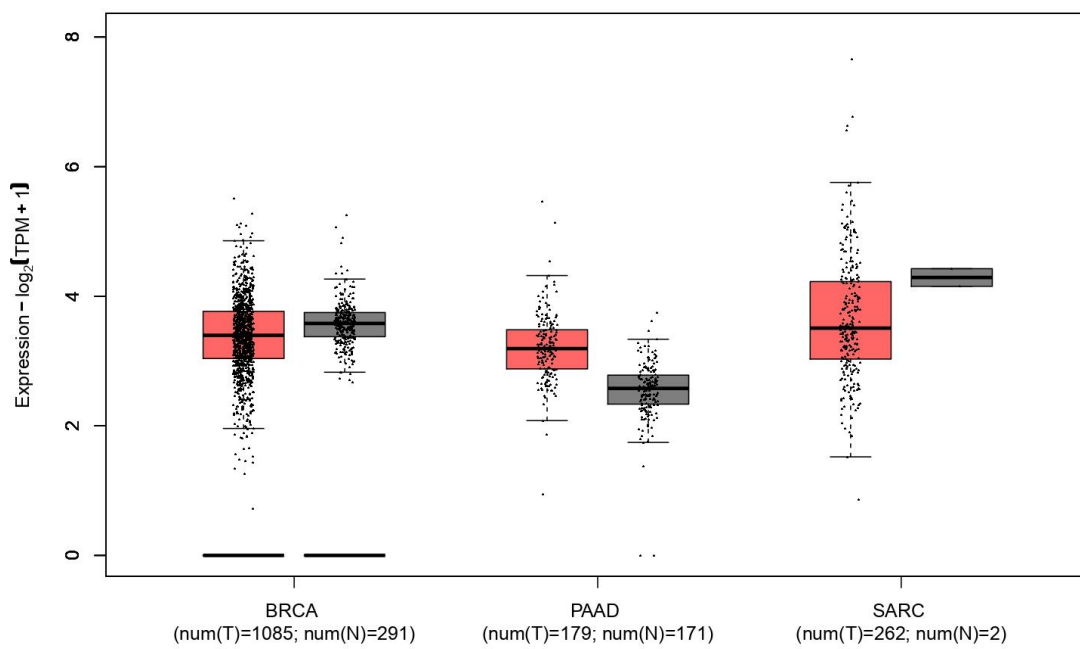


Figura 14. A expressão de CRADD analisada no banco de dados GEPIA2. Não houve diferença estatística na expressão entre as amostras para os tipos de câncer analisados (em vermelho) em comparação com seus respectivos controles (em cinza). BRCA: câncer de mama; PAAD: câncer de pâncreas; SARC: sarcoma; num(T): número de amostras tumorais; num(N): número de amostras normais.

5.1.4 Análise de sobrevida Kaplan-Meier

O valor prognóstico e a significância clínica da expressão de miR-145-5p e miR-1246, bem como dos alvos selecionados, em câncer de pâncreas, câncer de mama e sarcoma foram avaliados utilizando o banco de dados TCGA com o software disponível *online* Kaplan-Meier (KM) plotter.

De acordo com os resultados, nenhuma diferença estatisticamente significativa foi observada na OS entre pacientes com câncer de pâncreas com baixa e alta expressão de miR-145 (HR = 0,84, IC de 95% = 0,55-1,26, p = 0,39) (Figura 15A). Entretanto a OS foi significativamente menor no grupo de pacientes de câncer de pâncreas com alta expressão de miR-1246 (HR = 2,27, IC de 95% = 1,34-3,86, p = 0,0018) em comparação ao grupo de pacientes com expressão baixa (Figura 15B).

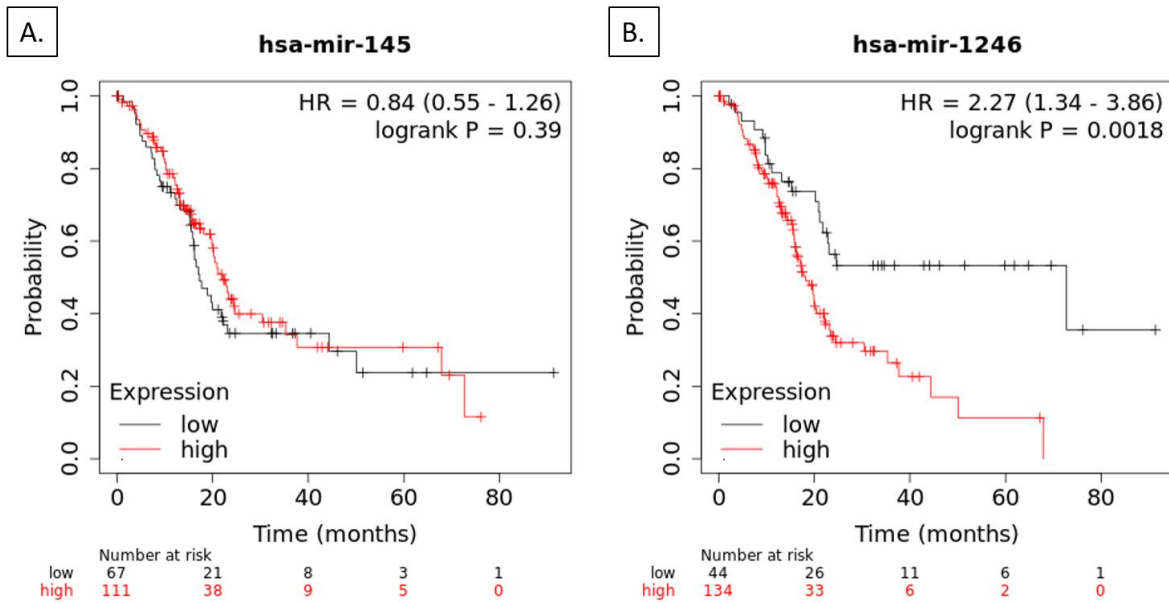


Figura 15. Valor prognóstico da expressão de miR-145 e de miR-1246 na coorte de câncer de pâncreas. A. Kaplan-Meier com curva de sobrevida global de acordo com níveis de expressão de miR-145. B. Kaplan-Meier com curva de sobrevida global de acordo com níveis de expressão de miR-1246. Linha preta representa o grupo com baixa expressão e linha vermelha representa o grupo com alta expressão. Não houve diferença estatisticamente significativa na OS entre pacientes com baixa e alta expressão de miR-145. A OS é significativamente menor no grupo de pacientes com alta expressão de miR-1246. Logrank P<0,05 foi considerado estatisticamente significativo.

Nenhuma diferença estatisticamente significativa foi observada na OS entre pacientes com câncer de mama com baixa e alta expressão de miR-145 (HR = 1,33, IC de 95% = 0,93-1,89, p = 0,12) (Figura 16A). A OS foi significativamente menor no grupo de pacientes de câncer de mama com alta expressão de miR-1246 (HR = 2,41, IC de 95% = 1,72-3,38, p = 0,0000018) em comparação ao grupo de pacientes com expressão baixa (Figura 16B).

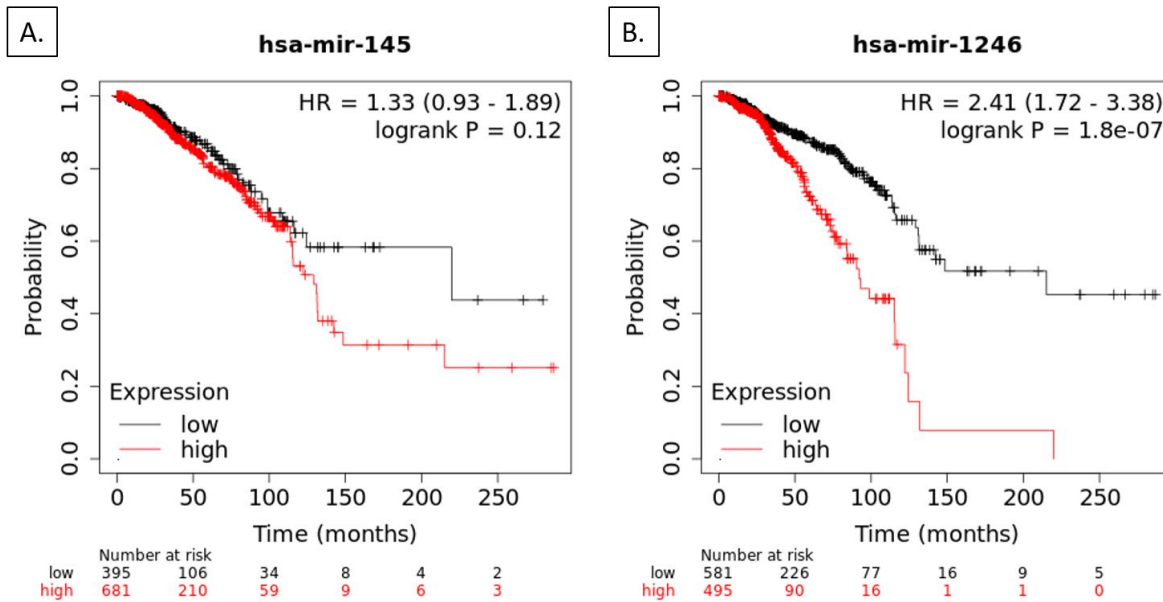


Figura 16. Valor prognóstico da expressão de miR-145 e de miR-1246 na coorte de câncer de mama. A. Kaplan-Meier com curva de sobrevida global de acordo com níveis de expressão de miR-145. B. Kaplan-Meier com curva de sobrevida global de acordo com níveis de expressão de miR-1246. Linha preta representa o grupo com baixa expressão e linha vermelha representa o grupo com alta expressão. Não houve diferença estatisticamente significativa na OS entre pacientes com baixa e alta expressão de miR-145. A OS é significativamente menor no grupo de pacientes com alta expressão de miR-1246. Logrank P<0,05 foi considerado estatisticamente significativo.

Nenhuma diferença estatisticamente significativa foi observada na OS entre pacientes com sarcoma com baixa e alta expressão de miR-145 (HR = 0,7, IC de 95% = 0,45-1,07, p = 0,099) (Figura 17A). Observação similar ocorreu para a expressão de miR-1246 (HR = 1,44, IC de 95% = 0,97-2,15, p = 0,071) (Figura 17B).

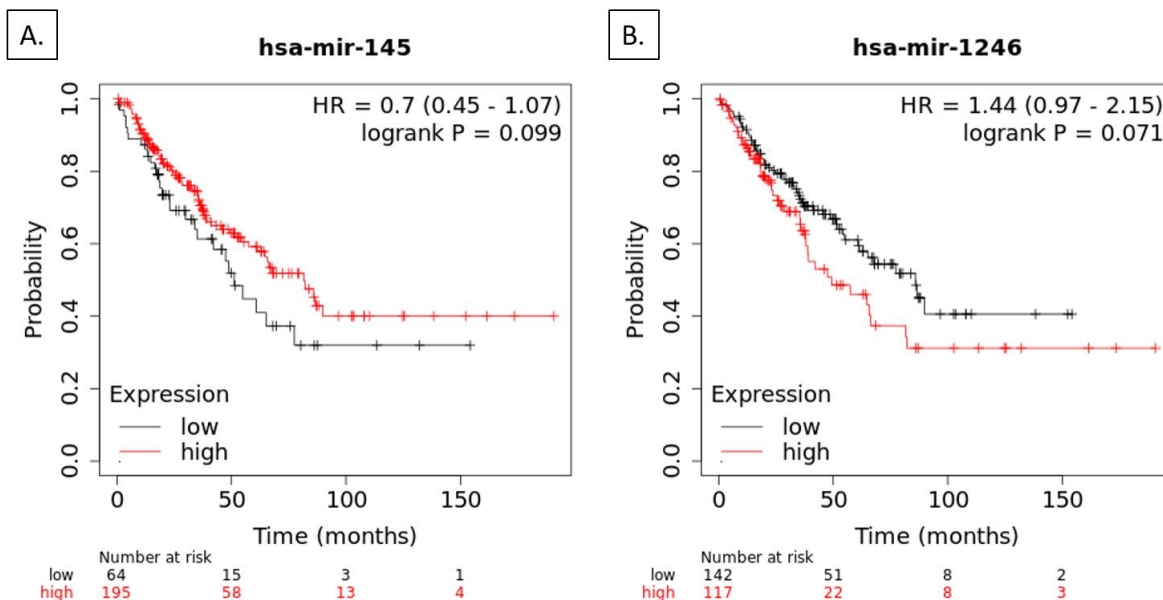


Figura 17. Valor prognóstico da expressão de miR-145 e de miR-1246 na coorte de sarcoma. A. Kaplan-Meier com curva de sobrevida global de acordo com níveis de expressão de miR-145. B. Kaplan-Meier com curva de sobrevida global de acordo com níveis de expressão de miR-1246. Linha preta representa o grupo com baixa expressão e linha vermelha representa o grupo com alta expressão.

Não houve diferença estatisticamente significativa na OS entre pacientes com baixa e alta expressão de miR-145 e de miR-1246. Logrank P<0,05 foi considerado estatisticamente significativo.

Para os alvos selecionados em câncer de pâncreas, a OS foi significativamente menor no grupo de pacientes com alta expressão de OCT4 (POU5F1) (HR = 1,74, IC de 95% = 1,05-2,89, p = 0,031) em comparação ao grupo de pacientes com expressão baixa (Figura 18A). Observação similar ocorreu para KLF4 (HR = 1,98, IC de 95% = 1,15-3,40, p = 0,012) (Figura 18C), MYC (HR = 1,85, IC de 95% = 1,18-2,89, p = 0,0061) (Figura 18D) e CCNG2 (HR = 1,72, IC de 95% = 1,10-2,69, p = 0,015) (Figura 19A). Entretanto nenhuma diferença estatisticamente significativa foi observada no tempo de OS entre pacientes com câncer de pâncreas com baixa e alta expressão de SOX2 (HR = 0,73, IC de 95% = 0,48-1,10, p = 0,13) (Figura 18B) e CRADD (HR = 0,65, IC de 95% = 0,42-1,02, p = 0,06) (Figura 19B).

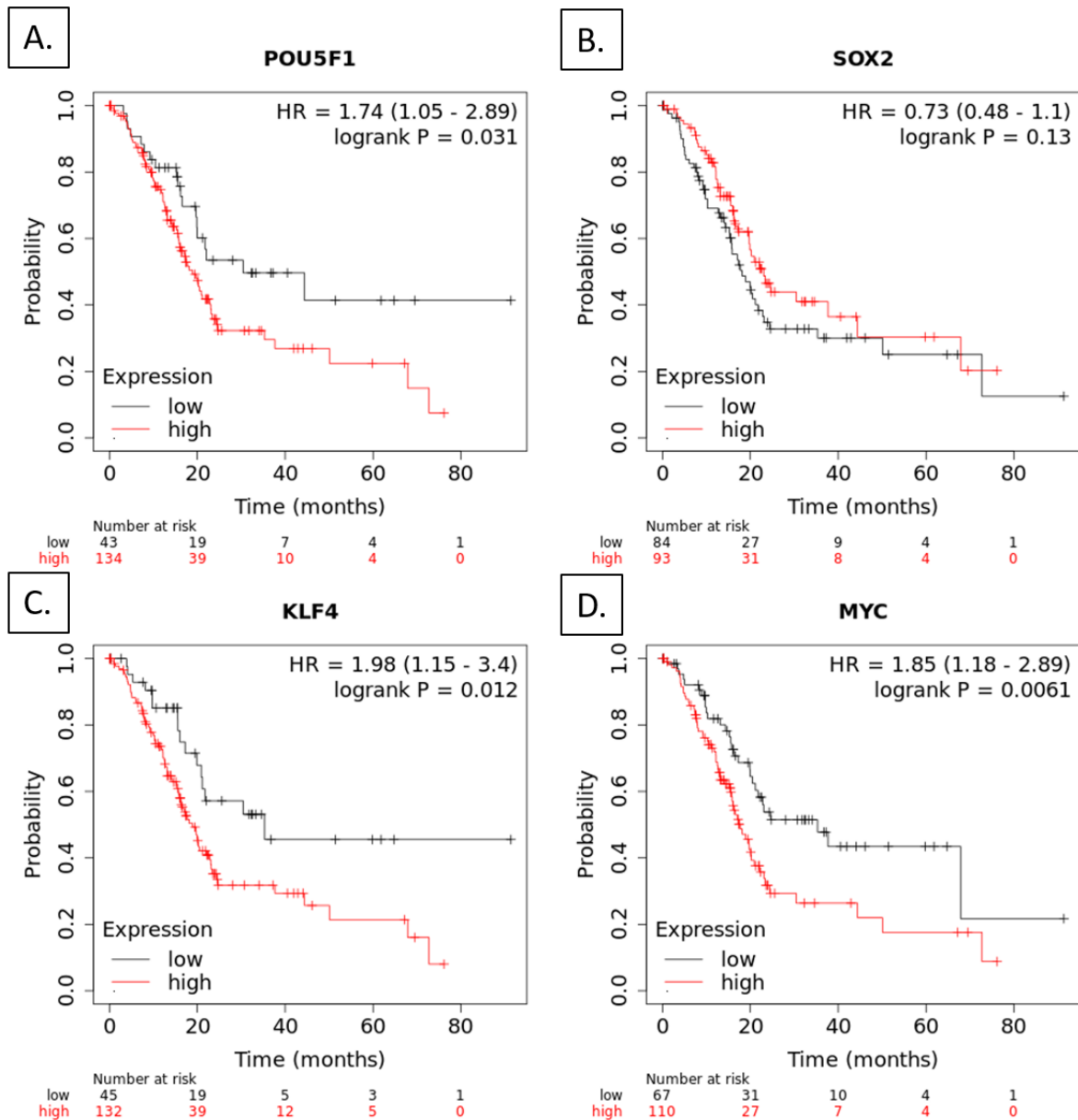


Figura 18. Valor prognóstico de genes alvo de miR-145 na coorte de câncer de pâncreas. A. Kaplan-Meier com curva de sobrevida global de acordo com níveis de expressão de OCT4. B. Kaplan-Meier com curva de sobrevida global de acordo com níveis de expressão de SOX2. C. Kaplan-Meier com curva de sobrevida global de acordo com níveis de expressão de KLF4. D. Kaplan-Meier com curva de sobrevida global de acordo com níveis de expressão de MYC. Linha preta representa o grupo com baixa expressão e linha vermelha representa o grupo com alta expressão. A OS é significativamente menor no grupo de pacientes com alta expressão de OCT4 (POU5F1), KLF4, MYC. Logrank P<0,05 foi considerado estatisticamente significativo.

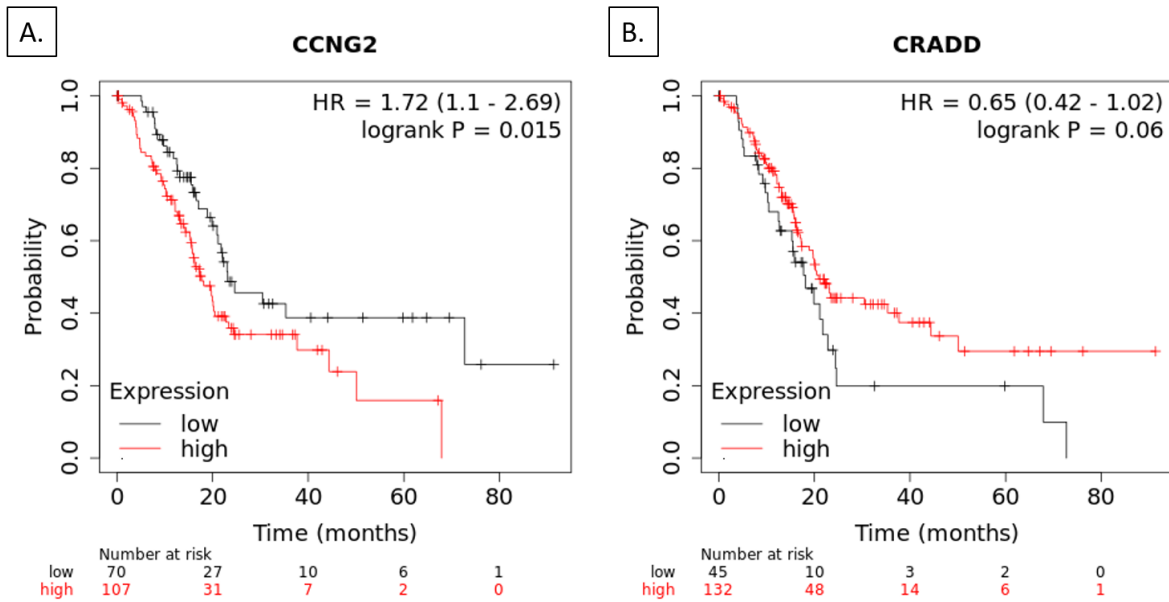


Figura 19. Valor prognóstico de genes alvo de miR-1246 na coorte de câncer de pâncreas. A. Kaplan-Meier com curva de sobrevida global para CCNG2. B. Kaplan-Meier com curva de sobrevida global para CRADD. Linha preta representa o grupo com baixa expressão e linha vermelha representa o grupo com alta expressão. A OS é significativamente menor no grupo de pacientes com alta expressão de CCNG2. Logrank P<0,05 foi considerado estatisticamente significativo.

Para os mesmos alvos selecionados, mas em pacientes com câncer de mama, a OS foi significativamente menor no grupo de pacientes com baixa expressão de OCT4 (POU5F1) ($HR = 0,69$, IC de 95% = 0,50-0,97, $p = 0,032$) em comparação ao grupo de pacientes com expressão baixa (Figura 20A). Observação similar foi realizada para MYC ($HR = 0,70$, IC de 95% = 0,51-0,97, $p = 0,03$) (Figura 20D). Foi observada que a OS foi significativamente menor no grupo de pacientes com alta expressão de CRADD ($HR = 1,57$, IC de 95% = 1,14-2,16, $p = 0,0054$) (Figura 21B). Nenhuma diferença estatisticamente significativa foi observada no tempo de OS entre pacientes com câncer de mama com baixa e alta expressão de SOX2 ($HR = 1,33$, IC de 95% = 0,95-1,87, $p = 0,099$) (Figura 20B), KLF4 ($HR = 0,79$, IC de 95% = 0,55-1,14, $p = 0,21$) (Figura 20C) e CCNG2 ($HR = 0,86$, IC de 95% = 0,69-1,19, $p = 0,36$) (Figura 21A).

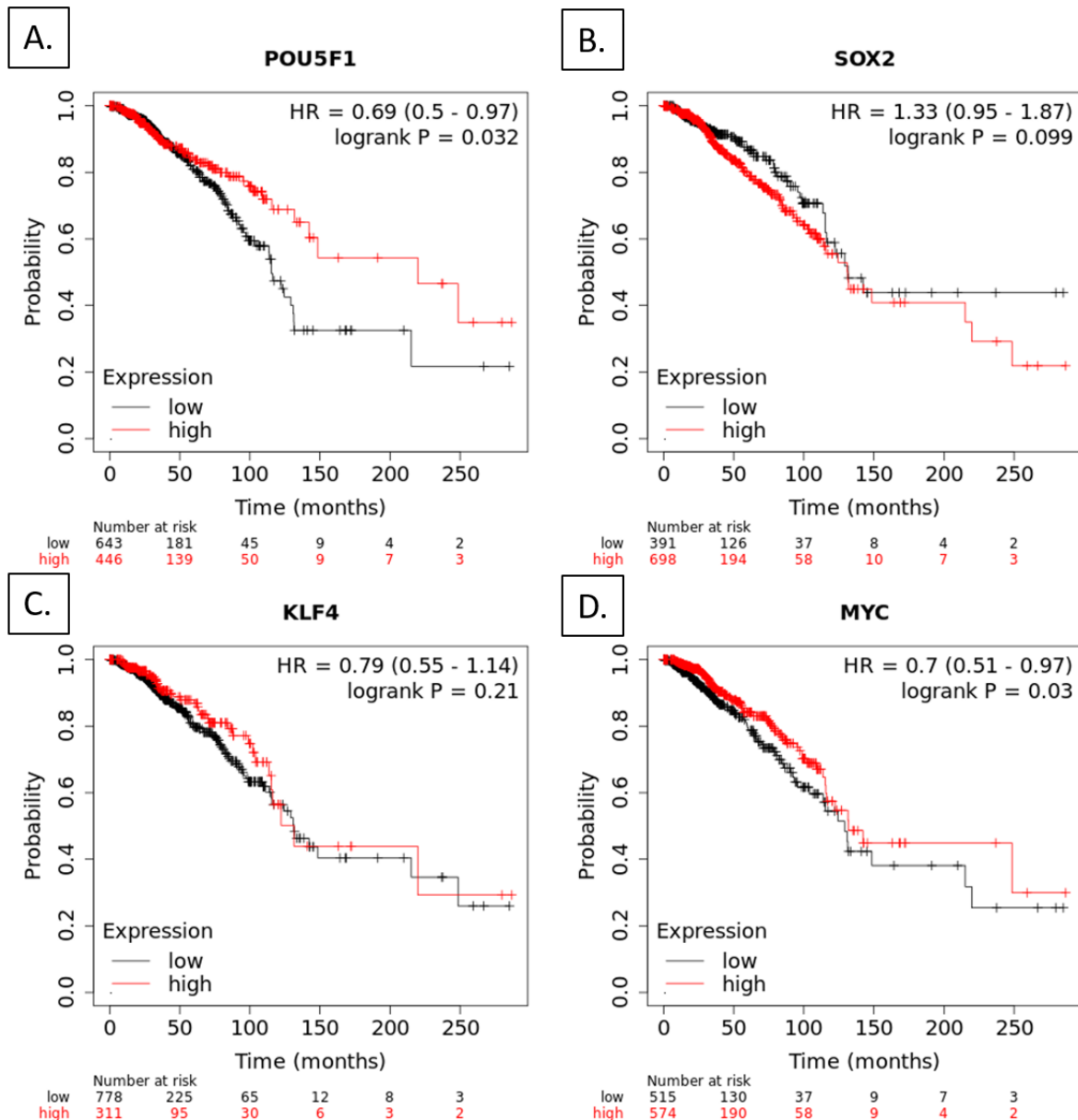


Figura 20. Valor prognóstico de genes alvo de miR-145 na coorte de câncer de mama. A. Kaplan-Meier com curva de sobrevida global de acordo com níveis de expressão de OCT4. B. Kaplan-Meier com curva de sobrevida global de acordo com níveis de expressão de SOX2. C. Kaplan-Meier com curva de sobrevida global de acordo com níveis de expressão de KLF4. D. Kaplan-Meier com curva de sobrevida global de acordo com níveis de expressão de MYC. Linha preta representa o grupo com baixa expressão e linha vermelha representa o grupo com alta expressão. A OS é significativamente menor no grupo de pacientes com baixa expressão de OCT4 (POU5F1) e MYC. Logrank P<0,05 foi considerado estatisticamente significativo.

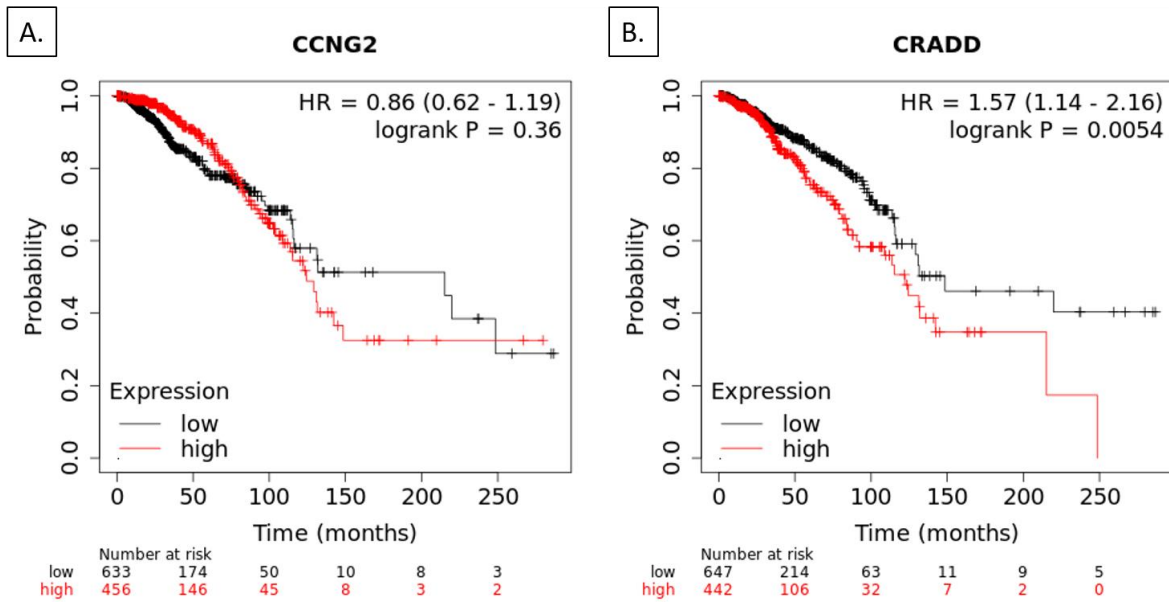


Figura 21. Valor prognóstico de genes alvo de miR-1246 na coorte de câncer de mama. A. Kaplan-Meier com curva de sobrevida global para CCNG2. B. Kaplan-Meier com curva de sobrevida global para CRADD. Linha preta representa o grupo com baixa expressão e linha vermelha representa o grupo com alta expressão. A OS é significativamente menor no grupo de pacientes com alta expressão de CRADD. Logrank P<0,05 foi considerado estatisticamente significativo.

Para os mesmos alvos selecionados, mas em pacientes com sarcoma, a OS foi significativamente menor no grupo de pacientes com alta expressão de SOX2 (HR = 1,75, IC de 95% = 1,15-2,67, p = 0,0086) em comparação ao grupo de pacientes com expressão baixa (Figura 22B). Observação similar foi feita para MYC (HR = 1,91, IC de 95% = 1,29-2,85, p = 0,0011) (Figura 22D). Foi observada que a OS foi significativamente menor no grupo de pacientes com baixa expressão de CRADD (HR = 0,52, IC de 95% = 0,32-0,85, p = 0,008) (Figura 23B). Nenhuma diferença estatisticamente significativa foi observada no tempo de OS entre pacientes com baixa e alta expressão de OCT4 (POU5F1) (HR = 0,74, IC de 95% = 0,50-1,10, p = 0,13) (Figura 22A), KLF4 (HR = 0,83, IC de 95% = 0,54-1,27, p = 0,39) (Figura 22C) e CCNG2 (HR = 0,72, IC de 95% = 0,45-1,13, p = 0,15) (Figura 23A).

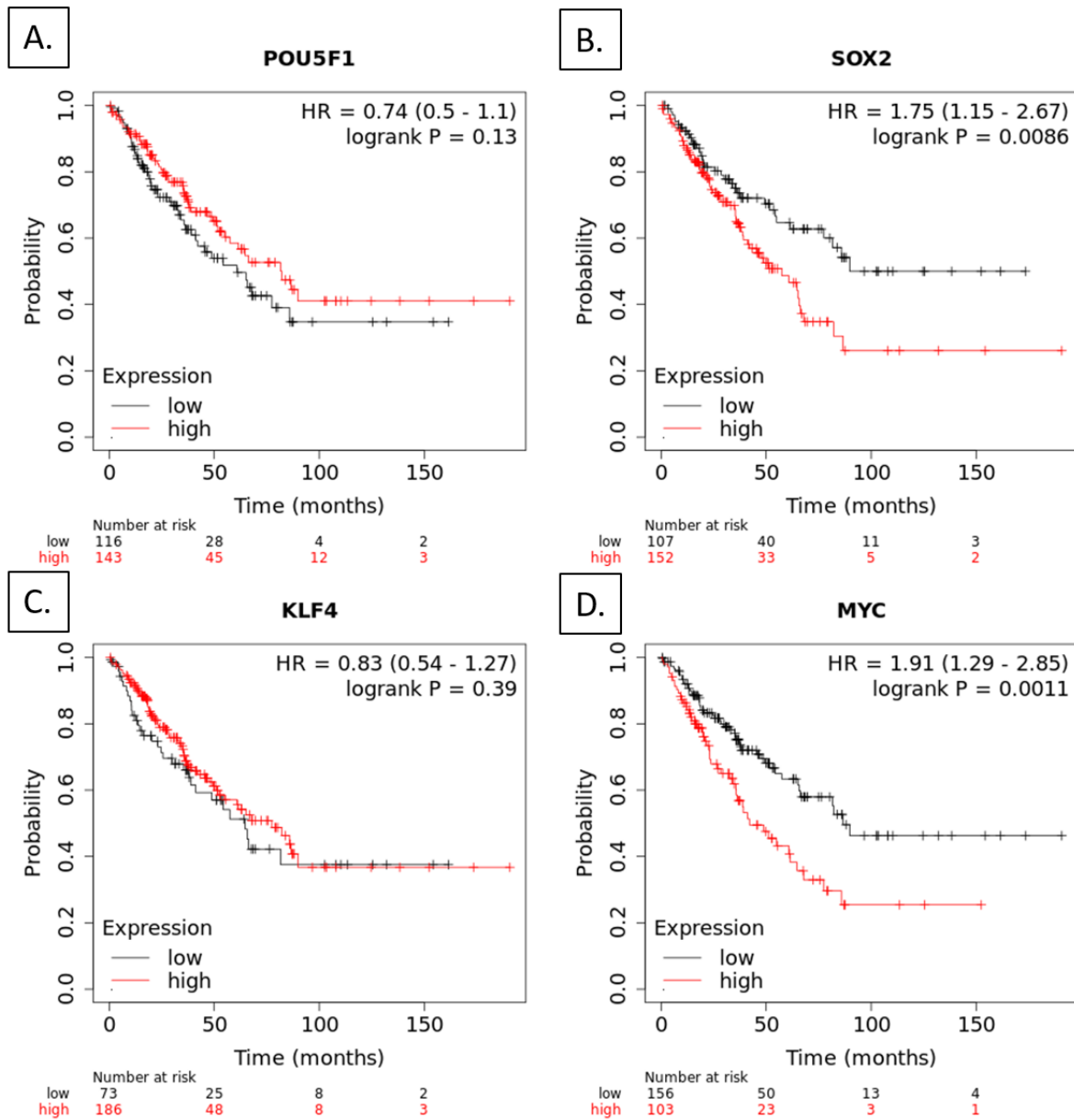


Figura 22. Valor prognóstico de genes alvo de miR-145 na coorte de sarcoma. A. Kaplan-Meier com curva de sobrevida global de acordo com níveis de expressão de OCT4. B. Kaplan-Meier com curva de sobrevida global de acordo com níveis de expressão de SOX2. C. Kaplan-Meier com curva de sobrevida global de acordo com níveis de expressão de KLF4. D. Kaplan-Meier com curva de sobrevida global de acordo com níveis de expressão de MYC. Linha preta representa o grupo com baixa expressão e linha vermelha representa o grupo com alta expressão. A OS é significativamente menor no grupo de pacientes com alta expressão de SOX2 e MYC. Logrank P<0,05 foi considerado estatisticamente significativo.

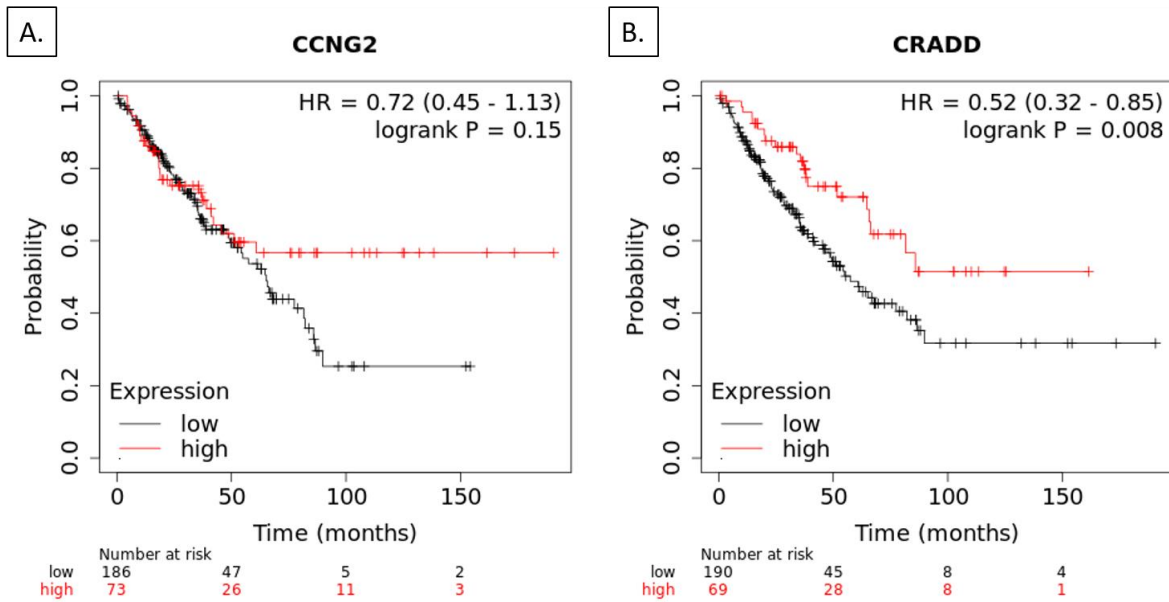


Figura 23. Valor prognóstico de genes alvo de miR-1246 na coorte de sarcoma. A. Kaplan-Meier com curva de sobrevida global para CCNG2. B. Kaplan-Meier com curva de sobrevida global para CRADD. Linha preta representa o grupo com baixa expressão e linha vermelha representa o grupo com alta expressão. A OS é significativamente menor no grupo de pacientes com baixa expressão de CRADD. Logrank P<0,05 foi considerado estatisticamente significativo.

5.2 Expressão endógena de miRNAs em linhagens de câncer

A expressão de miRNA-145-5p na linhagem PANC-1 estava 0,37 vezes menor do que a expressão encontrada na linhagem controle HEK-293. Nas linhagens CAPAN-1 e CAPAN-2, a expressão se encontrava respectivamente 0,19 e 0,96 vezes menor que a expressão encontrada na linhagem controle HEK-293. Na linhagem U-2-OS, miRNA-145-5p se encontrava 36,63 vezes mais expresso em comparação à linhagem utilizada como controle. A linhagem MG-63 expressou 0,03 vezes menos mir145-5p do que a linhagem controle. As linhagens de câncer de mama MCF-7 e MDA-MB-231 apresentaram expressões de miR-145-5p, respectivamente 0,07 e 0,03 vezes menor que a expressão da linhagem utilizada como controle. Na linhagem BT-474, miRNA-145-5p estava 1,54 vezes mais expresso.

A Figura 24 abaixo mostra a expressão relativa de miR-145-5p nas diferentes linhagens.

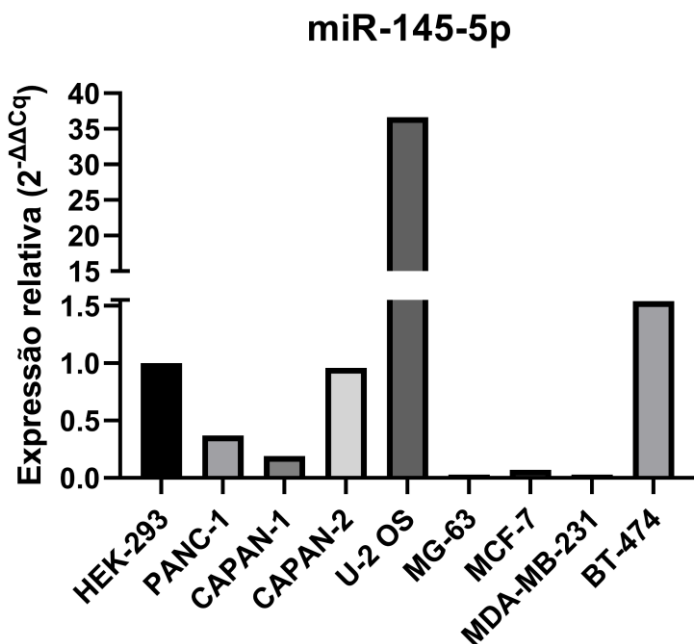


Figura 24. Expressão relativa de miR-145-5p nas diferentes linhagens utilizadas. N=1.

Nas linhagens de câncer de pâncreas PANC-1 e CAPAN-1, a expressão de miRNA-1246 estava, respectivamente, 10,08 e 217,31 vezes maior do que a expressão encontrada na linhagem controle HEK-293. Já na linhagem CAPAN-2 a expressão de miR-1246 se encontrava 0,05 vezes menor que a expressão na linhagem controle. Nas linhagens de osteossarcoma U2-OS e MG-63, o miRNA-1246 se encontrava 1,47 e 597,61 vezes, respectivamente, mais expresso em comparação à linhagem controle. Nas linhagens de câncer de mama, MCF-7, BT-474 e MDA-MB213, miRNA-1246 estava, respectivamente, 46,98, 17,21 e 22,07 vezes mais expresso que na linhagem controle. A Figura 22 abaixo mostra a expressão relativa de miR-1246 nas diferentes linhagens.

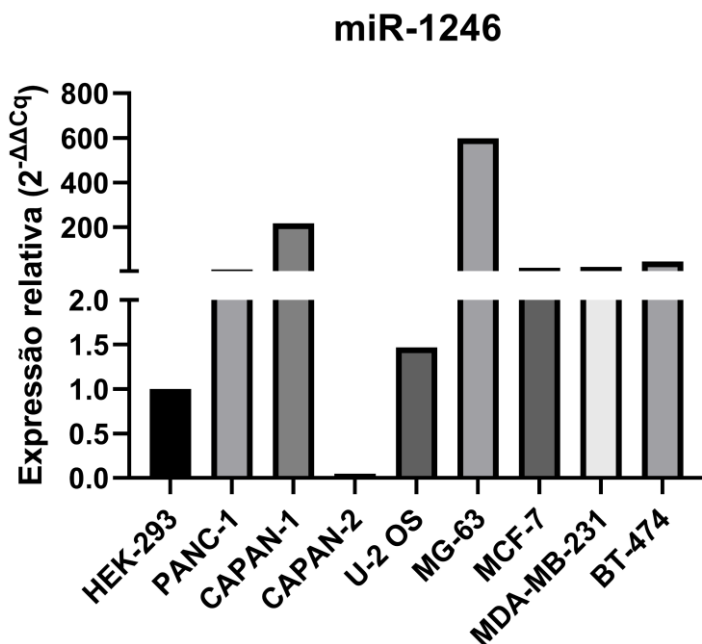


Figura 25. Expressão relativa de miR-1246 nas diferentes linhagens utilizadas. N=1.

5.3 Expressão endógena de mRNAs alvos em linhagens de câncer

Levando em consideração os resultados de expressão e de valor prognóstico dos alvos, o nível de expressão endógena basal do mRNA dos alvos nas linhagens utilizadas foi quantificado através de RT-qPCR, e para posterior comparação após o tratamento com curcumina.

Nas linhagens de câncer de pâncreas PANC-1 e CAPAN-1, a expressão de Oct4 estava, respectivamente 1,26 e 11,14 vezes maior do que a expressão encontrada na linhagem controle HEK-293. Na linhagem CAPAN-2 a expressão se encontra 0,82 vezes menor que a expressão encontrada na linhagem controle HEK-293. Nas linhagens de osteossarcoma U2-OS e MG-63, OCT4 se encontrava, respectivamente 0,30 e 0,21 vezes menos expresso em comparação à linhagem controle. Nas linhagens de câncer de mama BT-474, MCF-7 e MDA-MB231, OCT4 estava, respectivamente, 0,31, 0,29 e 0,64 vezes menos expresso que na linhagem controle HEK-293. A Figura 26 abaixo mostra a expressão relativa de OCT4 nas diferentes linhagens.

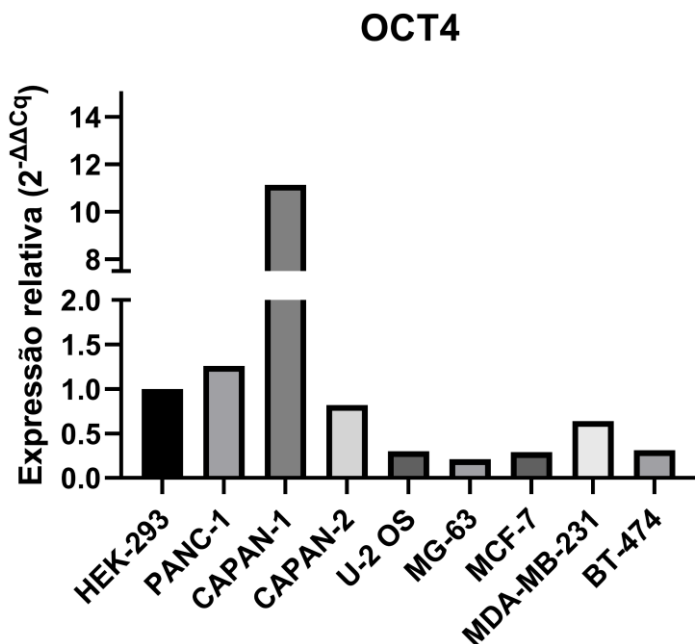


Figura 26. Expressão relativa de OCT4 nas diferentes linhagens. N=1.

Nas linhagens PANC-1, CAPAN-1 e CAPAN-2 a expressão de SOX2 estava, respectivamente, 0,01, 0,16 e 0,0029 vezes menor do que a expressão encontrada na linhagem controle HEK-293. Nas linhagens U2-OS e MG-63, SOX2 se encontrava, respectivamente 0,04 e 0,00009 vezes menos expresso em comparação à linhagem utilizada com o controle. Nas linhagens de câncer de mama, o SOX2 estava, respectivamente 0,02, 0,10 e 0,00094 vezes menos expresso BT-474, MCF-7 e MDA-MB-231, respectivamente, em relação à linhagem controle A Figura 27 abaixo mostra a expressão relativa de SOX2 nas diferentes linhagens.

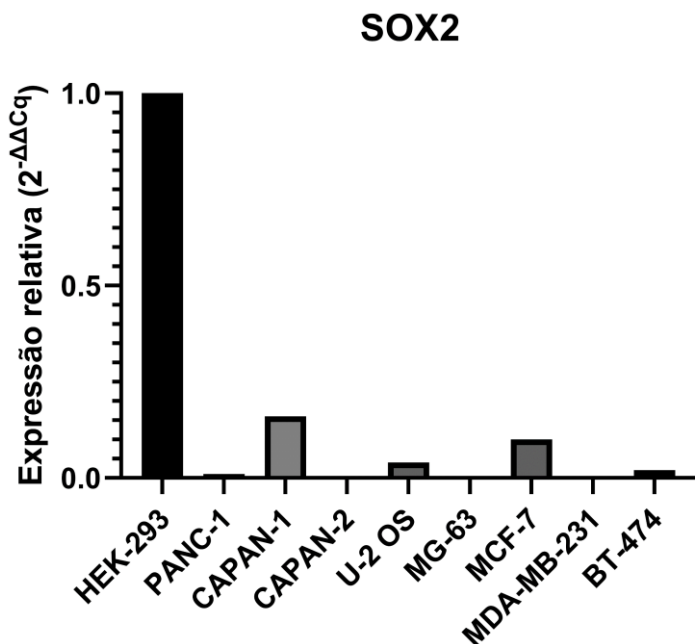


Figura 27. Expressão relativa de SOX2 nas diferentes linhagens utilizadas. N=1.

A expressão KLF4 na linhagem PANC-1 estava 0,72 vezes menor do que a expressão encontrada na linhagem controle HEK-293. Nas linhagens CAPAN-1 e CAPAN-2 a expressão de KLF4 se encontrava, respectivamente 8,01 e 4,74 vezes maior que a expressão encontrada na linhagem controle. Nas linhagens U2-OS e MG-63 de osteossarcoma, a expressão de KLF4 se encontrava respectivamente, 20,78 vezes maior e 0,24 vezes menor, do que a expressão na linhagem controle. Nas linhagens de câncer de mama, BT-474, MCF-7 e MDA-MB-231, KLF4 estava, respectivamente, 2,07, 1,75 e 3,07 vezes mais expresso que na linhagem controle A Figura 28 abaixo mostra a expressão relativa de KLF4 nas diferentes linhagens.

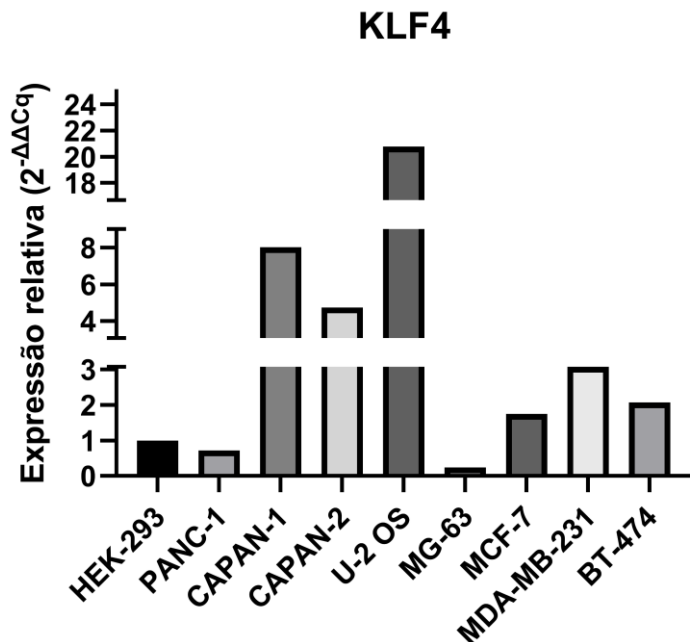


Figura 28. Expressão relativa de KLF4 nas diferentes linhagens utilizadas. N=1.

A expressão C-MYC na linhagem PANC-1 estava 0,85 vezes menor do que a expressão encontrada na linhagem controle HEK-293. Nas linhagens CAPAN-1 e CAPAN-2, a expressão se encontrava, respectivamente, 7,32 e 1,28 vezes maior que a expressão encontrada na linhagem controle HEK-293. Nas linhagens U2-OS e MG-63, a expressão de C-MYC se encontrava, respectivamente 0,17 e 0,31 vezes menor em comparação à expressão na linhagem controle. Nas linhagens de câncer de mama BT-474 e MCF-7, C-MYC estava, respectivamente 0,42 e 0,25 vezes menos expresso que na linhagem HEK-293. A linhagem MDA-MB-apresentou uma expressão de c-MYC 1,83 vezes maior que a expressão da linhagem utilizada como controle A Figura 29 abaixo mostra a expressão relativa de MYC nas diferentes linhagens.

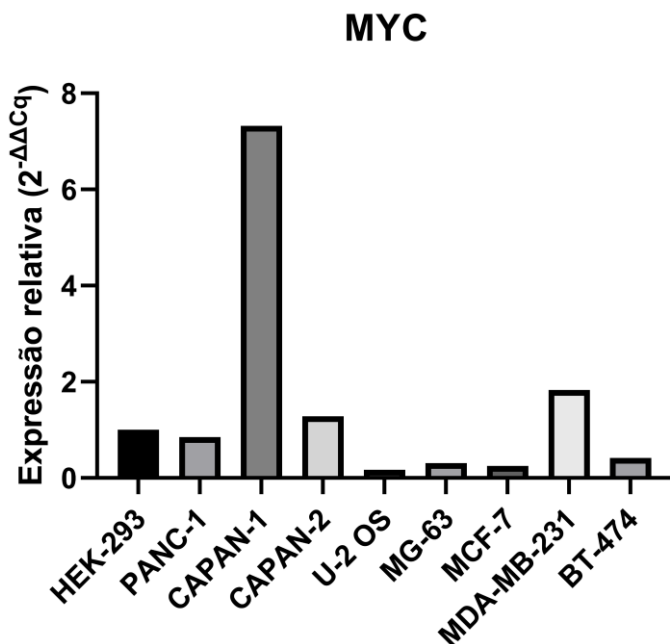


Figura 29. Expressão relativa de MYC nas diferentes linhagens utilizadas. N=1.

Determinou-se também o nível endógeno de expressão por RT-qPCR de um alvo confirmado do miR-1246, o inibidor de ciclina CCNG2. Com base em buscas em dados de bancos online de alvos putativos de miRNAs (TargetScan 7.2, miRDB e miRWalk 3.0), determinou-se também o nível de expressão endógeno do gene CRADD, envolvido no processo de apoptose.

A expressão CCNG2 na linhagem PANC-1 estava 0,25 vezes menor do que a expressão encontrada na linhagem controle HEK-293. Nas linhagens CAPAN-1 e CAPAN-2 a expressão de CCNG2 se encontrava, respectivamente, 1,30 e 1,20 vezes maior que a expressão encontrada na linhagem controle. Nas linhagens U2-OS e MG-63, CCNG2 se encontrava, respectivamente, 2374,90 vezes mais expresso e 0,08 menos expresso que na linhagem controle. CCNG2 estava 4,93 vezes mais expresso na linhagem BT-474 que na linhagem controle. Nas linhagens MCF-7 e MDA-MB231, CCNG2 estava, respectivamente 0,78 e 0,49 vezes menos expresso que na linhagem controle A Figura 30 abaixo mostra a expressão relativa de CCNG2 nas diferentes linhagens.

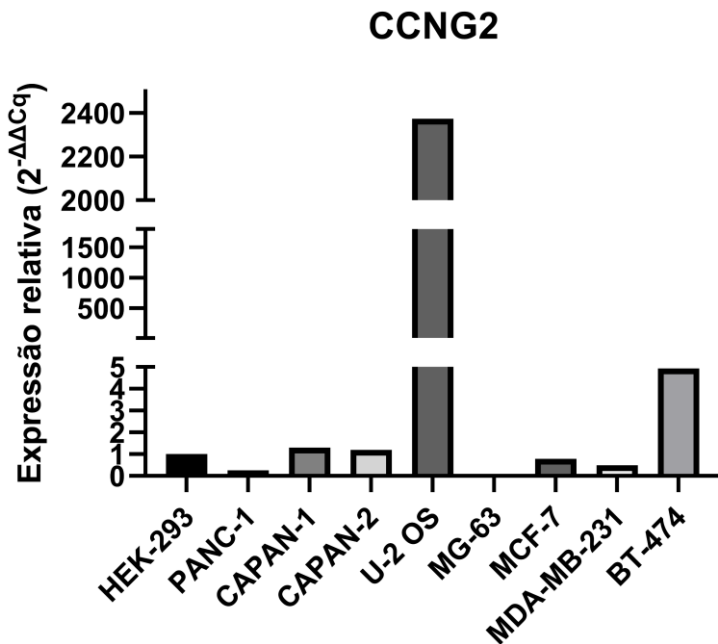


Figura 30. Expressão relativa de CCNG2 nas diferentes linhagens utilizadas. N=1.

A expressão CRADD nas linhagens PANC-1, CAPAN-1 e CAPAN-2 estava, respectivamente 0,23, 0,18 e 0,14 vezes menor do que a expressão encontrada na linhagem controle HEK-293. Nas linhagens U2-OS e MG-63, CRADD se encontrava, respectivamente 0,21 e 0,30 vezes menos expresso em comparação à linhagem utilizada com o controle. Na linhagem BT474 de câncer de mama, CRADD estava 4,93 vezes mais expresso, enquanto que nas linhagens MCF-7 e MDA-MB-231, CRADD era expresso em níveis 0,32 vezes menor (em ambas) do que na linhagem utilizada como controle A Figura 31 abaixo mostra a expressão relativa de CRADD nas diferentes linhagens.

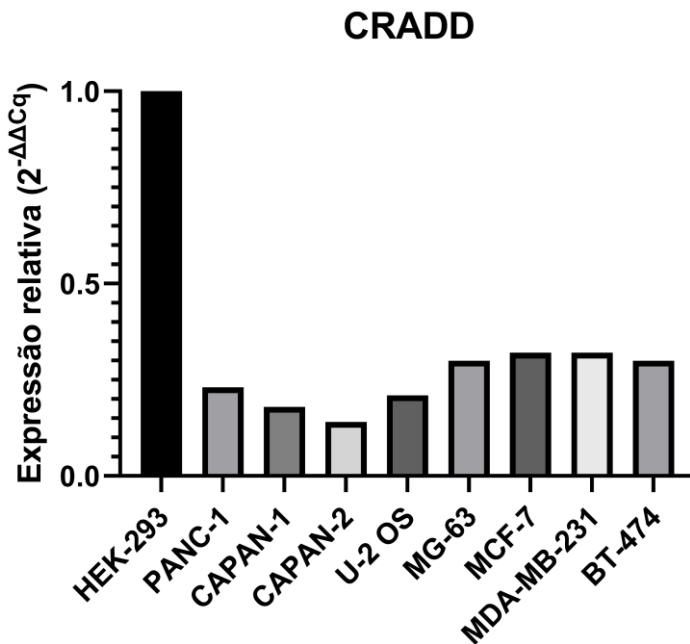


Figura 31. Expressão relativa de CRADD nas diferentes linhagens utilizadas. N=1.

5.4 Efeito da curcumina na viabilidade celular

Primeiramente avaliou-se o efeito da exposição das células PANC-1 a várias concentrações de curcumina na viabilidade celular por meio do ensaio de MTT. O ensaio teve o intuito de se estabelecer uma concentração tóxica de curcumina para posterior tratamento das células a fim de se avaliar a expressão gênica após tal tratamento. A curcumina reduziu de forma significativa da viabilidade celular quando comparado ao grupo controle de veículo utilizado - DMSO - em quase todas as concentrações testadas tanto em 24 horas quanto em 48 horas de tratamento, exceto na concentração de 6,25 µM em ambos os tempos (Figura 32A e Figura 32B).

Para o tempo de 24h, as viabilidades celulares foram de 98,37% ($\pm 9,64$), 52,77% ($\pm 1,60$), 37,55% ($\pm 2,08$), 39,51% ($\pm 3,48$) e 20,29 % ($\pm 1,73$) nas concentrações de curcumina de 6,25 µM, 12,5 µM 25 µM, 50 µM e 100 µM, respectivamente. (Figura 32A). Para o tempo de 48h de tratamento, as viabilidades celulares foram de 80,75% ($\pm 19,28$), 65,23% ($\pm 11,95$), 37,73% ($\pm 6,85$), 27,12% ($\pm 7,88$), 15,52 % ($\pm 0,76$) nas concentrações de curcumina de 6,25 µM, 12,5 µM, 25 µM, 50 µM e 100 µM, respectivamente (Figura 32B).

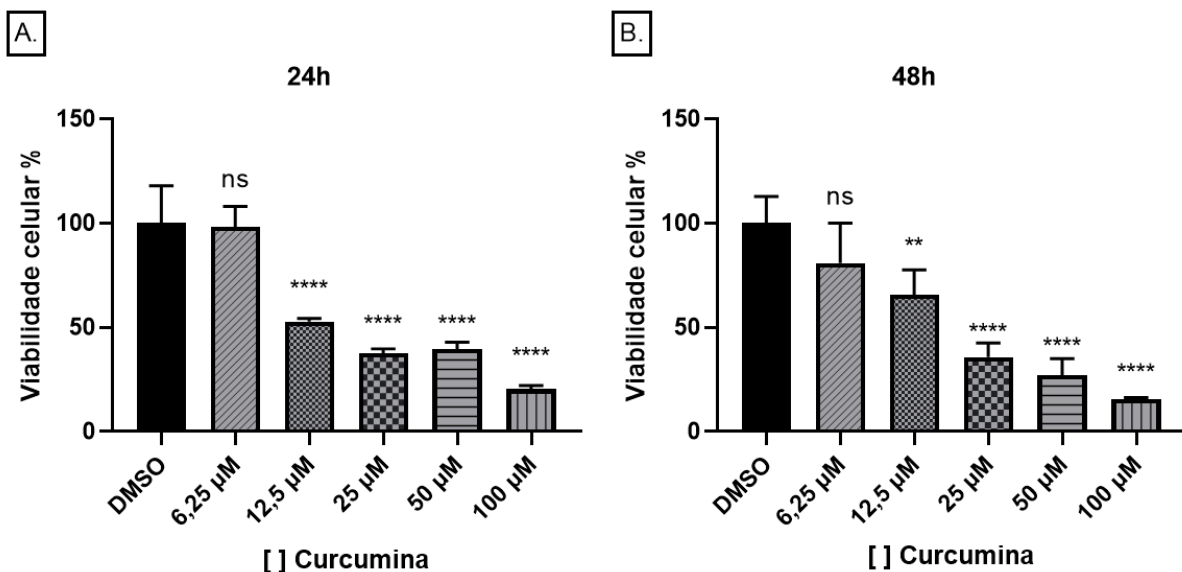


Figura 32. Efeitos da curcumina na viabilidade celular da linhagem PANC-1. A. Viabilidade celular após 24h de tratamento. B. Viabilidade Celular após 48h de tratamento. Curcumina reduziu viabilidade celular de forma estatisticamente significante em relação ao controle em quase todas as concentrações utilizadas, nos dois tempos. Dados em percentual e normalizados em relação ao controle DMSO. Experimento realizado única vez em quadruplicata. Dados expressos como média (\pm erro padrão da média) e analisados por ANOVA de uma via, seguida pelo teste de Tukey (* $p<0,05$; ** $p<0,01$; *** $p<0,001$; **** $p<0,0001$; ns = não significativo).

A partir desses dados foi possível calcular o IC_{50} para cada um dos tempos. Para o tempo de 24h, o IC_{50} foi de 13,33 μM (Figura 30A) e para 48h, o IC_{50} foi de 14,17 μM (Figura 30B).

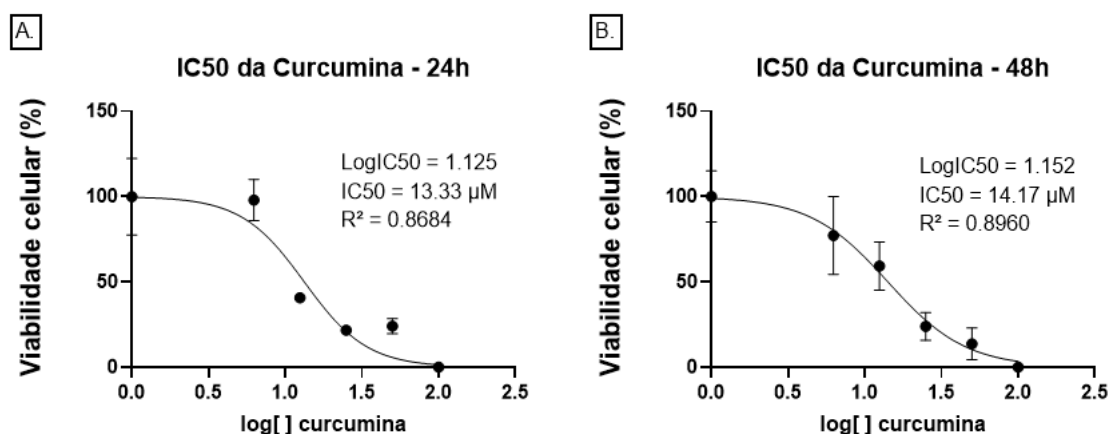


Figura 33. Curva dose-resposta da curcumina e IC_{50} . A. Curva dose-resposta da curcumina e IC_{50} no tempo de 24h. B. Curva dose-resposta da curcumina e IC_{50} no tempo de 48h. Gráfico em função logarítmica da concentração em relação à viabilidade celular. Os respectivos valores de IC_{50} foram calculados após análise de regressão não linear das respectivas curvas de dose-resposta. Dados normalizados com o controle DMSO. Experimento realizado única vez em quadruplicata.

Tendo em vista estes resultados, e resultados prévios publicados na literatura (discutidos mais adiante), a concentração de curcumina escolhida para o tratamento das células nos experimentos subsequentes foi de 15 μM .

5.5 Efeito da curcumina na expressão de miRNAs

A seguir, procurou-se avaliar se a curcumina na concentração de 15 μM , poderia causar mudanças na expressão de miR-145-5p e miR-1246 na linhagem tumoral PANC-1 nos tempos de 06h e 24h de tratamento. Células PANC-1 tratadas com curcumina mostraram aumento de 1,80 ($\pm 0,36$) vezes na expressão de miR-145-5p e diminuição de 0,86 ($\pm 0,11$) vezes em relação às células tratadas com veículo nos tempos de 06h e 24h após tratamento, respectivamente (Figura 34). Essas variações não foram estatisticamente significantes.

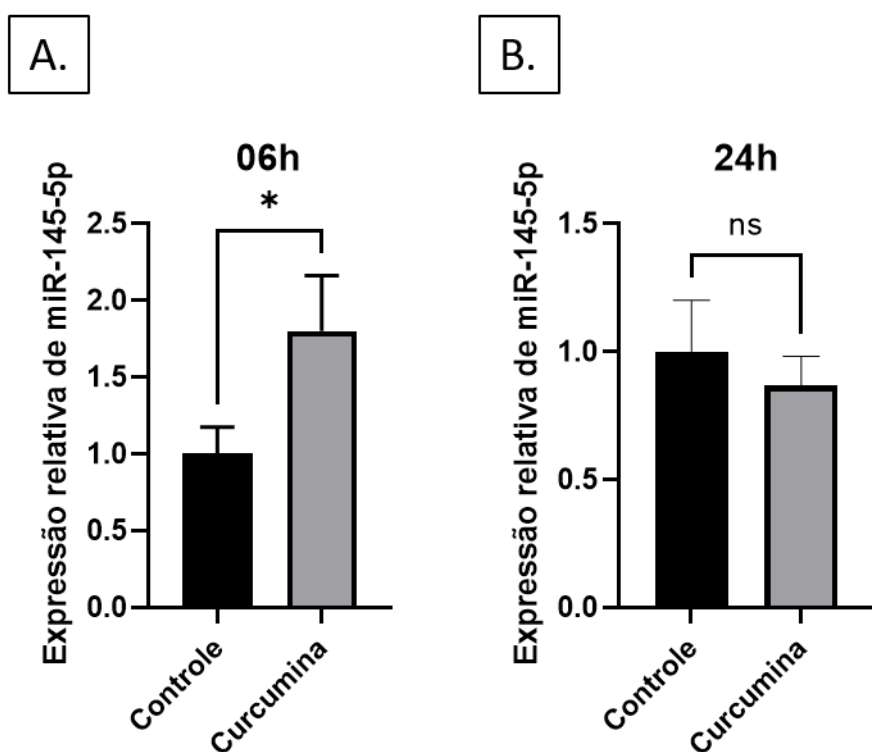


Figura 34. Expressão relativa de miR-145-5p após tratamento com curcumina 15 μM . A. Células PANC-1 expostas à curcumina após 06h mostraram aumento de 1,80 ($\pm 0,36$) vezes na expressão de miR-145-5p. B. Células PANC-1 expostas à curcumina após 24h mostraram diminuição de 0,86 ($\pm 0,11$) vezes na expressão de miR-145-5p. N = 3. Ensaios de RT-qPCR realizados em duplicita, normalizados pelo gene de referência RNU6B. Expressão relativa calculada pelo método $2^{-\Delta\Delta Cq}$ e analisada pelo teste t de Student (* $p < 0,05$; ** $p < 0,01$; *** $p < 0,001$; **** $p < 0,0001$; ns = não significativo).

No tempo de 06h de tratamento com curcumina, houve um aumento estatisticamente significante de 2,26 ($\pm 0,32$) vezes na expressão de miR-1246, em relação às células tratadas com veículo (Figura 35A). No tempo de 24h, a expressão de miR-1246 aumentou 1,70 ($\pm 0,60$) vezes em relação às células tratadas com veículo; porém de forma estatisticamente não

significativa (Figura 35B). No tempo de 48h verificou-se aumento estatisticamente significante de 4,36 ($\pm 1,59$) vezes na expressão de miR-1246- nas células tratadas com curcumina em relação às tratadas com veículo. (Figura 35C).

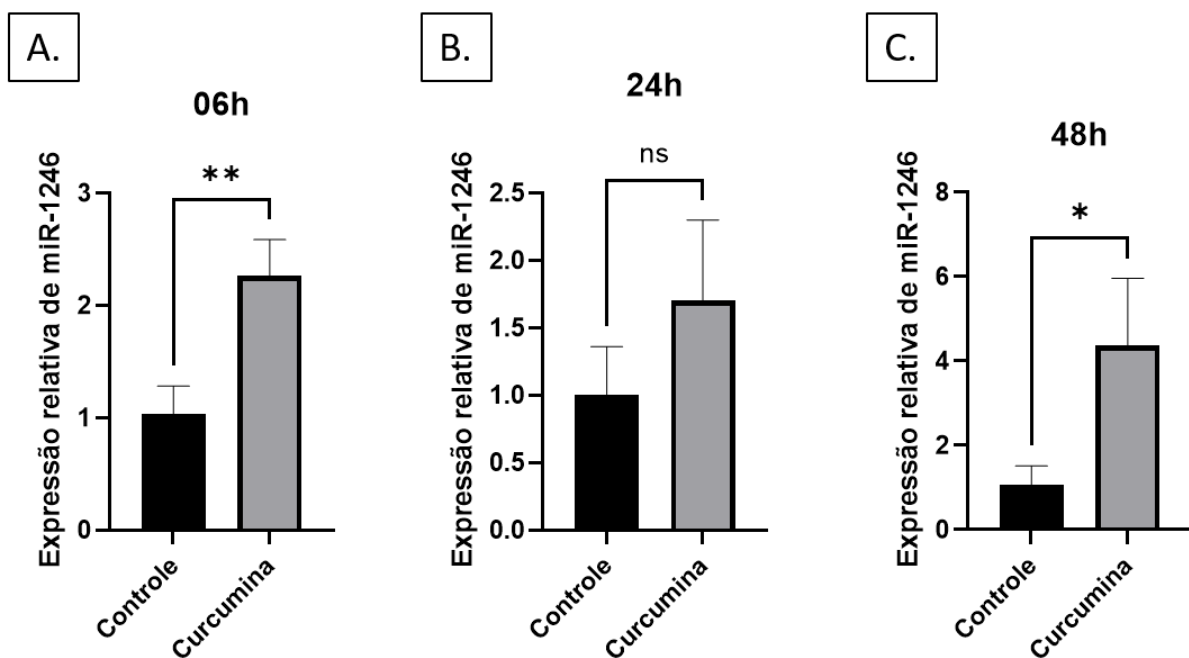


Figura 35. Expressão relativa de miR-1246 após tratamento com curcumina 15 μ M. A. Células PANC-1 expostas à curcumina após 06h mostraram aumento de 2,26 ($\pm 0,32$) vezes na expressão de miR-1246. B. Células PANC-1 expostas à curcumina após 24h mostraram aumento de 1,70 ($\pm 0,60$) vezes na expressão de miR-1246. C. Células PANC-1 expostas à curcumina após 48h mostraram aumento de 4,36 ($\pm 1,59$) vezes na expressão de miR-1246. N = 3. Ensaios de RT-qPCR realizados em duplicita, normalizados pelo gene de referência RNU6B. Expressão relativa calculada pelo método 2- $\Delta\Delta C_q$ e analisada pelo teste t de Student (* $p<0,05$; ** $p<0,01$; *** $p<0,001$; **** $p<0,0001$; ns = não significativo).

5.6 Efeito da curcumina na expressão de mRNAs

Levando em conta os resultados anteriores, para se entender melhor a possível dinâmica entre a expressão dos miRNAs estudados e de seus alvos, mediada pela curcumina no contexto de câncer de pâncreas, realizou-se análise da expressão de alvos putativos dos miRNAs nos tempos de 06h, 24h e 48h.

Células PANC-1 tratadas com curcumina mostraram aumento estatisticamente significativo ($p<0,05$) de 3,70 ($\pm 1,34$) vezes na expressão de OCT4 em relação às células tratadas com veículo no tempo de 06h após tratamento (Figura 36A). Esse aumento. No tempo de 24h, a expressão de OCT4 diminui 0,82 ($\pm 0,24$) vezes em relação às células tratadas com veículo, resultado estatisticamente não significativo ($p>0,05$) (Figura 36B). No tempo de 48h, a expressão de OCT4 aumentou 1,75 ($\pm 0,04$) vezes em relação às células tratadas com veículo, resultado estatisticamente significativo ($p<0,05$) (Figura 36C).

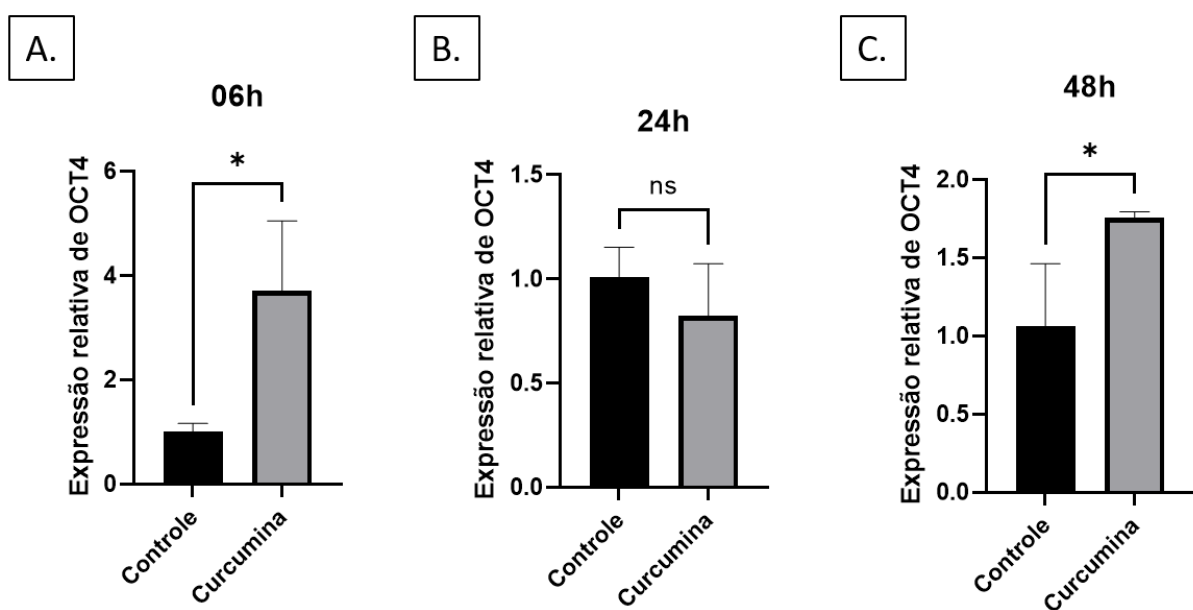


Figura 36. Expressão relativa de OCT4 após tratamento com curcumina 15 μ M. A. Células PANC-1 expostas à curcumina após 06h mostraram aumento de 3,70 (\pm 1,34) vezes na expressão de OCT4. B. Células PANC-1 expostas à curcumina após 24h mostraram diminuição de 0,82 (\pm 0,24) vezes na expressão de OCT4. C. Células PANC-1 expostas à curcumina após 48h mostraram aumento de 1,75 (\pm 0,04) vezes na expressão de OCT4. N = 3. Ensaios de RT-qPCR realizados em duplicata, normalizados pelo gene de referência RNU6B. Expressão relativa calculada pelo método $2^{-\Delta\Delta Cq}$ e analisada pelo teste t de Student (* p <0,05; ** p <0,01; *** p <0,001; **** p <0,0001; ns = não significativo).

O gene SOX2 apresentou discretas variações nos tempos observados, porém estatisticamente não significativas (p > 0,05). As expressões foram de 1,26 (\pm 0,43), 0,98 (\pm 0,24) e 1,14 (\pm 0,06) vezes aquela das células tratadas com veículo, nos tempos de 06h, 24h, e 48h, respectivamente (Figura 37).

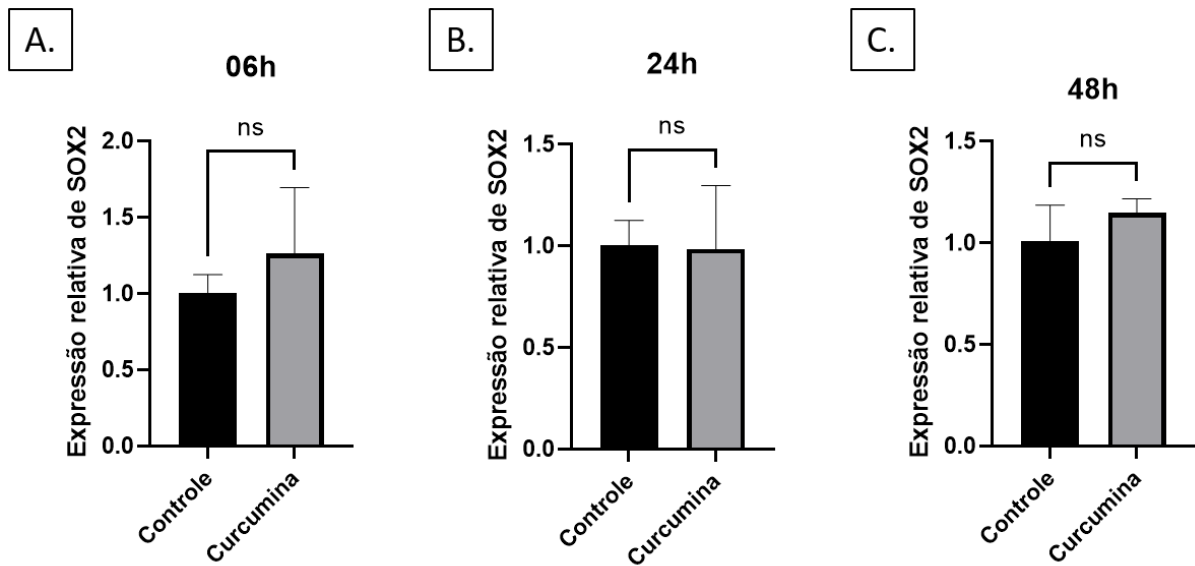


Figura 37. Expressão relativa de SOX2 após tratamento com curcumina 15 μ M. A. Células PANC-1 expostas à curcumina após 06h mostraram aumento de 1,26 ($\pm 0,43$) vezes na expressão de SOX2. B. Células PANC-1 expostas à curcumina após 24h mostraram diminuição de 0,98 ($\pm 0,24$) vezes na expressão de SOX2. C. Células PANC-1 expostas à curcumina após 48h mostraram aumento de 1,14 ($\pm 0,06$) vezes na expressão de SOX2. N = 3. Ensaios de RT-qPCR realizados em duplicita, normalizados pelo gene de referência RNU6B. Expressão relativa calculada pelo método $2^{-\Delta\Delta Cq}$ e analisada pelo teste t de Student (A) ou teste de Mann-Whitney (B e C) (* $p<0,05$; ** $p<0,01$; *** $p<0,001$; **** $p<0,0001$; ns = não significativo).

O gene KLF4 apresentou discretas variações nos tempos observados, porém estatisticamente não significativas ($p> 0,05$). As expressões foram de 1,41 ($\pm 0,28$), 1,11 ($\pm 0,08$) e 1,55 ($\pm 0,10$) vezes aquela das células tratadas com veículo, nos tempos de 06h, 24h, e 48h, respectivamente (Figura 38).

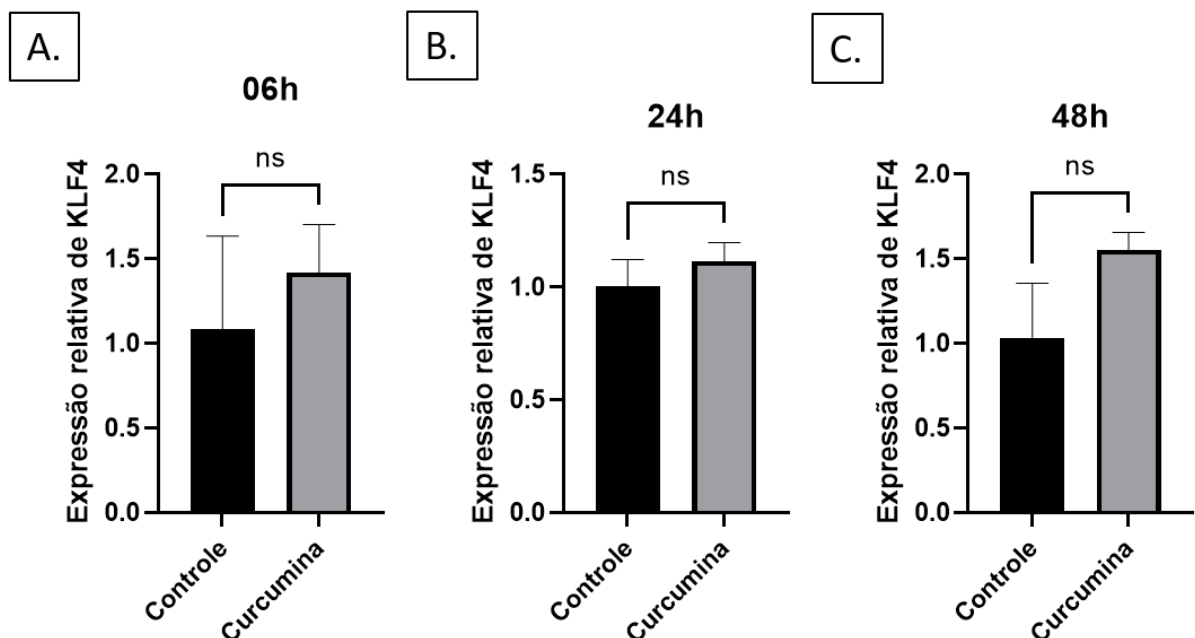


Figura 38. Expressão relativa de KLF4 após tratamento com curcumina 15 μ M. A. Células PANC-1 expostas à curcumina após 06h mostraram aumento de 1,41 ($\pm 0,28$) vezes na expressão de KLF4.

B. Células PANC-1 expostas à curcumina após 24h mostraram aumento de 1,11 ($\pm 0,08$) vezes na expressão de KLF4. C. Células PANC-1 expostas à curcumina após 48h mostraram aumento de 1,55 ($\pm 0,10$) vezes na expressão de KLF4. N = 3. Ensaios de RT-qPCR realizados em duplicata, normalizados pelo gene de referência RNU6B. Expressão relativa calculada pelo método $2^{-\Delta\Delta Cq}$ e analisada pelo teste t de Student (* $p < 0,05$; ** $p < 0,01$; *** $p < 0,001$; **** $p < 0,0001$; ns = não significativo).

O gene MYC apresentou discretas variações nos tempos observados, porém estatisticamente não significativas ($p > 0,05$). As expressões foram de 1,21 ($\pm 0,10$), 0,69 ($\pm 0,23$) e 0,83 ($\pm 0,03$) vezes aquela das células tratadas com veículo, nos tempos de 06h, 24h, e 48h, respectivamente (Figura 39).

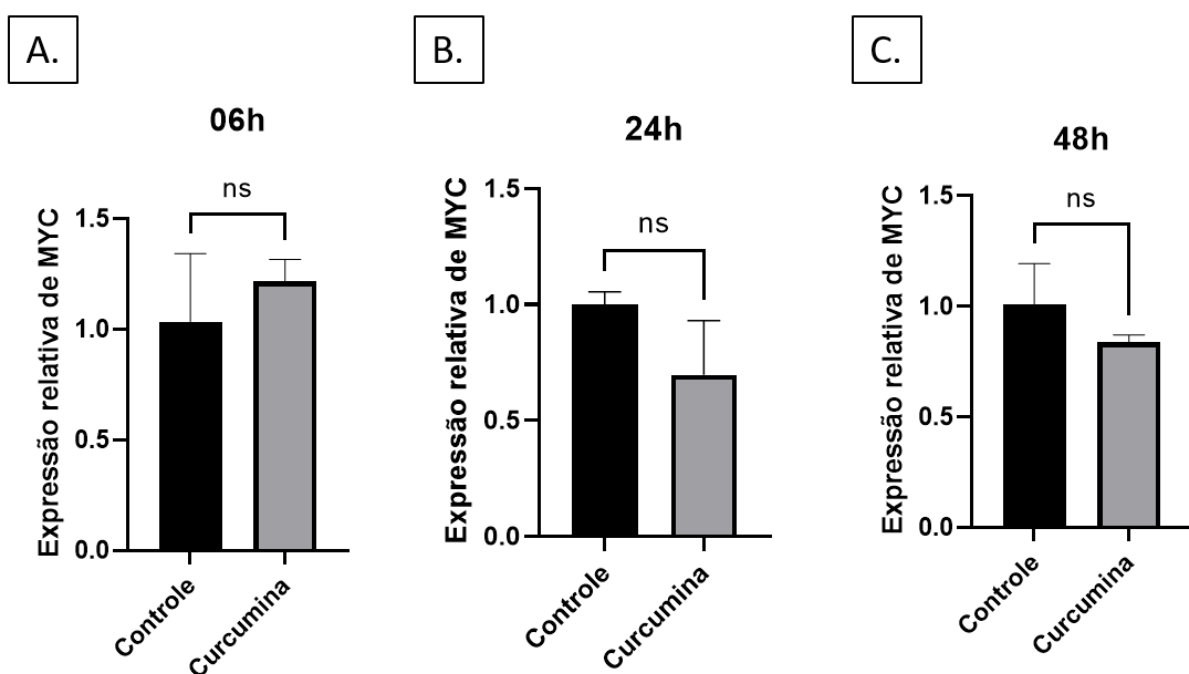


Figura 39. Expressão relativa de MYC após tratamento com curcumina 15 μ M. A. Células PANC-1 expostas à curcumina após 06h mostraram aumento de 1,21 ($\pm 0,10$) vezes na expressão de MYC. B. Células PANC-1 expostas à curcumina após 24h mostraram diminuição de 0,69 ($\pm 0,23$) vezes na expressão de MYC. C. Células PANC-1 expostas à curcumina após 48h mostraram diminuição de 0,83 ($\pm 0,03$) vezes na expressão de MYC. N = 3. Ensaios de RT-qPCR realizados em duplicata, normalizados pelo gene de referência RNU6B. Expressão relativa calculada pelo método $2^{-\Delta\Delta Cq}$ e analisada pelo teste t de Student (* $p < 0,05$; ** $p < 0,01$; *** $p < 0,001$; **** $p < 0,0001$; ns = não significativo).

O gene CCNG2 mostrou um aumento de 1,26 ($\pm 0,17$) vezes na expressão em relação às células tratadas com veículo no tempo de 06h após tratamento (Figura 40A). Esse aumento não foi estatisticamente significativo ($p > 0,05$). Nos tempos de 24h e 48h, a expressão de CCNG2 diminuiu, de forma estatisticamente significativa ($p < 0,05$), 0,80 ($\pm 0,05$) e 0,66 ($\pm 0,01$) vezes em relação às células tratadas com veículo, respectivamente (Figura 40).

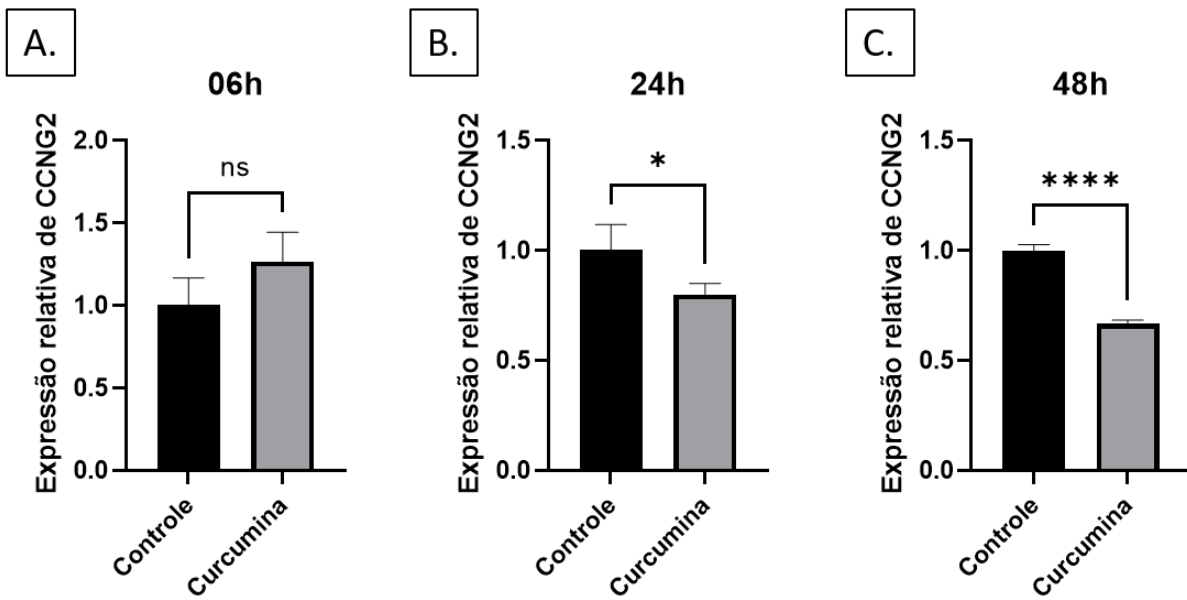


Figura 40. Expressão relativa de CCNG2 após tratamento com curcumina 15 μ M. A. Células PANC-1 expostas à curcumina após 06h mostraram aumento de 1,26 ($\pm 0,17$) vezes na expressão de CCNG2. B. Células PANC-1 expostas à curcumina após 24h mostraram diminuição de 0,80($\pm 0,05$) vezes na expressão de CCNG2. C. Células PANC-1 expostas à curcumina após 48h mostraram diminuição de 0,66 ($\pm 0,01$) vezes na expressão de CCNG2. N = 3. Ensaios de RT-qPCR realizados em duplicata, normalizados pelo gene de referência RNU6B. Expressão relativa calculada pelo método $2^{-\Delta\Delta Cq}$ e analisada pelo teste t de Student (* $p<0,05$; ** $p<0,01$; *** $p<0,001$; **** $p<0,0001$; ns = não significativo).

A expressão do gene CRADD aumentou 1,39 ($\pm 0,49$) vezes na em relação à das células tratadas com veículo no tempo de 06h após tratamento (Figura 41A). Esse aumento não foi estatisticamente significativo ($p>0,05$). No tempo de 24h, a expressão diminui 0,61 ($\pm 0,06$) vezes em relação às células tratadas com veículo, resultado estatisticamente significativo ($p<0,001$) (Figura 41B). No tempo de 48h, a expressão diminuiu 0,89 ($\pm 0,03$) vezes em relação às células tratadas com veículo, resultado não estatisticamente significativo ($p>0,05$) (Figura 41C).

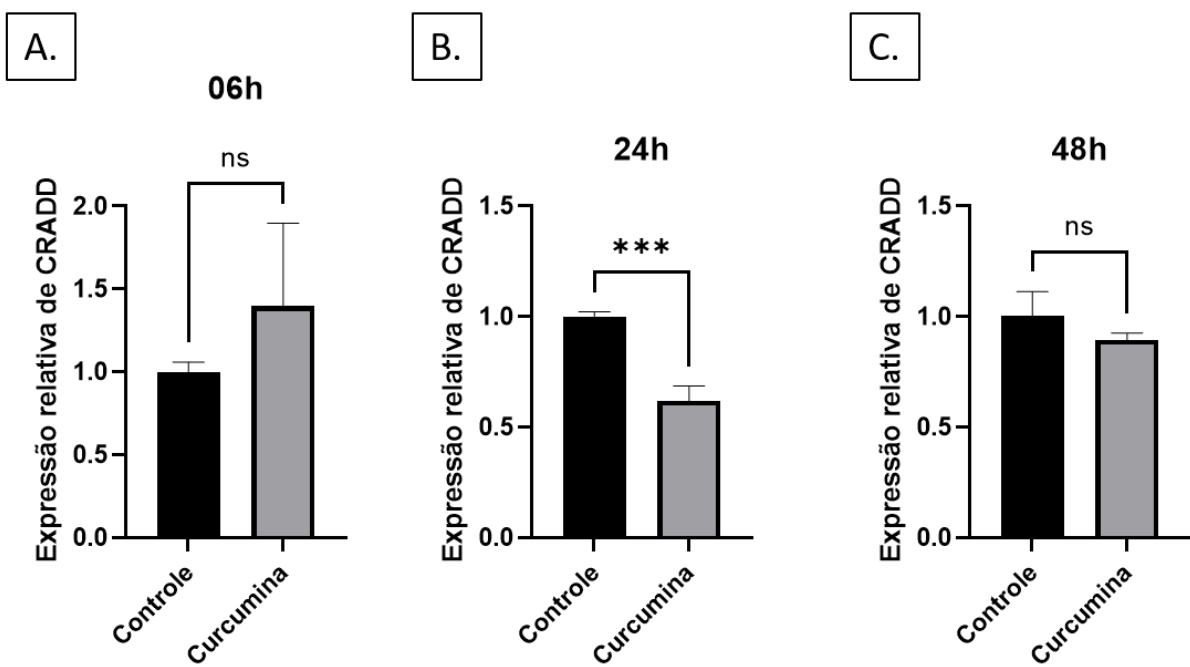


Figura 41. Expressão relativa de CRADD após tratamento com curcumina 15 μ M. A. Células PANC-1 expostas à curcumina após 06h mostraram aumento de 1,39 ($\pm 0,49$) vezes na expressão de CRADD. B. Células PANC-1 expostas à curcumina após 24h mostraram diminuição de 0,61($\pm 0,06$) vezes na expressão de CRADD. C. Células PANC-1 expostas à curcumina após 48h mostraram diminuição de 0,89 ($\pm 0,03$) vezes na expressão de CRADD. N = 3. Ensaios de RT-qPCR realizados em duplicita, normalizados pelo gene de referência RNU6B. Expressão relativa calculada pelo método $2^{-\Delta\Delta Cq}$ e analisada pelo teste t de Student (B e C) ou teste de Mann-Whitney (A) (* $p<0,05$; ** $p<0,01$; *** $p<0,001$; **** $p<0,0001$; ns = não significativo).

6. DISCUSSÃO

Neste trabalho, buscou-se *in silico* possíveis alvos de miR-145-5p e miR-1246, tendo sido encontrados vários genes, dentre comprovados e putativos. Ainda, por análise *in silico* e utilizando bancos de dados livres, avaliou-se a relação entre expressão endógena de miRNAs e genes-alvos e sobrevida total de pacientes com câncer de pâncreas, mama e osteossarcoma. Por fim, considerando as propriedades citotóxicas da curcumina e a agressividade de tumores de pâncreas, investigou-se a expressão de micro-RNAs miR-145-5p e miR-1246 e de seus alvos (tais como OCT4, KLF4, SOX-2, C-MYC, para o primeiro, e CRADD e CCNG2 para o segundo), tanto basal quanto induzida por curcumina, na linhagem celular humana PANC-1 daquele tipo tumoral.

A curcumina foi capaz de reduzir a viabilidade de células PANC-1 de maneira estatisticamente significante em relação ao controle nas concentrações entre 12,5 µM e 100 µM, resultando em valores de IC₅₀ de 13,33 µM e 14,17 µM às 24h e 48h de tratamento, respectivamente. Esses resultados estão de acordo com os valores de IC₅₀ da curcumina para a linhagem PANC-1 relatados na literatura, que variam entre 9,0 µM a 25 µM (FRIEDMAN et al., 2009; LEV-ARI et al., 2006; LIU et al., 2020; SCHWARZ et al., 2020; SU et al., 2016; YOSHIDA et al., 2017; ZHOU et al., 2016). Entretanto o resultado encontrado neste trabalho não foi tempo-dependente, sendo o valor de IC₅₀ no tempo de 48h ligeiramente superior ao de 24h.

Ainda pouco se sabe acerca dos efeitos da curcumina na modulação da expressão de miRNAs no contexto de câncer de pâncreas. Neste trabalho relata-se que a curcumina causa aumentos na expressão de dois miRNAs que vem sendo bem estudados no contexto de câncer, miR-145-5p e miR-1246.

A curcumina, nanoencapsulada em um dendrossomo, foi capaz de aumentar a expressão de miR-145-5p em células de glioma *in vitro*. Por sua vez, esse aumento de miR-145-5p acarretou na diminuição dos alvos confirmados OCT4 e SOX2. O tratamento dessas células com a curcumina dendrossomal suprimiu o crescimento das células de glioma, provocou parada do ciclo celular e desencadeou o processo de apoptose das mesmas (MIRGANI et al., 2014).

A expressão de miR-145-5p se encontra regulada para baixo em células de carcinoma de células escamosas da laringe. A restauração de sua expressão por meio de transfecção com mimético sintético nessas células foi capaz de reduzir sua viabilidade. O tratamento dessas células com curcumina também foi capaz de suprimir a sua viabilidade, além de aumentar a expressão de miR-145-5p nas células tratadas, com diminuição da ativação da via PI3K/AKT/mTOR (ZHU; ZHU, 2018). Dessa forma, a curcumina parece exercer efeitos

inibitórios sobre a via pró-sobrevivência de PI3K através do aumento da expressão de miR-145-5p.

A curcumina suprimiu a proliferação e a invasão *in vitro* da subpopulação de células CD44⁺/CD133⁺ isoladas de linhagem de câncer próstata. Ademais, o tratamento aumentou a expressão de miR-145-5p nessas células, com consequente diminuição de seu alvo OCT4 e do RNA longo não-codante ROR (lncRNA-ROR, do inglês *long non-coding RNA-ROR*), que compete com o OCT4 pelo sítio de ligação de miR-145-5p. Dessa forma há evidência de que a curcumina interfere com o mecanismo conhecido como RNAs endógenos competitivos (ceRNAs, do inglês *competitive endogenous RNAs*) (LIU et al., 2017).

No presente trabalho observou-se que o tratamento das células PANC-1 com curcumina aumentou a expressão de miR-1246 nos tempos de 06h e 48h após tratamento – ainda que esse aumento não tenha sido tempo-dependente. Diversos trabalhos tem mostrado o papel de miR-1246 como oncomiR nos contextos de câncer de mama e pâncreas. O aumento da expressão de miR-1246 após tratamento com curcumina foi relatado na linhagem HUVEC (BAI et al., 2016). Ao contrário, o tratamento com curcumina diminuiu os níveis de expressão de miR-1246 em linhagens de câncer de bexiga humano. Experimentos *in vitro* mostraram que o silenciamento desse miRNA com antíoligonucleotídeo sintético diminuiu a viabilidade celular e a capacidade de formação de colônias de células. Ademais, P53 foi confirmado com alvo direto de miR-1246 (XU et al., 2019). É possível especular que o miR-1246 funcione como um gene de resistência. Quando há um sinal indutor de morte celular como a curcumina, sua expressão é elevada no sentido de manter as células vivas. No entanto, algumas morrem no primeiro dia, e, as que sobrevivem no segundo dia, novamente expressão altos níveis de miR-1246. De qualquer maneira, mais experimentos são necessários para comprovar o efeito de sobrevivência/inibição da apoptose, bem como seus prováveis mecanismos.

Uma maneira de se investigar o mecanismo de ação de miRNAs, bem como sua função celular é a análise de expressão de seus alvos (conhecidos ou putativos). Nesse sentido, aqui foram investigadas as expressões de ciclina G2 (CCNG2), uma ciclina inbitória do ciclo celular e alvo bem descrito de miR-1246 e de CRADD, uma proteína envolvida na apoptose, e alvo postulado de miR-1246.

A expressão de CCNG2 foi diminuída nos tempos de 24h e 48h, em resposta ao tratamento com curcumina. Por outro lado, a expressão de CRADD apresentou diminuição somente às 24h, diferença que não foi mantida às 48h de tratamento com curcumina. Essa observação é interessante uma vez que CCNG2 e CRADD exercem funções distintas na célula.

CRADD é uma proteína adaptadora, que atua na formação do complexo de transdução de sinal de morte celular por apoptose (BERUBE et al., 2005). Sua expressão se encontrou

baixa, tanto a nível de mRNA quanto de proteína, em tecidos de pacientes com câncer gástrico quando comparados com tecido não-tumoral adjacente. Sua expressão também estava regulada para baixo em linhagens de câncer gástrico humano e a restauração de sua expressão diminuiu a viabilidade dessas células. A expressão de CRADD parece estar sujeita a controle epigético, já que foi induzida por tricostatina A, um inibidor de HDAC, para ativar a apoptose. Após a transfecção de células com o siRNA de HDAC1 observou-se o aumento da expressão de CRADD. Além disso, mostrou-se que HDAC1 se liga diretamente à região promotora de CRADD para inibir sua expressão (SHEN et al., 2014).

Já CCNG2 parece fornecer capacidade de resistência a drogas e compostos citotóxicos em geral. Hasegawa e colaboradores (2014), por exemplo, demonstraram que a expressão de CCNG2 era capaz de conferir resistência a gemcitabina e a 5-fluorouracil (dois quimioterápicos antitumorais) em células PANC1. Além do mais, a ciclina G2 (codificada por CCNG2) parece exercer papel de regulador negativo da proliferação celular (Hasegawa et al. 2014) por supressão da via de Wnt/beta-catenina e inibir a metástase e crescimento celular no câncer gástrico (Gao et al 2018).

CCNG2 pode ser regulado por mais de um miRNA. Hasegawa e colaboradores (2014) demonstraram que miR-1246 controla negativamente os níveis de CCNG2, o que está associada à resistência a drogas. Já em carcinoma de células escamosas, níveis de CCNG2, são regulados negativamente por miR-1290 (Qin et al. 2019).

A regulação de CCNG2 por miR-1246 também está associada a um fenótipo mais estaminal, com propriedades mais similaridades àquelas de células-tronco (Hasegawa et al. 2014). Tendo isso em vista, o presente trabalho investigou a expressão de genes relacionados à pluripotência: OCT4/POU5F1, KLF4, SOX2, e c-Myc. Neste trabalho observou-se um aumento de OCT4 após o tratamento com curcumina.

OCT4 é um fator de transcrição e, quando expresso em conjunto com outros três fatores de transcrição, é capaz de conferir pluripotência a uma célula já completamente diferenciada (TAKAHASHI et al., 2007). Em modelo de câncer de fígado, *in vitro*, demonstrou-se que ele está envolvido na transcrição do miR-1246. O aumento da expressão de miR-1246, mediada por OCT4, promoveu características de pluripotência ao tumor, incluindo auto-renovação, resistência a fármacos e metástase *in vivo*. Isto ocorreu por meio da ativação da via Wnt/β-catenina pelo miR-1246 (CHAI et al., 2016). Sendo assim, o aumento da expressão de miR-1246 observado neste trabalho pode ser explicado, uma vez que OCT4 está envolvido na regulação positiva de miR-1246. De fato, a via de resposta a curcumina: ativação de OCT4 → transcrição de miR-1246 → repressão de CCNG2 é aqui relatada de forma inédita. Essa via pode ser responsável pela aquisição de característica de pluripotência capaz de mediar a resistência a fármacos. Levando ainda em conta que OCT4 é negativamente regulado por miR-145-5p, que se encontra hipoexpresso no câncer, a via pode ser complementada pela

participação de miR-145-5p. Dessa maneira, é possível que a via completa seja: expressão de miR-145-5p → regulação negativa de OCT4 → diminuição da transcrição de miR-1246 → aumento da expressão de CCNG2. A Figura 42 traz a representação esquemática da via proposta.

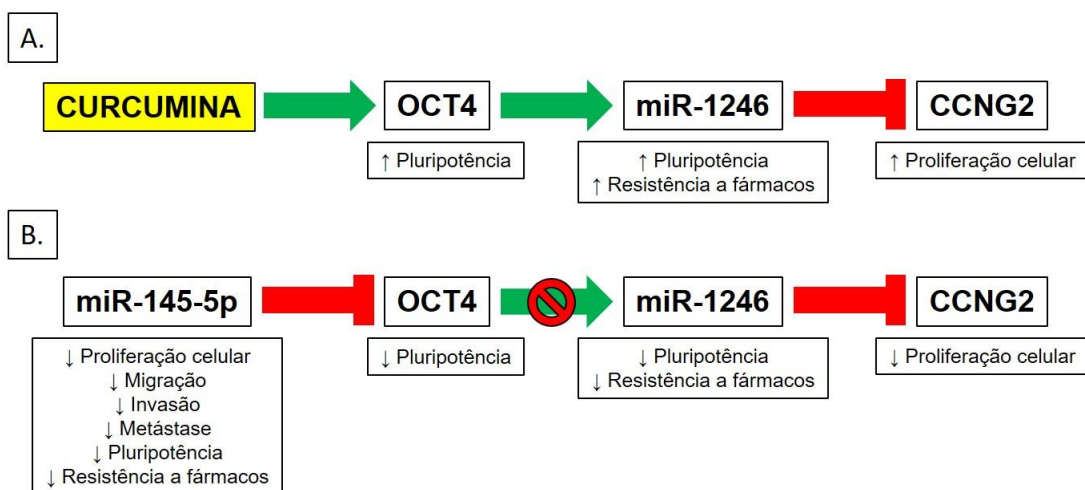


Figura 42. Representação esquemática de via proposta. A. curcumina pode ativar a transcrição de OCT4, que por sua vez ativa a transcrição de miR-1246. Este então inibe a tradução de CCNG2. B. MiR-145-5p pode regular negativamente a tradução de OCT4, não transcrevendo miR-1246, que por sua vez não inibiria a transcrição de CCNG2. Setas verdes indicam ativação/transcrição; bloco vermelho indica repressão; o efeito da ativação/transcrição ou repressão está indicado na caixa branca abaixo de cada componente da via proposta.

A análise exploratória na ferramenta KM-plotter mostrou que a OS é significativamente menor no grupo de pacientes de câncer de pâncreas e de mama com alta expressão de miR-1246. De fato, há relato na literatura de que a expressão mais baixa de miR-1246 em pacientes com câncer de pâncreas levou tanto a uma sobrevida livre de doença, quanto a uma sobrevida global significativamente mais longa em comparação com aqueles cuja expressão de miR-1246 estava mais alta (HASEGAWA et al., 2014). Em pacientes com câncer de mama, um estudo mostrou que pacientes em estágio inicial e metastático com alta expressão de miR-1246 exossômico circulante tiveram pior sobrevida livre de eventos ou sobrevida livre de progressão do que aquelas com baixa expressão, mas não houve associação com OS (ZHANG et al., 2020). Entretanto não há estudo ainda que faça tal associação entre expressão de miR-1246, a partir de amostra tecidual, e prognóstico, como OS.

A partir da base KM-plotter nenhuma diferença estatisticamente significativa foi observada na OS entre pacientes com câncer de mama ou com osteossarcoma com baixa e alta expressão de miR-145. Entretanto um estudo publicado com pacientes de câncer de mama que mostra OS mais longa no grupo com alta expressão de miR-145-5p em comparação ao grupo com baixa expressão de miR-145-5p (TANG et al., 2019a). Tal

resultado também foi obtido em um acompanhamento de três anos em pacientes de osteossarcoma (QUAN; HUANG; QUAN, 2018). A alta expressão de miR-145-5p em pacientes de osteossarcoma também já foi relatada na literatura como fator de prognóstico favorável nesses pacientes: a expressão mais baixa de miR-145-5p em pacientes com osteossarcoma levou a uma sobrevida global significativamente mais curta dos pacientes em comparação com aqueles que com expressão mais alta (LI et al., 2016). Dessa forma é importante validar o resultado obtido *in silico* em uma coorte de pacientes, a partir de amostras de tecido, utilizando outras técnicas como RT-qPCR.

A análise exploratória na base KM-plotter mostrou que a OS é significativamente menor no grupo de pacientes de câncer de pâncreas com alta expressão de OCT4. De fato, resultado semelhante já foi relatado na literatura (LU et al., 2013), reforçando o papel da expressão desse gene como possível biomarcador no câncer.

Sendo assim, ainda vale notar que a análise prévia *in silico* e bases *online* de bioinformática são interessantes para se iniciar estudos para busca e proposição de novos biomarcadores para os diferentes tipos de câncer.

Pouco ainda se sabe sobre o efeito de curcumina sobre a expressão de SOX2 no contexto de câncer de pâncreas. A utilização de curcumina encapsulada em nanopartículas de óxido de ferro superparamagnéticas e co-tratamento com gemcitabina em células-tronco de câncer, resultou na diminuição de formação de esferas (KHAN et al., 2019). A expressão a nível de proteína dos fatores Nanog, Sox2, c-Myc e Oct4 diminuiu, podendo explicar a diminuição da formação de esferas tumorais. No modelo *in vivo* ortotópico, observou-se redução do crescimento tumoral e metástase em relação ao controle. Também se observou um maior acúmulo da nanoformulação no pâncreas, o que potencializou o efeito da gemcitabina para reduzir o crescimento tumoral e metástase (KHAN et al., 2019). Vale notar que uma vez que a curcumina se encontra nanoencapsulada, sua internalização pelas células de câncer é maior, podendo explicar os resultados relacionados à alteração de níveis de expressão de SOX2 e outros genes. Isso também poderia explicar a discrepância dos resultados obtidos com o presente estudo, uma vez que o tratamento com curcumina não alterou o nível de expressão de SOX2 de maneira significativa em relação ao controle.

O papel de KLF4, que também é um fator de transcrição envolvido com a promoção de pluripotência, ainda precisa ser melhor estudado, sobretudo no contexto de câncer de pâncreas, e a perda da expressão de KLF4, tanto a nível de mRNA quanto a nível de proteína, já foi observada em amostras de tecido de câncer de pâncreas. A superexpressão de KLF4 *in vitro* em células de carcinoma pancreático humano induziu uma diminuição significativa na proliferação celular. Esta diminuição estava associada com a regulação na expressão dos alvos de KLF4: positiva de p21, e negativa de ciclina D1 (ZAMMARCHI et al., 2011), estando eles próprios envolvidos na regulação do ciclo celular. A expressão baixa de KLF4 também

parece ter significância clinicopatológica: a expressão de KLF4 foi significativamente menor em amostras de tecido de câncer de pâncreas quando comparada com tecido peritumoral, lesões pancreáticas benignas e tecido pancreático normal, respectivamente. No grupo de pacientes de câncer de pâncreas, a expressão de KLF4 foi significativamente menor nas amostras de pacientes com tumores bem diferenciados do que nas de pacientes com tumor pouco diferenciado. A análise de sobrevida de Kaplan-Meier mostrou também que a baixa expressão de KLF4 estava significativamente associada com a curta sobrevida de pacientes com câncer de pâncreas. A expressão de KLF4 também se correlacionou positivamente com a sobrevida pós-operatória e negativamente com a mortalidade (YANG et al., 2017). KLF4 também regulou as propriedades de pluripotência de forma negativa através da inibição CD44, um importante marcador de pluripotência (YAN et al., 2016). Tais evidências sugerem que KLF4 possa ser um supressor de tumor. Essa observação difere dos resultados aqui descritos relativos às análises de bioinformática. Utilizando a coleção PAAD, essas análises estabeleceram que a hiperexpressão de KLF4 representava pior prognóstico (sobrevida mais curta), ao passo que a expressão diminuída se correlacionava ao melhor prognóstico. Entretanto já foi relatada a expressão aumentada de KLF4 em lesões pré-malignas do pâncreas humano em comparação às células normais adjacentes (WEI et al., 2016a). No presente trabalho observou-se um leve aumento na expressão de KLF4 em resposta ao tratamento com curcumina, entretanto de maneira não significativa. Sendo assim, mais experimentos funcionais de ganho e perda de função são necessários para entender o papel de KLF4 no câncer de pâncreas, em resposta ao tratamento com curcumina, e seu provável valor prognóstico.

Neste trabalho determinou-se a expressão intracelular endógena de miR-1246 nas linhagens de câncer de mama humano MDA-MB-231, MCF-7 e BT-474. O nível de expressão intracelular nas linhagens MDA-MB-231 e MCF-7 seguiu o mesmo padrão do exossomal relatado na literatura, sendo maior na primeira do que segunda. miR-1246 encontra-se em abundância em exossomos isolados das linhagens de câncer de mama MDA-MB-231 e MCF-7 em comparação às linhagens controle MCF-10A e HMLE (linhagens não tumorais). O nível de expressão exossomal na linhagem MDA-MB-231 foi maior do que o da MCF-7. Observou-se o mesmo resultado no nível de expressão no tecido tumoral e em exossomos de pacientes com câncer de mama em relação aos de doadoras normais (LI et al., 2018b). Comparativamente, a expressão de miR-1246 na linhagem BT-474, foi maior do que nas duas outras linhagens de câncer de mama. Dessa forma, mais estudos com experimentos funcionais de ganho e perda de função são necessários a fim de se elucidar o papel no miR-1246 e de seus alvos no câncer de mama.

Quanto à expressão de miR-1246 nas linhagens de osteossarcoma, ela foi bastante elevada em MG-63, porém não detectada em U-2 OS. Ainda não se sabe qual o papel desse

miRNA no osteossarcoma, uma vez que até o momento, ele ainda não foi descrito nessa patologia. É possível, contudo, lançar a hipótese de que a diferença na expressão endógena de miR-1246 entre as linhagens de osteossarcoma se deva ao fato de que MG-63 expressa receptores de TGF-beta na superfície, o que já poderia conferir-lhe características mais indiferenciadas e sobreponentes ao possível papel de miR-1246 na pluripotência.

7. CONCLUSÕES

Os resultados do presente trabalho permitem concluir que:

- miR-145-5p estava hipoexpresso na maioria das linhagens celulares de câncer utilizadas;
- miR-1246 estava hiperexpresso na maioria das linhagens celulares de câncer utilizadas;
- levando em conta os resultados de RT-qPCR nas linhagens de osteossarcoma e câncer de mama, e de bioinformática para estes tipos de câncer, são necessários mais estudos funcionais sobre o papel do miR-1246 e de seus alvos CCNG2 e CRADD nesses tipos de câncer;
- a curcumina diminuiu a viabilidade celular da linhagem de câncer de pâncreas humano PANC-1, o que ocorreu em concentrações a partir de 6,25 µM;
- não houve alteração da expressão, de maneira significativa, da maioria dos genes alvos do miR-145-5p após o tratamento com a curcumina, exceto por OCT4 (POU5F1);
- o tratamento com curcumina aumentou de maneira significativa a expressão de miR-1246;
- houve alteração da expressão, de maneira significativa, de genes alvos putativos do miR-1246 após tratamento com a curcumina;
- é possível, então que a curcumina ative uma via de sobrevivência relacionada às características de células-tronco: OCT4 → aumento de miR-1246 → diminuição de CCNG2;
- pelo descrito na literatura, é possível que exista uma via de sobrevivência relacionada às características de células-tronco: miR-145-5p → diminuição de OCT4 → diminuição de miR-1246 → aumento de CCNG2.

8. REFERÊNCIAS BIBLIOGRÁFICAS

- ADNAN, A.; IGCI, A.; SORAN, A. **Breast Cancer: A Guide to Clinical Practice**. 1. ed. Cham: Springer, 2019.
- AGARWAL, V. et al. Predicting effective microRNA target sites in mammalian mRNAs. **eLife**, v. 4, n. AUGUST2015, p. 1–38, 2015.
- ARDITO, C. M. et al. EGF Receptor Is Required for KRAS-Induced Pancreatic Tumorigenesis. **Cancer Cell**, v. 22, n. 3, p. 304–317, 11 set. 2012.
- BACHET, J. B. et al. Nab-paclitaxel plus either gemcitabine or simplified leucovorin and fluorouracil as first-line therapy for metastatic pancreatic adenocarcinoma (AFUGEM GERCOR): a non-comparative, multicentre, open-label, randomised phase 2 trial. **The Lancet Gastroenterology and Hepatology**, v. 2, n. 5, p. 337–346, 2017.
- BAI, Y. et al. Curcumin inhibits angiogenesis by up-regulation of microRNA-1275 and microRNA-1246: a promising therapy for treatment of corneal neovascularization. **Cell Proliferation**, v. 49, n. 6, p. 751–762, 1 dez. 2016.
- BALSANO, R.; TOMMASI, C.; GARAJOVA, I. State of the art for metastatic pancreatic cancer treatment: Where are we now?*. **Anticancer Research**, v. 39, n. 7, p. 3405–3412, 2019.
- BEGER, H. G. **The Pancreas: An Integrated Textbook of Basic Science, Medicine and Surgery**. 3. ed. Oxford: Wiley Blackwell, 2018.
- BERUBE, C. et al. Apoptosis caused by p53-induced protein with death domain (PIDD) depends on the death adapter protein RAIDD. **Proceedings of the National Academy of Sciences of the United States of America**, v. 102, n. 40, p. 14314–14319, 4 out. 2005.
- BI, Y. et al. MicroRNA-7 functions as a tumor-suppressor gene by regulating ILF2 in pancreatic carcinoma. **International Journal of Molecular Medicine**, v. 39, n. 4, p. 900–906, 2017.
- CARBON, S. et al. The Gene Ontology Resource: 20 years and still GOing strong. **Nucleic Acids Research**, v. 47, n. D1, p. D330–D338, 2019.
- CHAI, S. et al. Octamer 4/microRNA-1246 signaling axis drives Wnt/β-catenin activation in liver cancer stem cells. **Hepatology**, v. 64, n. 6, p. 2062–2076, 2016.
- CHEN, E. Y. et al. Enrichr: Interactive and collaborative HTML5 gene list enrichment analysis tool. **BMC Bioinformatics**, v. 14, 15 abr. 2013.
- CHEN, S. et al. MicroRNA-145 suppresses epithelial to mesenchymal transition in pancreatic cancer cells by inhibiting TGF-β signaling pathway. **Journal of Cancer**, v. 11, n. 9, p. 2716–2723, 2020.
- CHOONG, P. F. M. **Sarcoma: A Practical Guide to Multidisciplinary Management**. 1. ed. Singapore: Springer, 2021.
- CONG, L. et al. Tumor size classification of the 8th edition of TNM staging system is superior

- to that of the 7th edition in predicting the survival outcome of pancreatic cancer patients after radical resection and adjuvant chemotherapy. **Scientific Reports**, v. 8, n. 1, p. 1–9, 2018.
- DING, J.; SUN, D.; XIE, P. Elevated microRNA-145 inhibits the development of oral squamous cell carcinoma through inactivating ERK/MAPK signaling pathway by down-regulating HOXA1. **Bioscience reports**, v. 39, n. 6, jun. 2019.
- FRIEDMAN, L. et al. Curcumin analogues exhibit enhanced growth suppressive activity in human pancreatic cancer cells. **Anti-Cancer Drugs**, v. 20, n. 6, p. 444–449, jul. 2009.
- GAO, S. et al. ROR functions as a ceRNA to regulate Nanog expression by sponging miR-145 and predicts poor prognosis in pancreatic cancer. **Oncotarget**, v. 7, n. 2, p. 1608–1618, jan. 2016.
- GAO, Y. et al. Linc-DYNC2H1-4 promotes EMT and CSC phenotypes by acting as a sponge of miR-145 in pancreatic cancer cells. **Cell death & disease**, v. 8, n. 7, p. e2924, jul. 2017.
- GARCÍA-GARCÍA, F. et al. MiR-145-5p is associated with pathological complete response to neoadjuvant chemotherapy and impairs cell proliferation by targeting TGF β R2 in breast cancer. **Oncology Reports**, v. 41, n. 6, p. 3527–3534, 2019.
- GLOBOCAN. **Cancer Today**. Disponível em: <https://gco.iarc.fr/today/online-analysis-multi-bars?v=2020&mode=cancer&mode_population=countries&population=900&populations=900&key=total&sex=0&cancer=39&type=0&statistic=5&prevalence=0&population_group=0&ages_group%5B%5D=0&ages_group%5B%5D=17&nb_items=1>. Acesso em: 3 jan. 2021.
- GRASSI, E. et al. Mutational burden of resectable pancreatic cancer, as determined by whole transcriptome and whole exome sequencing, predicts a poor prognosis. **International Journal of Oncology**, v. 52, n. 6, p. 1972–1980, 1 jun. 2018.
- HAN, T. et al. MicroRNA-145 suppresses cell proliferation, invasion and migration in pancreatic cancer cells by targeting NEDD9. **Molecular medicine reports**, v. 11, n. 6, p. 4115–4120, jun. 2015.
- HANAHAN, D.; WEINBERG, R. A. Leading Edge Review Hallmarks of Cancer: The Next Generation. 2011.
- HASEGAWA, S. et al. MicroRNA-1246 expression associated with CCNG2-mediated chemoresistance and stemness in pancreatic cancer. **British Journal of Cancer**, v. 111, n. 8, p. 1572–1580, 14 out. 2014.
- HAYASHI, H. et al. Utility of assessing the number of mutated KRAS, CDKN2A, TP53, and SMAD4 genes using a targeted deep sequencing assay as a prognostic biomarker for pancreatic cancer. **Pancreas**, v. 46, n. 3, p. 335–340, 2017.
- HERMAN, J. M. et al. Smad4 Loss Correlates with Higher Rates of Local and Distant Failure in Pancreatic Adenocarcinoma Patients Receiving Adjuvant Chemoradiation. **Pancreas**, v. 47, n. 2, p. 208–212, 2018.
- ISHIWATA, T. et al. **Pancreatic cancer stem cells: features and detection**

- methodsPathology and Oncology Research** Springer Netherlands, , 1 out. 2018.
- JI, Q. et al. MicroRNA miR-34 inhibits human pancreatic cancer tumor-initiating cells. **PLoS ONE**, v. 4, n. 8, 28 ago. 2009.
- KAMISAWA, T. et al. Pancreatic cancer. **The Lancet**, v. 388, n. 10039, p. 73–85, 2016.
- KANEHISA, M. et al. New approach for understanding genome variations in KEGG. **Nucleic Acids Research**, v. 47, n. D1, p. D590–D595, 2019.
- KEANE, M. G. et al. A case-control study comparing the incidence of early symptoms in pancreatic and biliary tract cancer. **BMJ Open**, v. 4, n. 11, p. 1–8, 2014.
- KHAN, S. et al. MicroRNA-145 targets MUC13 and suppresses growth and invasion of pancreatic cancer. **Oncotarget**, v. 5, n. 17, p. 7599, 2014.
- KHAN, S. et al. Superparamagnetic iron oxide nanoparticles of curcumin enhance gemcitabine therapeutic response in pancreatic cancer. **Biomaterials**, v. 208, p. 83–97, 1 jul. 2019.
- KLEEFF, J. et al. Pancreatic cancer. **Nature Reviews Disease Primers**, v. 2, p. 16022, 2016.
- KULESHOV, M. V. et al. Enrichr: a comprehensive gene set enrichment analysis web server 2016 update. **Nucleic Acids Research**, v. 44, n. W1, p. W90–W97, 2016.
- KUNNUMAKKARA, A. B. et al. Curcumin potentiates antitumor activity of gemcitabine in an orthotopic model of pancreatic cancer through suppression of proliferation, angiogenesis, and inhibition of nuclear factor- κ B-regulated gene products. **Cancer Research**, v. 67, n. 8, p. 3853–3861, 15 abr. 2007.
- KUNNUMAKKARA, A. B. et al. **Curcumin mediates anticancer effects by modulating multiple cell signaling pathways** Clinical Science Portland Press Ltd, , 1 ago. 2017. Disponível em: <<https://pubmed.ncbi.nlm.nih.gov/28679846/>>. Acesso em: 7 jun. 2021
- LEE, R. C.; FEINBAUM, R. L.; AMBROST, V. The *C. elegans* heterochronic gene lin-4 encodes small RNAs with antisense complementarity to lin-14. **Cell**, v. 75, p. 843–854, 1993.
- LEV-ARI, S. et al. Inhibition of pancreatic and lung adenocarcinoma cell survival by curcumin is associated with increased apoptosis, down-regulation of COX-2 and EGFR and inhibition of Erk1/2 activity. **Anticancer Research**, v. 26, n. 6 B, p. 4423–4430, 2006.
- LEV-ARI, S. et al. Curcumin augments gemcitabine cytotoxic effect on pancreatic adenocarcinoma cell lines. **Cancer Investigation**, v. 25, n. 6, p. 411–418, set. 2007.
- LI, C. et al. Identification of pancreatic cancer stem cells. **Cancer Research**, v. 67, n. 3, p. 1030–1037, 1 fev. 2007.
- LI, D. et al. KRT17 Functions as a Tumor Promoter and Regulates Proliferation, Migration and Invasion in Pancreatic Cancer via mTOR/S6k1 Pathway. **Cancer Management and Research**, v. Volume 12, p. 2087–2095, 19 mar. 2020.
- LI, W. et al. Curcumin inhibits superoxide dismutase-induced epithelial-to-mesenchymal transition via the PI3K/Akt/NF- κ B pathway in pancreatic cancer cells. **International Journal of Oncology**, v. 52, n. 5, p. 1593–1602, 1 maio 2018a.

- LI, W. et al. Curcumin attenuates hyperglycemia-driven EGF-induced invasive and migratory abilities of pancreatic cancer via suppression of the ERK and AKT pathways. **Oncology Reports**, v. 41, n. 1, p. 650–658, 1 jan. 2019.
- LI, X. J. et al. Exosomal MicroRNA MiR-1246 Promotes Cell Proliferation, Invasion and Drug Resistance by Targeting CCNG2 in Breast Cancer. **Cellular Physiology and Biochemistry**, v. 44, n. 5, p. 1741–1748, 1 jan. 2018b.
- LI, Y. et al. Modulatory effects of curcumin on multi-drug resistance-associated protein 5 in pancreatic cancer cells. **Cancer Chemotherapy and Pharmacology**, v. 68, n. 3, p. 603–610, set. 2011.
- LI, Y. et al. MicroRNA-145 inhibits tumour growth and metastasis in osteosarcoma by targeting cyclin-dependent kinase, CDK6. **European review for medical and pharmacological sciences**, v. 20, n. 24, p. 5117–5125, dez. 2016.
- LIN, S.; GREGORY, R. I. MicroRNA biogenesis pathways in cancer. **Nature Reviews Cancer**, v. 15, n. 6, p. 321–333, 2015.
- LIN, S. S. et al. miR-1246 targets CCNG2 to enhance cancer stemness and chemoresistance in oral carcinomas. **Cancers**, v. 10, n. 8, 16 ago. 2018.
- LIN, Y. et al. MiRNA-145 increases therapeutic sensibility to gemcitabine treatment of pancreatic adenocarcinoma cells. **Oncotarget**, v. 7, n. 43, p. 70857–70868, out. 2016.
- LIU, P. et al. Curcumin enhances anti-cancer efficacy of either gemcitabine or docetaxel on pancreatic cancer cells. **Oncology Reports**, v. 44, n. 4, p. 1393–1402, 1 out. 2020.
- LIU, T. et al. Curcumin suppresses proliferation and in vitro invasion of human prostate cancer stem cells by ceRNA effect of miR-145 and lncRNA-ROR. **Gene**, v. 631, p. 29–38, 5 out. 2017.
- LIVAK, K. J.; SCHMITTGEN, T. D. Analysis of relative gene expression data using real-time quantitative PCR and the 2- $\Delta\Delta CT$ method. **Methods**, v. 25, n. 4, p. 402–408, 1 dez. 2001.
- LU, Y. et al. Knockdown of Oct4 and Nanog expression inhibits the stemness of pancreatic cancer cells. **Cancer Letters**, v. 340, n. 1, p. 113–123, 28 out. 2013.
- MA, J. et al. Curcumin inhibits cell growth and invasion through up-regulation of miR-7 in pancreatic cancer cells. **Toxicology Letters**, v. 231, n. 1, p. 82–91, 8 nov. 2014.
- MA, Y. et al. DNA methyltransferase mediates the hypermethylation of the microRNA 34a promoter and enhances the resistance of patient-derived pancreatic cancer cells to molecular targeting agents. **Pharmacological Research**, v. 160, p. 105071, 1 out. 2020.
- MADHAVAN, B. et al. Combined evaluation of a panel of protein and miRNA serum-exosome biomarkers for pancreatic cancer diagnosis increases sensitivity and specificity. **International Journal of Cancer**, v. 136, n. 11, p. 2616–2627, 2015.
- MICHAEL, A. et al. Gene Ontology: tool for the unification of biology. **Nature genetics**, v. 25, n. May, p. 25–29, 2000.
- MIRGANI, M. T. et al. Dendrosomal curcumin nanoformulation downregulates pluripotency

- genes via miR-145 activation in U87MG glioblastoma cells. **International Journal of Nanomedicine**, v. 9, n. 1, p. 403–417, 13 jan. 2014.
- MORTEZAAE, K. et al. Mechanisms of apoptosis modulation by curcumin: Implications for cancer therapy. **Journal of Cellular Physiology**, v. 234, n. 8, p. 12537–12550, 2019.
- NAGY, Á. et al. Validation of miRNA prognostic power in hepatocellular carcinoma using expression data of independent datasets. **Scientific Reports**, v. 8, n. 1, p. 1–9, 2018.
- NALLS, D. et al. Targeting Epigenetic Regulation of miR-34a for Treatment of Pancreatic Cancer by Inhibition of Pancreatic Cancer Stem Cells. **PLoS ONE**, v. 6, n. 8, 2011.
- NAVAS, C. et al. EGF Receptor Signaling Is Essential for K-Ras Oncogene-Driven Pancreatic Ductal Adenocarcinoma. **Cancer Cell**, v. 22, n. 3, p. 318–330, 11 set. 2012.
- NEOPTOLEMOS, J. P. et al. **Pancreatic Cancer**. 2. ed. New York: Springer, 2018.
- PECORINO, L. **Molecular Biology of Cancer: Mechanisms, Targets, and Therapeutics**. 3. ed. Oxford: Oxford University Press, 2012.
- QUAN, Y.; HUANG, X.; QUAN, X. Expression of miRNA-206 and miRNA-145 in breast cancer and correlation with prognosis. **Oncology letters**, v. 16, n. 5, p. 6638–6642, nov. 2018.
- RAWLA, P.; SUNKARA, T.; GADUPUTI, V. Epidemiology of Pancreatic Cancer: Global Trends, Etiology and Risk Factors. **World Journal of Oncology**, v. 10, n. 1, p. 10–27, 2019.
- REINHART, B. J. et al. The 21-nucleotide let-7 RNA regulates developmental timing in *Caenorhabditis elegans*. **Nature**, v. 403, n. 6772, p. 901–906, 2000.
- REN, B.; LIU, X.; SURIAWINATA, A. A. **Pancreatic Ductal Adenocarcinoma and Its Precursor Lesions: Histopathology, Cytopathology, and Molecular Pathology** American Journal of Pathology Elsevier Inc., , 1 jan. 2019. Disponível em: <<https://doi.org/10.1016/j.ajpath.2018.10.004>>. Acesso em: 31 dez. 2020
- SCHWARZ, K. et al. Modification of radiosensitivity by Curcumin in human pancreatic cancer cell lines. **Scientific Reports**, v. 10, n. 1, 1 dez. 2020.
- SHEN, Q. et al. Regulation of CRADD-caspase 2 cascade by histone deacetylase 1 in gastric cancer. **American Journal of Translational Research**, v. 6, n. 5, p. 538–547, 2014.
- SMOLLE, M. A. et al. MicroRNAs in different histologies of soft tissue sarcoma: A comprehensive review. **International Journal of Molecular Sciences**, v. 18, n. 9, 2017.
- STICHT, C. et al. miRWALK: An online resource for prediction of microRNA binding sites. **PLoS ONE**, v. 13, n. 10, p. 1–6, 2018.
- STOICA, A. F.; CHANG, C. H.; PAUKLIN, S. **Molecular Therapeutics of Pancreatic Ductal Adenocarcinoma: Targeted Pathways and the Role of Cancer Stem Cells** Trends in Pharmacological Sciences Elsevier Ltd, , 1 dez. 2020.
- SU, J. et al. Curcumin inhibits cell growth and invasion and induces apoptosis through down-regulation of Skp2 in pancreatic cancer cells. **American Journal of Cancer Research**, v. 6, n. 9, p. 1949–1962, 2016.

- SUN, J. et al. Downregulation of miR-21 inhibits the malignant phenotype of pancreatic cancer cells by targeting VHL. **OncoTargets and Therapy**, v. 12, p. 7215–7226, 3 set. 2019.
- TAKAHASHI, K. et al. Induction of Pluripotent Stem Cells from Adult Human Fibroblasts by Defined Factors. **Cell**, v. 131, n. 5, p. 861–872, 2007.
- TANG, M. et al. MicroRNA-145 downregulation associates with advanced tumor progression and poor prognosis in patients suffering osteosarcoma. **OncoTargets and therapy**, v. 6, p. 833–838, 2013.
- TANG, W. et al. miR-145-5p Suppresses Breast Cancer Progression by Inhibiting SOX2. **The Journal of surgical research**, v. 236, p. 278–287, 1 abr. 2019a.
- TANG, Y.; TANG, Y.; CHENG, Y. S. miR-34a inhibits pancreatic cancer progression through Snail1-mediated epithelial-mesenchymal transition and the Notch signaling pathway. **Scientific Reports**, v. 7, 1 fev. 2017.
- TANG, Z. et al. GEPIA2: an enhanced web server for large-scale expression profiling and interactive analysis. **Nucleic Acids Research**, v. 47, n. W1, p. W556–W560, 1 jul. 2019b.
- WANG, H. et al. MiR-145 functions as a tumor suppressor via regulating angiopoietin-2 in pancreatic cancer cells. **Cancer cell international**, v. 16, n. 1, p. 65, 2016.
- WANG, L. et al. Whole-exome sequencing of human pancreatic cancers and characterization of genomic instability caused by MLH1 haploinsufficiency and complete deficiency. **Genome Research**, v. 22, n. 2, p. 208–219, 2012.
- WANG, S. et al. CircZNF609 promotes breast cancer cell growth, migration, and invasion by elevating p70S6K1 via sponging miR-145-5p. **Cancer management and research**, v. 10, p. 3881–3890, 2018.
- WEI, D. et al. KLF4 Is Essential for Induction of Cellular Identity Change and Acinar-to-Ductal Reprogramming during Early Pancreatic Carcinogenesis. **Cancer Cell**, v. 29, n. 3, p. 324–338, 14 mar. 2016a.
- WEI, X. et al. MicroRNA-21 induces 5-fluorouracil resistance in human pancreatic cancer cells by regulating PTEN and PDCD4. **Cancer Medicine**, v. 5, n. 4, p. 693–702, 10 abr. 2016b.
- WEINBERG, R. **The Biology of Cancer**. 2. ed. New York: Garland Publishing, 2013.
- WIGHTMAN, B.; HA, I.; RUVKUN, G. Posttranscriptional regulation of the heterochronic gene lin-14 by lin-4 mediates temporal pattern formation in *C. elegans*. **Cell**, v. 75, n. 5, p. 855–862, 1993.
- WITKIEWICZ, A. K. et al. Whole-exome sequencing of pancreatic cancer defines genetic diversity and therapeutic targets. **Nature Communications**, v. 6, 10 abr. 2015.
- WONG, N.; WANG, X. miRDB: An online resource for microRNA target prediction and functional annotations. **Nucleic Acids Research**, v. 43, n. D1, p. D146–D152, 2015.
- XIA, J. et al. miR-7 Suppresses Tumor Progression by Directly Targeting MAP3K9 in Pancreatic Cancer. **Molecular Therapy - Nucleic Acids**, v. 13, p. 121–132, 7 dez. 2018.

- XU, N. et al. MicroRNA-145 Regulates OCT4, SOX2, and KLF4 and Represses Pluripotency in Human Embryonic Stem Cells. **Cell**, v. 137, n. 4, p. 647–658, 15 maio 2009.
- XU, Q. et al. MiR-145 directly targets p70S6K1 in cancer cells to inhibit tumor growth and angiogenesis. **Nucleic acids research**, v. 40, n. 2, p. 761–774, 2011.
- XU, R. et al. MicroRNA-1246 regulates the radio-sensitizing effect of curcumin in bladder cancer cells via activating P53. **International Urology and Nephrology**, 2019.
- XU, Y.-F. et al. Plasma exosome miR-196a and miR-1246 are potential indicators of localized pancreatic cancer. **Oncotarget**, v. 8, n. 44, p. 77028–77040, 2017.
- YAN, Y. et al. KLF4-mediated suppression of CD44 signaling negatively impacts pancreatic cancer stemness and metastasis. **Cancer Research**, v. 76, n. 8, p. 2419–2431, 15 abr. 2016.
- YANG, C. et al. RAIDD expression is impaired in multidrug resistant osteosarcoma cell lines. **Cancer Chemotherapy and Pharmacology**, v. 64, n. 3, p. 607–614, 2009.
- YANG, D.; LI, Y.; ZHAO, D. Curcumin induces apoptotic cell death in human pancreatic cancer cells via the miR-340/XIAP signaling pathway. **Oncology Letters**, v. 14, n. 2, p. 1811–1816, 2017.
- YANG, Z. et al. BIRC7 and KLF4 expression in benign and malignant lesions of pancreas and their clinicopathological significance. **Cancer Biomarkers**, v. 17, n. 4, p. 437–444, 2017.
- YOSHIDA, K. et al. Curcumin sensitizes pancreatic cancer cells to gemcitabine by attenuating PRC2 subunit EZH2, and the lncRNA PVT1 expression. **Carcinogenesis**, v. 38, n. 10, p. 1036–1046, 2017.
- ZAMMARCHI, F. et al. KLF4 is a novel candidate tumor suppressor gene in pancreatic ductal carcinoma. **American Journal of Pathology**, v. 178, n. 1, p. 361–372, 2011.
- ZHANG, W. et al. MicroRNA-145 function as a cell growth repressor by directly targeting c-Myc in human ovarian cancer. **Technology in cancer research & treatment**, v. 13, n. 2, p. 161–168, 2014.
- ZHANG, Z. et al. Exosomal miR-1246 and miR-155 as predictive and prognostic biomarkers for trastuzumab-based therapy resistance in HER2-positive breast cancer. **Cancer Chemotherapy and Pharmacology**, v. 86, n. 6, p. 761–772, 1 dez. 2020.
- ZHOU, S. et al. Curcumin inhibits cancer progression through regulating expression of microRNAs. **Tumor Biology**, v. 39, n. 2, p. 1–12, 2017.
- ZHOU, X. et al. Antitumor activity of curcumin is involved in down-regulation of YAP/TAZ expression in pancreatic cancer cells. **Oncotarget**, v. 7, n. 48, p. 79076–79088, 2016.
- ZHU, W. et al. MiR-7-5p functions as a tumor suppressor by targeting SOX18 in pancreatic ductal adenocarcinoma. **Biochemical and Biophysical Research Communications**, v. 497, n. 4, p. 963–970, 2018.
- ZHU, X.; ZHU, R. Curcumin suppresses the progression of laryngeal squamous cell carcinoma through the upregulation of miR-145 and inhibition of the PI3K/Akt/mTOR pathway.

OncoTargets and therapy, v. 11, p. 3521–3531, 19 jun. 2018.

9. ANEXOS

ANEXO A - Lista gerada dos possíveis alvos para cada ferramenta de predição para o miR-145-5p e interseção dos 263 genes alvos em comum às três ferramentas de predição de alvos.

TargetScan 7.2	miRDB	miRWalk 3.0	Interseção
CSRNP2	FSCN1	ACTG1	CSRNP2
FSCN1	SRGAP2	ENSA	FSCN1
ABHD17C	FLI1	SPRYD3	FLI1
MYO5A	MRTFB	HOXC5	ABRACL
FLI1	ABHD17C	SMARCC2	MBTD1
ABRACL	SRGAP1	WWC1	BLOC1S6
MBTD1	DAB2	RASGEF1C	TPT1
BLOC1S6	ADD3	PSMG4	SKP1
SWAP70	CLCN3	ELOVL2	ACTG1
ATP6V0B	TRIM2	BICDL1	SNX24
TPT1	FAM135A	GALNT9	AKAP9
HHEX	ABCE1	PAN3	OTOR
KCNA4	MBTD1	RPS20	RTKN
GLIS1	KCNA4	ZNF706	ADD3
ITGB8	ITGB8	OXR1	SPSB4
GMFB	SMAD3	ZBTB20	CAMK1D
DAW1	ELK4	NAT6	CASZ1
PPP3CA	MYO6	KCTD6	GALNT1
FKBP3	MPZL2	FOXP1	ACTB
YTHDF2	AP1G1	METTL16	AGFG1
SKP1	CAMSAP2	SLC25A11	EXOC8
C13orf35	NAA40	TVP23C-CDRT4	GRB10
ACTG1	PPP3CA	LGALS9C	ERG
PGM3	NUAK1	RBFOX2	DUSP6
SNX24	MYO5A	RTL6	DERL2
DST	DLGAP1	CELSR1	SCAMP3
TFRC	SEMA3A	UTS2	VASN
RNF170	MYRF	KAZN	PRPSAP2
AKAP9	SLC38A11	SRSF10	CTNNBIP1
OTOR	IVNS1ABP	GPR3	NEDD9
MPLKIP	SSH2	KAT5	SPOP
RTKN	PPP4R2	P2RY8	CCDC107
BIRC2	MDFIC	MAGEB16	STAM
ADD3	SPSB4	NDP	SOCS7
MKL2	ERBB4	PGAP3	ARF6
MDFIC	ADAM19	HOXB6	UBASH3A
MAP3K1	CBFB	SCN4A	SRGAP1
UXS1	PLCE1	EMC3	PLCL2
SPSB4	BACH2	MKRN2	ANKRD28
ABCE1	AP2B1	RBSN	AP2B1
FAM135A	DOCK9	LCE2B	CRKL
ENHO	HIC2	S100A5	LOX

SRGAP2	YTHDF2	SLC39A1	SEMA6A
SEMA3A	TMEM9B	TDRD10	GPR137C
CAMK1D	RC3H1	AP4E1	LDLRAD3
PLCE1	DNAL1	TMOD2	ERLIN1
CASZ1	NUFIP2	LCTL	RASA2
GALNT1	CACHD1	TLE3	KLHL18
ACTB	UBA6	ULK3	ELMO1
TMEM178A	ZBTB33	MFGE8	ESCO2
FGF5	CHAC2	GSK3A	APPL1
AGFG1	EBF3	ZNF180	PTGFR
UBXN4	TPR	KCNJ14	NSUN4
EXOC8	ABCA1	TXNL4A	RLIM
GRB10	COMMD9	EVI5L	CCDC25
ERG	GLIS1	DEFB125	SRSF10
PPP4R2	GMFB	RNF24	CAMK2D
DUSP6	SOX9	CST3	TPM4
DAB2	LOX	NANP	HTR2A
DERL2	ZNF543	EIF6	ZBTB33
GABARAPL2	ZFHX4	MRPL43	MRGBP
ABHD17B	SEMA6A	UTP15	ADAM17
SCAMP3	RREB1	EGR1	EYA4
PAPD4	TDRD6	VAMP1	NDFIP2
SERGEF	REV3L	MFAP5	CRISPLD2
VASN	TRIO	ASB8	SLITRK4
PRPSAP2	ELMO1	NCF2	ARL11
CITED2	DDC	RBBP5	PAN2
CTNNBIP1	RNF170	ESRRG	SLC7A8
KLF5	PRDM1	TMEM253	DLG4
SOX9	ABHD17B	RPS29	BTG1
MPZL2	MED13	ODF2L	UNC119B
DACH1	LAMP2	FAM212B	GCLM
RGS7	SMAD5	TRIM33	CBFB
NEDD9	RIN2	LOC100996763	SLC25A30
ST6GALNAC3	IPMK	LOC100996717	LPIN2
ADPGK	BICC1	ANXA9	NAA50
SPOP	CACNA1D	ST8SIA5	CHP1
CCDC107	MTF1	MTRF1L	YTHDC1
STAM	SLC30A9	PRKAR1B	C5orf15
PDCD4	LDLRAD3	CMPK2	TMOD3
ARL5B	TPM3	ROCK2	FBXO28
SOCS7	ADAMTS5	MYCN	TBPL1
ARF6	ASAP2	B3GNT2	SERPINE1
BRCC3	ERLIN1	AKR1C2	CAV2
HELLS	NDFIP2	IL15RA	PCSK5
UBASH3A	HNRNPH2	NRP1	NR4A2
NTN4	ANKRD28	MARCH8	PODXL
MPP5	NAV3	VSTM4	ZNF451
IGSF5	TENT2	FITM2	JPH1

CC2D2B	MPP5	ZBP1	SMAD3
MEST	ADPGK	SIM2	EPB41L5
SRGAP1	SERINC5	ERG	TGFBR2
OSBPL1A	CASZ1	TECRL	TSPAN6
PCBP2	GABARAPL1	CSN1S1	TMOD1
PLCL2	TMEM178A	NPNT	DENND4B
ANKRD28	KLF5	USP35	TAGLN2
AP2B1	CCDC148	SLC35F2	DYRK1A
NUAK1	ERG	KDELC2	KIF3A
NUDT4	DENND5B	SCN4B	ACVR1B
EBF3	ZBTB10	CD3E	MTF1
KCNJ6	BCR	TMEM218	TBC1D15
TTC4	UNC119B	SLC6A13	SSBP3
TNFRSF11B	PLA2R1	MYLIP	EIF4EBP2
TCTEX1D1	EBF1	BTN2A2	AP3S1
BTF3L4	ANGPT2	DDR1	ARPC5
MOCS2	ZFYVE9	CLIC1	HS6ST1
CRKL	NAA30	PACSIN1	TPM3
LOX	NECTIN3	STX17	RAB5C
KLF14	RIMS1	EPB41L4B	SNX27
H2AFX	SNX8	UGCG	MTX3
SEMA6A	CAMK1D	ST6GALNAC6	ZNF436
GPR137C	RASA1	ST6GALNAC4	ZNF521
EPB41L4A	PCBP4	TMEM203	SLC25A25
CAMSAP2	STAM	SPATA6	SNX8
ALKBH1	ARHGAP6	AGBL4	RBM3
LDLRAD3	HTR2A	COA7	TRIM44
ERLIN1	EPB41L5	SLC1A7	TULP4
RASA2	GLIS3	UBE2U	ZHX2
KLHL18	PRDM2	NXNL1	KIAA0930
HTR1F	RTKN	ZNF682	FLT1
ARHGAP6	TENT4B	LYPD6B	TTC14
ELMO1	RGS7	SCN7A	FBXO34
ESCO2	BNIP3	METTL8	SLC1A2
CCDC149	USP46	CYBRD1	MPZL1
INO80	SLC7A8	GPR155	MYO6
APPL1	HEY1	TMEFF2	RIMS1
PTGFR	CORO2B	LANCL1	USP46
KATNBL1	RAB11FIP4	TMEM9B	VEZF1
CLINT1	AGFG1	CD59	YWHAG
UBA6	IKZF2	TP53I11	MAP4K2
	RPL36A-		
YES1	HNRNPH2	ARHGAP1	GPBP1
CDCA3	NRAS	PTPMT1	RAPGEF2
PGD	KCNK1	TMEM265	PMP22
NSUN4	ABR	ZNF423	FAM214A
HECW2	MAP4K4	NUDT21	KLHL28
RLIM	ATXN2	USB1	AP1G1

GJB7	ARF6	CTCF	SIRPA
SNTB2	EPS15	THAP11	LARP4B
CFTR	PRKD3	WWP2	ELK4
CCDC25	PLCL2	EFHC1	SEL1L3
POTEM	NAA15	USP45	MYRF
KCNMB4	ADI1	LIN28B	SOX11
SRSF10	UXS1	AMD1	CDK6
PSAT1	UBR7	ABCF2	RASSF5
CABP1	LRRC8B	MFHAS1	ANKFY1
POTEGL	DACH1	DNAJC19	SENP2
CAMK2D	NR4A2	UNKL	TLL1
AL354993.1	FAM45A	PGP	FAM174B
PXN	DLC1	FAM57B	ARHGAP21
TPM4	MAGI2	ALKBH4	RUNX3
HTR2A	OTOR	CDHR3	DOCK9
FBXL3	POTEM	DOCK4	LRRC8B
ADAMTS5	EIF4EBP2	TCEAL9	ATP1B4
SP9	QKI	MORC4	MAP4K4
ZBTB33	ABRACL	MAGEA12	ONECUT2
ZFYVE9	RASA2	SPRY3	IKZF2
MRGBP	ACTG1	C4orf51	RBPM3
ADAM17	EPHA4	IRX4	PPP1R9A
NET1	USP31	CDH9	GCC2
FUT9	HECW2	FUT8	SUN1
EYA4	TPM4	BCL11B	FBXO40
ANGPT2	YES1	ANKRD63	AREL1
NDFIP2	SENP2	CCDC32	RFX3
CRISPLD2	RAB14	PLA2G4E	ZNF704
ATF1	LRAT	CNTLN	PAFAH1B2
SLITRK4	MYSM1	HAU6	ABR
GLIS3	NTN4	MYORG	NFIA
ARL11	KIF21A	PTAR1	KLHL15
SMIM15	TBC1D15	SEMA4D	TMEM135
PAN2	UBE2W	NEDD4	APPBP2
SLC7A8	TGFB2	PRKAA1	FAM107B
STK38L	OSBPL1A	HDAC8	MYCN
TGFB2	ARHGAP21	CRLS1	ANO6
DLG4	SNTB2	KCNIP2	SERINC5
BTG1	ST6GALNAC3	LGALS8	LASP1
GGT7	YTHDC1	LRRC32	DDX17
UNC119B	NSUN4	C1orf216	CELSR1
GCLM	HECTD1	MRVI1	SMAD4
MRPL17	CREB5	ARFGAP2	UBE2W
SMAD5	SNX27	ARHGAP10	FZD4
CBFB	FOXO1	TLDC2	ACVR2A
SPATS2	PMP22	PYM1	PHACTR4
UBE2V1	ATP8A1	MYOZ3	HIPK2
XRN1	NEDD9	CCNLJ	RREB1

PLA2G4A	TMEM139	RASAL1	TAOK1
BRI3BP	GRB10	TMEM233	PSD3
SLC25A30	CAMK2D	RAB35	SLC7A1
OS9	PDCD4	TRIAP1	KIAA0355
LPIN2	KLHL18	KATNAL1	UBN2
NAA50	PXN	KAT6A	RAB14
CHP1	ZBTB20	RAD54B	NAA40
ECHDC1	UBN2	CACNA2D2	PHACTR2
YTHDC1	TTC26	ACTR8	ARHGAP28
C5orf15	PTPN12	TSR1	ZC2HC1C
KIF21A	PSD3	DHX33	RAB11FIP4
IPMK	SPATS2	ALDOC	ZNF516
TMOD3	PCSK5	MLC1	CLIP1
MBD2	C2CD5	CASZ1	TET2
FBXO28	MOSMO	PDPN	SLC16A2
DRG1	MEST	ASAP3	BMP3
BCR	COMMD5	PATL1	TRIO
EFNA1	HS6ST1	STX5	SET
HTATSF1	FLRT3	CPT1A	RASSF2
CISD2	TNFRSF11B	FCHSD2	DENND5B
TBPL1	SAP30L	MIEN1	NUDT3
CABLES1	EXOC8	SP6	CACNB2
GATSL2	G3BP1	IHH	IPO7
CCZ1	VWA5A	CCDC174	SMCR8
AARS	COL6A5	DPT	SAP30L
CCDC62	AKAP9	CTXN2	ATXN7L1
UBALD2	TGFBR2	SNX1	TM9SF4
SERPINE1	PURA	PIF1	ERBB4
CAV2	CTNND1	EDC3	RNF216
SAMD5	CARMIL1	SIN3A	GABARAPL1
PCSK5	NET1	NTRK3	SH3BGRL2
DRGX	GFRA1	GPR4	UHMK1
HLTF	MYCN	TMX3	ETS1
NR4A2	RAD51B	MYDGF	ADAM19
GTPBP8	OGT	HSD11B1L	PLXNA2
CD40	QSER1	RFX2	ZBTB6
PODXL	PSAT1	RSPO4	SLC8A3
ZNF451	NDUFA4	TTLL9	USP31
CCZ1B	ZNF521	NDRG3	ZFHX4
MYL12A	CSRNP2	CCNJ	PTPN3
PHRF1	ATP1A2	GOLGA7B	NEDD4L
EPS15	SLC25A36	EFNA5	TMEM246
CYR61	SOX11	TM7SF3	NUFIP2
EPT1	CRKL	FCMR	FREM1
PBX3	TMOD2	ABCD3	KLHL11
JPH1	UMODL1	HIST2H2BF	CAPRIN1
SMAD3	CCDC25	PSMD12	HIPK3
CCNL1	ETNK1	IMPACT	SPTLC2

BACH2	RPS6KB1	DTNA	KCNN3
SLITRK6	TAGLN2	HOXA3	DNAL1
HOMER2	XRN1	SEPHS1	SRGAP3
CACNA1D	CLCN2	C10orf53	SLC38A2
EPB41L5	ARL6IP5	ADNP	ZRANB3
BLOC1S2	NAP1L1	CTCFL	IGF1R
ATXN2	DYRK1A	FAM47E-STBD1	TLN2
TGFBR2	INO80	SLC10A6	KANK2
TSPAN6	KCNK9	AIMP1	ATP1A2
TMOD1	ZMYM5	PDE5A	LENG8
MAGI2	HELB	CWC15	CLCN3
GFRA1	COL11A1	USP2	HIC2
SNX15	RASSF2	FKBP15	ADRA2B
RPS6KA6	SET	CRB2	ASPHD2
ARL6IP5	JPH1	FNBP1	NRARP
DENND4B	CITED2	VAV2	CLMN
CACHD1	TMEM184A	EPHA10	NAA25
TAGLN2	TRPC6	TMEM59	GIT1
DYRK1A	ADAM17	LMO1	FER
STC1	KATNBL1	NUTF2	MTDH
THUMPD3	ZNF626	CHST6	SMAD2
CIRBP	PLXNA2	KCNG4	PLXND1
KIF3A	CNTN4	PITPNA	SLC35E1
AC023590.1	DUSP6	PPP2R2C	ZNF512B
ACVR1B	CSMD3	ADCY9	CREB5
MTF1	USP37	RRN3	ORC4
EXOC2	TAT	STX1A	AKT3
ERMP1	APLF	RBM48	NUDT21
PAQR9	GALNT1	POLR2J3	ZBTB20
TBC1D15	DAW1	POLR2J2	RGPD3
C7orf73	ZBTB6	VMA21	
SSBP3	ALS2	CFAP97	
G3BP1	TMEM167A	EVL	
PVRL3	AKAP12	PTPRD	
TRIM2	RCBTB1	MTAP	
ACTR3	VASN	ACSS3	
EIF4EBP2	PHACTR2	GTF2H3	
HSPBAP1	BTG1	LRRC2	
RASA1	NEGR1	KAT2A	
FNDC3B	FLNB	LIMD2	
PRKX	MKX	CD79B	
REV3L	CACNB2	OSBPL10	
AP3S1	UHRF1BP1	ISG20	
ARPC5	PAN2	ZNF426	
CSTF3	CPNE8	CRTAC1	
DAGLA	ITPR2	WDR89	
HS6ST1	USP32	PDCD2	
TPM3	H2AFX	LFNG	

RAB5C	VPS26A	TLR4
ERF	ACTB	COMP
CASC4	GABARAPL2	CHID1
ERN1	CHP1	RRP8
SNX27	RANBP2	RCAN2
MTX3	HTATSF1	GUCY1A1
ELF2	TFEC	GPBP1
U2AF2	ADCYAP1	DDX58
POTEF	GJA3	SUN2
ZNF436	EAPP	AAGAB
ZNF521	CAMKK1	PRSS36
ABCA1	TULP4	MASP1
SLC25A25	KIF3A	GSG1L
FOXO1	KLHL11	NPY1R
SNX8	RNF186	TMEM63C
RBM3	DLX6	GPR68
APH1A	FKBP3	CHRNA7
ARHGAP24	SLC5A6	DDI1
TRIM44	RNF207	POM121
HOXA5	CCN1	KCNK9
TVP23C-CDRT4	NINL	BDNF
SMCHD1	PTGFR	CDH18
CDC37L1	ZRANB3	BIN2
TULP4	PAK1	KRT78
CNTN4	ARL5B	ZNF740
ZHX2	DTYMK	RARG
ZBTB46	FAM174B	ATF7
ORC2	RBM20	ATP5MC2
KIAA0930	DDX21	HOXC11
FLT1	KDM7A	HOXC10
RAD18	TAOK1	HOXC4
TTC14	ATF1	SMUG1
FBXO34	TMOD1	ZNF385A
SCARB1	CLK4	CDK2
SLC1A2	SCN2A	IKZF4
DLX6	CUL5	ERBB3
ATRX	RAPH1	IL23A
MPZL1	DARS	GLS2
KIFAP3	FARP1	STAT6
MMP16	ARHGAP28	NDUFA4L2
ELAVL4	TTC14	INHBE
GSDMA	ONECUT2	B4GALNT1
AGPAT3	ATP8B4	AGAP2
MYO6	ATP1B4	METTL1
RIMS1	MAP3K13	TSFM
CORO2B	PLXNA4	SLC16A7
DYRK1B	AREL1	HELB
SH2B3	TIAM1	MDM2

KLHDC10	ARPC5	LRRC10
USP46	BRCC3	BEST3
CCND2	IFNGR2	PTPRR
CAMKK1	PRKX	LGR5
IPPK	CCNG2	THAP2
DHX15	BLOC1S6	TBC1D15
SMARCA5	EYA4	ATXN7L3B
VEZF1	GPHA2	SLC6A15
YWHAG	DERL2	DUSP6
RCAN1	ACSL4	DCN
MGAT4B	HEPHL1	PLEKHG7
GXYLT1	DDX54	CRADD
MAP4K2	HS3ST4	METAP2
IPP	PDE12	NEDD1
GPBP1	WDR17	ANKS1B
RAPGEF2	LMBRD2	MYBPC1
PMP22	SIRPA	DRAM1
PRKD2	HMGN1	IGF1
CC2D1B	CDR2L	NFYB
CDH2	ZNF546	CHST11
FAM214A	FREM1	CKAP4
WNT2B	IRS1	PCDHGA1
RMI2	TENT5C	PCDHGA2
EBF1	SLITRK4	PCDHGA3
KLHL28	CTNNBIP1	PCDHGB1
SMAD1	FAM3C	PCDHGA4
LMBR1L	TM9SF4	PCDHGB2
AP1G1	ACAD8	PCDHGB3
SIRPA	PBX3	PCDHGA6
LARP4B	KIAA1549L	PCDHGB4
NAV3	C1orf56	PCDHGA8
NFE2L1	ECE1	PCDHGB5
C1QL4	TMEM215	PCDHGA9
NAA30	SBF2	PCDHGB6
BRWD3	TTC4	PCDHGB7
DLC1	NFIA	PCDHGA11
ELK4	CDK6	PCDHGC3
EPN1	SPOP	PCDHGC4
TMEM189-		
UBE2V1	ERF	PCDHGC5
SEL1L3	SUN1	HDAC3
MFSD7	ECHDC1	FCHSD1
FBXO45	EYS	GNPDA1
SLC35D1	GCSH	SPRY4
MAP3K11	MEIOC	ARHGAP26
TMEM189	TEX37	PRELID2
MYRF	CAPZB	SH3TC2
SOX11	CDC37L1	ABLIM3

MAK16	WDR33	PCYOX1L
KCNJ12	MAP3K1	PDE6A
CDK6	EIF2AK1	TIGD6
MOB3B	ADRA2B	CAMK2A
FGF10	TPT1	CD74
SLC35B3	GOLM1	SYNPO
RASSF5	RLIM	DCTN4
CAPZB	PLA2G4A	TNIP1
ANKFY1	TTC25	CCDC69
VANGL1	FGD6	GLRA1
NRAS	SIX4	LSM11
CDR2L	ZBTB46	ADRA1B
SENP2	DENND4B	PWWP2A
TLL1	SMAD1	NUCD2
C16orf52	PRPSAP2	SLIT3
FGF14	TBC1D12	GABRP
ABCC1	TENM1	FBXW11
PALM2	PEX2	UBTD2
DPY19L4	TMPRSS11B	NEURL1B
CCNG2	KIAA0355	ERGIC1
FAM174B	KYAT3	SFXN1
AKIRIN1	CRTC1	CPLX2
CPEB1	PTP4A2	FAM153B
PPM1D	CD109	KIAA1191
TBC1D14	RSPO1	ARL10
ECE1	RFX3	NOP16
ARHGAP21	ANGPT4	CLTB
COX4I1	SERP1	FAF2
GPR133	FNDC3A	EIF4E1B
TRAPPC10	MTR	TSPAN17
RUNX3	CAV2	UNC5A
LRRC16A	FRYL	SLC34A1
PAK7	SLC7A1	DBN1
DOCK9	ESCO2	DOK3
MYO1D	FAM107B	FAM153A
LRRC8B	CARD8	GRM6
NFIB	SERPINE1	ADAMTS2
ATP1B4	SNED1	RUFY1
RRP7A	R3HDM2	CANX
DDX46	IL18R1	MGAT4B
PTPN12	KCNA6	BTNL8
MAPK4	EPN3	BPHL
MAP4K4	SYNJ1	PXDC1
ONECUT2	RPRD1A	BLOC1S5
IKZF2	CLN8	TFAP2A
NLGN1	CPEB1	ERVFRD-1
COLQ	AARS	ADTRP
NINL	ARHGAP29	PHACTR1

SLC27A1	ZNF331	GFOD1
SBF2	MYO1D	SIRT5
RBPMS	TWIST2	CMKLR1
TMEM65	AKT3	CORO1C
ZFPM2	RAPGEF2	MMAB
PPP1R9A	ZNF451	HVCN1
PPP6C	EML5	BRAP
GOPC	RER1	ERP29
PI4K2B	CABP4	PTPN11
FMNL2	SKP1	OAS3
EIF4A2	RPE	DTX1
GCC2	ACVR2A	DDX54
GJA5	ASPHD2	TBX5
ARHGAP12	BMP3	TBX3
SUN1	PARP8	C12orf49
RPS6KB1	SLC27A1	NOS1
FBXO40	SORCS3	WSB2
CUL5	ZNF550	VSIG10
AREL1	FAM222B	SRRM4
RFX3	PODXL	PRKAB1
ZNF704	CREB3L2	MSI1
SLC26A2	ARL11	MLEC
SP3	UHMK1	UNC119B
PAFAH1B2	ABCC1	C12orf43
KLF4	OS9	CAMKK2
ABR	CCNL1	RNF34
GPRC5A	SNX24	RHOF
STIM2	TMOD3	WDR66
NFIA	ZNF385B	BCL7A
KLHL15	ELOVL7	MLXIP
HECTD1	SLC25A25	IL31
TMEM135	TMEM206	ZCCHC8
MDFI	FBXO28	HCAR3
FLRT1	SCAMP3	OGFOD2
P4HA1	SOS2	NCOR2
TMCC3	DHX15	TMEM132B
APPBP2	SS18	TMEM132C
FAM107B	RPA1	RIMBP2
MYCN	SRGAP2C	RAN
ANO6	PSIP1	MMP17
MAP3K7CL	DDX31	CHFR
EIF4B	DLG4	ZNF605
PKHD1	VAPA	ZNF84
QKI	PCBD2	ZMYM2
SERINC5	ZNF704	XPO4
LYVE1	PAK5	CENPJ
AKAP12	PLEKHG7	PDX1
MTUS1	ATP11AUN	SLC7A1

PHLDB2	EPB41L4A	HSPH1
ARID2	ZHX2	N4BP2L1
LASP1	FNDC3B	DCLK1
PAPD5	GLG1	PROSER1
ANGEL2	SOCS7	NAA16
DDX17	TLL1	FAM216B
VGLL2	IGF1R	LACC1
CELSR1	UFM1	GPALPP1
SMAD4	SLC11A2	SLC25A30
ZBTB10	SLC8A3	COG3
NINJ1	APPL1	LRCH1
UBE2W	STK38L	CYSLTR2
FZD4	FAM214A	CAB39L
ITPRIPL2	NAIP	TRIM13
ACVR2A	CASP2	INTS6
NXPE3	PRELID3B	DHRS12
ABLIM2	CABP1	NRG1
FAXC	RETREG2	DUSP26
BICC1	TARSL2	UNC5D
DOK6	KDM2B	ERLIN2
ERBB3	TP53BP1	RAB11FIP1
FXR1	NIN	FGFR1
PHF21A	EIF5	SFRP1
FNDC3A	GRIK4	GINS4
PHACTR4	KIAA0319L	NKX6-3
HIPK2	CFTR	ANK1
BTD	TBC1D14	SLC20A2
HOXA9	LLPH	SMIM19
EFNA3	TSPAN6	THAP1
HOXB6	ADRA1A	CEBPD
RREB1	PPIP5K2	TMEM68
TAOK1	RAB3IP	PLAG1
SHH	UBASH3A	FAM110B
ACSL4	SRGAP3	UBXN2B
RC3H1	DDX46	PDE7A
PSD3	SPTLC2	C8orf44-SGK3
SEC62	PAPSS2	SGK3
SLC7A1	PTBP3	MCMDC2
RIN2	VPS41	SLCO5A1
KIAA0355	ZC2HC1C	TRAM1
VAPA	FBXO9	UBE2W
ZCCHC2	ZNF398	GDAP1
UBN2	ALG10	ZFHX4
FLJ00104	UNC5D	PKIA
SENP7	TLN2	TPD52
TNFSF13	BZW1	SNX16
RAB14	EML4	C8orf59
CNOT6L	MAP2K4	ATP6V0D2

LMBRD2	PLXND1	CPNE3
NAA40	CDK14	CNGB3
MAF	LNPK	TMEM64
PHACTR2	ARHGAP17	FSBP
VAMP4	NIPAL4	UQCRB
C1ORF220	ZNRF2	TSPYL5
NCSTN	SEMA5A	MTDH
ARHGAP28	UBXN4	NIPAL2
KPNB1	PAFAH1B2	KCNS2
PAK4	FAM19A2	STK3
VPS26A	PHRF1	SNX31
SLC4A5	ITPRIPL2	YWHAZ
LHFPL2	MTURN	GRHL2
TMEM123	TGFBR1	NCALD
PKN2	HOXA5	KLF10
TBC1D12	ZNF705D	RIMS2
PLAGL2	SLC1A2	RSPO2
ZSWIM6	HLA-DOA	PKHD1L1
ZC2HC1C	SRD5A2	SAMD12
RAB11FIP4	NAA50	NOV
AFF3	CLOCK	DERL1
ARHGAP29	ATXN7L1	POU5F1B
ZNF516	HDDC3	MYC
PHF20	KBTBD8	FAM49B
CLIP1	CFAP97	LRRC6
TET2	HIPK2	PHF20L1
SLC16A2	ANKRD12	TRAPPC9
PAX3	BIRC2	AGO2
ZNF395	FN1	SLC45A4
GNB1	SNTB1	PTP4A3
BMP3	UVRAG	TOMM70
INHBB	MYL12A	IMPG2
CECR2	NEDD4L	NFKBIZ
TRIO	RRP7A	CD47
TNFSF12-		
TNFSF13	PCDH10	HHLA2
RAB18	ZDHHC2	GUCA1C
FAM126A	PRCP	C3orf52
AIFM1	ELL2	QTRT2
SOS2	DUOXA1	ZNF80
SET	NECTIN1	TIGIT
ROCK1	SLC24A4	CD80
RASSF2	PPP3R2	FBXO40
CRTC1	MRGBP	ADCY5
DENND5B	SLC38A2	MYLK
NUDT3	TMEM33	ZNF148
USP37	NOTO	KLF15
CRIM1	C5orf15	C3orf22

FAM189A1	B4GALNT2	CHCHD6
ASAP2	CD1D	TPRA1
N4BP2L1	DTX4	ABTB1
C6orf201	SRSF10	KBTBD12
MICAL3	IGSF5	RUVBL1
CACNB2	C5AR1	RAB7A
IPO7	DDX17	ISY1-RAB43
PCYT1B	CPSF6	RAB43
MMP19	RGPD3	ISY1
SMCR8	RCAN3	EFCAB12
SAP30L	TRAM1	IFT122
RGPD6	GPBP1	RHO
ARAP2	BRWD3	PLXND1
UGCG	FBXL3	NUDT16
ATXN7L1	MAP4K2	ACAD11
RAB21	TRMT2B	TMEM108
PURA	ARIH1	CDV3
TM9SF4	WDR20	RYK
EEA1	STMP1	MSL2
GINS2	SELENOI	NME9
ZEB2	RINT1	MRAS
ERBB4	TECPR2	ESYT3
TSHZ2	CMBL	CEP70
CSMD3	PYROXD1	SPSB4
RNF216	EXOC2	RASA2
FLNB	FOXD4	TFDP2
GABARAPL1	CRB1	C3orf58
DCUN1D1	KCNA1	ZIC4
SH3BGRL2	VPS35	TM4SF18
UHMK1	FBXO40	TM4SF1
BAZ2A	MAPK4	WWTR1
GDPD5	CSN2	PFN2
RILPL1	MACC1	SERP1
RBPMS2	FMNL2	P2RY14
WNT8B	CCDC107	P2RY12
DDX49	MON2	KCNAB1
MIER3	SMAD2	SSR3
RBM20	GGT7	TIPARP
CD28	ARAP2	IFT80
ETS1	PAPLN	PLCD1
PRKD3	PHF20L1	DLEC1
ADAM19	ACVR1B	MYD88
GAREM	FOXD4L1	SLC22A13
GABBR2	ITLN2	CX3CR1
PLXNA2	CLCN5	MOBP
ZBTB6	GABRA4	RPL14
HEPHL1	B3GLCT	ZNF619
SLC8A3	MTDH	ZBTB47

USP31	SLC25A46	FAM240A
HCN1	SLC16A1	ALS2CL
PEAK1	NAA25	KLHL18
FAM47E	RPS10-NUDT3	MAP4
SIK2	KIAA0930	CDC25A
ZFHX4	PPP1R9A	ZNF589
DSCAM	KLHL15	NME6
DPYSL2	KANK2	SLC26A6
TMEM63B	KCNMA1	IP6K2
TLR4	CNOT6L	ARIH2OS
SENP1	KLHL28	DALRD3
NBEAL1	HHEX	IP6K1
PPIP5K2	CDC14B	GNAT1
LARP4	BCL10	SLC38A3
SLC12A6	GCC2	IFRD2
IVNS1ABP	SNRNP48	CYB561D2
ZBTB8A	SHTN1	MAPKAPK3
RASAL2	NUDT3	DOCK3
MAP3K5	LHFPL2	MANF
SKOR1	SLC35D1	PCBP4
DUT	NUDT21	GLYCTK
RBM23	NRARP	NISCH
PTPN3	PRLR	TKT
KCNA1	COX4I1	WNT5A
RGPD5	CCDC62	IL17RD
CRYBB3	CLASP2	DENND6A
SLC25A36	CLMN	SLMAP
CTNND1	IYD	PXK
EFNB3	C11orf58	FAM107A
USP13	PTGR2	FHIT
SP8	ADGRF1	C3orf14
GDNF	CABLES1	SNTN
OGT	SLTRK6	PRICKLE2
LRP2	ZDHHC9	SUCLG2
NCALD	SH2D4A	FAM19A1
PVRL1	SSBP3	EIF4E3
GPHN	SLC26A2	CGGBP1
ANTXR2	ABL2	ARL13B
NEDD4L	RAB11FIP1	SMYD4
PAOX	AQP4	MNT
UBTD2	LRP2	PAFAH1B1
FRS2	C2CD4A	OR3A1
TOMM40L	C12orf76	TRPV1
STX16	PBK	TAX1BP3
TMEM246	ETS1	EMC6
PAXBP1	LENG8	SCIMP
PDGFD	TBPL1	DERL2
UBTF	HIPK3	AIPL1

DAG1	CMTM8	PITPNM3
NUFIP2	ZNF705A	SLC13A5
PRDM1	ALDH5A1	RNASEK
TERF2	KRTAP5-8	ASGR2
FREM1	MMP19	DLG4
SUCO	XIRP1	DVL2
KLHL11	CLIP1	CLDN7
CYB561	DSEL	SLC2A4
NRIP3	PFN4	EIF5A
NDUFA4	RCN1	NEURL4
JHDM1D	CRYBG1	EIF4A1
WWC2	MCPH1	MPDU1
SFXN1	TBC1D22B	TP53
ADCYAP1	POGZ	CTC1
TSKU	TET2	GAS7
RSF1	MPEG1	PIRT
CAPRIN1	PDXK	ARHGAP44
CCDC120	PRPF38A	PMP22
ARHGEF12	ZFYVE26	TVP23C
CASP10	RPL7L1	ZSWIM7
MAATS1	ZNF329	TTC19
PARVA	ENKUR	TNFRSF13B
LEPREL1	FAM110C	PEMT
EXOC5	SORCS1	SREBF1
PPP4R1L	SUCO	TOM1L2
ARIH1	LARP4B	GID4
UGGT1	ZBTB2	MIEF2
PDE7B	SLC7A2	TOP3A
HOXC11	MTX3	PRPSAP2
QSER1	LAMTOR3	EPN2
TMEM255A	APAF1	B9D1
COL4A3	SEL1L3	ULK2
TYRO3	CCL28	KCNJ12
HIPK3	ACBD5	KSR1
SPTLC2	GALNT14	POLDIP2
KCNB1	GPR180	SARM1
UTY	MDFI	SLC46A1
EYA3	PLXDC2	UNC119
CFL2	CRISPLD2	RAB34
CPEB3	ZNF114	RPL23A
E2F3	MZT1	TRAF4
TCF4	GCLM	FLOT2
GK5	MYL12B	NUFIP2
AKIRIN2	PHLDB2	ANKRD13B
FGD6	CRLS1	SLC6A4
LRG1	MAPK9	TMIGD1
TBX15	RASSF5	RAB11FIP4
AMOTL2	ZNF516	RHBDL3

SP1	RBPMS	ZNF830
RHBDD1	YWHAG	MMP28
FRYL	SCLT1	RDM1
TENM2	FZD6	CCL3
NWD1	GPD2	LHX1
LANCL3	TNPO1	C17orf78
KCNN3	CELSR1	SYNRG
PDE7A	CCDC59	HNF1B
DNAL1	XIRP2	ADARB1
SRGAP3	EXOC5	PCBP3
POGK	SACM1L	C21orf58
EIF2AK2	EMILIN2	GAB4
CRK	SERINC4	ADA2
NTNG1	LRP6	BCL2L13
SLC38A2	TMEM135	DGCR6
IKZF3	FAM104A	PRODH
DIP2A	VMA21	CLTCL1
KIAA0319L	RNF216	CLDN5
ZRANB3	FER	GP1BB
AUTS2	AGMAT	ZDHHC8
IGF1R	PAXBP1	CCDC188
TLN2	ZNF426	LZTR1
MCF2L	EEA1	HIC2
RABL3	TMEM65	PPIL2
CTNNA2	ZNF436	YPEL1
KANK2	CCNT1	PPM1F
ATP1A2	FLT1	GNAZ
LENG8	FAAH2	SNRPD3
DNAJA3	LPIN2	SGSM1
ATAD2B	MAP3K11	HPS4
ELK3	MDM1	NIPSNAP1
TSPYPL4	PTPN3	ASCC2
CLCN3	U2AF2	LIF
EEF2K	GPATCH8	TBC1D10A
FN1	LRCH2	CCDC157
ZNF423	FRMD3	RNF215
NUCKS1	RUNX3	SEC14L2
PDE3A	STEAP2	MTFP1
EIF4E3	RGPD4	SEC14L3
HNRNPH2	DOK6	GAL3ST1
HIC2	TST	DRG1
MEIS1	MPLKIP	EIF4ENIF1
GIGYF1	IRAK2	PRR14L
ATXN7L3	AKR1D1	DEPDC5
ADRA2B	ELP1	SLC5A1
RORB	SMIM18	TOM1
ZBTB43	PLAGL1	RASD2
KIAA2022	UBE2G2	MB

CPEB4	MRC1	APOL6
RAG1	TARS2	APOL1
PRR14L	ZFP90	TXN2
CCDC176	GPR137C	NCF4
HDLBP	PIAS2	MFNG
SLC4A4	M1AP	TRIOBP
APH1B	GADL1	POLR2F
ACER2	DALRD3	MAFF
ASPHD2	UHRF1	TMEM184B
NRARP	EFNB3	DMC1
ARFGEF1	IGFBPL1	CBY1
RP11-192H23.4	NRCAM	CBX6
PLEKHM3	UBE2B	PDGFB
XYLT1	USP3	TAB1
CLMN	LYVE1	RPS19BP1
MSI2	DUSP15	GRAP2
TMEM167A	RNF24	ST13
SH3BP1	CAPRIN1	RANGAP1
ETS2	SYNE3	ZC3H7B
SUGT1	ZNF705E	POLR3H
NAA25	FAHD1	NFAM1
ZFYVE1	GPRC5A	POLDIP3
FYN	SMCR8	MCAT
PLXDC2	FOXE1	SCUBE1
TOMM40	GIT1	MPPED1
CCDC80	KAZALD1	PHF21B
KIAA1958	NCSTN	SMC1B
SNTB1	PPP6C	PRR34
GIT1	PPP2R3A	CDPF1
KIAA1586	KCNK10	PKDREJ
BSN	PHACTR4	GRAMD4
FER	SPAG17	TBC1D22A
ANKRD52	CDK15	SELENOO
RPS6KA3	CCDC39	NOC2L
ZFHX2	STIM2	PERM1
KDM6A	TBC1D2B	C1orf159
ZDHHC8	NUDT4	DVL1
PEG10	DNAJB11	MXRA8
ADAMTS2	IFI30	VWA1
LDB1	VPS54	HES5
POTEI	NUDT1	TNFRSF14
MAP3K3	SLC25A31	TPRG1L
METTL21B	P3H2	LRRC47
AQR	BAAT	CHD5
SPTY2D1	ZNF512B	ICMT
ASGR1	SLC16A2	GPR153
PANK3	ZNF711	PLEKHG5
MTDH	PIGF	NOL9

ZNRF2	AP3S1	TAS1R1
CLSTN2	SH3BGRL2	KLHL21
CPSF6	CDY1B	ERRFI1
FAHD2A	VEZF1	H6PD
EPC1	PDCD2	TMEM201
ZFYVE26	WWC2	CTNNBIP1
	FAM47E-	
NEGR1	STBD1	LZIC
ARHGAP26	TMEM246	RBP7
PSEN1	HIST2H2BF	DFFA
GSTO2	ANO6	FBXO44
PCYOX1	TGFBRAP1	DRAKIN
SMAD2	MS4A6A	MTHFR
PLXND1	CDY1	TNFRSF1B
SLC35E1	CNEP1R1	PRAMEF25
WDFY2	ZFYVE1	EPHA2
ZNF446	CD93	ALDH4A1
ACHE	ZIC2	IFFO2
OTUD7B	LSAMP	MINOS1-NBL1
IRS1	MDM2	NBL1
ASB14	PIKFYVE	HTR6
MED13	SMAD4	OTUD3
DDI2	RAB5C	PLA2G5
SIKE1	RNASE11	PLA2G2D
DUOXA1	SEM1	MUL1
SULF2	MMP16	FAM43B
KLHL6	CCER1	CDC42
ZNF512B	PDE4B	ZBTB40
CABP7	SLC5A12	EPHB2
CLEC16A	C4orf17	LUZP1
S1PR1	STXBP5L	HNRNPR
SLC25A11	ZKSCAN2	ELOA
MFSD6	COLQ	MYOM3
MAP2K6	EVI2A	RUNX3
ST3GAL6	FZD4	MACO1
ETNK1	NETO1	STMN1
ARHGAP32	FAM126A	PAFAH2
DNMT3A	SRGAP2B	SLC30A2
NAP1L1	MAK16	HMGN2
SLC8A1	DIRC1	RPS6KA1
DPH5	ZADH2	ZDHHC18
CREBRF	CHCHD3	NUDC
CALU	VLDLR	MAP3K6
SESN3	AKR1B1	CD164L2
PPL	SRPRB	WASF2
CDC73	RBM3	PPP1R8
PNPT1	UNG	THEMIS2
NGFRAP1	ORC4	EYA3

FANCA	FBXO34	PTAFR
CRNKL1	DCLRE1C	ATP5IF1
TLN1	TRIM44	RAB42
OCIAD2	IRAK1BP1	TAF12
ABI2	LYPD5	MECR
CREB5	DHTKD1	MATN1
USP38	ARHGAP5	LRRC55
LMNB2	CNTLN	SLC43A3
ORC4	APPBP2	TIMM10
PHB2	CNDP2	CNTF
PCDHB16	SERTM1	FAM111A
SRRD	MAPK8	DTX4
MARVELD2	NDUFC2	STX3
HMGB3	AR	MS4A6A
RAB3C	SLC35B3	MS4A7
VGLL4	RAD18	MS4A15
AKT3	CDCA3	MS4A10
PPP14	KCNN3	CCDC86
TSPAN14	PDGFD	VWCE
TRIM13	SUCLG1	CPSF7
ADNP	ANKFY1	SYT7
ERP44	LASP1	MYRF
ALDH6A1	ZFPM2	FADS1
STK25	ZDHHC15	INCENP
FUS	CDR1	GANAB
EIF3J	IPO7	UQCC3
RAPH1	ZFP36	LRRN4CL
NUDT21	RBM47	NXF1
EXT1	MED21	HRASLS5
PCDH9	SP3	PLA2G16
RPA1	SLN	RCOR2
DDX6	ADAM28	GPR137
AC004381.6	ZNF605	CDC42BPG
ZBTB20	GAS2	EHD1
C16orf72	CCDC28A	CDCA5
RGPD3	ATF6	ZFPL1
POTED	MPZL1	FRMD8
WDR73	ANTXR2	RELA
CADM1	HMGCLL1	AP5B1
RGPD4	PRKDC	OVOL1
CCR7	CWC22	CFL1
AGMO	NTRK2	EIF1AD
KCNH1	SLC4A5	BRMS1
RPL36A-		
HNRNPH2	ACTR2	SLC29A2
RGPD8	BBOF1	PELI3
TSC22D2	SLC35E1	RBM14
SFPQ	KDM6A	PC

LRRC40	SCN3A	POLD4
SMTNL2	SH2D5	PPP1CA
CA12	ZNF396	TMEM134
MFSD2A	SLC25A30	PITPNM1
TMEM33	TRAF6	NDUFV1
KCNC2	NFKBIZ	ALDH3B1
	ABCB10	PPP6R3
	IL33	TESMIN
		MRGPRF
		TPCN2
		ORAOV1
		IL18BP
		LRTOMT
		PHOX2A
		ARHGEF17
		RAB6A
		COA4
		PPME1
		LIPT2
		MAPK11
		ADM2
		MAPK8IP2
	LOC102724770	
	LOC102724788	
		CSF2RA
		XG
		NLGN4X
		STS
		TBL1X
		MID1
		HCCS
		MSL3
		TRAPPC2
		GPM6B
		GEMIN8
		GRPR
		SYAP1
		RS1
		SH3KBP1
		EIF1AX
		RPS6KA3
		CXorf21
		TAB3
		XK
		CXorf38
		NYX
		SLC9A7
		JADE3

ZNF41
ARAF
ELK1
ZNF182
HDAC6
SLC35A2
OTUD5
GPKOW
SYP
DGKK
SHROOM4
SMC1A
PHF8
WNK3
TSR2
GNL3L
FOXR2
KLF8
ZC4H2
ZC3H12B
EDA2R
OPHN1
EFNB1
EDA
OTUD6A
P2RY4
PDZD11
DLG3
FOXO4
NLGN3
NONO
DMRTC1B
DMRTC1
RLIM
POF1B
ARHGAP23
SRCIN1
CISD3
PIP4K2B
LASP1
PLXDC1
IKZF3
PSMD3
MSL1
RAPGEFL1
RARA
TNS4
CCR7

KRTAP4-4
JUP
TTC25
DNAJC7
ZNF385C
PSME3
G6PC
VAT1
BRCA1
ARL4D
DUSP3
CD300LG
TMEM101
HDAC5
ATXN7L3
ADAM11
EFTUD2
GFAP
C1QL1
DCAKD
CRHR1
WNT9B
GOSR2
ITGB3
LRRC46
NFE2L1
CBX1
HOXB3
HOXB4
IGF2BP1
GNGT2
PHB
SPOP
SLC35B1
SAMD14
TMEM92
CHAD
WF1KKN2
SPAG9
PCTP
MSI2
MRPS23
VEZF1
DYNLL2
RNF43
SKA2
PRR11
YPEL2

USP32
MRC2
MARCH10
TANC2
CYB561
KCNH6
DCAF7
STRADA
DDX42
PRR29
CNPPD1
ATG9A
STK16
DNPEP
CHPF
EPHA4
SGPP2
AP1S3
RHBDD1
AGFG1
PID1
SP140L
GPR55
SPATA3
B3GNT7
COPS7B
DIS3L2
EFHD1
SNORC
MLPH
LRRFIP1
UBE2F
SCLY
ESPNL
ERFE
HES6
HDAC4
GPC1
PASK
HDLBP
FARP2
STK25
ATG4B
ING5
OXTR
SRGAP3
MTMR14
OGG1

ARPC4
ARPC4-TTLL3
TTLL3
IL17RE
ATP2B2
SLC6A11
SLC6A1
VGLL4
SYN2
PPARG
RAF1
RPL32
IQSEC1
HDAC11
TMEM43
LSM3
GRIP2
C3orf20
CAPN7
BTD
ANKRD28
OXNAD1
PLCL2
NEK10
TGFBR2
GPD1L
SUSD5
STAC
TRANK1
LCE3D
S100A8
S100A3
CHTOP
GATAD2B
TPM3
AQP10
IL6R
ADAR
PYGO2
SHC1
SLC50A1
MUC1
GBA
SCAMP3
ASH1L
KHDC4
SLC25A44
TMEM79

VHLL
MEF2D
NAXE
HDGF
FCRL2
FCRL1
TAGLN2
ATP1A2
PEX19
CD84
SLAMF1
CD244
F11R
USF1
SDHC
CFAP126
FCRLB
ATF6
RGS4
RGS5
PBX1
LMX1A
FAM78B
POGK
ILDR2
POU2F1
GPR161
BLZF1
FASLG
TNFSF18
TNFSF4
KLHL20
TNN
KIAA0040
ADAL
SERF2
MFAP1
WDR76
FRMD5
B2M
SORD
SHF
DTWD1
TRPM7
TMOD3
ARPP19
FAM214A
ONECUT1

WDR72
RAB27A
PIGBOS1
CCPG1
PYGO1
ZNF280D
TCF12
MYZAP
MYO1E
RORA
TPM1
CA12
HACD3
INTS14
SMAD3
SKOR1
CALML4
UACA
CT62
NR2E3
MYO9A
GRAMD2A
PKM
HEXA
CD276
C15orf59
STRA6
SEMA7A
CLK3
CSK
FAM219B
TBC1D2B
IL16
C15orf40
BNC1
WDR73
SEC11A
AKAP13
MRPS11
HAPLN3
C15orf38-AP3S2
NGRN
FURIN
ST8SIA2
FAM174B
CHD2
MCTP2
NR2F2

SYNM
LRRC28
MEF2A
CYP2A13
AXL
CEACAM5
CEACAM3
POU2F2
DEDD2
ZNF526
PSG11
CD177
IRGQ
ZNF576
ZNF428
MARK4
CD3EAP
ERCC1
FOSB
FBXO46
MYPOP
NANOS2
HIF3A
PNMA8A
PRKD2
SLC1A5
MEIS3
SLC8A2
EHD2
KDELR1
CYTH2
FUT2
KCNA7
SLC6A16
CD37
TEAD2
PRMT1
PTOV1
KCNC3
KLK3
LIM2
C19orf84
ZNF841
PPP2R1A
ZNF766
ZNF528
ZNF534
ZNF578

ZNF701
ZNF611
ZNF468
ZNF665
ZNF331
CACNG6
OSCAR
TSEN34
RPS9
LAIR1
LILRA1
ACTR2
WDR92
PLEK
AAK1
PCYOX1
ANKRD53
CYP26B1
EXOC6B
SPR
EMX1
DOK1
SEMA4F
TACR1
LRRTM4
CTNNA2
KCMF1
MAT2A
TMEM150A
ST3GAL5
PTCD3
REEP1
CD8A
ZNF514
PROM2
ADRA2B
TMEM127
NCAPH
NEURL3
ARID5A
CNNM4
MGAT4A
MRPL30
LONRF2
CHST10
CREG2
MFSD9
GCC2

LIMS1
ANAPC1
TMEM87B
FBLN7
RGPD8
IL36RN
IL1F10
PSD4
RABL2A
ACTR3
TMEM185B
GYPC
CYP27C1
MAP3K2
AMMECR1L
SMPD4
FAM168B
ZRANB3
THSD7B
GTDC1
LIPG
ME2
SMAD4
DCC
RAB27B
CCDC68
TCF4
NEDD4L
PIGN
SERPINB12
CD226
CNDP2
ZNF516
MBP
NFATC1
RBFA
SHC2
HCN2
RNF126
KISS1R
CNN2
POLR2E
ATP5F1D
NDUFS7
APC2
C19orf25
MBD3
TCF3

SCAMP4
CSNK1G2
MKNK2
AP3D1
DOT1L
PLEKHJ1
SPPL2B
GNG7
DIRAS1
NFIC
FZR1
MFSD12
HMG20B
CACTIN
PIP5K1C
ZFR2
SIRT6
TMIGD2
FSD1
PLIN5
PLIN3
FUT3
FUT5
CAPS
RANBP3
VAV1
CD209
CERS4
ADAMTS10
ACTL9
ZNF562
CDC37
KEAP1
C19orf38
DOCK6
TSPAN16
ELOF1
ZNF491
ZNF439
KIR2DS4
NCR1
RDH13
TMEM86B
KMT5C
COX6B2
RPL28
NLRP13
ZFP28

PEG3
ZNF805
ZNF772
ZIK1
ZNF776
ZNF814
A1BG
ZBTB45
DEFB132
SOX12
RBCK1
TBC1D20
CSNK2A1
TCF15
FKBP1A
SIRPB1
SIRPG
SIRPA
STK35
ZNF343
NOP56
EBF4
PCED1A
C20orf194
ATRN
C20orf27
SPEF1
PANK2
SLC23A2
TMEM230
SLX4IP
JAG1
RRBP1
SNX5
MGME1
POLR3F
GZF1
GINS1
ID1
DUSP15
XKR7
CCM2L
ASXL1
EIF2S2
ITCH
PROCR
CNBD2
DLGAP4

TGIF2
DSN1
SRC
RPRD1B
KIAA1755
SLC32A1
PPP1R16B
SGK2
KCNMA1
RPS24
SFTPA1
TMEM254
DYDC1
TSPAN14
NRG3
RGR
LDB3
ATAD1
ANKRD22
IFIT1
SLC16A12
PANK1
HECTD2
SORBS1
CC2D2B
ARHGAP19
MORN4
MARVELD1
HPS1
HPSE2
NKX2-3
COX15
ERLIN1
BLOC1S2
WNT8B
SEMA4G
SFXN3
NPM3
ITPRIP
CFAP58
MXI1
BBIP1
VTI1A
CCDC186
SHTN1
VAX1
SFXN4
RGS10

TIAL1
PLPP4
ACADSB
GPR26
FANK1
C10orf90
TUBGCP2
FUOM
BET1L
SIRT3
SIGIRR
DEAF1
TMEM80
GATD1
SLC25A22
PANO1
KIF2A
TRAPPC13
ERBIN
CD180
PIK3R1
SERF1A
SMN1
MRPS27
TNPO1
FAM169A
AGGF1
ARSB
MTX3
SSBP2
ATG10
RPS23
TMEM161B
MBLAC2
POU5F2
SLCO6A1
NUDT12
FER
TSLP
REEP5
MCC
ARL14EPL
DTWD2
SRFBP1
ZNF474
ALDH7A1
C5orf63
LYRM7

ZCCHC10
FSTL4
C5orf15
JADE2
SAR1B
TIFAB
KLHL3
CTNNA1
NRG2
PFDN1
ANKHD1-EIF4EBP3
EIF4EBP3
APBB3
ZMAT2
CACNA1C
FKBP4
NRIP2
TSPAN9
FGF23
IFFO1
LPAR5
PIANP
COPS7A
GPR162
USP5
LPCAT3
C1RL
SLC2A3
C3AR1
PHC1
CLEC1A
OLR1
GABARAPL1
MAGOHB
SMIM10L1
GSG1
ATF7IP
PTPRO
RERGL
SLCO1B3
SLCO1A2
ST8SIA1
KRAS
IPO8
TSPAN11
DENND5B
DNM1L
CNTN1

GXYLT1
ANO6
SLC38A2
AMIGO2
RAPGEF3
VDR
CCDC184
C12orf54
ARF3
WNT10B
DDN
DHH
LMBR1L
AQP2
CERS5
CSRNP2
DAZAP2
RASAL2
ABL2
SOAT1
FAM163A
CACNA1E
RGS8
ARPC5
COLGALT2
OCLM
CFHR3
ZBTB41
TNNT2
TNNI1
PHLDA3
CSRP1
NAV1
ELF3
GPR37L1
PTPN7
PPFIA4
ADORA1
FMOD
SNRPE
REN
GOLT1A
PLEKHA6
MDM4
NFASC
CNTN2
KLHDC8A
RAB29

RASSF5
EIF2D
IL10
YOD1
PFKFB2
CD34
PLXNA2
C1orf74
IRF6
SYT14
KCNH1
TRAF5
RD3
NENF
NSL1
GPATCH2
SPATA17
DUSP10
TAF1A
BROX
TMEM63A
MIXL1
COQ8A
JMJD4
WNT9A
RNF187
C1orf198
TRIM67
TOMM20
GNG4
TDRD3
KLF12
KCTD12
NDFIP2
GPR180
SOX21
DOCK9
EFNB2
ARGLU1
MYO16
IRS2
ATP11A
ADPRHL1
TMCO3
NDRG2
ZNF219
HNRNPC
TOX4

MMP14
AJUBA
PSMB5
PSMB11
ACIN1
SLC7A8
SLC22A17
IL25
CMTM5
DHRS4L2
CPNE6
NRL
STXBP6
G2E3
SPTSSA
SNX6
NKX2-1
NKX2-8
PAX9
MIPOL1
L2HGDH
GNG2
GPR137C
GNPNAT1
DDHD1
SAMD4A
GCH1
WDHD1
SOCS4
MAPK1IP1L
ATG14
CCDC198
KCNH5
RHOJ
PPP2R5E
PIGK
NEXN
CTBS
MCOLN3
C1orf52
SELENOF
RBML1
GBP2
GBP4
GFI1
GCLM
F3
SASS6

VCAM1
SLC30A7
S1PR1
OLFM3
NTNG1
VAV3
FAM102B
FNDC7
CYB561D1
GPR61
GNAI3
SLC6A17
KCNA2
WDR77
KCND3
CTTNBP2NL
LRIG2
RSBN1
TSHB
ATP1A1
VTCN1
FAM46C
GDAP2
ZNF697
REG4
LOC101929796
FAM72B
SRGAP2C
SRGAP2B
NBPF20
ITGA10
TXNIP
GJA5
NBPF11
PDE4DIP
NBPF9
MRPS21
TNFAIP8L2
PIP5K1A
POGZ
TUFT1
CELF3
PRKCA
CACNG4
C17orf58
CD300A
SLC9A3R1
TMEM104

FDXR
USH1G
HID1
KCTD2
ARMC7
MIF4GD
GRB2
UNC13D
WBP2
TRIM65
FBF1
TEN1
SRP68
EXOC7
UBALD2
CYGB
SEPT9
SYNGR2
AFMID
TMEM235
GAA
ENDOV
NPLOC4
PDE6G
MCRIP1
PCYT2
MAFG
PYCR1
DUS1L
CCDC57
TEX19
C17orf62
USP14
SMCHD1
EMILIN2
MYL12B
DLGAP1
ZBTB14
ARHGAP28
RAB12
LDLRAD4
FAM210A
SNRPD1
HRH4
DSC3
ZSCAN30
KIAA1328
CELF4

SLC14A2
SLC14A1
RNF165
ELOA2
SMAD2
C18orf32
STXBP5
ARMT1
OPRM1
GTF2H5
TMEM181
SOD2
IGF2R
SLC22A3
AGPAT4
FAM120B
TBP
MAFK
ELFN1
MRM2
SNX8
MMD2
RNF216
USP42
DAGLB
KDELR2
HDAC9
TWISTNB
NPVF
HOXA1
MTURN
NOD1
GGCT
CRHR2
AVL9
NT5C3A
RP9
ELMO1
SFRP4
GLI3
C7orf25
COA1
YKT6
CAMK2B
NUDCD3
ZMIZ2
IGFBP3
IKZF1

FIGNL1
GRB10
EFCAB2
ZNF695
OR2C3
GCSAML
OR2T10
FAM231C
COLEC11
RNF144A
MBOAT2
ADAM17
RRM2
TRIB2
SDC1
PUM2
KLHL29
ATAD2B
DNMT3A
ASXL2
C2orf70
CENPA
MAPRE3
TMEM214
KHK
CGREF1
ABHD1
PREB
SLC5A6
GALNT14
MEMO1
SPAST
EIF2AK2
CYP1B1
ATL2
KCNG3
THADA
PREPL
MCFD2
PPP4R3B
FANCL
PAPOLG
REL
SERTAD2
RAB1A
NSMF
ZMYND19
ARRDC1

LARP4B
IDI2
AKR1E2
AKR1C1
SFMBT2
DHTKD1
CAMK1D
CCDC3
MCM10
FRMD4A
FAM107B
HSPA14
SUV39H2
NMT2
RSU1
NEBL
ARMC3
MSRB2
C10orf67
ARHGAP21
WAC
CREM
CCNY
GJD4
ZNF37A
C10orf142
TMEM72
NPY4R
GPRIN2
PTPN20
ANXA8
FAM13C
CCDC6
ARID5B
ADO
EGR2
DNAJC12
AIFM2
SAR1A
VSIR
CHST3
SPOCK2
DDIT4
DNAJB12
PPP3CB
DUSP13
SAMD8
COMTD1

SERINC3
RIMS4
SDC4
SNX21
PLTP
SLC12A5
CDH22
EYA2
PREX1
B4GALT5
SLC9A8
UBE2V1
SALL4
CDH26
CDH4
GATA5
CHRNA4
GMEB2
ARFRP1
SLC2A4RG
ZNF512B
SOX18
LOC102723996
GATD3B
LOC102724200
SAMSN1
C21orf91
JAM2
GRIK1
C21orf62
MRPS6
RCAN1
RUNX1
CLDN14
BRWD1
B3GALT5
MX1
PRDM15
C2CD2
TFF3
RRP1B
PDXK
LOC105372824
AGPAT3
C21orf33
C21orf2
SUMO3
PTTG1IP

RBM47
APBB2
LIMCH1
DCAF4L1
BEND4
ATP8A1
ATP10D
NIPAL1
SGCB
USP46
CLOCK
CEP135
AASDH
UGT2B4
GRSF1
MOB1B
RASSF6
CXCL3
EPGN
EREG
RCHY1
CDKL2
G3BP2
NAAA
SDAD1
CXCL11
FGF5
HNRNPDL
TMEM150C
LIN54
PLAC8
HPSE
MAPK10
BMPR1B
TSPAN5
ADH1B
MTTP
EMCN
CISD2
BDH2
PPA2
SGMS2
CYP2U1
RPL34
OSTC
CASP6
PRSS12
SYNPO2

QRFPR
TMEM155
IL21
BBS12
TPBGL
UVRAG
B3GNT6
PAK1
NDUFC2
TENM4
RAB30
FZD4
TMEM135
PANX1
AMOTL1
SESN3
MAML2
YAP1
BIRC3
KBTBD3
C11orf87
ZC3H12C
ARHGAP20
SIK2
ALG9
DLAT
NKAPD1
NCAM1
TMPRSS5
ZBTB16
RBM7
NXPE1
CADM1
PCSK7
BACE1
CEP164
FXYD6
TMPRSS13
SCN2B
CD3G
BCL9L
C2CD2L
HINFP
ABCG4
THY1
NECTIN1
SC5D
UBASH3B

GRAMD1B
ZNF202
VWA5A
HEPACAM
PATE4
FOXRED1
TIRAP
ETS1
FLI1
KCNJ1
C11orf45
ZBTB44
NTM
OPCML
IGSF9B
VPS26B
ACAD8
CCDC77
NINJ2
RAD52
RNF182
ATXN1
STMND1
KIF13A
TPMT
ID4
GPLD1
ALDH5A1
KIAA0319
RIPOR2
BTN3A2
ZNF322
ZNF391
ZSCAN31
GPX5
MOG
TRIM31
ATAT1
IER3
GTF2H4
DPCR1
CDSN
CCHCR1
LTA
LY6G6C
AGPAT1
PBX2
C6orf10

HLA-DOA
SYNGAP1
MLN
HMGA1
SMIM29
C6orf106
SCUBE3
ZNF76
PPARD
FKBP5
MAPK14
MAPK13
PNPLA1
ETV7
KCTD20
TMEM217
TBC1D22B
MDGA1
GLO1
GLP1R
KIF6
DAAM2
MOCS1
MED20
CCND3
GUCA1A
GUCA1B
MRPS10
UBR2
RPL7L1
PPP2R5D
TTBK1
TJAP1
ERCC6L2
CDC14B
ZNF510
CORO2A
TGFBR1
MSANTD3
TMEM246
PPP3R2
CYLC2
TAL2
RAD23B
FAM206A
PTPN3
SUSD1
PTBP3

SLC31A2
WDR31
POLE3
ZNF618
ATP6V1G1
TNFSF15
TNFSF8
FBXW2
PHF19
TRAF1
STOM
LHX6
PDCL
SCAI
HSPA5
GAPVD1
MVB12B
RALGPS1
SLC2A8
TOR2A
CDK9
FPGS
AK1
DPM2
FAM102A
SLC25A25
URM1
SET
ZER1
SPOUT1
SH3GLB2
DOLPP1
PTPA
NTMT1
PTGES
TOR1A
GPR107
FAM78A
PLPP7
PRRC2B
RAPGEF1
MED27
SETX
GTF3C4
TSC1
MED22
SURF4
CACFD1

SLC2A6
FAM163B
WDR5
LOC102723971
TMEM250
LHX3
GPSM1
EGFL7
AGPAT2
RABL6
EDF1
UAP1L1
MAN1B1
NDOR1
STPG3
TOR4A
SDC3
PTP4A2
TXLNA
CCDC28B
DCDC2B
TMEM234
LCK
ZBTB8OS
FNDC5
AK2
SMIM12
TFAP2E
PSMB2
CLSPN
AGO4
AGO1
OSCP1
MEAF6
RSPO1
C1orf109
MTF1
AKIRIN1
BMP8A
HEYL
PPIE
MYCL
NFYC
SCMH1
EDN2
CCDC30
YBX1
CLDN19

MED8
B4GALT2
RNF220
IPP
PIK3R3
DMBX1
KNCN
CYP4A11
CYP4X1
CYP4A22
ELAVL4
DMRTA2
RAB3B
KT12
PRPF38A
ZYG11B
LRP8
LDLRAD1
ACOT11
LEXM
MYSM1
JUN
L1TD1
AK4
DNAJC6
MIER1
IL23R
PTGER3
ZNF69
ZNF490
DAND5
NACC1
IER2
PODNL1
C19orf67
GIPC1
CLEC17A
ZNF333
SLC1A6
AKAP8
WIZ
HSH2D
CHERP
SLC35E1
SIN3B
MYO9B
BABAM1
MRPL34

GTPBP3
BST2
TMEM221
COLGALT1
UNC13A
PDE4C
IQCN
JUND
ISYNA1
ELL
KXD1
REX1BD
CERS1
HOMER3
SLC25A42
TMEM161A
RFXANK
MAU2
LPAR2
ZNF430
ZNF708
ZNF493
ZNF208
ZNF730
C19orf12
PDCD5
LRP3
KCTD15
GPI
ZNF302
GRAMD1A
SCN1B
FXYD3
FFAR2
SBSN
HAUS5
SDHAF1
ALKBH6
ZNF829
ZFP30
DPF1
ACTN4
TIMM50
DLL3
SELENOV
DYRK1B
MAP3K10
AKT2

C19orf47
PLD3
PRX
NUMBL
C19orf54
EGLN2
EPC2
LYPD6
KCNJ3
NR4A2
ERMN
CYTIP
ACVR1C
ACVR1
UPP2
CD302
LY75
CSRNP3
PPIG
GAD1
DLX1
DLX2
MAP3K20
WIPF1
CHN1
HOXD8
HOXD4
AGPS
PDE11A
UBE2E3
DNAJC10
TFPI
NEMP2
NABP1
PLCL1
TYW5
CFLAR
STRADB
SUMO1
CTLA4
INO80D
FAM237A
CREB1
FZD5
C2orf80
IKZF2
BARD1
TNS1

SLC11A1
PRKAG3
TSPAN4
TOLLIP
IGF2
TSPAN32
CDKN1C
MRGPRE
NUP98
ARFIP2
TRIM66
RPL27A
AKIP1
MICAL2
MICALCL
CALCA
C11orf58
NCR3LG1
KCNC1
ARL14EP
MPPED2
RCN1
LMO2
EHF
COMMD9
PRR5L
TRAF6
HSD17B12
SLC35C1
CRY2
MAPK8IP1
PHF21A
DGKZ
MDK
AMBRA1
PACSIN3
MYBPC3
CELF1
FNBP4
PTPRJ
PHKG2
CCDC189
RNF40
FBXL19
HSD3B7
STX1B
FUS
C16orf58

LOC107983990
TP53TG3
TP53TG3C
TP53TG3B
ORC6
C16orf87
SIAH1
CBLN1
CNEP1R1
SNX20
CYLD
RPGRIP1L
FTO
SLC6A2
SLC12A3
NLRC5
ARL2BP
CX3CL1
ADGRG1
ADGRG3
CNGB1
ZNF319
MMP15
CCDC113
GINS3
NDRG4
SETD6
CDH5
TK2
CMTM3
CMTM4
CES4A
SLC9A5
GFOD2
SLC12A4
PLA2G15
CHTF8
VPS4A
PDF
NIP7
IL34
MTSS1L
AP1G1
ATXN1L
RFWD3
BCAR1
CDYL2
CMIP

SDR42E1
HSD17B2
MPHOSPH6
HSDL1
CRISPLD2
ZDHHC7
KIAA0513
GINS2
EMC8
MTHFSD
IL17C
SNAI3
RNF166
TRAPPC2L
PABPN1L
ACSF3
CPNE7
SPATA2L
VPS9D1
ZNF276
DEF8
DBNDD1
RPH3AL
NXN
ABR
TUSC5
SLC43A2
SCARF1
LRRC73
MRPS18A
C6orf223
SLC29A1
RUNX2
CYP39A1
ADGRF1
ADGRF2
CRISP3
GSTA4
GCM1
FAM83B
LGSN
PTP4A1
KHDC1
DPPA5
TMEM30A
IRAK1BP1
PHIP
HMGN3

GJB7
FUT9
FAXC
GRIK2
BVES
QRSL1
SCML4
AFG1L
FOXO3
ZBTB24
AK9
CDK19
TRAF3IP2
NT5DC1
CEP85L
MCM9
TBC1D32
NCOA7
RSPO3
L3MBTL3
CTAGE9
CTGF
BCLAF1
IL22RA2
TNFAIP3
PERP
ADAT2
PHACTR2
SMO
STRIP2
ZC3HC1
CYREN
LUC7L2
C7orf55-LUC7L2
CLEC2L
KDM7A
MKRN1
TMEM178B
CLEC5A
TCAF1
CNTNAP2
ZNF398
GIMAP1
NUB1
EN2
NOM1
MNX1
DNAJB6

PTPRN2
VIPR2
PRAG1
MTMR9
FAM167A
GATA4
CTSB
TRMT9B
MSR1
CNOT7
PCM1
PSD3
LPL
LZTS1
LGI3
SFTPC
POLR3D
BIN3
EGR3
TNFRSF10B
STC1
ADAM7
NEFL
CHRNA2
SCARA3
CCDC25
SCARA5
FZD3
DUSP4
LEPROTL1
RPL22L1
NLGN1
ZMAT3
ZNF639
USP13
PEX5L
DCUN1D1
LAMP3
KLHL24
ABCC5
ALG3
FAM131A
EPHB3
LIPH
SENP2
IGF2BP2
TRA2B
ETV5

DGKG
ST6GAL1
RTP1
LPP
CLDN1
IL1RAP
XXYLT1
PPP1R2
RNF168
SMCO1
FBXO45
CEP19
PIGX
SENP5
BDH1
RUBCN
LMLN
PDE6B
TMEM175
FGFRL1
NSD2
NAT8L
SH3BP2
NOP14
HTT
MSANTD1
DOK7
ADRA2C
STK32B
S100P
SORCS2
PSAPL1
DRD5
PROM1
TAPT1
LDB2
PPARGC1A
TBC1D1
TLR6
TMEM156
LYSMD4
CERS3
ALDH1A3
SELENOS
TM2D3
RAB40C
MCRIP2
METRN

HAGHL
SSTR5
TPSAB1
UBE2I
TMEM204
JPT2
SPSB3
GFER
SYNGR3
ZNF598
RNPS1
TEDC2
ELOB
TNFRSF12A
IL32
NAA60
CLUAP1
TFAP4
HMOX2
CDIP1
MGRN1
NUDT16L1
EEF2KMT
RBFOX1
ABAT
CARHSP1
EMP2
TVP23A
SOCS1
LITAF
PARN
PDXDC1
THUMPD1
DCUN1D3
KDM8
XPO6
SULT1A2
LAT
PRRT2
PAGR1
CDIPT
C16orf92
ITGAL
SEPT14
MRPS17
SUMF2
ZNF716
ZNF727

ZNF736
ZNF680
ERV3-1
ASL
TPST1
FZD9
TBL2
ABHD11
EIF4H
GTF2IRD2
CCL24
MDH2
SRRM3
DTX2
CD36
HGF
CACNA2D1
SEMA3E
KIAA1324L
ADAM22
KRIT1
GATAD1
ERVW-1
CDK6
SAMD9
PPP1R9A
BAIAP2L1
TMEM130
ZKSCAN1
ZNF3
CASTOR3
AGFG2
FBXO24
MUC12
MUC17
TRIM56
NAT16
CLDN15
IFT22
PRKRIP1
ORAI2
RASA4
FBXL13
ATXN7L1
NAMPT
DLD
LSMEM1
TMEM168

GPR85
WNT2
CADPS2
NDUFA5
GCC1
ARF5
LRRC4
METTL2B
FAM71F1
PCDH11X
PCDH19
CENPI
BTK
SLC25A53
RBM41
PRPS1
TSC22D3
TMEM164
PAK3
LHFPL1
AMOT
SOWAHD
ATP1B4
LAMP2
MCTS1
TEX13C
APLN
ZNF280C
ENOX2
MBNL3
INTS6L
SLC9A6
CDR1
SLITRK4
AFF2
CD99L2
HMGB3
FATE1
MAGEA3
PNMA5
SLC6A8
L1CAM
AVPR2
HCFC1
TEX28
EMD
RPL10
DNASE1L1

TAZ
GDI1
G6PD
MTCP1
TMLHE
PCDH11Y
DAZ1
DAZ2
DAZ3
DAZ4
JADE1
PCDH10
MGST2
IL15
GYPA
OTUD4
NR3C2
SH3D19
TMEM154
FHDC1
PLRG1
LRAT
NAF1
MARCH1
CEP44
GPM6A
F11
PDCD6
SLC6A19
MRPL36
NDUFS6
UBE2QL1
CCT5
DAP
FBXL7
BASP1
CDH6
MTMR12
SUB1
DNAJC21
CAPSL
RANBP3L
LIFR
PLCXD3
C5orf51
FBXO4
GHR
HMGCS1

HCN1
ISL1
ARL15
SNX18
ESM1
GPX8
MCIDAS
MIER3
RAB15
TMEM229B
RDH12
EXD2
SUSD6
SMOC1
SLC8A3
SYNJ2BP-COX16
SYNJ2BP
MED6
MAP3K9
RGS6
DCAF4
PSEN1
ENTPD5
ALDH6A1
AREL1
FCF1
DLST
ZC2HC1C
FLVCR2
TGFB3
ANGEL1
ISM2
SPTLC2
ALKBH1
DIO2
FLRT2
GALC
FOXN3
EFCAB11
PPP4R3A
SLC24A4
LGMN
BTBD7
ASB2
IFI27L1
SERPINA10
SERPINA4
CLMN

PAPOLA
CCDC85C
HHIPL1
SLC25A29
DIO3
WDR20
TECPR2
ANKRD9
CDC42BPB
TNFAIP2
BAG5
APOPT1
KLC1
ZFYVE21
C14orf180
INF2
ZBTB42
PACS2
TEX22
MTMR10
OTUD7A
GREM1
ACTC1
C15orf41
MEIS2
C15orf53
BMF
INAFM2
RPUSD2
RHOV
DLL4
CHAC1
CHP1
LTK
HAUS2
LYNX1
CYP11B1
CYP11B2
GPIHBP1
RHPN1
ZNF707
SHARPIN
HSF1
CYHR1
ARHGAP39
C8orf33
DMRT2
RFX3

AK3
RANBP6
UHRF2
DMAC1
NFIB
MLLT3
IFT74
LINGO2
B4GALT1
AQP3
UBAP2
DCAF12
KIF24
FAM219A
DCTN3
CCL19
PHF24
VCP
ARHGEF39
TMEM8B
GNE
EXOSC3
DCAF10
ANKRD20A3
ANKRD20A1
FXN
FAM189A2
ZFAND5
NTRK2
NAA35
SPIN1
C9orf47
DIRAS2
ASPN
PHF2
PTPDC1
NUTM2F
FANCC
PSMF1
ITPK1
C2orf54
ZEB2
PPP1R12A
NDST1
PCGF2
FCGR3B
CADM4
CUL2

GABRA2
PTRH1
MARCKSL1
ABCC11
CYP3A7
ARHGEF6
RBMS2
NEDD9
ACAD10
QRICH1
LMOD3
TAOK1
GUCD1
RASL10A
SSTR3
KIAA0930
STPG1
PLXNB2
GRIPAP1
FAM104B
TSEN2
OPA3
TMEM160
C2CD4C
TNNT1
INPP5A
YAF2
TMEM9
BORA
DCUN1D2
RBM23
P4HB
EZR
BRAT1
NUDT5
ENKUR
NFATC2
LAMTOR3
NR5A1
INPP5E
GRIK3
TRIT1
IL12RB1
PGAP1
CD81
SYT13
RAB23
ADAM28

ADD1
RPUSD1
ZNF500
KIAA0556
TECPR1
SETD9
UBR1
NFE2
PROP1
RITA1
TRPV3
DERL3
KANSL1
WDFY1
BLOC1S6
DPP8
CCDC33
CNTNAP5
MGAT5
EPS8L1
ZHX3
CNIH3
IBA57
POU5F1
KCNJ11
TCP11L1
ALX4
FBXO9
GLRB
CCL28
EIF5
CCDC9B
SCN8A
FIGNL2
MIP
MDM1
SAP30L
RILPL1
ULK1
SIAH3
ASPH
TRIB1
DTX3L
WDR82
KBTBD8
ANKFY1
RANGRF
BAIAP2L2

GLYATL1
NPAS4
GK
CXorf36
PRAF2
RAMP2
GPATCH8
ANKRD40
TRIM25
ZNF609
ZNF592
HDDC3
CARD8
CACNG8
MAP4K4
CKAP2L
CLASP1
GPR17
GPR39
S1PR2
RAVER1
ACP5
FAM110A
NAPB
IFIT2
ZRANB1
SCT
MZB1
HDAC7
TROVE2
ARL8A
PPP1R12B
CLYBL
ABCA5
PRKCE
BCL11A
ZMYND11
PRTFDC1
A1CF
ZWINT
AURKA
CABLES2
KCNE1
GUF1
DNAJB14
SLC39A8
TMPRSS4
TMEM136

RNF144B
CDKN1A
BSPRY
NR6A1
EXOSC2
TRAPPC3
RIMKLA
PTCH2
SERBP1
KLF2
ZNF146
SERTAD3
DHR9
PLEKHA7
ACP2
VGLL2
EPB41L2
TBPL1
FMC1
CLN8
NEIL2
ABCF3
TMEM128
RTL4
MAGEA2
RWDD4
C5orf38
CMBL
UGT3A1
GALNT16
TCL1A
SMU1
POLR2M
CPXM1
PITX3
AFF4
ASXL3
EIF4B
SRGAP1
FAM222A
MTSS1
CTNNB1
ABHD5
ARHGEF3
RPP14
SPDYE4
ELAC2
RASD1

CLCN6
EIF4G3
MPP2
ZNF652
FGF7
FAM136A
PMAIP1
TBXA2R
ZCCHC24
KCNN2
ESR2
ZNHIT6
AATK
OGFOD3
WDR35
C2orf71
KLF6
UNC5B
RASGEF1B
DLG2
OLFML2A
FAM129B
EPHX3
CEBPA
SESTD1
FZD7
IGFBP5
CDH11
E2F4
MRPL14
SLC2A12
FAM200B
C4orf19
CYP51A1
UBL4A
OTULIN
NADK2
ZDHHC22
RAD51
GDF11
MRPL42
PCDHB13
GCNA
SERPINB10
POLR3GL
ATP6V1G2
USP49
GNG12

POMT2
TMEM210
PAX7
CHCHD5
SNU13
SMAGP
GALNT6
KRT80
KRT84
KRT71
SOAT2
SP7
SP1
CBX5
PDE1B
NEUROD4
ORMDL2
RNF41
ANKRD52
CS
ZBTB39
NAB2
INHBC
PIP4K2C
ARHGEF25
FAM19A2
PPM1H
HMGA2
IRAK3
CAND1
CPM
FRS2
CNOT2
SYT1
CCDC59
MGAT4C
POC1B-GALNT4
ATP2B1
BTG1
CLLU1OS
TMCC3
USP44
ELK3
TMPO
PARPBP
ASCL1
NT5DC3
HSP90B1

TXNRD1
BTBD11
PCDH1
KIAA0141
RNF14
NR3C1
KCTD16
POU4F3
STK32A
SCGB3A2
ARHGEF37
PPARGC1B
SLC36A1
GALNT10
CNOT8
SGCD
FNDC9
FAM196B
LCP2
KCNMB1
NSG2
ZNF346
GRK6
TMED9
ZNF354C
MAML1
MAPK9
FLT4
BTNL9
TRIM52
MYLK4
NQO2
SLC22A23
PRPF4B
C6orf201
LYRM4
SSR1
SNRNP48
GCNT2
SMIM13
TBC1D7-
LOC100130357
SELPLG
SVOP
USP30
FAM109A
CFAP73
TPCN1

SLC8B1
SDS
HRK
KSR2
MORN3
B3GNT4
VPS33A
CLIP1
HCAR2
VPS37B
C12orf65
ZNF664-RFLNA
RFLNA
MPHOSPH8
MRPL57
ZDHHC20
FGF9
ATP8A2
WASF3
GPR12
USP12
FLT1
PDS5B
SERTM1
FREM2
KBTBD7
SMIM2
TSC22D1
SPRYD7
DLEU7
CKAP2
BRF2
ADRB3
PLPP5
LETM2
TACC1
HTRA4
ADAM2
TCIM
PPDPFL
MRPL15
IMPAD1
TOX
CYP7B1
PPP1R42
CSPP1
JPH1
PEX2

HEY1
ZNF704
RALYL
DCAF4L2
TRIQK
CCNE2
GDF6
BAALC
EMC2
NUCD1
UTP23
AARD
FAM83A
FAM84B
HHLA1
SLA
ST3GAL1
DENND3
TSNARE1
JRK
LY6K
BBX
CD200
NAA50
LSAMP
IGSF11
B4GALT4
MAATS1
NDUFB4
RABL3
STXBP5L
EAF2
ILDR1
CD86
CASR
PARP15
DIRC2
CHST13
MCM2
KY
PIK3CB
GK5
PLSCR4
EIF2A
GPR171
KPNA4
PPM1L
SPTSSB

EXOG
WDR48
SLC25A38
ZNF621
TRAK1
FAM198A
TCAIM
KIAA1143
ZDHHC3
CLEC3B
LARS2
FYCO1
CCR2
SHISA5
PFKFB4
CELSR3
PRKAR2A
ARIH2
TCTA
NICN1
TUSC2
RASSF1
C3orf18
DCAF1
PARP3
DUSP7
ITIH3
ITIH4
CHDH
IL17RB
ERC2
FAM208A
APPL1
CADPS
MITF
CHMP2B
NSUN3
ST3GAL6
DCBLD2
RTN4RL1
RAP1GAP2
P2RX1
SMTNL2
MINK1
RNF167
WSCD1
PIMREG
MED31

PHF23
TMEM95
PLSCR3
TMEM256
NLGN2
ZBTB4
SENP3
KCNAB3
GUCY2D
HES7
VAMP2
BORCS6
ARHGEF15
MFSD6L
PIK3R6
NTN1
SCO1
ADPRM
TMEM220
LRRC75A
ZNF624
LLGL1
SMCR8
EVPLL
TBC1D28
ALDH3A2
LGALS9B
C17orf51
NOS2
TMEM97
TNFAIP1
TMEM199
SDF2
FAM222B
MYO18A
GIT1
CDK5R1
TMEM132E
SLC35G3
AP2B1
CECR2
KLHL22
CRKL
P2RX6
MAPK1
ZNF280B
GGTLC2
IGLL1

ZNF70
DDT
ASPHD2
KREMEN1
PES1
PATZ1
YWHAH
C22orf42
SYN3
GGA1
NOL12
H1F0
PICK1
KCNJ4
FAM227A
APOBEC3D
SYNGR1
MGAT3
MIEF1
TNRC6B
MKL1
SLC25A17
XPNPEP3
DNAJB7
L3MBTL2
TEF
TOB2
PHF5A
C22orf46
CENPM
NAGA
PHETA2
TCF20
CYB5R3
PACSIN2
SULT4A1
SHISAL1
GTSE1
PIM3
B3GALT6
UBE2J2
TMEM240
GABRD
TP73
CEP104
AJAP1
RNF207
HES2

VAMP3
RERE
SLC2A5
NMNAT1
KIF1B
TARDBP
AADACL3
PRAMEF5
LRRC38
RSG1
FBXO42
SPATA21
NECAP2
MFAP2
PADI1
RCC2
ARHGEF10L
KLHDC7A
MINOS1
UBXN10
SH2D5
HP1BP3
NBPF3
WNT4
C1QC
ZNF436
PITHD1
CNR2
CLIC4
RHCE
MAN1C1
EXTL1
LIN28A
SFN
GPN2
FAM76A
STX12
RPA2
MED18
PTPRU
LAPTM5
APLNR
P2RX3
SERPING1
YPEL4
MED19
ZFP91
PTGDR2

DAGLA
HNRNPUL2
ATL3
RTN3
MARK2
NAA40
NRXN2
RASGRP2
MAP4K2
RNASEH2C
KLC2
RAB1B
TMEM151A
BBS1
CCND1
FGF19
DHCR7
KRTAP5-11
NUMA1
ARAP1
ATG16L2
UCP3
P4HA3
SPCS2
RABL2B
DHRSX
ARSD
MXRA5
ANOS1
FAM9B
GLRA2
MAGEB17
TXLNG
REPS2
CDKL5
BCLAF3
CNKSR2
KLHL34
EIF2S3
ZFX
PCYT1B
MAGEB10
MAGEB3
CYBB
RGN
ZNF81
FTSJ1
PORCN

TBC1D25
RBM3
CCDC120
MAGIX
CLCN5
GPR173
NLRP2B
ARHGEF9
AR
YIPF6
FAM155B
DGAT2L6
SNX12
NHSL2
RTL5
ZDHHC15
RPS6KA6
HDX
SOCS7
MLLT6
NEUROD2
TCAP
ORMDL3
KRTAP2-4
EIF1
HAP1
FKBP10
NT5C3B
NKIRAS2
RAB5C
CAVIN1
NAGLU
PSMC3IP
RETREG3
AOC3
RUNDC1
RND2
SOST
UBTF
GJC1
CCDC103
KIF18B
ACBD4
FMNL1
ARL17B
OSBPL7
HOXB9
HOXB13

TTLL6
CALCOCO2
UBE2Z
PHOSPHO1
NGFR
FAM117A
PDK2
LRRC59
MBTD1
CA10
HLF
SRSF1
SUPT4H1
HSF5
PPM1E
VMP1
APPBP2
BCAS3
ERN1
PECAM1
RETREG2
DNAJB2
PTPRN
FAM124B
CUL3
TM4SF20
SLC19A3
FBXO36
SP110
SP140
CAB39
NMUR1
ALPI
DGKD
AGAP1
ASB1
NDUFA10
KIF1A
IL5RA
SETMAR
GRM7
SETD5
BRK1
VHL
TATDN2
HRH1
TAMM41
TMEM40

SLC6A6
METTL6
TBC1D5
RPL15
NR1D2
THR8
SLC4A7
ZCWPW2
PDCD6IP
CTDSPL
KPRP
SPRR2E
S100A14
SNAPIN
DENND4B
CRTC2
C1orf189
C1orf43
ATP8B2
UBE2Q1
CHRN8B2
KCNN3
ADAM15
EFNA4
EFNA3
TRIM46
HCN3
RIT1
MEX3A
PAQR6
SMG5
BCAN
SLAMF9
PIGM
ATP1A4
DCAF8
TSTD1
DEDD
ADAMTS4
TOMM40L
UHMK1
GPA33
CD247
RCSD1
MPZL1
ATP1B1
GORAB
PRRC2C

PRDX6
MRPS14
C15orf48
SLC30A4
COPS2
GNB5
CGNL1
GTF2A2
USP3
FBXL22
DAPK2
SNX22
OAZ2
KBTBD13
IGDCC3
CLN6
NOX5
NEO1
HCN4
PML
CYP1A1
NRG4
TMED3
ARNT2
SAXO2
FAM103A1
AEN
ABHD2
KIF7
PEX11A
AP3S2
ARPIN
UNC45A
PRC1
SLCO3A1
TTC23
HNRNPUL1
CEACAM7
CEACAM1
PLAUR
SMG9
TOMM40
PPP1R37
PPP1R13L
GIPR
PPP5D1
ZC3H4
SAE1

CCDC9
ZNF541
BICRA
CRX
FUT1
BAX
GFY
RRAS
SPIB
KLK10
ZNF808
ZNF160
ZNF765
MYADM
CACNG7
CNOT3
LILRB5
LENG8
APLF
BMP10
ADD2
TEX261
PAIP2B
SFXN5
RAB11FIP5
FBXO41
MRPL19
TRABD2A
TGOLN2
ELMOD3
GGCX
SFTPB
ATOH8
KDM3A
SMYD1
RPIA
STARD7
KANSL3
CNNM3
TXNDC9
AFF3
NPAS2
RGPD3
ST6GAL2
SH3RF3
LIMS3
LIMS4
ZC3H8

PAX8
DPP10
EPB41L5
TFCP2L1
TEX51
HS6ST1
CFC1
PLEKHB2
TMEM163
RAB3GAP1
MRO
MEX3C
MBD2
WDR7
ST8SIA3
ONECUT2
NARS
SEC11C
RAX
CDH20
BCL2
KDSR
CDH19
TIMM21
C18orf63
HSBP1L1
ODF3L2
BSG
CBARP
CIRBP
KLF16
SMIM24
RAX2
ATCAY
ZBTB7A
PLIN4
ARRDC5
UHRF1
PTPRS
MLLT1
CRB3
TNFSF14
ZNF557
INSR
PEX11G
ZNF358
LRRC8E
FBN3

NDUFA7
KANK3
ZNF558
YIPF2
RAB3D
HSPBP1
UBE2S
GALP
ZNF582
ZNF264
ZNF304
ZNF773
ZNF550
ZNF154
ZNF587
ZNF329
ZNF584
UBE2M
SNPH
SIRPB2
LZTS3
SLC4A11
CENPB
MAVS
MCM8
TMX4
MKKS
ISM1
OTOR
DSTN
KAT14
SLC24A3
CRNL1
RALGAPA2
ACSS1
HM13
FOXS1
TM9SF4
KIF3B
NOL4L
BPIFB2
BPIFA3
CBFA2T2
NECAB3
E2F1
DYNLRB1
TP53INP2
RBL1

MROH8
BLCAP
ADIG
DHX35
PTPRT
SRSF6
ZMIZ1
PPIF
LRIT2
GRID1
ADIRF
NUTM2A
KLLN
RNLS
PPP1R3C
SLC35G1
ENTPD1
OPALIN
TLL2
PIK3AP1
MMS19
UBTD1
C10orf62
ZFYVE27
DNMBP
HIF1AN
PAX2
TWNK
LBX1
BTRC
FBXW4
FGF8
LDB1
ELOVL3
CALHM1
NEURL1
SH3PXD2A
STN1
ADD3
DUSP5
GPAM
TRUB1
CCDC172
HSPA12A
SEC23IP
HTRA1
CHST15
LHPP

EEF1AKMT2
UROS
CLRN3
ANO9
IPO11
RNF180
CCDC125
SERF1B
FCHO2
BTTF3
ENC1
POLK
SV2C
S100Z
PAPD4
ZFYVE16
XRCC4
HAPLN1
LYSMD3
ARRDC3
RIOK2
RGMB
C5orf30
TMEM232
CAMK4
AP3S1
SEMA6A
LOX
SNX2
CSNK1G3
MARCH3
IL3
P4HA2
IRF1
HSPA4
TCF7
SKP1
CDKN2AIPNL
BRD8
GFRA3
CDC25C
ECSCR
ERC1
ADIPOR2
LRTM2
CCND2
C12orf4
KCNA6

CD4
ENO2
PHB2
RBP5
AICDA
ETV6
GRIN2B
ART4
PLCZ1
PLEKHA5
PYROXD1
KCNJ8
SOX5
BCAT1
ITPR2
FAR2
SLC2A13
PUS7L
ENDOU
KANSL2
CACNB3
DDX23
PRKAG1
TMBIM6
BCDIN3D
FAIM2
RACGAP1
ASIC1
RALGPS2
TOR1AIP1
TEDDM1
RGS16
LAMC1
SMG7
NR5A2
INAVA
KIF21B
PKP1
IPO9
SHISA4
SYT2
ADIPOR1
ZC3H11A
ETNK2
PPP1R15B
TMEM81
DSTYK
TMCC2

NUAK2
ELK4
RHEX
IL24
G0S2
TRAF3IP3
SERTAD4
LPGAT1
DTL
TMEM206
TATDN3
VASH2
PROX1
MARC1
DEGS1
LBR
ITPKB
GUK1
PGBD5
EXOC8
NTPCR
ACTN2
MTR
CHRM3
DIS3
LMO7DN
POU4F1
RBM26
GPC6
CLDN10
DZIP1
STK24
FAM155A
ABHD13
RAB20
PROZ
ATP4B
KLHL33
RNASE7
CDH24
HOMEZ
PPP1R3E
THTPA
DHRS2
CARMIL3
TINF2
AP4S1
NUBPL

ARHGAP5
NPAS3
CFL2
FAM177A1
SSTR1
FBXO33
MIS18BP1
KLHDC2
TXNDC16
FERMT2
FBXO34
PELI2
PPM1A
SIX1
IFI44L
PRKACB
SAMD13
SSX2IP
MCOLN2
CYR61
LMO4
GBP6
CDC7
SLC35A3
TMEM167B
KIAA1324
CELSR2
PSRC1
SORT1
UBL4B
CD53
DENND2D
RAP1A
BCL2L15
SIKE1
TSPAN2
MAB21L3
NBPF15
POLR3C
RBM8A
LIX1L
NOTCH2NL
NBPF12
CHD1L
NBPF14
OTUD7B
VPS45
CERS2

PSMD4
ZNF687
SNX27
AXIN2
HELZ
ABCA9
KCNJ16
KCNJ2
SLC39A11
SDK2
TTYH2
BTBD17
CD300C
RAB37
NAT9
RECQL5
SAP30BP
H3F3B
ACOX1
ST6GALNAC2
MXRA7
JMJD6
SEC14L1
TNRC6C
SOCS3
CBX2
TBC1D16
RAC3
RFNG
CSNK1D
WDR45B
RALBP1
RAB31
ESCO1
TTC39C
TAF4B
CHST9
RNF138
GALNT1
ELP2
TPGS2
RIT2
EPG5
C18orf25
PIAS2
GRM1
MYCT1
PRKN

CCR6
FAM20C
SUN1
COX19
IQCE
SDK1
FOXK1
WIPI2
FBXL18
ACTB
CYTH3
GRID2IP
ZNF853
C1GALT1
SCIN
ETV1
MACC1
ABCB5
CCDC126
OSBPL3
HOXA10
CREB5
PLEKHA8
ADCYAP1R1
PPP1R17
PDE1C
FKBP9
YAE1D1
PSMA2
DDX56
TMED4
PPIA
RAMP3
VSTM2A
GREM2
MAP1LC3C
ZBTB18
SH3BP5L
ZNF692
TMEM18
SOX11
YWHAQ
C2orf50
FAM84A
OSR1
DNAJC27
RAB10
ADGRF3

DPYSL5
SLC30A3
TRIM54
NRBP1
KRTCAP3
CCDC121
FOSL2
SLC30A6
CEBPZOS
CDC42EP3
HNRNPLL
C2orf91
COX7A2L
MTA3
EPAS1
PIGF
PUS10
WDR37
ADARB2
KIN
CELF2
ACBD7
TRDMT1
STAM
CACNB2
ABI1
PARD3
ZNF248
CXCL12
OR13A1
SYT15
LOC102724488
NPY4R2
MAPK8
SLC16A9
ANK3
RHOBTB1
NRBF2
LRRTM3
PBLD
TET1
HK1
LRRC20
SGPL1
C10orf105
PSAP
ANAPC16
MCU

PLA2G12B
HNF4A
TTPAL
KCNK15
TOMM34
WFDC5
WFDC13
NCOA5
PTGIS
SNAI1
TMEM189
PTPN1
ZFP64
TSHZ2
RAB22A
APCDD1L
STX16
NPEPL1
NELFCD
SS18L1
RBBP8NL
SLCO4A1
MRGBP
GID8
NKAIN4
COL20A1
PTK6
DNAJC5
PCMTD2
RBM11
HSPA13
OLIG2
IFNAR2
SLC5A3
HLCS
TMPRSS2
ZBTB21
KRTAP10-4
KRTAP10-12
GABRA4
SLAIN2
KDR
TMPRSS11F
TMPRSS11B
YTHDC1
MUC7
UTP3
GC

COX18
CXCL6
PARM1
THAP6
CXCL9
BMP3
CDS1
HSD17B11
DMP1
HERC6
PDLIM5
RAP1GDS1
EIF4E
ADH4
UBE2D3
SLC9B2
CXXC4
TET2
GSTCD
TBCK
CAMK2D
TNIP3
BBS7
TRPC3
FGF2
MAP6
GVQW3
ACER3
CAPN5
ANKRD42
PICALM
PRSS23
CTSC
MTNR1B
FUT4
KDM4E
JRK1
CASP1
GRIA4
EXPH5
POU2AF1
LAYN
IL18
DRD2
PAFAH1B2
JAML
SORL1
CRTAM

SIAE
NRGN
SLC37A2
PATE1
PATE2
CDON
DCPS
ST3GAL4
B3GAT1
KDM5A
RBM24
HDGFL1
NRSN1
GMNN
BTN3A1
BTN2A1
GABBR1
PPP1R11
TRIM10
GNL1
PRR3
AIF1
APOM
NEU1
C2
PRRT1
RNF5
GPSM3
HLA-DQA2
WDR46
CUTA
IP6K3
C6orf222
PI16
FGD2
PIM1
KCNK5
KCNK16
TSPO2
TREML1
TRERF1
BICRAL
PTK7
NUTM2G
TMOD1
TSTD2
ANKS6
NR4A3

ERP44
INVS
ZNF189
FSD1L
FKTN
PALM2
PALM2-AKAP2
AKAP2
TXNDC8
ZNF483
ZFP37
PRPF4
MEGF9
RAB14
RC3H2
ZBTB6
RABGAP1
MAPKAP1
ZBTB34
SH2D3C
ENG
PTGES2
DNM1
SLC27A4
MIGA2
USP20
FIBCD1
UCK1
GFI1B
GBGT1
ABO
FCN1
OLFM1
LCN10
LCN8
ENTPD2
SAPCD2
NRARP
NKAIN1
KPNA6
FAM229A
TMEM54
GJB4
ZMYM1
SFPQ
NCDN
THRAP3
DNALI1

CDCA8
POU3F1
HPCAL4
SMAP2
CITED4
CFAP57
TMEM125
SZT2
PTPRF
KDM4A
ST3GAL3
HECTD3
LOC110117498-
PIK3R3
NSUN4
MOB3C
TAL1
TTC39A
BTF3L4
SCP2
PODN
TCEANC2
CYB5RL
DHCR24
PLPP3
PRKAA2
ROR1
PDE4B
SGIP1
WDR78
WLS
SRSF11
ANKRD13C
LRRC53
ZNF791
PRDX2
DNASE2
CCDC130
C19orf53
C19orf57
CYP4F11
EPS15L1
NWD1
OCEL1
ABHD8
JAK3
ARRDC2
MPV17L2

TM6SF2
TSSK6
ZNF85
IGFLR1
ZFP82
ZNF260
YIF1B
MRPS12
PAK4
ITPKC
ACVR2A
RBM43
TANK
FIGN
COBLL1
CERS6
ATP5MC3
TTC30A
RBM45
OSBPL6
PDE1A
DUSP19
CALCRL
MFSD6
STK17B
KCTD18
TMEM237
ABI2
FASTKD2
PLEKHM3
PIKFYVE
ERBB4
TMEM169
MARCH4
PNKD
CTDSP1
TTLL4
IFITM10
TNNI2
C11orf21
RHOG
TRIM3
MRPL17
TUB
RIC3
ST5
NRIP3
SCUBE2

GALNT18
USP47
TEAD1
SPON1
UEVLD
METTL15
KIAA1549L
CAPRIN1
ELF5
SLC1A2
TRIM44
API5
PRDM11
LARGE2
CHRM4
ATG13
LRP4
NR1H3
AGBL2
FBRS
TP53TG3D
PHKB
LONP2
PAPD5
ADCY7
NKD1
DOK4
CSNK2A2
CA7
RRAD
CES3
C16orf70
TRADD
FBXL8
SLC7A6OS
NQO1
PDPR
TAT
MARVELD3
PHLPP2
ZNF821
WDR59
ZNRF1
MON1B
VAT1L
MAF
GAN
COTL1

KLHL36
USP10
ZNF469
APRT
CBFA2T3
DPEP1
CHMP1A
RFLNB
CRK
VEGFA
TMEM63B
SLC35B2
NFKBIE
TMEM151B
CLIC5
TNFRSF21
OPN5
CRISP1
ELOVL5
KLHL31
HMGCLL1
EEF1A1
SLC17A5
CD109
MYO6
MEI4
PGM3
TBX18
SRSF12
GABRR1
LYRM2
EPHA7
NDUFAF4
MMS22L
ASCC3
SOBP
SEC63
CEP57L1
PPIL6
METTL24
MARCKS
HDAC2
CALHM4
PLN
GJA1
CLVS2
NKAIN2
KIAA0408

SMLR1
AKAP7
MED23
PDE7B
GVQW2
AIG1
CALU
KCP
AHCYL2
MKLN1
PODXL
MTPN
TMEM213
KIAA1549
TTC26
UBN2
HIPK2
FAM131B
ZYX
PDIA4
ZNF282
ZNF783
ZNF775
GIMAP6
ATG9B
RBM33
NCAPG2
MCPH1
PPP1R3B
MSRA
SLC7A2
GFRA2
XPO7
DMTN
HR
BMP1
PDLIM2
CHMP7
LOXL2
ENTPD4
NKX3-1
DOCK5
PPP2R2A
BNIP3L
STMN4
PTK2B
ELP3
HMBOX1

RBPMS
SEC62
CLDN11
SLC2A2
TNFSF10
NCEH1
TBL1XR1
PIK3CA
TTC14
FXR1
DVL3
LRRC15
PIGZ
FYTTD1
ZNF141
SLC26A1
FAM53A
TMEM129
ZFYVE28
RNF4
C4orf50
GRPEL1
HTRA3
ACOX3
CLNK
CC2D2A
CD38
PACRGL
LGI2
SLC34A2
SEL1L3
TLR10
UBE2K
NPRL3
FAM234A
TMEM8A
FBXL16
SOX8
C1QTNF8
CASKIN1
ATP6V0C
SRRM2
FLYWCH2
ZNF597
NLRC3
VASN
DNAJA3
GLYR1

SEC14L5
ALG1
USP7
CLEC16A
LOC400499
SNN
RSL1D1
CPPED1
FOPNL
TMC7
COQ7
CLEC19A
GPRC5B
LYRM1
MOSMO
EEF2K
EARS2
UBFD1
DCTN5
PRKCB
ZKSCAN2
SBK1
ATXN2L
TUFM
CD2BP2
ZNF48
ZNF768
VOPP1
NIPSNAP2
PHKG1
CHCHD2
CALN1
NSUN5
RFC2
CASTOR2
RCC1L
POM121C
TMEM120A
YWHAG
GNAI1
SEMA3D
STEAP4
GTPBP10
CDK14
AKAP9
PEG10
PDK4
DLX5

SMURF1
PDAP1
GPC2
MEPCE
LRCH4
GNB2
AP1S1
SPDYE6
NAPEPLD
PUS7
CCDC71L
FOXP2
LSM8
FAM3C
SND1
FAM71F2
CPXCR1
FAM133A
TSPAN6
FAM199X
FRMPD3
DCX
ALG13
AGTR2
SLC6A14
UBE2A
ZBTB33
ZDHHC9
BCORL1
PHF6
RTL8B
ZNF75D
MMGT1
CXorf40B
MTMR1
GABRE
ABCD1
PDZD4
GAB3
MPP1
FUNDC2
NLGN4Y
HSFY1
HSFY2
MFSD8
SETD7
ELMOD2
RNF150

INPP4B
SMARCA5
MMAA
DCLK2
FAM160A1
ARFIP1
NPY2R
MAP9
RAPGEF2
TMA16
TMEM192
MSMO1
TLL1
PALLD
WDR17
TPPP
BRD9
LPCAT1
PAPD7
ADCY2
ANKRD33B
DNAH5
TRIO
FAM105A
NPR3
ADAMTS12
AMACR
PRLR
TTC33
C7
EMB
SLC38A9
PLK2
ELOVL7
GPHN
ZFP36L1
NUMB
ELMSAN1
PTGR2
BBOF1
RPS6KL1
TMED10
GPATCH2L
VASH1
IRF2BPL
VIPAS39
NRXN3
CEP128

TSHR
EML5
PSMC1
CALM1
RPS6KA5
FBLN5
PRIMA1
FAM181A
PPP2R5C
CINP
MARK3
TMEM179
FAM98B
FSIP1
GPR176
BAHD1
PPP1R14D
EXD1
MGA
TMEM87A
GANC
ZNF106
LRRC57
LY6L
MROH6
FAM83H
NRBP2
GPT
RECQL4
SPATA6L
PLPP6
CD274
FREM1
BNC2
ACER2
SLC24A2
IFNB1
ELAVL2
ACO1
BAG1
CHMP5
FAM214B
UNC13B
FAM166B
CCDC107
HRCT1
FBXO10
IGFBPL1

ANKRD20A2
PRKACG
TMEM2
C9orf85
PCSK5
GCNT1
FRMD3
C9orf64
SYK
SPTLC1
OGN
UBALD1
FAM229B
CDC27
STXBP4
FCGR3A
TMEM91
ACTR5
KLHL28
HUS1
TACR2
GATAD2A
ZNF451
PLIN2
R3HDM2
ABI3BP
GPR149
SEC22C
DHFR2
FADS2
CACNB1
CYP2A6
TLX2
MBD1
SLC44A2
SERINC5
SNX24
FAM129A
PTGS2
TIMM17A
AMIGO1
LPIN2
IFNAR1
SLC4A4
ARRB1
ZNF462
INPP5B
TNPO2

CYP4F3
AHI1
GSR
PIGG
NCAPG
SEPT6
FAM189A1
MYO1H
CCR5
ZBTB37
VSX1
EPB41L1
CBL
RIMS3
HOXC6
IL26
HAVCR2
TMEM170B
NCK1
TWF2
ATXN7
TUBA8
TIMP3
MCHR1
KCNAB2
UBE2L6
DPP3
KRTAP3-3
KRT19
TMEM198
PPP1R7
WNT7A
MRPS25
KCNJ9
ICE2
FOXI3
CCDC93
RASSF2
BPIFB1
ASIP
FRAT1
IKZF5
SCAMP1
EDARADD
SLITRK5
ZNF326
DBNL
CISD1

REEP3
ZNFX1
OPRL1
UBASH3A
ATP5MG
PHLDB1
GLB1L2
PRSS16
CRIP3
LRRC8A
ZMYM4
TIE1
ZSWIM4
DCAF15
SAA4
ZFHX3
SMARCD3
C8orf58
ESCO2
ASB7
CCNQ
LRP2BP
UBR7
NIPA1
NINJ1
SMG6
AKT3
CD40
CHRNB1
SNX11
ACTR1A
BTG2
PTBP2
DBT
FAM104A
UBE2G2
PRDM10
KIFC1
RPS10-NUDT3
NUDT3
ASTN2
CSMD2
USP24
ZNF382
GALNT5
PARVA
ORAI3
NOB1

GP5
LEP
ATXN3
GJA3
STAR
HHAT
RBAK
PGR
SRSF3
TMEM212
NSMCE1
ACVRL1
ACVR1B
PRR13
HOXC13
LACRT
TESPA1
DNAJC14
RPL41
ZC3H10
PAN2
STAT2
APOF
BAZ2A
SDR9C7
NEMP1
STAC3
GLI1
DTX3
MARCH9
EEF1AKMT3
CTDSP2
TBC1D30
TMBIM4
SLC35E3
YEATS4
RAB3IP
PTPRB
ZDHHC17
CDK17
RIC8B
PRDM4
DIAPH1
PCDH12
GRPEL2
ANXA6
FAM114A2
LARP1

ADAM19
THG1L
CLINT1
C1QTNF2
CCNG1
RANBP17
STC2
RNF44
N4BP3
RNF130
GFPT2
RREB1
RIOK1
EDN1
TBC1D7
FOXN4
MVK
NAA25
TRAFD1
LHX5
FBXO21
SUDS3
TMEM120B
KMT5A
PGAM5
ZNF10
ZNF268
GJB2
LAT52
SAP18
SHISA2
B3GLCT
CCDC169
SMAD9
UFM1
NHLRC3
DNAJC15
TPT1
HTR2A
ARL11
UTP14C
EIF4EBP1
ASH2L
ZMAT4
AP3M2
CHRN3
CHRNA6
EFCAB1

ST18
NSMAF
TTPA
MYBL1
SULF1
PI15
HNF4G
C8orf88
OTUD6B
ATP6V1C1
MAL2
ZHX2
ATAD2
FAM91A1
KCNQ3
TBC1D23
NXPE3
ZPLD1
ALCAM
IFT57
CIP2A
CD200R1L
CFAP44
ZDHHC23
UPK1B
TMEM39A
NR1I2
GSK3B
GPR156
ARGFX
WDR5B
HACD2
KALRN
UMPS
CNBP
TMCC1
TRH
ASTE1
ACKR4
RAB6B
SLCO2A1
IL20RB
ARMC8
ZBTB38
U2SURP
GYG1
RAP2B
ARHGEF26

ZNF197
CCR1
TMIE
PRSS45
PTH1R
PLXNB1
BSN
MST1R
SEMA3G
PDE12
MDFIC2
RYBP
HTR1F
CRYBG3
GPR15
NCBP3
ZZEF1
UBE2G1
ARRB2
PFN1
ZFP3
CTDNEP1
ELP5
FGF11
ATP1B2
TMEM88
SLC25A35
ZNF18
MYOCD
HS3ST3B1
CDRT1
DRG2
MFAP4
AKAP10
WSB1
SLC13A2
FOXN1
SEZ6
CORO6
SSH2
BLMH
CPD
RNF135
SUZ12
C17orf75
SLFN5
RASL10B
TAF15

ZNHIT3
TADA2A
MRPL45
DGCR2
C22orf39
TANGO2
DGCR6L
MMP11
THOC5
MTMR3
SEC14L6
HMGXB4
APOL3
DDX17
JOSD1
APOBEC3F
SEPT3
SMDT1
NDUFA6
PARVB
NUP50
ATXN10
FAM19A5
CCNL2
FNDC10
SLC35E2
DFFB
TNFRSF25
MAD2L2
KIAA2013
AADACL4
PRDM2
EFHD2
AGMAT
SRARP
FAM131C
ARHGEF19
SZRD1
PLA2G2C
MTFR1L
PAQR7
DHDDS
GPATCH3
KDF1
TRNP1
FAM46B
SESN2
PHACTR4

TMEM200B
ZDHHC5
BTBD18
CD6
RAB3IL1
BEST1
B3GAT3
BSCL2
CHRM1
SLC22A9
VEGFB
GPHA2
RIN1
SSH3
CLCF1
RAD9A
CARNS1
ALDH3B2
LRP5
PDE2A
RELT
KCNE3
POLD3
RNF169
SBF1
PLCXD1
GTPBP6
TLR7
RAB9A
ASB11
PIGA
CA5B
NHS
RAI2
PTCHD1
KLHL15
PDK3
SYTL5
CDK16
PIM2
KCND1
KDM5C
FAM120C
FGD1
APEX2
MSN
ZMYM3
CHIC1

SLC16A2
NEXMIF
UPRT
FAM46D
SH3BGRL
APOOL
CWC25
STAC2
GRB7
THRA
WIPF2
KRTAP1-1
KRT32
P3H4
KLHL11
GHDC
MLX
VPS25
RUNDC3A
MEIOC
PLCD3
ARHGAP27
TBKBP1
PNPO
SKAP1
SNF8
ABI3
KAT7
DLX3
MRPL27
COX11
TMEM100
C17orf67
TBX2
METTL2A
MAP3K3
SMARCD2
CFAP65
GLB1L
KCNE4
CCL20
SP100
EIF4E2
ATG16L1
ARL4C
ASB18
KLHL30
TWIST2

TRNT1
BHLHE40
LMCD1
BRPF1
CRELD1
NUP210
NR2C2
DPH3
UBE2E1
TMPPE
CRTAP
ARPP21
EPM2AIP1
PKLR
PMF1
ETV3L
FCRL5
CADM3
KCNJ10
PEA15
KLHDC9
UFC1
NR1I3
SPATA46
CCDC190
RXRG
UCK2
F5
CENPL
ZSCAN29
TP53BP1
PDIA3
CYP19A1
PRTG
GCOM1
C2CD4B
TLN2
PLEKHO2
RASL12
PDCD7
DENND4A
RAB11A
ZWILCH
IQCH
ANP32A
PAQR5
ARID3B
CPLX3

SCAMP2
MPI
SCAMP5
PTPN9
IMP3
SNX33
CSPG4
RCN2
LINGO1
PSMA4
CHRNA5
SLC28A1
CRTC3
MAN2A2
IGF1R
CEACAM6
DMRTC2
LOC390937
KCNN4
LYPD5
PVR
GEMIN7
NOVA2
IGFL1
CALM3
FKRP
DHX34
PLA2G4C
FLT3LG
RPL13A
KLK2
KLK9
SIGLEC5
ZNF836
PRKCG
TARM1
FBXO48
ANTXR1
MXD1
TIA1
NOTO
SMYD5
MOB1A
RTKN
MRPL35
RMND5A
CD8B
LOC100509620

DUSP2
SOWAHC
MALL
BCL2L11
TTL
SCTR
LYPD1
SPOPL
SKA1
FECH
KIAA1468
CCDC102B
CBLN2
CNDP1
ZNF407
SALL3
PTBP1
ARID3A
EFNA2
PCSK4
GADD45B
AES
CELF5
DPP9
VMAC
MCOLN1
RETN
MARCH2
ZNF414
ZNF317
PDE4A
ATG4D
QTRT1
KANK2
SWSAP1
SHISA7
ISOC2
EPN1
ZNF530
ZNF134
ZNF551
TRIB3
TMEM239
ADAM33
PROKR2
HAO1
BTBD3
SEL1L2

CFAP61
THBD
ZNF337
PDRG1
PLAGL2
SNTA1
PXMP4
CHMP4B
RALY
UQCC1
PHF20
SOGA1
SAMHD1
MANBAL
NNAT
VSTM2L
TGM2
ARHGAP40
NUTM2B
CCSER2
TNKS2
FGFBP3
KIF11
CEP55
FRA10AC1
FRAT2
ENTPD7
SCD
SLF2
ARMH3
HPS6
SUFU
ARL3
CNNM2
CASP7
PLEKHS1
ADRB1
ABLIM1
FAM160B1
EMX2
PRLHR
PLEKHA1
FAM53B
ADAM12
RIC8A
CDHR5
CEND1
ADAMTS6

COL4A3BP
F2R
DHFR
VCAN
ERAP1
MAN2A1
DCP2
TRIM36
PPIC
PHAX
PRRC1
CTXN3
IL13
KIF3A
CCNI2
C5orf24
PITX1
FAM13B
PSD2
NDUFA2
TEAD4
LTBR
CLECL1
CLEC1B
CREBL2
EMP1
H2AFJ
RERG
ARNTL2
MRPS35
SINHCAF
FGD4
ALG10B
IRAK4
SLC48A1
ZNF641
CCNT1
RND1
RHEBL1
SMARCD1
GPD1
METTL7A
LETMD1
SEC16B
ANGPTL1
FAM20B
LHX4
LAMC2

NMNAT2
RGL1
EDEM3
RNF2
ODR4
B3GALT2
RABIF
KISS1
SLC26A9
RAB7B
IL19
PIGR
FAM177B
FBXO28
WDR26
ENAH
CDC42BPA
TRIM11
TRIM17
RAB4A
TSNAX
DISC1
SLC35F3
HS6ST3
ARHGEF7
F7
TFDP1
RNASE6
SLC39A2
TPPP2
RNASE13
CHD8
SLC7A7
MRPL52
DHRS4
NOP9
CMA1
NFKBIA
DNAAF2
ARF6
TRIM9
AP5M1
MNAT1
TYW3
SLC44A5
GIPC2
PTGFR
ADGRL2

LPAR3
SH3GLB1
GBP1
LRRC8B
LRRC8C
RPAP2
EVI5
AGL
GPSM2
SARS
PSMA5
GSTM3
CSF1
AHCYL1
STRIP1
PIFO
PTPN22
CD58
TTF2
LOC105371242
C1orf54
ARNT
CDC42SE1
TNFAIP8L2-SCNM1
LYSMD1
SCNM1
TMOD4
CACNG1
PRKAR1A
CDC42EP4
KIF19
SMIM6
UNK
CDK3
SRSF2
USP36
TIMP2
ENGASE
BAIAP2
TMEM105
FAAP100
CENPX
FOXK2
THOC1
AKAIN1
GNAL
ANKRD62
GREB1L

RIOK3
ZNF521
DSC1
MAPRE2
RPRD1A
HDHD2
SMAD7
SAMD5
GINM1
LRP11
IYD
ESR1
IPCEF1
SNX9
SYNJ2
TULP4
AFDN
FSCN1
PMS2
RAPGEF5
JAZF1
WIPF3
SCRN1
KIAA0895
INHBA
UBE2D4
SPDYE1
POLM
NPC1L1
PURB
TNS3
KMO
EXO1
KIF26B
ZNF496
KLF11
LPIN1
FAM49A
SMC6
NT5C1B
RHOB
LDAH
CENPO
SELENOI
KCNK3
FNDC4
ZNF512
PPP1CB

CLIP4
YIPF4
STRN
GPATCH11
SRSF7
ARHGEF33
SLC8A1
LRPPRC
PPM1B
NRXN1
PNPT1
XPO1
OTX1
SLC1A4
AKR1C4
ITIH5
USP6NL
PROSER2
UPF2
CDC123
TMEM236
RAB18
ARHGAP12
ZNF365
MYPN
EIF4EBP2
MRPS16
MSS51
CAMK2G
JPH2
OSER1
SEMG2
SYS1
EPPIN-WFDC6
EPPIN
WFDC11
WFDC3
MMP9
ZNF334
CBLN4
FAM210B
RBM38
VAPB
GNAS
PPP1R3D
DIDO1
KCNQ2
SMIM11B

LOC102723451
LOC388813
CHODL
APP
MAP3K7CL
SMIM11A
C21orf140
CLIC6
DYRK1A
ETS2
BACE2
RIPK4
TRAPPC10
LRRC3
KRTAP10-1
NSUN7
GABRG1
OCIAD1
RASL11B
AMBN
RUFY3
CXCL8
CXCL1
CXCL13
SNCA
C4orf54
ELOVL6
AP1AR
NEUROG2
RPS3
GDPD5
TSKU
KCTD21
PCF11
CCDC81
FAT3
SRSF8
CNTN5
TRPC6
DCUN1D5
SLN
SDHD
ZW10
ZPR1
UBE4A
TMEM25
DDX6
DPAGT1

GRIK4
CLMP
PATE3
KIRREL3
TP53AIP1
BARX2
ADAMTS15
SNX19
MCUR1
CD83
FAM8A1
MBOAT1
SCGN
SLC17A2
TRIM39
PPP1R10
TCF19
STK19
TAP2
HLA-DMB
BAK1
TAF11
TEAD3
CMTR1
CCDC167
ZFAND3
SAYSD1
APOBEC2
TREML2
TREM1
TAF8
C6orf132
CCDC180
HEMGN
NIPSNAP3B
SLC44A1
C9orf152
MUSK
KIAA0368
SNX30
ALAD
RGS3
TMEM268
GOLGA1
ZBTB43
NAIF1
TBC1D13
SURF6

TPRN
ZCCHC17
FABP3
PEF1
IQCC
BSDC1
RBBP4
KIAA1522
AZIN2
GJB3
ADPRHL2
YRDC
SF3A3
EXO5
ELOVL1
IPO13
ATP6V0B
LRRC41
TRABD2B
SSBP3
PARS2
NFIA
KANK4
LEPROT
TCTEX1D1
FBXW9
RAD23A
NFIX
STX10
PRKACA
SYDE1
BRD4
TPM4
FAM32A
C19orf44
DDA1
MVB12A
MAST3
PGPEP1
TMEM59L
HAPLN4
ZNF486
ZNF429
CHST8
KIAA0355
SCGB2B2
PSENEN
PROSER3

ZNF566
ZNF569
ZNF793
ZNF780B
ORC4
RND3
TNFAIP6
LY75-CD302
B3GALT1
G6PC2
ABCB11
PHOSPHO2-KLHL23
KLHL23
GORASP2
ITGA6
RAPGEF4
HOXD10
HOXD1
CERKL
NEUROD1
WDR75
GLS
ANKRD44
COQ10B
ORC2
FAM126B
ALS2CR12
ICA1L
CYP20A1
PARD3B
CCNYL1
CPS1
ARPC2
CNOT9
ZNF142
WNT10A
CTSD
ART5
OR51E2
SMPD1
SYT9
CYB5R2
IPO7
AMPD3
RNF141
LDHAL6A
TMEM86A
CSRP3

NAV2
PRMT3
FSHB
DNAJC24
IMMP1L
PAX6
HIPK3
PAMR1
LDLRAD3
EXT2
TSPAN18
DDB2
FAM180B
TRIM48
ZNF689
ZNF629
ZNF720
VPS35
N4BP1
TOX3
IRX6
BEAN1
TERB1
CBFB
NOL3
KIAA0895L
DPEP2NB
SLC7A6
CDH3
HAS3
COG8
NFAT5
DDX19B
IST1
ADAT1
WWOX
RPL13
FANCA
SPIRE2
PRDM7
VPS53
FAM57A
PKHD1
TRAM2
LRRC1
RIMS1
SH3BGRL2
ELOVL4

PNRC1
GPR63
TSTD3
CD24
SLC16A10
HS3ST5
TSPYL1
FABP7
HEY2
HINT3
SAMD3
EYA4
ABRACL
VTA1
EPM2A
IRF5
NRF1
UBE2H
CHCHD3
CNOT4
DENND2A
WEE2
CTAGE4
ARHGEF5
NOBOX
ZNF212
WDR86
DPP6
INSIG1
CNPY1
RNF32
PRR23D1
PRR23D2
NAT1
TNFRSF10D
DPYSL2
ZNF395
KIF13B
PHC3
SLC7A14
ECT2
SOX2
KLHL6
THPO
ADIPOQ
TP63
OSTN
CCDC50

ATP13A4
LRCH3
LETM1
POLN
NSG1
STX18
TRMT44
ZNF518B
CPEB2
MED28
DCAF16
CCDC149
PI4K2B
RBPJ
KLHL5
KLB
SMIM14
LOC102723502
C16orf91
MRPS34
PDPK1
HCFC1R1
MTRNR2L4
SRL
SHISA9
TMC5
GDE1
CCP110
METTL9
USP31
SCNN1G
MAZ
SEZ6L2
SEPHS2
TMEM248
AUTS2
BCL7B
VPS37D
CLDN4
ANKIB1
CALCR
CYP3A4
LAMTOR4
GAL3ST4
SERPINE1
IFRD1
CAV2
KCND2

ING3
CPED1
WNT16
SYTL4
TMEM35A
PLP1
VSIG1
NXT2
CHRDL1
LRCH2
IL13RA1
ZCCHC12
CXorf56
XIAP
SH2D1A
SASH3
ARHGAP36
IGSF1
ZNF449
RBMX
LDOC1
MAGEC1
ZNF185
MAGEA1
MECP2
PRY2
PRY
SCLT1
C4orf33
EDNRA
CLCN3
CDKN2AIP
ENPP6
SLC25A4
SNX25
CCDC110
TERT
IRX1
C1QTNF3
SPEF2
IL7R
EGFLAM
RICTOR
SELENOP
PARP8
MOCS2
RAB3C
PDE4D

RAD51B
ERH
CCDC177
SRSF5
TTC9
DNAL1
VRTN
PROX2
JDP2
GTF2A1
STON2
KCNK10
KCNK13
UNC79
SYNE3
GSKIP
DLK1
TRAF3
CLBA1
GABRG3
KLF13
PGBD4
DISP2
CHST14
RMDN3
RTF1
PLA2G4F
MAF1
C8orf82
ZNF250
CBWD1
DMRT3
RIC1
ERMP1
MOB3B
TAF1L
NFX1
AQP7
UBAP1
CNTFR
DNAJB5
CD72
GLIPR2
TRMT10B
SHB
FAM122A
KLF9
TLE4

SLC28A3

ZCCHC6

IPPK

BICD2

FAM120AOS

ANEXO B - Lista gerada dos possíveis alvos para cada ferramenta de predição para o miR-1246 e interseção dos 118 genes alvos em comum às três ferramentas de predição de alvos.

TargetScan 7.2	miRDB	miRWalk 3.0	Interseção
FAM169B	FAM53C	NPVF	ZFP69B
GSG1L	C12orf71	RPGRIP1L	FAM53C
ZNF23	GLRB	SGCZ	FUT9
ZNF267	LENEP	KRT82	GLRB
ZNF83	FPGT	DRAM1	DMRT2
MEIS3	CREBL2	CLINT1	C15orf53
ZFP69B	QTRT2	RBM19	TNFRSF8
FAM53C	SLC12A2	WSB2	DENND2D
C12orf71	PLEKHB2	RNF122	METTL3
ZNF528	ANTXR2	ANK1	ADAT2
FUT9	MRPS14	RHO	CCNG2
ESM1	SCN3A	C3orf33	MSR1
ZNF273	ZNF425	GNAI2	REPS2
GLRB	RTKN2	RYBP	DYNC1I1
DSCC1	HECTD2	OR3A1	NHLH2
VIM	ANKDD1B	FLII	DUSP18
RQCD1	SEPHS1	POLDIP2	NDFIP1
TTC29	ISCA1	FAM222B	ZNF680
GNGT2	ADAT2	LUZP1	SKIL
EFHC2	COL6A6	CD6	DCX
SMCO1	MIER1	MAGIX	ZNF425
ZNF566	NDFIP1	EFTUD2	HECTD2
CCDC178	ATP2B1	HOXB3	CALM2
ZNF845	DYNC1I1	GATAD2B	GMNC
GLIPR1L1	MYOT	MEX3A	PLEKHB2
TRIM17	ELF5	KCNJ10	ZFP36L1
CREBL2	FAM45A	CASQ1	MIER3
OGN	TBCK	BNC1	KCNH8
DMRT2	KLHL14	MALL	LAMP2
PRPF18	KDM5A	ZFR2	KIAA0895
NFE2L3	EIF2AK3	ERBIN	SIAH3
SPAM1	PANX1	PPFIBP1	TCN1
RBM45	OPRM1	ABL2	CALB1
C15orf53	CNOT9	TMEM63A	LZTFL1
FKBP1C	ZNF888	TTLL7	IYD
PCBP2	TNFRSF8	ZNHIT6	PTAR1
TSACC	C15orf53	FAM212B	CHST9
MYOT	GMFB	PRKAR1A	CPLX2
CDO1	SORBS2	DSC3	DUSP3
HIST2H4B	HLF	ZSCAN30	PRLR
TNFRSF8	REPS2	PHF14	SLA
LAX1	DYRK1A	FAM228B	FAXC
DENND2D	HTR5A	ACBD5	HCCS
C19orf82	CEP126	GRIK1	ESRRG

ZNF627	ADAM22	KYAT1	PAPOLG
METTL3	TAF9B	S100PBP	DKC1
ZSCAN31	CDO1	DMBX1	TMEM33
ANKDD1B	RPL36A	TMEM61	PTGER3
ADAT2	LYPD1	PRKAA2	SCN3A
CCNG2	DUSP18	NWD1	WASF3
ZNF655	GPR85	ZNF91	PREX2
MSR1	ESM1	CD28	SRPK2
ARFIP1	ACE2	KIAA1549L	TMTc3
PMP2	DLG1	VAT1L	ZCCHC14
DUSP9	SLC38A2	ECHDC1	RAD9B
AL353791.1	SHISA9	ADAT2	SEPHS1
AC093802.1	MIER3	CYREN	SEPT14
HS3ST1	RAB14	CUL1	BCL2L2
C22orf42	DDX3X	PPP1R3B	HLF
RP11-181C3.1	SCEL	MSR1	TET2
FAM151B	ZCCHC14	NRG1	ANTXR2
FLG2	SGO1	IMPDH1	XG
FKBP1A	ZNF518B	TRIM2	PXK
REPS2	PSD3	GPX8	FGF14
RP11-552I14.1	TTC14	LRRC14	NRP2
BEND7	DUSP9	ADGRL3	PSD3
MIS18A	GRIA1	PCYT1B	VPS53
ZNF502	DMRT2	KRT74	NRG4
C17orf80	TNKS2	PTPRR	COL6A6
FAM153B	NFE2L3	ADTRP	METAP2
ZNF124	SYT16	RIMBP2	THR8
DYNC1I1	ZSCAN31	STARD13	SCEL
CYSTM1	ABI1	LCP1	SORBS2
ZNF225	SYN2	UNC5D	MARCH6
FAM45A	SMIM10L1	RNF170	MBNL3
CRADD	CALB1	TRAM1	SEMA6A
GDF2	TMEM33	KCNQ3	EDA
ZNF823	EML5	TMCC1	RASAL2
ZNF224	SLC28A3	B3GALNT1	ZNF514
CGRRF1	SORL1	SLC6A20	PSMA5
RTKN2	SLITRK4	CCDC51	FPGT
KRTAP19-1	ALDH7A1	AP2B1	STARD13
NHLH2	GOLGA1	CACNG2	MALT1
RP11-386G21.1	SLA	RERE	KDM5A
LUZP2	FGF14	SYF2	ERBB4
ZNF808	PXK	DTX4	ATRN
YAF2	ZNF267	CD5	RPS6KA6
DUSP18	HS3ST1	PGAP3	LRRC15
FAM214A	SDHC	SOST	AMMECR1
HIGD1A	BHLHE41	VGLL4	KLF8
ZNF420	UGGT1	KCNN3	CRIM1
CTD-2054N24.2	DENND2D	TRABD2A	OSBPL6

GLS2	TSTD2	TMEM150A	ARHGEF26
NDFIP1	OSBPL6	DPP10	GALNT15
ZSCAN29	SRPK2	TTLL9	EML5
EPC2	PSMA5	PCSK1	BACH2
AQP1	IFIT5	RGMB	PLEKHG2
FAM104A	CKS2	PRKAG1	ELMOD2
ZNF680	MAFK	DHH	ZXDB
SKIL	NUP153	C1orf21	RDX
CLEC4C	GAREM1	TAF5L	DLG1
LHFPL3	SGIP1	ENSA	SPATA6
ELF5	MIS18A	CELF3	UGGT1
MUT	C1orf141	DLGAP1	FMNL3
SPA17	ZBTB1	PAPOLB	LRP6
SLC35C1	PRPF18	OSBPL3	IP6K1
MSRB1	C1orf52	GHRHR	ANAPC16
CLVS1	TET2	ARL5B	PHC3
SYT16	TSPAN31	EIF4EBP2	GPR180
PLBD2	ZNF254	SULF2	ENTPD7
CCER1	FAXC	PTGIS	SEC63
DCX	STYX	ATP9A	ATF6
ZNF425	MSR1	BMPR1B	FZD5
BRCC3	MPZ	RPS10-NUDT3	LYPD1
ZNF561	CTNND2		PCDHA9
AC022431.2	MALT1	WDR78	CADM1
	ZNF816	ZNF93	ARHGAP29
ZNF30	ZNF697	ZNF461	CERS5
ZNF431	CFTR	ZEB2	
WDR77	BACH2	HBB	
HECTD2	ZBTB21	CTCF	
EIF4E	IP6K1	RSPO3	
CALM2	SIX4	FNDC3B	
CFTR	ARFIP1	KCNMB2	
FAM98A	PRRG4	ZMAT3	
INSIG1	KIAA0825	GP5	
FOXA2	APH1B	NCBP2	
RP11-664D7.4	PITPN1	LMLN	
	NDUFV3	GLS2	GSG1L
AC002472.13	THR8	ZNF680	
	DNAJC12	DCX	SLC25A13
GOLT1B	ATXN7L3	BCAP29	
GMNC	ARHGAP29	LONRF3	
FAM13B	KCNH8	ANKH	
RGS7BP	UBE2G1	NPR3	
RBBP9	CLEC4C	TTC33	
PLEKHB2	MRPS18C	FLVCR2	
CLLU1	GPM6B	CPSF2	
NRXN1	SKIL	SMU1	
RWDD4	TRIM17	DDX51	

AASDHPPPT	FMNL3	DCLK1
MED22	ZNF28	RAB11FIP1
B9D1	ERBB4	COL14A1
PYGO1	SH3TC2	HPS4
ZFP36L1	GSK3B	CRTAP
EHF	FERMT2	IL6R
MIER3	GYG2	GOLGA7B
EPYC	ZNF845	BNIPL
	PALM2-	
ZNF697	AKAP2	PREPL
KCNH8	SLC16A7	HRH3
UBXN2B	AKAP2	EIF4E
RP11-73M18.2	TBC1D4	PDGFD
ZDHHC20	LAX1	VPS53
ATF1	MARCH6	LGSN
ZNF41	LY75	BCL11A
CR769776.1	IL20RA	BTG1
NAT8	ARSJ	SLC28A1
LAMP2	CCNG2	BAK1
MRI1	MMUT	SORBS3
KIAA0895	TMEM184A	MMD2
TBX20	PIK3C2A	SMAGP
HTN1	ARHGAP24	SLC4A8
HOPX	BTNL9	KRT77
TMEM218	SFTPA1	ATF7
ZNF33A	AXIN2	HOXC11
PPP2CB	HCCS	HOXC10
SIAH3	PREX2	HOXC8
GPR139	SLC35C1	TESPA1
TCN1	CDKN2AIP	ERBB3
KLHL14	CYSTM1	CNPY2
ISCA1	THSD7A	RBMS2
AL603965.1	NRG4	ZBTB39
AL591684.1	CFAP61	ARHGEF25
ARL4C	AFF3	AGAP2
ZNF816	BEND7	MARCH9
C1D	SMCO1	CTDSP2
NDC80	CTSC	ATP23
MAP3K13	ZNF761	TBC1D30
RHOJ	BRWD1	HMGA2
CXorf27	WDR72	IRAK3
AC115618.1	CCDC178	CAND1
AP1S3	PIP4K2A	MDM2
PRELID2	CLASP1	KCNMB4
SLC28A3	C4orf3	RAB21
BPIFA1	ZNF714	ATXN7L3B
VPS45	WASF3	KRR1
GPR26	ZNF566	LIN7A

LYAR	MAP3K13	MGAT4C
PTH	TAB3	KITLG
FIGF	DKC1	DCN
TMEM130	VPS45	NDUFA12
CT62	FRK	METAP2
MC2R	GIGYF2	HAL
C3orf36	NHLH2	STAB2
ZNF814	DMAC1	RIC8B
FAM180A	AMMECR1	WSCD2
RCAN3	AUTS2	SLC25A2
FAM71C	ERO1B	KIAA0141
CLEC5A	PRR27	NDFIP1
MTRNR2L7	PAPOLG	SPRY4
C20orf26	STXBP5	FGF1
NCALD	ZNF570	C5orf46
ERO1LB	CRIM1	CSNK1A1
MCCC2	PCSK6	TCOF1
ACBD3	RAB22A	CD74
FHL5	RDX	MYOZ3
MITF	EPC2	MRPL22
JMJD6	GIMAP8	ADAM19
DYRK1A	C17orf80	EBF1
NCAPH	USP25	CCNLJ
RPGR	FZD5	ATP10B
CALB1	TMEM132B	UBTD2
PIP4K2A	RANBP1	NEURL1B
ZNF860	GOLPH3L	NKX2-5
TMEM253	CPLX2	CPLX2
PGBD4	TMEM132C	ZNF346
SLC18A2	MOB4	ADAMTS2
ZKSCAN8	FKBP1A	MGAT1
DIO2	CBX5	MYLK4
DLGAP1	LCOR	CDYL
PRRG1	GMNC	NRN1
SH3GL2	FBXO33	SSR1
FAM122B	NPFFR2	TXNDC5
HAPLN1	ERICH3	NEDD9
LZTFL1	ZNF547	TBC1D7- LOC100130357
TGM4	MED23	CMKLR1
RPE	NEGR1	SSH1
PRL	PTGER3	SVOP
RAP2C	SLC25A21	ANAPC7
GAS1	SPA17	RAD9B
ATP6V1G3	STARD13	ATXN2
C4orf26	SEMA6A	TRAFD1
MREG	CHST9	TPCN1
CFHR5	SPTY2D1	FBXO21

GDE1	ESRRG	NOS1
AC145676.2	FUT9	PRKAB1
URAD	DSCC1	GATC
B3GAT2	PSIP1	UNC119B
FAM8A1	ZNF431	P2RX7
IYD	LRRC15	KDM2B
PTAR1	AFAP1L1	MLXIP
FAM155A	MARK1	B3GNT4
EHD3	GALNT15	SBNO1
RP11-192H23.4	ZC3H10	RILPL1
RNF182	VPS53	RAN
CHST9	GDF2	ZNF26
OLFML2B	NRP2	ZNF84
RSPH3	OLFML2B	GJB6
C6orf201	CEP89	AMER2
ZNF321P	MCCC2	ATP8A2
C1orf27	ZNF502	WASF3
KIAA0196	ZFP69B	POLR1D
ZNF24	PCM1	CDX2
GRHL1	ZNF611	UBL3
EID1	ANKFY1	USPL1
STATH	ZDHHC20	N4BP2L1
TGIF2LY	NT5E	SERTM1
GCFC2	CDH2	SMAD9
TMEM261	PCBP2	FOXO1
AXIN2	TMTC3	DNAJC15
SHISA9	RASAL2	SLC25A30
ANKEF1	ZNF680	SIAH3
SOCS4	QKI	LRCH1
GCLM	ZNF426	FNDC3A
RPF2	GTF2I	CCDC70
HIST1H4H	RPS6KA6	NEK5
LRFN5	CFHR5	ADGRA2
DNAJB14	FSTL5	ADRB3
AKAP2	CEP104	BAG4
AKAP5	TCN1	LETM2
ZNF415	KLC1	FGFR1
NCOA7	ATP13A3	PLEKHA2
IQCA1	CDC73	NKX6-3
HIST1H3F	MEX3C	PLAT
FAM167A	PPP2CB	IKBKB
RNF39	HHAT	HOOK3
EREG	KCNAB1	PPDPFL
UBE2G1	RBM45	ST18
CPLX2	EDA	CA8
DUSP3	XK	ASPH
PRLR	DYNLL1	CRH
ZNF85	SETDB2	PREX2

SLC24A5	METTL3	TPD52
BTC	GPR139	ZNF704
METAP1D	PTH	CA1
CTXN3	EXOSC9	PSKH2
SLCO3A1	ERCC4	ATP6V0D2
TSTD2	GUCY1A1	RIPK2
C10orf129	CLPX	RUNX1T1
KIAA0355	PHC3	PDP1
F8A2	MATN2	VIRMA
F8A1	SCN1B	CCNE2
C11orf44	XG	TP53INP1
F8A3	SOCS4	GDF6
	ZNF816-	
GREM1	ZNF321P	SDC2
ALS2CR11	PRICKLE2	NCALD
HHAT	BBOF1	RRM2B
DDI1	NDUFA5	ANGPT1
ZNF583	LAMP2	RSPO2
IGJ	HCN3	TRPS1
NARS2	MARCH1	FAM83A
SLA	ENTPD7	HHLA1
KDELR3	ATF6	SLA
HTR5A-AS1	ARHGEF26	ST3GAL1
PALM2-AKAP2	PRLR	ZFAT
OR11A1	TMEM130	ARC
ZFP42	VCPIP1	PSCA
ZNF230	TRPM1	NXPE3
PARK7	ONECUT2	ALCAM
FAXC	ZNF808	BBX
XK	PHLDA1	NECTIN3
TPD52	PTAR1	SLC9C1
BHLHE41	GIT2	CCDC80
RPL31	SH2B3	SPICE1
AC093677.1	DOCK7	SIDT1
RNF141	CTXN3	TIGIT
CEP89	CD44	ZBTB20
AC069547.1	LRP6	IGSF11
CASP14	CXorf40A	ADPRH
SLAIN1	FAM71C	STXBP5L
SNRNP48	MGME1	EAF2
ESR2	SEC63	SLC15A2
KCNJ6	TEAD1	ILDR1
HCCS	GPATCH11	CD86
CCDC176	LHFPL3	KPNA1
FSTL5	DERA	PARP9
TRDMT1	NEK7	UMPS
SLC22A16	PARP14	HEG1
GPATCH11	RORA	SLC12A8

NUDT4	TMEM255A	RAB7A
ZIC3	FAM214A	PLXND1
CKS2	AFG1L	KY
FOXD4L6	YAF2	ARMC8
KTI12	TUSC3	NME9
ESRRG	ATRN	CEP70
SS18L2	SRSF8	SPSB4
FOXD4L3	METTL25	RASA2
ARL5A	CLEC5A	TRPC1
PAPOLG	CADM2	PAQR9
SFTPA1	KIAA0895	SLC9A9
PLEKHO2	ANAPC16	ZIC1
FLJ20373	TTC29	CPA3
ASPA	SNRNP48	TM4SF18
TBCA	FAM151B	RNF13
SCN3B	ELMOD2	SELENOT
NUPR1L	CD36	CLRN1
DKC1	ITGA1	PLCH1
MMP8	CALM2	ARL14
AC026703.1	SLAIN1	PPM1L
GOLGA1	ANTXR1	ACVR2B
MARCH1	PROM1	SCN11A
TMEM33	TICAM2	WDR48
PTGER3	CHN2	XIRP1
CALHM2	MYO16	ENTPD3
ZNF17	DRP2	ZNF619
ZNF726	PCDHA9	TRAK1
COLCA1	MBNL3	SNRK
MPZ	PRKCE	ANO10
STARD4	PLEKHG2	ZNF445
AL953854.2	CRADD	ZNF660
ARNTL	PEAK1	KIAA1143
ZNF664	JAM2	CDCP1
SSPN	PTCH1	LRRC2
	TMED7-	
SCN3A	TICAM2	PRSS42
RPS15A	MAN1A1	KLHL18
TUBGCP3	TACC1	PFKFB4
RWDD2A	DTNB	SLC26A6
C5orf64	METAP2	NICN1
ZC3H10	MBOAT2	IP6K1
ALG10B	GPR180	CAMKV
ZNF254	ZFP36L1	GNAT1
GMFB	IYD	C3orf18
WASF3	BRCA1	CISH
MOB4	ZNF514	DOCK3
PPEF2	BCAM	RBM15B
PREX2	CADM1	GLYCTK

ZNF256	HOPX	NEK4
HELLS	UCP2	ITIH3
SDHA	SIAH3	TKT
PRRG4	ADAMTS6	IL17RB
HFE2	SMG7	WNT5A
RAB18	POLR2M	SPATA12
MTRNR2L5	CMTM6	ASB14
ZCCHC6	ZC3H12C	KCTD6
TLL1	CFLAR	FAM107A
ZNF701	LZTFL1	SUCLG2
LSMEM2	GCOM1	MDFIC2
SRPK2	PRELID2	EIF4E3
TMTC3	KLF8	ROBO2
ARF1	RAVER2	RIOX2
FRK	TRMT9B	TLCD2
ZNF250	ZXDB	SMG6
DUS4L	DUSP3	MNT
PREP	SPATA6	NCBP3
SRRT	ENDOV	ATP2A3
RPS17	ZNF701	VMO1
UFL1	BCL2L2	SLC25A11
FAM183B	EIF4A1	SLC25A35
ZNF28	PMP2	PIK3R5
RPS17L	ZSCAN26	GLP2R
DLX4	SEPT14	GAS7
MICALCL	RAD9B	PIRT
ZCCHC14	SCN1A	LRRC75A
RAD9B	KCNS3	MPRIP
GSK3B	GNAO1	TOM1L2
SEPHS1	FAM20B	SLC47A1
SLC12A2	CERS5	KCNJ12
USP10		LYRM9
RNF125		MYO18A
MINPP1		CRYBA1
PAICS		TAOK1
NEK5		CPD
GPR12		RHBDL3
PARM1		SLFN13
HIST1H2AC		PEX12
PLGLB2		CCL3
KAT2B		SYNRG
PLGLB1		GAB4
CADM2		ADA2
C10orf90		CECR2
SEPT14		CRKL
RAVER2		GRK3
RNF11		TTC28
RFX4		MTFP1

AP3B2	SEC14L6
TAF15	PRR14L
NID1	YWHAH
NOXRED1	SLC5A1
SLC35B4	APOL6
NEK7	RBFOX2
NAT2	TXN2
CDC25A	FOXRED2
ZNF770	TMPRSS6
USO1	SSTR3
BCL2L2	PICK1
C10orf11	MAFF
	LOC400927-
SGK494	CSNK1E
ST8SIA6	FAM227A
KPNA5	SYNGR1
PIK3C2A	TOB2
SLC7A14	SEPT3
RINL	NFAM1
HSPE1-MOB4	PHF21B
BMP2	KIAA0930
RAD1	PPARA
LUM	TTC38
IFIT5	PEX10
KLRC4	KCNAB2
ZIM3	ICMT
EFTUD1	TNFRSF9
CCDC88A	SPSB1
RUFY4	LZIC
CLEC6A	UBE4B
PCDHB5	KIF1B
TMEM184A	TNFRSF8
CNOT11	PDPN
TMEM123	RCC2
ATOX1	PLA2G2F
HLF	LDLRAD2
C1orf141	CDC42
UNC13D	ZNF436
MFAP1	GALE
SLC25A48	HMGCL
TET2	SRSF10
TNFSF10	TMEM50A
PSORS1C2	DHDDS
C1orf162	HMGN2
SIGLEC14	GPR3
FKTN	EYA3
GDF11	DNAJC8
ADSS	LAPTM5

PRSS42	LRRC55
RGS6	P2RX3
NDUFA5	YPEL4
GKAP1	TCN1
LATS2	SYT7
ERCC4	MYRF
RP11-17M16.1	INTS5
ANTXR2	POLR2G
MSN	CHRM1
C17orf102	HRASLS5
XG	FKBP2
EIF4A1	MEN1
TNFSF18	EIF1AD
GMCL1	ZDHHC24
TGFA	MRGPRF
USP46	ANO1
ATG12	FAM86C1
ONECUT2	IL18BP
SC5D	LRTOMT
TMEM170B	PPME1
ZNF70	PGM2L1
GIGYF2	KCNE3
KCNAB1	XRRA1
VPS52	ARSA
HSPBAP1	PLCXD1
DAZ4	CRLF2
ANKFY1	P2RY8
PPP1R3C	XG
RORA	MXRA5
PROM1	TLR7
TBC1D4	TRAPPC2
PWWP2A	TXLNG
PSIP1	REPS2
PXK	RS1
GYG2	RPS6KA3
PIP5K1B	MAGEB3
IP6K2	GK
GOLPH3L	PRRG1
ALG10	CYBB
SETDB2	USP9X
SLC6A2	CASK
GPR161	CXorf36
CLINT1	RBM3
MAT2B	TIMM17B
C2orf68	TFE3
FLJ30594	CLCN5
NECAB2	IQSEC2
RS1	SMC1A

LILRA4	KLF8
PITPNM1	ARHGEF9
GDF10	MSN
FAM127C	OPHN1
RAB31	FAM155B
TMEM132D	IGBP1
EFHB	SNX12
GRAMD1C	NHSL2
FRRS1L	RLIM
VAMP1	P2RY10
CAP2	BRWD3
FBXO3	RPS6KA6
BROX	APOOL
DHX33	SOCS7
FGF14	EPOP
ZNF227	CISD3
GTF2I	IKZF3
MAGEA12	MSL1
N6AMT2	RAPGEFL1
PA2G4	WIPF2
RCN1	IGFBP4
PHF23	CCR7
GRIN2B	KRT26
AC008267.1	KRT20
PCBD2	KRT23
AC079210.1	KRTAP3-3
QKI	KRTAP9-8
TICAM2	KCNH4
CMTM6	RETREG3
GTPBP8	AOC2
MBNL2	PTGES3L
PLEKHG7	CCDC43
FGF13	ARHGAP27
NTN4	MAPT
GYS2	ARL17A
ZNF681	MRPL10
RAD51AP1	SP6
MGARP	COPZ2
RANBP1	CALCOCO2
BMP5	ABI3
BEGAIN	LRRC59
THSD7A	EPN3
GADL1	MBTD1
MED4	STXBP4
DUSP14	AKAP1
PTPRA	CUEDC1
ZFP2	SRSF1
WAC	RNF43

FAM13A	MTMR4
MAGEA3	SKA2
WLS	TBX4
HCN3	TLK2
SERAC1	TANC2
DTL	DCAF7
CHN1	MAP3K3
NRP2	STRADA
TM4SF18	CCDC47
ZNF525	DDX42
ARHGEF38	FTSJ3
SLC25A1	GH2
CBX5	SCN4A
TAF9B	SLC23A3
PCDH19	CNPPD1
TMEM132C	RETREG2
SLC17A8	DNPEP
CHRM1	ASIC4
CBX3	WDFY1
PCBP1	NYAP2
CDH2	IRS1
DAZ3	COL4A4
SEPT7	AGFG1
PBX3	FBXO36
TAP2	SLC16A14
CD244	GPR55
MYL2	ARMC9
ADAM22	TEX44
RAD54B	ALPI
E2F8	ARL4C
ZC2HC1C	AGAP1
CCNY	RAMP1
FKBP11	HES6
FAM20B	ASB1
TMED7-TICAM2	GPC1
KIAA0040	SNED1
HHLA2	GRM7
GRIA1	CAV3
PPTC7	SRGAP3
UBASH3B	CIDEC
EXOSC9	ATP2B2
C1QL3	IQSEC1
AMPD3	NR2C2
ANKRD33	MRPS25
HRNR	RBSN
RAB22A	METTL6
ZFY	GALNT15
SESN1	DPH3

NHLRC2	TBC1D5
LIG4	KCNH8
DAZ2	THR8
TMEM221	STT3B
CTD-2368P22.1	GPD1L
EDN1	FBXL2
GNAO1	UBP1
AC008394.1	PDCD6IP
PSD3	CTDSPL
ZCCHC5	RORC
SLC7A4	LCE5A
FCRL3	SLC39A1
ATP6V0B	TPM3
GIMAP8	C1orf189
HOXD13	UBAP2L
VPS53	CHRNB2
RAD51L3-RFFL	ARHGEF2
CAV1	PMF1-BGLAP
TBC1D31	BGLAP
CAMK2G	MEF2D
ZNF134	NES
SEMA3A	HDGF
SYT14	SH2D2A
DCAF17	ARHGEF11
MAGEA2	CRP
IL7	ATP1A2
H2BFM	DCAF8
MAGEA2B	CD48
GRIK1	TOMM40L
ADAMTS8	FCGR3B
PRKCQ	ATF6
APOBEC3F	C1orf226
KIAA1456	RGS5
SERPIND1	FAM78B
TCF4	POGK
DACH1	ILDR2
AKAP6	POU2F1
C9	DPT
ATP13A3	F5
POU2F3	ANKRD45
ZC3H12B	ZBTB37
SRR	KIAA0040
TSGA10	TP53BP1
ZNF518B	HYPK
TXLNA	FRMD5
TRIM25	DUOX1
ACADL	SLC30A4
CREG2	TNFAIP8L3

ITGB6	TMOD2
ATXN7L3	ICE2
GSX1	TLN2
CYP19A1	CA12
DRP2	SNX1
BRCA1	CSNK1G1
POLR2M	SPG21
STAM2	RASL12
MIB1	MEGF11
SLC16A7	GRAMD2A
VKORC1L1	PARP6
TBCK	ADPGK
PGR	C15orf59
RP11-625H11.1	PML
TNFSF13B	STRA6
ZDHHC15	CYP11A1
LAMP3	ARID3B
ZNF787	CLK3
AC009365.3	RPP25
TMEM215	NRG4
ANGPTL1	SCAPER
ZNF772	CIB2
DAZ1	ANKRD34C
RUSC1	KIAA1024
ADRB1	CEMIP
DENND1C	STARD5
NRG4	SAXO2
STC1	NTRK3
DYNLL1	ACAN
GPR50	PLIN1
ACE2	CIB1
POLA1	CRTC3
FBXW8	MAN2A2
ACTBL2	ST8SIA2
PRR11	RGMA
ETF1	MCTP2
PLD1	TTC23
COL6A6	CCDC97
JAM2	CEACAM6
RNF168	ZNF223
BRI3BP	CKM
MRPL27	PPP1R13L
EXOSC10	FOSB
COX4I1	RTN2
ASCL2	OPA3
KLHL6	EML2
GAPT	MYPOP
ZNF347	CALM3

RWDD2B	FKRP
MCTP1	C5AR1
DDX42	ELSPBP1
ASRGL1	CYTH2
MAFK	FUT1
PXN	NUCB1
PERP	DKKL1
MXI1	SLC17A7
PCYT1A	KLK7
MCIDAS	ZNF766
SOX2	ZNF415
SLC31A1	ZNF347
TMEM126B	CACNG8
ISX	SPRED2
KCTD7	CNRIP1
PABPC4L	ANTXR1
RGL3	GFPT1
METAP2	ADD2
CA2	CD207
THRΒ	CYP26B1
PEAK1	EXOC6B
DRAM1	SMYD5
MTMR9	FBXO41
PTER	MOB1A
TSSK1B	HTRA2
NT5E	C2orf68
SMEK2	SFTPB
KREMEN1	REEP1
PRNT	RPIA
MLANA	TRIM43
ERI3	CNNM4
SIAE	TSGA10
IDS	CHST10
ARPC5	RPL31
LSS	SLC9A2
MARCH8	POU3F3
PPP1R11	TGFBRAP1
DKFZP434E1119	LIMS1
ACAA1	EDAR
SCEL	RGPD6
SKP2	CHCHD5
ZNF470	PAX8
CENPH	PTPN4
FRMD6	GLI2
CD44	CYP27C1
RNF150	SFT2D3
NIPAL3	HS6ST1
NBEAL1	CFC1

ADIPOR2	FAM168B
HAL	SPOPL
CCDC38	GTDC1
SULT1C4	MYO5B
EBF1	SKA1
SGMS1	MAPK4
IQCK	DCC
AGL	C18orf54
RFFL	RAB27B
ITGA1	CCDC68
TEAD1	MALT1
POLR3B	CCBE1
POSTN	ZCCHC2
LYRM2	BCL2
SORBS2	CD226
PPAPDC2	SOCS6
ZNF799	ZADH2
CDH7	SMIM21
ZNF641	ZNF516
OPHN1	MBP
RGS17	HCN2
MARCH6	C19orf25
POU6F1	TIMM13
SULT1B1	DIRAS1
USP45	ZNF555
LRIT2	TLE2
ANO4	NFIC
ZNF587	PLIN5
IARS2	TNFAIP8L1
PLCXD3	FUT6
SLC24A2	MLLT1
AC140061.12	TNFSF14
PIRT	CLEC4G
RCBTB1	ZNF317
C21orf62	TYK2
KIAA1522	PDE4A
DSTYK	ELAVL3
CLOCK	RDH13
C20orf144	ZNF667
ING1	USP29
FLI1	DUXA
BEND4	ZNF549
RPGRIP1L	ZIK1
TPRG1L	ZNF154
AL590452.1	ZNF587
EFCAB13	ZSCAN18
TERF2IP	SRXN1
CDC73	ANGPT4

ANAPC1	SIRPB1
USP48	PDYN
SLC43A2	ZNF343
SPATA9	TMEM239
KRR1	TMX4
CDRT4	PLCB1
IRAK2	SEL1L2
SLC36A4	MACROD2
SEC22C	NAA20
ZKSCAN3	INSM1
FAR1	RALGAPA2
ONECUT1	FOXA2
GPALPP1	SYNDIG1
ZNF197	BCL2L1
C6orf211	PLAGL2
MAGEA1	CBFA2T2
ABHD14B	E2F1
ANKRD34C	PXMP4
GCSAML	CHMP4B
RSPO1	RALY
EIF2AK3	RBM12
STX16	EPB41L1
POLH	AAR2
VCPIP1	SLA2
GCLC	PPP1R16B
NAP1L6	ZHX3
TVP23B	PTPRT
FYB	RPS24
LEF1	ZMIZ1
REEP3	NRG3
MBNL3	C10orf99
PCDHB11	CDHR1
DOPEY2	LRIT2
MAGEA6	KLLN
ZNF143	ANKRD22
ICA1L	PCGF5
HCAR3	HECTD2
KIAA0391	SORBS1
NCAPG2	ZNF518A
SPOPL	OPALIN
CD58	TM9SF3
SEMA6D	PIK3AP1
PGM5	AVPI1
SPCS2	HPSE2
C7orf76	CNNM1
CHCHD5	DNMBP
DIEXF	CWF19L1
FZD3	BLOC1S2

GCOM1	KCNIP2
EXOC6	SUFU
INIP	WBP1L
MEIS1	NT5C2
TM2D3	INA
QTRTD1	SH3PXD2A
KRT20	ITPRIP
GLDN	ADD3
HCAR2	ADRA2A
DIP2B	ACSL5
KIAA1598	HSPA12A
BTLA	SHTN1
SEMA6A	VAX1
FBXL3	EMX2
KCNS3	FAM204A
ENPEP	ATE1
TRPS1	TACC2
PTPN1	DMBT1
ZZZ3	IKZF5
STRADA	GPR26
METTL7A	CHST15
C2orf69	CTBP2
FSBP	TUBGCP2
WBP1L	SIRT3
CYP24A1	SLC25A22
PRIM2	DIMT1
CXCL13	CWC27
TVP23C-CDRT4	SV2C
CYP2C18	F2RL2
CCDC19	ZBED3
ZNF829	WDR41
EDA	BHMT
TLR4	SSBP2
NLRP3	EDIL3
ZNF570	GLRX
CCNB1IP1	FER
CCDC82	TRIM36
FAM111B	ATG12
UBXN10	PRDM6
PYROXD1	RAPGEF6
NPFFR1	ACSL6
SCP2	PDLIM4
GRAMD2	SLC22A4
UVRAG	KIF3A
KRAS	VDAC1
STYX	TCF7
CCSER2	JADE2
PARP14	SAR1B

DCLK1	PITX1
SCAF8	FAM53C
RASAL2	EGR1
NUPL1	PCDHA1
RNF4	PCDHA2
BTBD19	PCDHA3
ANKS3	PCDHA6
RPA3	PCDHA7
POU4F1	PCDHA9
ATG10	PCDHA10
SRGAP1	PCDHA11
NAMPT	PCDHA12
PCDH9	PCDHA13
RPP14	PCDHAC2
ZNF304	ITFG2
HDHD2	CCND2
HIST1H3E	TIGAR
EMC2	SCNN1A
ARHGAP24	VAMP1
MPP4	LPAR5
NRM	EMG1
HAUS6	FOXJ2
NPY2R	CLEC4D
TSPYL4	CLEC4E
GOLGA6L9	MFAP5
ATF3	OLR1
CISD1	ETV6
GUCY1A3	LRP6
ZNF19	BORCS5
UPP2	GRIN2B
PPP1R16B	MGST1
ABHD17C	LMO3
P2RY13	AEBP2
ZNF514	SLCO1A2
LDB2	PYROXD1
MMP16	GOLT1B
PURB	SOX5
DDI2	BCAT1
SLFN5	SSPN
TIPRL	TM7SF3
GOLGA8G	IPO8
DOCK1	ALG10
ANGPTL2	GXYLT1
DNAJC24	TWF1
PLAT	DBX2
FAM196B	ARID2
ITGAV	HDAC7
PI15	ZNF641

PLEKHA2	CCNT1
TLK2	FMNL3
ASB7	TMBIM6
FERMT2	BCDIN3D
AP005482.1	GPD1
CCNT2	LARP4
ZNF625	SLC11A2
IL6ST	ASTN1
MUC4	BRINP2
UBE2V1	RALGPS2
ZBTB41	SOAT1
PSMA5	DHX9
CLPX	APOBEC4
FPGT	ODR4
GOLGA8J	DENND1B
AC104472.1	LHX9
TMEM154	ATP6V1G3
ZNF585A	PKP1
FCRL4	NAV1
ZNF773	SYT2
TACC1	RABIF
SH3RF2	FMOD
SLCO1B3	PREL P
ZMYND11	ATP2B4
STARD13	MDM4
ZBTB14	NFASC
AOX1	CNTN2
PRKAG3	TMCC2
CD83	NUAK2
MCPH1	LEMD1
ERLIN2	MFSD4A
SPTSSA	NUCKS1
MUM1	RAB29
SLCO4C1	SLC41A1
AP3D1	SLC26A9
SLITRK5	RAB7B
MOB1B	KCNH1
AGMO	LPGAT1
ZNF550	PTPN14
SHPK	KCTD3
TACSTD2	RRP15
TRPV1	C1orf115
NPY4R	SUSD4
NXPE4	CAPN2
MEFV	WDR26
ARCN1	CNIH3
ACPL2	LBR
CADM4	JMJD4

AC074091.13	WNT9A
KIF15	PGBD5
PANX1	AGT
PRDM10	C1orf198
GOLGA6L4	NID1
APOBEC3C	ERO1B
NUS1	HEATR1
RP13-996F3.5	PCDH9
C9orf69	KLF12
PEG3	SLITRK6
GOLGA6L9	GPC5
GPD1L	GPR180
CLASP1	CLDN10
GLP2R	ZIC5
SAMD13	NALCN
C10orf67	FGF14
AP001579.1	SLC10A2
UCP2	FAM155A
PPP2R3A	CUL4A
HNRNPA1	SLC7A7
ADAMTS5	PSMB5
ZNF569	CDH24
FAM135B	SLC7A8
MACROD2	PPP1R3E
LMO2	SLC22A17
MTR	NRL
ALG2	PCK2
TMEM55A	NFATC4
C5orf22	CBLN3
ZNF611	FOXG1
BDP1	AP4S1
CHRNB4	HEATR5A
BRPF1	EGLN3
ST3GAL3	CFL2
XKR4	SSTR1
CLCN4	KLHL28
SENP1	RPS29
C5orf28	VCPKMT
NPAT	TRIM9
ARID3A	FRMD6
GOLGA8H	DDHD1
SLC5A7	FBXO34
GOLGA8R	PELI2
KCNB1	TMEM260
GOLGA8F	DAAM1
MYH11	GPR135
CDC42EP3	PPM1A
CDS1	TRMT5

MALT1	TMEM30B
BRWD1	WDR89
KDM5A	MTHFD1
GOLGA8O	SLC44A5
MOB3A	SSX2IP
SPDYA	LPAR3
UNC5B	MCOLN3
ITGA5	LRRC8B
ERBB4	GFI1
ARMC10	TMED5
FOPNL	FNBP1L
GOLGA8I	BCAR3
GOLGA8K	EXTL2
SSUH2	VAV3
C4orf50	SLC25A24
CXXC4	AKNAD1
C11orf54	PSRC1
KLHL38	GNAI3
RCCD1	ALX3
NXPE3	PROK1
OSBPL3	CHI3L2
ANO3	PIFO
FAM46A	CTTNBP2NL
SRSF6	ST7L
NDUFA10	OLFML3
GOLGA8M	NRAS
KIAA1244	NHLH2
DCP2	VTCN1
AFF3	MAN1A2
TAB3	GDAP2
MOB1A	TBX15
SGCD	SEC22B
PRKAR1A	FCGR1B
ATRN	NBPF20
SERTAD2	LOC105371242
BTNL9	NBPF12
MAN2A2	PRKAB2
FIGN	FMO5
ABI1	LOC100996763
POC1A	MTMR11
IKZF5	MCL1
LEP	CTSK
KMO	SNX27
GRHL2	SLC16A6
EPAS1	CD300LB
ADH1B	NAT9
LMLN	TMEM104
MYO16	FADS6

ZBTB37	HID1
LPCAT1	SRP68
MAN1A1	PRPSAP1
LRRTM3	TMC8
SLC25A25	CBX2
LRRC63	TBC1D16
C14orf79	PCYT2
KIRREL	PYCR1
SLC39A14	MYADML2
ARSD	OGFOD3
FAM199X	B3GNTL1
TMX1	ADCYAP1
GOLGA8N	ZBTB14
RGS8	ARHGAP28
RAP1GDS1	NAPG
ATP2B2	GNAL
GOSR2	CEP76
PRKACA	RNMT
LIN7A	NPC1
FAM78A	DSG1
UBE2D2	RNF125
ZNF444	MAPRE2
ZNF385B	SETBP1
OPALIN	PIAS2
ATP6V0D2	SMAD7
RPS6KA6	SAMD5
LYSMD3	IYD
MED9	MTRF1L
FEM1B	GTF2H5
PIK3AP1	PLG
ZNF585B	RPS6KA2
SYPL2	TCP10L2
F3	FRMD1
C6orf106	PDCD2
CNGB3	C7orf50
COL15A1	EIF2AK1
ZCCHC24	UMAD1
MAPK1	SNX13
KLHDC10	HDAC9
CEP104	MPP6
GNA13	CYCS
EHHADH	HOXA3
RGMB	TRIL
SMG7	INMT
FKBP4	PDE1C
DHRS12	KIAA0895
SNAPC3	ELMO1
C11orf57	POLM

RRAGD	NPC1L1
C16orf45	ZMIZ2
TNFRSF10B	IGFBP3
ALDH16A1	VWC2
SAMD12	FIGNL1
LRRTM2	GRB10
ITIH6	KMO
CD160	CHML
MAP10	PLD5
RAB27B	HNRNPU
C8A	CNST
THBS2	SH3BP5L
GPR137C	ZNF692
TBC1D23	TMEM18
AP4S1	PXDN
C20orf196	NOL10
LUC7L2	ROCK2
HERC3	SMC6
STK38	MATN3
RAB3IL1	NCOA1
LRRC15	EFR3B
DAB1	DNMT3A
FAM49A	ASXL2
HMG20A	KIF3C
EYA1	RAB10
FBXO28	ADGRF3
GOLIM4	SELENOI
PAX8	KCNK3
TBR1	DPYSL5
GFRA4	KRTCAP3
ACVR1	ZNF512
PELI2	FOSL2
SLC35G1	SLC30A6
ZNF654	CRIM1
EPHA4	ATL2
TIMM8A	SLC8A1
ZNF616	PLEKHH2
UBE2Z	ABCG5
C7orf55-LUC7L2	
PDE11A	EPAS1
CDCA4	MCFD2
WT1	STPG4
TWSG1	CALM2
SLC2A13	SPTBN1
ATRX	PAPOLG
GOLGA6D	WDPCP
GRM1	DPH7
LIX1	DIP2C
	ADARB2

TMCC3	IL2RA
ABCD3	ATP5F1C
DNAJC3	CELF2
PPAT	CCDC3
ZNF10	FAM107B
SLC41A2	C1QL3
SPRY3	TRDMT1
FOXRED1	VIM
RAB3B	STAM
CLEC1A	PLXDC2
FAM133A	YME1L1
C2orf88	MPP7
SPRED2	ITGB1
EPHA7	CCNY
SEC14L5	GJD4
AMMECR1	RASSF4
TSPAN5	MAPK8
PRPH2	ARHGAP22
C1orf173	ERCC6
RNASEH1	A1CF
ARPC2	CISD1
SIX4	SLC16A9
NEO1	ARID5B
LACTB	ZNF365
AC021218.2	ATOH7
PKIA	SLC25A16
ZFAND4	CHST3
FRS2	MICU1
OR1L8	VCL
ATXN7L1	AP3M1
KLF8	KCNMA1
SKA1	HNF4A
NT5DC1	KCNS1
NLGN1	WFDC12
GRK7	SLPI
SLC6A4	NCOA5
BAHD1	TP53RK
VPS13B	STAU1
ZNF737	KCNB1
IMPG1	TMEM189
OPCML	ADNP
MAP3K1	TSHZ2
FAM19A5	PMEPA1
CD22	STX16
AFF4	CDH4
SLC38A2	GATA5
ADAM19	YTHDF1
EXOSC6	COL20A1

TMEM255A	CHRNA4
ZNF853	KCNQ2
ZNF101	ZBTB46
CRIM1	LOC102723996
TMEM182	SIK1B
ADCY9	HSPA13
TMEM248	APP
ZNF284	HUNK
SLC9A7	SYNJ1
SHOX2	C21orf62
PPP1R3E	ITSN1
SLC25A27	SLC5A3
ACSL4	HLCS
TMEM194A	SIK1
TEF	PDXK
RFC3	PFKL
MTPN	TRPM2
CEP128	PTTG1IP
SORL1	TMEM33
AGGF1	DCAF4L1
ZBTB21	GABRA2
DDX20	TEC
LACE1	CHIC2
HOXC10	SRD5A3
AGPAT4	BTC
DDHD2	ODAPH
RSF1	ANTXR2
RORC	RASGEF1B
ACSL6	CDS1
METAP1	MAPK10
LRP2BP	ABCG2
PPP1R9B	UNC5C
TRUB2	ADH6
OSBPL6	ADH1B
MCMDC2	DNAJB14
TNFRSF10A	EMCN
CCR9	UBE2D3
PHF7	TET2
HTR7	CYP2U1
SPATA17	PLA2G12A
USP13	RRH
NAPEPLD	SYNPO2
PDE4D	QRFPR
VPS33A	TMEM155
C5orf24	CCNA2
FCHSD2	KIAA1109
NKX3-1	ARRB1
NOX5	MAP6

PLAGL2	NDUFC2
NANP	GAB2
CHMP3	TENM4
SOCS2	PRCP
ARNTL2	RAB30
AR	ANKRD42
PTCH1	DLG2
ZFP1	FZD4
PIK3CA	RAB38
AQP7	CTSC
USP9Y	SLC36A4
RBM7	PGR
QPCTL	CEP126
ZNF200	YAP1
COG5	TMEM123
ZNF155	CASP1
BACH1	GUCY1A2
THEMIS	EXPH5
LIN54	C11orf87
KIAA1671	ALG9
ARHGEF26	C11orf52
GDAP1	DLAT
INPP4B	USP28
MOB3B	CADM1
AP3B1	PAFAH1B2
NPFFR2	CEP164
GALNT15	SCN2B
ANXA8L1	DDX6
SYT11	BCL9L
ANXA8L2	ZNF202
ANXA8	SIAE
ADAMTS18	HEPACAM
CHRNA7	TMEM218
ARHGEF6	CHEK1
RNF103-CHMP3	CDON
TTC31	SRPRA
PIGM	PRDM10
ENPP4	ADAMTS8
FBXO40	NINJ2
ZNF107	TPMT
TRIM9	SOX4
FBXO33	ACOT13
PRICKLE2	SLC17A2
ZMYM2	BTN3A2
TNKS2	BTN2A2
IGF2	BTN3A1
ZMAT3	BTN2A1
DENR	ZKSCAN4

DR1	ZSCAN26
ZNF462	ZSCAN12
KIF1C	ZSCAN23
SLC32A1	ATAT1
LBH	NRM
RNF144B	DDR1
ZNF568	C6orf47
PRKAA2	PPT2
PTPLB	AGPAT1
HTR5A	GPSM3
PHYHIPL	HLA-DQB2
MTOR	HLA-DMA
GLE1	DAXX
SYN1	GRM4
CHRD1	NUDT3
RXFP1	C6orf106
PRKACB	TAF11
FAM103A1	PXT1
ZNF813	RAB44
VAPB	FGD2
AL1117190.3	RNF8
ENOX2	GLO1
CLCC1	KIF6
HUS1	DAAM2
SNAPC5	TREML2
VSIG10	TREM1
TRPC5	MED20
RALBP1	ZNF510
FGD3	TRIM14
MBIP	STX17
CHST4	TMEM246
MEIS2	PPP3R2
ARIH1	NIPSNAP3B
CXADR	PALM2
TRMT1L	INIP
C11orf70	RNF183
PAPD5	RGS3
AUTS2	TMEM268
CD84	TNFSF15
RASSF6	PSMD5
EML5	PHF19
BHLHB9	LHX6
SLC38A4	NR6A1
ZNF660	CFAP157
C4orf33	LRRC8A
ZFP3	FAM78A
PCK1	TSC1
PHF6	QSOX2

GJA5	LCN8
LRWD1	NRARP
RYBP	NSMF
KIAA1715	NKAIN1
PRKG1	TXLNA
KCNQ3	BSDC1
ANGPT2	RBBP4
FCRL2	FNDC5
MSTN	SMIM12
ZNF235	PSMB2
KCNA6	STK40
ATE1	ZC3H12A
ZNF112	MEAF6
GPLD1	GJA9
ZNF460	HPCAL4
GCNT4	PPT1
TNNI1	ZFP69B
PAFAH1B2	RIMS3
SAMD4A	NFYC
KITLG	EDN2
PCMTD1	CLDN19
EMB	ELOVL1
ZFYVE16	SZT2
CNTNAP3B	B4GALT2
ZNF564	RNF220
STS	ARMH1
PDE2A	ZSWIM5
	LOC110117498-
BICC1	PIK3R3
VAMP7	PIK3R3
SLC25A36	MKNK1
ZNF169	CYP4A11
TRIP12	SPATA6
UBE2D3	TTC39A
ZBTB25	COA7
ZMYM4	SCP2
PAWR	LDLRAD1
FRMD3	CACHD1
GBP6	RPE65
CD109	PTGER3
C10orf111	FPGT
AIDA	TNPO2
FBXO48	RTBDN
VGLL3	ADGRL1
HEPH	ZNF333
RALGPS2	WIZ
TTC9	CYP4F3
LONRF2	RAB8A

GPR85	KLF2
DDX3Y	SIN3B
NUCKS1	DDA1
RAB14	SLC5A5
FAM120AOS	IL12RB1
NAALADL2	PGPEP1
HNRNPA3	ELL
ELN	DDX49
RRN3	SUGP2
CIAO1	ZNF493
F8	ZNF257
C17orf100	ZNF676
KANSL3	ZNF728
AVPR1A	ZNF507
FOXG1	CEBPA
HMGB1	SCGB2B2
PTCHD4	ZNF302
SLC4A4	CAPNS1
BACH2	ZNF585A
USP33	ZNF793
KSR2	CAPN12
EPM2A	SAMD4B
LGR4	ZFP36
UGT2B4	TIMM50
PLEKHG2	ZNF780B
ESYT3	ZNF780A
NEGR1	HIPK4
AKR7A2	ACVR2A
RASGRF2	ORC4
ZC3H12C	NR4A2
CLVS2	CD302
STXBP4	RBMS1
LPP	SLC38A11
RP11-366L20.2	XIRP2
RASAL1	PPIG
STARD5	GAD1
MTF1	DCAF17
RRM2B	MAP3K20
KLF3	SP3
ITGB8	LNPK
INHBC	HOXD4
CDYL2	HOXD1
PPM1E	PDE11A
CAND1	SESTD1
RNF19B	UBE2E3
CHAC1	CERKL
C11orf45	SLC39A10
RASGRP3	CFLAR

PI4K2B	TMEM237
ALDH1B1	BMPR2
HSPA4L	CARF
COX20	ADAM23
KBTBD4	FASTKD2
KLRC3	CCNYL1
TCEAL8	FZD5
C3orf72	PLEKHM3
EIF3F	ERBB4
PPM1L	VWC2L
SLBP	TMEM169
MAP3K7CL	USP37
ADD2	MOB2
LMBRD2	OSBPL5
UCHL5	PGAP2
PLEKHA3	RHOG
USP6NL	OR51E1
UBE2J2	TUB
MBOAT2	RIC3
SHISA6	NRIP3
ZC3H11A	IPO7
PARP11	MRVI1
ZNF436	PARVA
ZNF234	ARNTL
KCNMB3	NAV2
POLR1B	PRMT3
GDI2	LIN7C
SETD1B	METTL15
GSTK1	CCDC73
RSBN1	LMO2
ANGEL2	LRRC4C
TMEM189	TTC17
RABGAP1	HSD17B12
ZMAT4	EXT2
UBP1	TSPAN18
MYO3B	DDB2
RP11-385D13.1	SLC39A13
TMEM189-	
UBE2V1	CELF1
KLHL11	STX1B
ELMOD2	MYLK3
UBTD2	C16orf87
ANKAR	N4BP1
CRB1	ZNF423
TTC5	CNEP1R1
ZDHHC24	PAPD5
ITPR1	SNX20
ZNF45	BBS2

ARID4A	MT1G
SHROOM4	MT1H
GAS7	FAM192A
COL14A1	CIAPIN1
ADAM28	CCDC113
EPOR	SLC38A7
UHMK1	GOT2
KIAA1377	CDH5
PIGK	BEAN1
EZH1	TK2
NUP160	B3GNT9
AKR1C2	TRADD
FGFR2	FHOD1
EGLN1	TPPP3
F11	RANBP10
KCNA1	NUTF2
ZXDB	SLC7A6
ACVR1B	CHTF8
C11orf30	CYB5B
PLAG1	NFAT5
ZNF37A	NOB1
ELK4	WWP2
CCDC170	AP1G1
GUCA1B	LDHD
LPIN2	BCAR1
FUT11	CNTNAP4
STEAP4	MAF
CLMP	CDYL2
SLC1A1	GAN
TNKS	FBXO31
FNDC3A	SLC7A5
ZNF704	DEF8
SCN7A	DBNDD1
DMBT1	DOC2B
SEC62	RPH3AL
RABGEF1	RFLNB
PGPEP1	FAM57A
SLC48A1	MYO1C
TMEM132B	SLC43A2
DCAF12	C6orf223
PHLDA1	SUPT3H
HS6ST3	IL17A
SFT2D2	ICK
ZNF226	MLIP
GCC1	EYS
TENM1	MYO6
SCN1A	TPBG
PARD3B	PGM3

HIPK2	TBX18
RANBP6	FUT9
SH2B3	ASCC3
RDX	BEND3
SEL1L3	SOBP
GNPDA2	SEC63
HOMEZ	FOXO3
PARK2	TRAF3IP2
SPRY1	CALHM5
EIF4G2	CALHM4
VASH1	VGLL2
POU2AF1	CEP85L
BCL2	MCM9
UEVLD	HSF2
SYT6	CLVS2
METTL21A	TRDN
G2E3	RNF217
SMC1A	TPD52L1
MAGI2	KIAA0408
MAN1A2	TCF21
SCN8A	VTA1
MT1A	UBE2H
WDPCP	KLHDC10
CHKA	LRGUK
KCTD1	FAM180A
DPY19L3	DGKI
CTNNA3	UBN2
SEZ6L	KDM7A
TOR1AIP2	MKRN1
PHF13	TMEM178B
PTPRD	MTRNR2L6
ABHD2	CASP2
STXBP5	CNTNAP2
ITCH	ZNF786
NAA38	ZNF862
GAREM	AGAP3
PPARA	CRYGN
PKN2	RBM33
SOS1	SHH
COA5	RNF32
UBE2H	NCAPG2
ZNF615	ERICH1
GABRB3	XKR6
COLEC10	FAM167A
ANKRD33B	TRMT9B
PSEN1	DLC1
PAQR3	PHYHIP
IKZF3	SLC25A37

CREB5	ADRA1A
DNM3	STMN4
PHACTR2	CLU
ZNF286B	SARAF
ZNF468	MECOM
RANGAP1	PHC3
EMP1	PLD1
DARS2	NCEH1
L2HGDH	PEX5L
NCAM2	ATP11B
NCMAP	KLHL24
METTL8	THPO
NECAB1	TMEM41A
ZFHX3	TBCCD1
PAX5	ST6GAL1
RABL5	LPP
GFRA2	TP63
TSHZ2	OPA1
ZNF280B	CPN2
UBA5	LRRC15
RBM25	PPP1R2
EIF4E3	TFRC
CYCS	PIGX
DLG1	BDH1
RUNX3	LRCH3
IMPG2	ZNF141
ANKS1A	DGKQ
THBS1	FGFRL1
HELB	MAEA
UNC5C	UVSSA
LIMS1	TMEM129
ETS1	NSD2
LINC00346	RNF4
MTPAP	SH3BP2
MAML2	HTT
ZNF800	LYAR
PTPN11	EVC2
ANKRD34B	C4orf50
FOXJ2	PPP2R2C
GBP4	CLNK
C2ORF15	C1QTNF7
TMEM139	PACRGL
HHIP	CCKAR
LSG1	KLF3
KLHL42	RFC1
PALM2	PCSK6
CSGALNACT2	TM2D3
CREB3L2	JMJD8

STX6	BAIAP3
CSGALNACT1	NME3
RAB30	KCTD5
RASA2	CLDN9
BTN1A1	ZNF597
S100A7A	SRL
TANC2	TFAP4
TMPRSS11BNL	MGRN1
BMP7	C16orf71
SHE	ABAT
VWDE	USP7
FSD1L	RRN3
TNFAIP3	SYT17
CUL2	TMC5
PRKX	CCP110
DLG3	GPRC5B
RNF43	THUMPD1
PRRG3	DCUN1D3
PDE8B	VWA3A
CPM	CDR2
SOX9	HS3ST2
CLIP4	GGA2
FBXL4	HS3ST4
C10orf118	SBK1
NFIB	PRRT2
KIF3A	CD2BP2
PARP8	EGFR
BTBD7	VOPP1
CHRFAM7A	SEPT14
SNX30	SUMF2
HELZ	CRCP
FGD6	KCTD7
IRS1	CALN1
GRID2	TRIM74
REL	TBL2
ST8SIA2	CLIP2
B4GALT4	SPDYE16
SMYD1	RSBN1L
CALN1	PCLO
ANK2	SEMA3E
TET1	GTPBP10
VWC2	CYP51A1
PDGFRB	CALCR
APH1B	DYNC1I1
PGAP1	SMURF1
ANKH	CYP3A43
SPOCK2	TRIM4
SMC2	ZKSCAN1

CREBFZ	CNPY4
NUDCD2	CASTOR3
PAQR5	TRIM56
LZTR1	CUX1
PLD5	POLR2J
SCN2B	RASA4
TGFBR3	POLR2J2
CREBRF	NAPEPLD
NTRK2	ATXN7L1
SLC9A2	CCDC71L
FAM168A	NRCAM
SLC45A3	PNPLA8
AVL9	DOCK4
BRWD3	FOXP2
KIF26B	CAPZA2
LHFPL2	ST7
FAIM2	FAM71F1
UGDH	CHM
KCNH5	PCDH19
STON2	ARMCX6
ZKSCAN2	BEX4
SPATA6	MORF4L2
XPO5	FAM199X
HIST1H3B	NRK
PDE1C	TBC1D8B
NIPAL2	TSC22D3
ZNF562	MID2
ZNF578	AMMECR1
RP11-766F14.2	CHRDL1
PAIP2B	CAPN6
DSEL	TRPC5OS
TMEM117	HTR2C
SYT17	AGTR2
MANEAL	SEPT6
KPNA6	LAMP2
TNFSF15	MCTS1
GLTSCR1L	THOC2
SDC2	OCRL
LCOR	ZDHHC9
NPR3	FRMD7
ZIC5	MBNL3
TAF1D	GPC4
INSIG2	MMGT1
NFYA	SLC9A6
CCNJ	FHL1
OCRL	MAP7D3
ITGBL1	ARHGEF6
PTPLAD2	SLITRK2

FAM84A	CXorf40A
KLHDC7B	CXorf40B
C17orf85	HMGB3
MGAT4A	VMA21
GGPS1	CSAG1
REXO1L1	DKC1
ZDHHC22	MPP1
AASS	RAB39B
RUNX1T1	CLIC2
UGGT1	VAMP7
BIRC3	TGIF2LY
NRK	PCDH11Y
CSRNP3	MFSD8
CELF2	INPP4B
FER	MMAA
TAOK1	SLC10A7
PDGFRA	DCHS2
PLCB4	PLRG1
GRPEL1	MAP9
MPLKIP	GUCY1B1
AGO1	GLRB
KIAA1217	HPGD
MYPN	STOX2
NLN	ACSL1
SNX13	SLC25A4
ITGB3	LRP2BP
AIMP1	PDLIM3
DPH1	SORBS2
PDP2	ZDHHC11
MYEOV	C5orf38
ZKSCAN4	CMBL
DCTN5	MARCH6
KLHL28	DAP
COQ7	FBXL7
TPK1	CDH6
KIAA1009	GOLPH3
FMNL3	RAI14
IRAK3	DNAJC21
CLIC5	IL7R
SMAD4	GDNF
ZNF548	PRKAA1
BYSL	CARD6
ELK1	PLCXD3
CPSF2	TMEM267
PDAP1	EMB
FGF23	ITGA2
RHBDF2	SETD9
KLHL15	MIER3

PRELP	PDE4D
UNC5D	MAX
LARS	RDH12
C16orf52	DCAF5
PGM2L1	CCDC177
C1orf226	SLC8A3
COG6	SYNJ2BP
EAF1	ADAM21
SV2B	MED6
LONP2	MAP3K9
WNT2B	RGS6
HTR2C	DPF3
ZNF844	ZFYVE1
NAV1	ELMSAN1
KIAA0825	COQ6
LRP6	LIN52
FNIP2	ZC2HC1C
ADARB2	NEK9
C2orf43	GPATCH2L
TTC3	ESRRB
HOXB5	CIPC
ATP2B1	VIPAS39
RFX3	ISM2
MPEG1	NRXN3
EXOC7	TSHR
TRIM44	GPR68
UGT3A1	TRIP11
RBM47	SLC24A4
FCF1	SERPINA1
FOXL1	SYNE3
EIF2AK2	GSKIP
C2orf72	PAPOLA
ACVR2A	CCDC85C
SLC20A2	HHIPL1
MAP1B	WARS
CSNK1G1	BEGAIN
WDR6	TRAF3
CEP41	TRMT61A
AMER2	XRCC3
CCDC68	BRF1
KCTD16	TUBGCP5
ARSG	GABRG3
GPM6B	TJP1
NFIA	FAN1
ST8SIA1	OTUD7A
DIP2A	GREM1
KCND3	FMN1
SOAT1	CHRM5

JARID2	SLC12A6
TOLLIP	DPH6
RICTOR	BMF
DCPS	PLCB2
NKAP	CCDC32
CHIC1	GCHFR
KCNJ5	PPP1R14D
LNPEP	VPS39
TACR1	CCNDBP1
SLC6A1	GML
KIAA0513	TIGD5
TAS2R4	DMRT2
ZNF576	RFX3
GABRQ	PLPP6
SCAI	AK3
MSH3	ERMP1
CASD1	RANBP6
SETD3	GLDC
EXOC8	ACER2
RNF217	MLLT3
ZADH2	HACD4
SLC30A10	IFNA2
SUGT1	LINGO2
KIAA0922	NOL6
ILDR2	PRSS3
ARL5B	KIF24
ABCA12	PHF24
GNAQ	VCP
SRSF12	FAM214B
FDX1	GLIPR2
TRAK1	PAX5
STEAP2	ZBTB5
USP37	SHB
AGO3	PIP5K1B
CNOT6	FAM122A
P2RY2	PTAR1
ZNF286A	TRPM3
ZBTB39	TMEM2
SLITRK3	ABHD17B
MPP2	PRUNE2
EDAR	FRMD3
POMT1	NTRK2
PARVA	DAPK1
CCDC127	SEMA4D
MLLT3	MFSD14B
ZNF91	GABRG2
TMEM64	TRIM66
NOTCH2	TXNL4A

SPAG16	TRIQK
OTUD7A	ASAH2
GPR133	TMEM50B
PTPN4	AFF2
HYAL2	FAM160A1
SMARCE1	AMACR
NFASC	GRM6
FAM171B	ANKRD13A
H2AFJ	BRAP
WDR52	NECAP2
ARL13B	RABGAP1L
FAM83F	NR2F2
PCLO	MAP4K4
SPTY2D1	CPEB3
FAM178A	PLXNA2
MTHFD2	TMEM242
EXPH5	TMEM135
TTLL7	MAML2
MAF	HOXD9
MDGA1	ADAMTS17
HIPK1	TENM1
BICD1	TMEM255B
RCHY1	CD22
THUMPD3	HBEGF
VPS35	FYTTD1
CRCP	TMEM179B
MGME1	ADAL
PAK3	GLDN
EGR3	TMEM127
ZC3HAV1L	DACH1
TRIM58	PSMA5
LILRA1	GRID2IP
PLEKHM3	HSPA14
USP25	CCNG2
ANKRD6	OBP2B
MFN1	EEF1AKMT4
KIF11	MTMR12
FBXO32	PCDHB7
DSC1	TRIM26
ST8SIA4	PPM1H
ASTN1	HIGD2A
ABHD15	IL17RD
SLC9A1	MAGI1
SLC4A8	C17orf75
FANCF	RAD51D
GPC6	ZNF280B
MARCH3	ZNRF3
ADAM23	WNT4

ATF2	STS
CHD7	HCCS
MEF2C	GDPD1
SCML2	TIMP4
CYP7B1	PPIP5K1
SORD	ZNF772
ZDHHC23	IDE
FAM115C	PCBD2
ATP2B4	CEP350
NME6	SV2A
IP6K1	HELZ
FUBP1	SDK2
RIMBP2	CELF4
HS2ST1	DNAJC27
ZNF251	CD40
FZD7	TRPC6
FAM168B	DNM1
DHTKD1	OLA1
FAIM3	PAQR8
TGOLN2	SMO
CCDC125	CEP41
KRBA2	ZNF398
ZNF510	C16orf82
ARHGAP22	SRPK2
RBAK	LRRN3
MYOCD	C8orf33
CEP350	ANAPC1
FANCB	BROX
ZNF148	DDAH1
CHST11	SYPL2
KCNJ1	PIP5K1A
MAP9	DAGLB
SUSD1	CCDC126
CBX6	CRIP
RDH12	USP6NL
KCNJ15	PI3
CHST10	FBXW2
SP1	PRPF38A
CCDC77	C19orf47
ATP1B1	PARD3B
CAMKV	SPEF2
GABRG2	SIGMAR1
PPP1R12B	DCAF10
PDE10A	MPP2
AL590235.1	CAMK4
TULP4	EPHA10
TRAF3IP2	SCN8A
C6orf223	NR4A1

APPBP2	KRT71
TSPYL1	KRT73
EDA2R	KRT76
RP11-169F17.1	ZNF740
KIF27	SP1
SNX27	AMHR2
ARHGAP28	MAP3K12
ERO1L	SMUG1
IGF2BP1	ITGA5
ANKRD50	SMARCC2
HSPA9	PIP4K2C
ZNF793	B4GALNT1
ZNF547	SRGAP1
WWTR1	HELB
TUSC3	LRRC10
MME	BEST3
ARHGAP31	RAB3IP
SIKE1	PTPRB
RAD50	TMEM19
TIA1	TRHDE
SLC16A10	SYT1
RPS6KA3	PAWR
FAF2	TMTC3
ANKMY1	NUDT4
TNRC6B	PLXNC1
SYNPO2	ELK3
IRS4	SLC17A8
NSL1	DPYSL3
FAM126B	JAKMIP2
SRPK1	PDE6A
TIMP4	SAP30L
ACER2	HAVCR2
LMNB2	IL12B
TMED10	SLIT3
ARHGAP42	FAM196B
SOX6	KCNIP1
KIT	KCNMB1
GLIPR1	FGF18
LIPG	SH3PXD2B
CES3	STC2
ZDHHC3	CPEB4
CCDC71L	C5orf47
RBM3	HRH2
NUDT3	KIAA1191
PPP1R9A	FAF2
KPNA4	DOK3
VMP1	CANX
EPS15	GFPT2

TRIM33	DUSP22
UBE2V2	FOXQ1
SORCS1	FOXC1
ZNF708	SLC22A23
WDR26	TMEM14C
PRDM13	FAM222A
DBT	VPS29
ZNF33B	PPP1CC
LRRN1	NAA25
C4orf40	HRK
QRSL1	SRRM4
LMBR1	MSI1
EFCAB14	COQ5
ANKRD46	TMEM120B
APLF	SLC15A4
IL20RA	GJA3
CRIP1	GPR12
NF2	FLT1
RAB5B	N4BP2L2
STX7	RFC3
SRFBP1	COG6
LRRC8C	FAM216B
DGKH	CAB39L
HK2	DLEU7
POTEM	ATP7B
CEP170	UTP14C
ZKSCAN5	MAK16
ZNF263	KAT6A
ARNT2	TMEM68
SLC4A5	YTHDF3
POTEGL	PDE7A
WNK3	MCMDC2
KCNC1	OTUD6B
AP1G1	TSPYL5
KCNN3	LAPTM4B
KMT2D	GRHL2
PRND	SAMD12
ZNF25	EFR3A
PCDH7	AGO2
USP54	JRK
ETV3	MYH15
FAM84B	CD96
IL17RD	ZBED2
SP6	CD200
CACNA2D4	FBXO40
RFTN1	SEMA5B
C15orf52	KALRN
C9orf47	OSBPL11

SUSD5	KBTBD12
ELAVL3	COL6A6
KIAA1644	RAB6B
ZNF716	PRR23A
SLX4IP	U2SURP
SLCO1A2	GYG1
SOGA3	GPR171
XKR7	MBNL1
ROR1	RAP2B
KCTD14	ARHGEF26
PAX7	GPR149
NIPAL1	TRIM59
LYNX1	CCDC13
POMGNT1	TCAIM
MCC	ZDHHC3
FGF7	SACM1L
CCDC141	FYCO1
RNF165	PLXNB1
PLCB1	HEMK1
CDH5	TEX264
ZYG11B	RFT1
IGF1R	SELENOK
ZC3H6	ERC2
ROCK1	SLMAP
SPNS2	PXK
PKDCC	FOXP1
KIAA2022	ZNF717
CHTF8	VGLL3
COL4A3	EPHA3
ANK1	ZZEF1
APOL6	SCIMP
LIFR	DERL2
MFRP	ASGR1
ATP2B3	CTDNEP1
SNX29	YBX2
GLIS3	ZBTB4
ROBO1	CHD3
ZNF81	SHISA6
TAB1	HS3ST3B1
PRKCE	ZNF286A
PAPPA2	ADORA2B
CBX2	NCOR1
TAPBP	PIGL
SCD	ZNF287
TICRR	MYO15A
RPS6KA2	B9D1
SPIN1	SSH2
LRIG1	GOSR1

SRSF1	ASIC2
ANAPC16	FTCD
PODXL	LSS
CERKL	TMEM121B
DTNA	DGCR2
MRPS14	RTL10
PHC3	TXNRD2
MRPS30	UBE2L3
UBFD1	MAPK1
NCR3LG1	ZNF280A
ZNF175	GNAZ
PITPNC1	UPB1
ZNF207	KIAA1671
TSPAN31	XBP1
HDHD1	MTMR3
STK35	LIF
MAN2A1	SLC35E4
LAMC3	DUSP18
DPYSL3	GTPBP1
FYCO1	MIEF1
CACNA1D	EP300
PDPK1	L3MBTL2
DGKI	TEF
MICALL1	C22orf46
FAM126A	A4GALT
GPR157	WNT7B
AGFG1	TBC1D22A
GAB1	B3GALT6
ATP8A2	SLC35E2
SEPT6	NOL9
CCSAP	SLC2A5
DRG1	TARDBP
ZBTB16	CLCN6
TMEM242	FBXO42
RGS5	PADI2
CENPO	PADI4
EIF3L	TMCO4
ZNF638	PLA2G2D
TTBK2	CAMK2N1
HEBP2	CDA
ANKRD26	KIF17
TC2N	EPHB2
JHDM1D	CNR2
MRPL19	WDTC1
SH3BP2	TRNAU1AP
SATB2	GMEB1
CNIH1	PTGDR2
TEX22	SCGB1D1

BCL9	ATL3
WDR70	RTN3
ZNF652	MARK2
SLC25A21	FOSL1
AGPS	TMEM151A
PSMC4	BBS1
ZBTB40	SPTBN2
RILPL1	SYT12
SERBP1	KDM2A
ZNF471	FGF4
SLIT3	PDE2A
WFS1	SHANK3
SLC22A23	SHOX
TARDBP	BCLAF3
NUP153	PDK3
GPR180	ARX
AP5B1	RP2
PLXDC1	FOXP3
TMEM135	NUDT11
GNL3L	FAM120C
POGLUT1	ITIH6
NPHP3	ZXDB
CYP4F2	VSIG4
HSDL1	EDA
IFFO2	RTL5
TPRG1	SLC16A2
MAP3K9	ATRX
KIF20A	FBXL20
TAL2	ORMDL3
RPP40	KRT35
NFAT5	ZNF385C
NDFIP2	STAT3
WSCD1	ATP6V0A1
KPNB1	COASY
PPP1R3F	CNTNAP1
SLC25A45	TMEM106A
WNT9B	DUSP3
DNAJB4	ITGA2B
SPTBN2	GPATCH8
RUFY3	KANSL1
TNFRSF13C	GOSR2
TTL	NXPH3
EIF1AX	FAM117A
USP31	DLX3
DDX3X	HLF
UBXN7	MSI2
ZNF480	LPO
ATP5G1	APPBP2

RASSF9	PECAM1
PPARGC1B	SMURF2
NF1	COL4A3
HECW2	SP140
CLSTN2	ASB18
RPL22L1	PER2
NCAM1	IL5RA
PLA2G12A	BRPF1
HES4	SLC6A11
RPS6KL1	HRH1
UBOX5	GRIP2
SFMBT2	DCLK3
CBS	EPM2AIP1
NR5A2	TDRKH
ISPD	DENND4B
EIF5B	C1orf43
TCEA3	TRIM46
ENOSF1	ASH1L
PIANP	LMNA
TSLP	PMF1
PADI2	TSACC
POLR1A	FCRL5
PIAS2	FCRL1
FBXL20	VANGL2
MRRF	SLAMF6
DAAM1	CD84
ENTPD7	F11R
ZNF507	FCGR2A
CECR2	FCRLB
SMARCAD1	DDR2
METTL25	TADA1
CNDP2	SECISBP2L
RAB3IP	USP8
HEY1	FAM96A
SPG20	PLEKHO2
POU3F3	ANKDD1A
NACC2	DENND4A
ASXL2	PIAS1
C11orf58	ISLR
PPP2R2B	NEIL1
MTERF	SNX33
LPGAT1	ISL2
OXNAD1	PSTPIP1
SLC39A10	CHRNB4
ALDH6A1	RASGRF1
CALCRL	BTBD1
RPAP3	ALPK3
ZNF264	ABHD2

CMSS1	ARPIN
QSER1	PRC1
DNMBP	PSG8
MPRIP	PSG1
BTN2A2	PSG7
COPS7B	PSG4
WDR72	IRGQ
MAP3K2	CLPTM1
CTNND2	HIF3A
SDHAF1	PPP5C
CNOT2	PNMA8B
BMP8A	ZC3H4
MRE11A	ZNF578
CLMN	C1D
CDH6	PAIP2B
PLCL1	ACTG2
PRSS21	WDR54
TXNL4A	MAT2A
HEPACAM	MAL
LGALS8	MRPS5
POLR3A	TRIM43B
POLR3E	IL1RL1
SEC63	SH3RF3
USP49	ZC3H6
UBE2L3	RGPD8
DDHD1	TTL
NPM1	IL36B
SART1	MAP3K2
NABP1	UGGT1
TMEM108	SMPD4
RXRA	PLEKHB2
SLC7A11	LYPD1
NAALAD2	UBXN4
BMPR2	NXPH2
LARP4	ST8SIA3
C3orf18	SERPINB12
MINA	C18orf63
CMTM8	PQLC1
UBE2A	PLPP2
NOL9	OAZ1
RSL1D1	LMNB2
DDR2	CD209
ZMIZ2	COL5A3
FGF5	PPAN-P2RY11
ANXA11	P2RY11
SLC35D1	DNMT1
UQCRCFS1	KRI1
RPS23	EPOR

ATP5F1	GP6
ANO5	ZNF471
NIPBL	TCF15
ZNF223	RSPO4
C8orf46	SIRPB2
SCAND3	C20orf194
UTP23	ATRN
SLC25A33	SLC23A2
BACE1	GPCPD1
SH3BP4	PCSK2
TNS1	CST3
BEND3	DUSP15
ZNF512	CCM2L
ZNF500	GSS
PHLPP2	SOGA1
AMZ1	TGM2
RNF216	KIAA1755
FMN1	SLC32A1
ADAMTS19	POLR3A
CYP4F3	RGR
AKAP11	LDB3
CBL	PTEN
PTPRT	ACTA2
TSPAN11	IFIT2
B3GALT5	SLC16A12
DCAF4L1	PDE6C
KIAA1045	PI4K2A
SLC30A9	LOXL4
SLC16A2	ENTPD7
ZC3H13	SCD
MAMLD1	SLF2
HSPA12A	SEMA4G
FAM149B1	MRPL43
RAPH1	SFR1
MSI2	SORCS1
ZCCHC9	BBIP1
NKD1	JAKMIP3
SESTD1	RGS7BP
HSD17B12	SREK1IP1
OTUD3	NLN
RNF24	PIK3R1
SLITRK4	TNPO1
DGCR2	ST8SIA4
PIGN	SLCO4C1
EXOSC3	C5orf30
ATP9A	C5orf63
B3GALNT1	LYRM7
ST13	IRF1

SPATA33	SEPT8
PTBP2	HSPA4
PARG	DNAJC18
ARSJ	PFDN1
PCCB	PCDHA4
SHROOM2	PCDHA5
ABAT	PCDHA8
FAM204A	PCDHAC1
SOD2	NRIP2
SPRED3	DYRK4
TDRD6	KCNA1
SORT1	TNFRSF1A
USP8	RIMKLB
NUDT16	M6PR
C1orf50	MAGOHB
ADRBK2	SMIM10L1
CCDC50	DDX47
ARSB	H2AFJ
MGA	PLEKHA5
TIAM1	RECQL
PPIE	MED21
LDLRAD4	FAR2
CHDH	BICD1
ATF6	ALG10B
SUPT3H	ADAMTS20
GBA	ARF3
PHF14	ASIC1
SCARB2	CERS5
TRAF6	CSRNP2
BMP3	RASAL2
BTD	TOR1AIP2
TAF1B	TOR1AIP1
UHRF1BP1	QSOX1
ORC4	XPR1
PRKD2	KIAA1614
CENPA	LAMC2
EEA1	NMNAT2
MRPL17	COLGALT2
DDX52	TROVE2
RAB13	CAMSAP2
GAPVD1	KDM5B
FZD5	CHIT1
CNNM2	ETNK2
ZBTB8B	SYT14
ZRANB3	SERTAD4
DUSP2	NSL1
SNX1	TATDN3
ATP11A	PROX1

TTC28	USH2A
SH3PXD2B	ESRRG
EMC3	DUSP10
WSB1	CAPN8
ABHD6	TP53BP2
FGF2	ENAH
ZNF805	IBA57
GMPR	FAM89A
ZNF423	TRIM67
PSMC6	MAP10
FAM177A1	TOMM20
UBE2F	SCEL
CTBP2	MBNL2
ZNF473	RAP2A
NNMT	F7
PCM1	RNASE9
HSDL2	RNASE11
THAP1	SALL2
FEM1A	MMP14
DHX9	BCL2L2
BACE2	DHRS4
GNAL	DHRS4L2
RNASEH2B	PTGER2
TNIK	GPNAT1
PDGFD	ATG14
IPO5	AP5M1
SLC5A12	AKAP5
LYPD1	ST6GALNAC3
AC007375.1	ZZZ3
OMD	PRKACB
BUB1	SELENOF
SNTB2	GBP4
STAMBP	GBP5
SLFN12	BARHL2
SMAD2	ARHGAP29
GAN	AGL
MARCKS	TRMT13
NUP50	DBT
CCDC80	SLC30A7
MMS22L	S1PR1
ZNF446	SORT1
G3BP1	AMIGO1
ARSE	SLC6A17
SDHAF2	DENND2D
PACS1	WNT2B
ERCC6L	BCL2L15
DOCK5	BCAS2
KLHL5	SIKE1

UBE2B	FAM46C
VAMP4	REG4
ELOVL6	ANKRD34A
C14orf166	GJA5
CYP20A1	PDE4DIP
MAD2L1	ANP32E
TNFRSF11A	CDC42SE1
IRGQ	CGN
PCDHA7	MRPL9
TCHP	C17orf58
PCDHA5	SUMO2
PCDHA2	GRB2
PCDHA12	FOXJ1
PCDHA4	TEPSIN
PCDHA10	CCDC57
TMPPE	THOC1
PCDHA8	AKAIN1
ZNF780A	VAPA
PCDHA9	MC2R
DDRGK1	MIB1
SGIP1	ANKRD29
PCDHA6	TTC39C
PCDHA3	SS18
TYW5	CHST9
PCDHA13	DTNA
CA8	RPRD1A
FADS6	OPRM1
PCDHA1	IGF2R
PCDHA11	MRM2
KIAA1462	LFNG
PCDHAC1	FBXL18
TEP1	PMS2
GDAP2	ZNF12
C6orf203	TMEM106B
CENPC	FAM126A
ZNF417	JAZF1
UBA2	CREB5
RRP8	SCRN1
BID	MTURN
TCF21	CRHR2
N4BP3	ADCYAP1R1
ATG14	DPY19L1
PCDHAC2	AMPH
DSE	SUGCT
CALU	SPDYE1
PDGFC	NUCD3
RAB3C	ADCY1
UBE2T	DESI2

RALY	ZNF496
CXorf23	FAM110C
FAM69B	RSAD2
TFAM	ITGB1BP1
CDS2	ADAM17
SAMD8	C2orf50
TPST2	MYCN
KLF10	PFN4
TRIM24	MAPRE3
KDELR1	SLC30A3
WDR35	GPN1
SCIN	MRPL33
EARS2	FAM98A
KLHL4	FEZ2
NEK10	CEBPZOS
LIG3	CDC42EP3
C4orf32	GALM
ZNF622	SOS1
GTF3C6	THADA
HDLBP	FOXN2
C22orf29	CCDC88A
C10orf54	REL
MGST3	FAM161A
TFAP2B	SERTAD2
DCUN1D1	CEP68
C9orf41	ANKRD16
HJURP	GATA3
C14orf132	UPF2
XPNPEP3	SEPHS1
RMND5A	DCLRE1C
HNRNPR	MEIG1
ABCG2	ACBD7
DNAJC10	NMT2
SHANK2	WAC
GRK5	ZNF37A
COX18	OR13A1
MECP2	GPRIN2
TSKU	NPY4R2
EHD1	C10orf53
DLD	SGMS1
IPO9	LRRTM3
ZNF485	DDX21
RGP1	ANAPC16
NUF2	DNAJC9
FKBP7	MRPS16
SHC4	SEC24C
GINS3	DUSP13
OXSM	SAMD8

CHMP2A	JPH2
CNKS3R	SERINC3
CDH11	STK4
MYLK	SYS1
SNRPD3	WFDC6
ACTRT3	SNX21
ANKRD9	SLC12A5
ISCA2	ZNF334
STRAP	RBM38
IMP4	ANKRD60
PEX26	SOX18
MAPKAPK5	KRTAP19-1
MND1	CLIC6
WDR37	CBR1
IFT74	ETS2
MKKS	BACE2
FGL2	PRDM15
TXNL1	C2CD2
ZBTB11	LRRC3
ZNF780B	TSPEAR
FOXN3	RBM47
CTH	GABRA4
ZNF404	SGCB
CDKN2AIP	KIT
MIER1	GNRHR
OPA3	PRR27
ARHGEF5	THAP6
FZD1	CXCL10
MDFIC	CXCL11
AZI2	CNOT6L
C1orf52	ENOPH1
ZNF555	PTPN13
PDE12	MEPE
SF3B3	HERC6
ELP2	CCSER1
CDR1as	SMARCAD1
MAPK14	DDIT4L
TMEM168	CENPE
CYLD	PDE5A
RBM4B	SERPINH1
SLC35F6	LRRC32
STRBP	ACER3
TMBIM4	SYTL2
FANCM	PRSS23
OBFC1	GPR83
LRPAP1	SESN3
UQCRB	MMP8
CCDC90B	DCUN1D5

LYN	RDX
CYB5R4	NKAPD1
COL9A2	RBM7
POLDIP2	SIK3
ASTN2	SIDT2
RBFA	BACE1
SLC8A1	DSCAML1
PHF8	ARCN1
NSUN3	PHLDB1
CAPN7	VPS11
DNAJC30	HINFP
FAM179A	RNF26
WDR3	ETS1
CALCOCO2	IQSEC3
CHML	KDM5A
HACE1	ATXN1
FAM107B	KIAA0319
GRID1	HMGN4
FAM212B	ZNF391
MATN2	ZKSCAN8
SENP8	ZKSCAN3
AGPAT6	TRIM27
TGIF1	RNF39
TPR	HLA-E
SZT2	MUC21
DMD	HLA-DQB1
SIK3	TAP2
ABHD5	CUTA
BNC2	CLPS
DYRK2	MAPK13
RAP2B	PNPLA1
PLCG2	MDGA1
TACO1	USP49
RBM12B	CCND3
SLC44A1	DNPH1
AGTPBP1	ZNF318
KDM5B	ABCA1
TRMT10B	FRRS1L
SNRNP35	C9orf152
MAP4K4	ZNF483
CADM1	SLC31A1
RAB32	TLR4
TMEM200C	DENND1A
ANKRD28	NR5A1
TIPIN	ZBTB43
TFG	RALGPS1
HSBP1	FAM129B
SSR1	GLT6D1

PCDHB2	UBAC1
SLIT2	FAM167B
SULF2	KIAA1522
MARK4	YARS
YIPF4	AGO1
USP47	GRIK3
MCM4	CDCA8
AZIN1	SF3A3
DENND4A	MYCBP
KCMF1	SLFNL1
ACTG2	RIMKLA
SERINC1	TMEM53
SMU1	KNCN
ADAM10	STIL
GNPTG	RAB3B
RNF20	NFIA
ATG4D	AK4
ABI2	ANKRD13C
APEX2	ADGRE2
MRPS18C	OR7C1
MRPL3	EPHX3
PPP1R12A	BRD4
SCO1	IFI30
RFC5	POP4
RPAP2	FXYD7
SAR1B	PSENEN
CORO1C	ZNF829
NOL6	SPRED3
TPBG	PLEKHG2
COBLL1	CNTD2
SGPL1	CYTIP
DERA	LY75-CD302
RBM28	LY75
GTDC1	METTL8
ATP5G3	CYBRD1
APTX	SLC25A12
AHSA2	AGPS
ZNF668	OSBPL6
ACP6	ORMDL1
C6orf62	C2orf88
TRIP4	MARS2
PLA2G16	C2CD6
LRIG3	ICA1L
TBRG1	ABI2
ST3GAL6	NRP2
TM9SF2	MDH1B
PDCD6IP	ACADL
CYB5D1	IKZF2

EPPK1	SPAG16
VIL1	KRTAP5-2
ARHGAP29	IGF2
FRA10AC1	TSPAN32
ZCRB1	STIM1
RNGTT	OR56B4
CDK1	RPL27A
MRPL44	RRAS2
INPP4A	INSC
MRTO4	SOX6
SLC25A12	SAA2
ZNF280C	TMEM86A
BRE	PTPN5
G6PC3	SLC5A12
ACO1	PAX6
PTCD3	TCP11L1
PAK1IP1	FBXO3
CXorf38	ATG13
MORF4L1	ZNF785
CORO7	PHKG2
CAPZA1	RNF40
CEP68	ZNF720
AIG1	SIAH1
GSTM3	SALL1
VEZT	ADGRG1
FAM122A	ADGRG3
MED28	USB1
TSC22D2	CDH11
C15orf61	CMTM4
ALDH7A1	THAP11
EIF5A2	PLA2G15
FMO3	ZFP90
TJP1	HAS3
CLEC14A	HYDIN
TGFBR2	ZNF19
DYRK3	ATXN1L
RNF149	TERF2IP
VLDLR	NUDT7
CUL3	ZDHHC7
GNRHR	KIAA0513
CMC1	FAM92B
TMEM134	CYBA
C3	CBFA2T3
SCNM1	FANCA
MB	POLH
PNO1	SPATS1
TRA2B	CLIC5
BCL2L15	ENPP4

LMF1	CD2AP
ANXA4	TFAP2B
GALNT2	EFHC1
TMED3	ZNF451
NCKAP1	OGFRL1
MBD5	CD109
ADNP	SH3BGRL2
RBM22	FAM46A
AC005003.1	SYNCRIP
EXT1	PM20D2
SP3	UBE2J1
CD36	FHL5
DCTN6	FAXC
IST1	PNISR
COX16	CD24
CNTNAP3	AFG1L
TTR	CD164
PRR13	NKAIN2
CYR61	HDDC2
KIAA0930	L3MBTL3
FAM216A	EYA4
ZBTB20	PDE7B
C14orf23	MAP3K5
GTF2H5	SLC35D3
VGLL2	ECT2L
ACKR4	CALU
RBFOX2	TMEM209
BRMS1L	MEST
ZFP62	AGBL3
BCAS3	STMP1
FTO	ZNF425
CRP	ATP6V0E2
MCTS1	ANGPT2
TIMM10	FAM86B1
KNSTRN	FAM86B2
CYB5B	MICU3
DHX40	PSD3
FARSB	SH2D4A
TPCN2	SLC18A1
XPO4	NKX3-1
SLC36A3	CCDC25
SLCO1B1	HMBOX1
YTHDC1	SKIL
HLA-DOB	CLDN11
FKBP15	NAALADL2
MGAT4C	ABCC5
NT5C2	C3orf70
OGFRL1	DGKG

C12orf73	MASP1
CNNM3	TPRG1
ORC6	IL1RAP
OS9	FGF12
NBN	LSG1
GLYAT	UBXN7
CACNG2	DLG1
SLC2A9	SPON2
URB1	LRPAP1
DCC	TRMT44
HLA-DRB5	LGI2
CERS4	CERS3
MOBP	ALDH1A3
CTC1	FAM234A
TRDN	RAB40C
GABRB1	UBE2I
SPATS2L	MSRB1
HNRNPL	CREBBP
GPR22	NAGPA
DCUN1D5	CLEC16A
MSH2	PRM2
WDR33	LOC400499
DCAF10	SNN
AKR1D1	SNX29
C7	ABCC6
ALG14	GP2
XXYL1	AQP8
NCAPD3	MAZ
RPL5	RABGEF1
MRPL12	EIF4H
SH3TC2	SPDYE5
RP11-793H13.10	MAGI2
NUDT21	HGF
KIAA1468	RBM48
SNTG1	VPS50
ANKRD22	BET1
MASTL	PEG10
LRRC37A3	PPP1R9A
GOLGA6A	PTCD1
PON2	SPDYE3
NLRP9	FIS1
TG	POLR2J3
RNMTL1	NFE4
CYSLTR2	ARMC10
XRCC5	DUS4L
ATIC	CADPS2
SP140L	TGIF2LX
SLC10A6	RBM41

MALSU1	FRMPD3
OR7A5	ATG4A
NPFF	ENOX2
TSPAN14	MTM1
GOLGA6B	USP9Y
TSHR	JADE1
MT1F	PABPC4L
MAGEB10	MAML3
PTCHD3	ELMOD2
TMEM106B	RNF150
DBNL	ABCE1
PRH2	FHDC1
GPR65	GUCY1A1
RPL37A	RXFP1
KANSL1L	TLL1
FAM3C	MFAP3L
ITIH5	PLEKHG4B
TMED7	IRX4
RNF115	UBE2QL1
FAM162B	ADCY2
MLIP	SEMA5A
EBF4	FAM105A
DPH3	ZNF622
AVPI1	UGT3A1
HBS1L	EGFLAM
PARP2	DAB2
GPX8	C5orf51
KCNK10	HCN1
NRXN3	SNX18
SSTR2	CDC20B
MCM5	ELOVL7
GRWD1	CHURC1
ADCYAP1R1	PLEK2
ZNF607	TMEM229B
TLR8	ZFP36L1
NPHS1	SLC39A9
CSTF2T	SIPA1L1
PRPSAP1	DNAL1
VWA2	ENTPD5
PMVK	BBOF1
IL1RAPL1	AREL1
ENPP5	TGFB3
CCR7	ANGEL1
ARIH2	ADCK1
METTL24	STON2
CNBP	FLRT2
ZNF619	KCNK10
MED16	EML5

B3GAT3	FOXN3
EPS8	CLMN
PGLS	C14orf132
FHL2	HSP90AA1
RNF187	RCOR1
NDUFC2-	
KCTD14	BAG5
ABCD2	TMEM179
ATP1B4	POTEB3
USPL1	NIPA1
EPN1	CYFIP1
SYNCRIP	KLF13
ACACA	SPRED1
C18orf32	FAM98B
SOX17	BUB1B-PAK6
ZNF8	PAK6
SDHC	INAFM2
PLSCR1	CHAC1
NFE2L1	PLA2G4E
RCL1	SNAP23
GORAB	UBR1
SURF6	GLIS3
HPGD	SPATA6L
CNTNAP5	CNTLN
ANGPTL3	HAUS6
ACSM2A	KLHL9
RYK	UBAP1
ELMO1	MYORG
AKR1A1	CARNMT1
KLF2	RASEF
NFAM1	GAS1
PKHD1L1	WNK2
UBC	TRIM71
CDH19	STEAP3
ZNF626	TMTC1
KDM3A	MON2
TCN2	STAR
ZNF189	HGSNAT
DNAJC15	LZTFL1
MSL1	TMEM182
QSOX1	NXT1
SNAP25	RASA3
SFPQ	PKHD1
FOSL2	BACH2
SHC3	CCDC107
TBC1D9	SHISAL1
YAE1D1	AKAP17A
FECH	ZNF544

PBX1	USH1G
ERP44	PRCD
CHIC2	CES3
ACSM2B	CHST6
GHR	CD83
PLCXD1	LIMD2
ZNF843	RAD50
SLC17A2	SMAD2
SF1	IGF2BP3
C1S	CEBPG
C9orf114	GALNT13
SLC22A15	SOX2
PRMT7	TRPM6
FRRS1	UHMK1
CELF3	SNAPC5
ITGB1BP1	ZSCAN5A
CACNA1C	WDR35
GATA6	COX18
FUS	IFT74
SPTLC3	GALNT6
AHI1	LEMD3
ATP2C1	DYRK2
F5	E2F7
ARMC2	NT5DC3
FAM115A	KCTD16
ACTR10	SLC26A2
C4orf3	GPX3
UCHL3	SLC36A2
PCDH17	SLC36A1
MAML3	SLC34A1
NCF1	NHP2
CERS5	MAPK9
IRF2BP2	UBE3B
DUSP1	CUX2
COMMD9	MLEC
CCDC132	ATP6V0A2
ZNF763	AKAP11
ADM5	CPB2
SERPINB9	CDADC1
TTLL2	ERLIN2
LRRC40	DDHD2
TCTN1	PCMTD1
BSND	SDR16C5
IFIT1	IL7
HTRA2	RALYL
ZNF426	MMP16
SEMA4F	CALB1
VCAM1	ANKRD46

CPE	TMEM74
ITGB1	ENY2
PAM	PKHD1L1
TROVE2	NOV
CD59	FER1L6
GRIN2A	DZIP3
CBLN2	USF3
MMD2	SEC22A
NPC1	SLCO2A1
RABIF	LEKR1
KLHL9	MYRIP
ZNF367	ABHD5
ORC2	CELSR3
PIM1	DCP1A
SLAMF6	ACTR8
DPH7	ZFP3
EVC	ATP1B2
HOXA3	ZNF286B
TRIM56	FOXN1
GPR141	ABHD15
	RFFL
	SLFN5
	RNF215
	JOSD1
	TNRC6B
	DESI1
	FBLN1
	FAM19A5
	HES5
	THAP3
	ANGPTL7
	KAZN
	DDI2
	PLEKHM2
	FAM43B
	E2F2
	NR0B2
	TMEM200B
	PRG3
	MS4A4A
	BEST1
	SBF1
	MID1
	POLA1
	SUV39H1
	WNK3
	SPIN3
	EDA2R

PABPC1L2B
PABPC1L2A
ARHGAP23
SRCIN1
CWC25
MIEN1
KRTAP17-1
JUP
PSME3
GJC1
HSF5
CLTC
MARCH10
GNA13
NHEJ1
PID1
SP140L
ITM2C
KCNJ13
PPARG
EAF1
LINGO4
KPRP
FLAD1
TTC24
PIGM
NECTIN4
NOS1AP
BLZF1
EID1
ZNF609
DPP8
SMAD3
FEM1B
MYO9A
HMG20A
HOMER2
C15orf40
SV2B
AXL
KLK10
AAK1
STAMBP
ATOH8
RMND5A
ZNF514
COA5
MGAT4A

CREG2
TFCP2L1
ARHGEF4
LCT
MBD1
ME2
SERPINB5
DOK6
FEM1A
FUT5
NDUFA11
DENND1C
ADGRE1
CLEC4M
ICAM4
DEFB126
SIGLEC1
MAVS
ACSS2
PAPSS2
SLC25A28
TAF5
WDR11
POLK
ARSB
JMY
ATP6AP1L
LIX1
SEMA6A
KDM3B
USP5
FAM234B
STK38L
SLC2A13
SLC38A1
AQP2
RGS8
PPP1R12B
KLHL12
KCNK2
CHRM3
ABCC4
IRS2
METTL3
STXBP6
STRN3
NPAS3
BRMS1L

GPR137C
RHOJ
ZBTB1
HS2ST1
FAM102B
WDR77
NOTCH2
ZNF687
FAM20A
EXOC7
PDE6G
GAREM1
RSPH3
HOXA13
GPR141
H2AFV
KIF26B
GCSAML
ASAP2
NT5C1B-RDH14
WDCP
CENPA
LCLAT1
ZFP36L2
SOCS5
EML6
AFTP
KLF6
SUV39H2
ST8SIA6
CREM
SYT15
PKIG
SLC13A3
NCOA3
SPO11
VAPB
NCAM2
BEND4
TXK
UBA6
EREG
PARM1
HNRNPDL
GPAT3
DMP1
HERC3
METAP1

ARHGAP42
CWF19L2
DIXDC1
NXPE1
PCSK7
NECTIN1
POU2F3
STT3A
PATE3
RPUSD4
RNF182
DTNBP1
RNF144B
E2F3
CDKAL1
PSORS1C2
EHMT2
PBX2
SCUBE3
FKBP5
CLPSL2
PIM1
BTBD9
CDC14B
RAD23B
TXND8
SNX30
BSPRY
COL27A1
MRRF
KPNA6
HECTD3
POMGNT1
CYP4A22
SLC35D1
IL12RB2
ERICH3
CYP4F22
CYP4F2
UNC13A
RBM42
RPS16
GCA
SCN3A
KLHL41
HOXD13
ALS2
ICOS

INO80D
MRPL23
SYT9
MICAL2
CALCA
LUZP2
CCDC34
FBXL19
PDP2
DDX19A
SF3B3
CMIP
ZCCHC14
RPL13
C17orf97
RUNX2
HTR1B
ME1
SMIM8
LYRM2
MAP3K7
HBS1L
FAM131B
OR2F1
ZNF212
ZNF783
ABCF2
DPP6
CSMD1
AGPAT5
CTSB
BMP1
POLR3D
ADAMDEC1
PPP2R2A
PURG
WRN
NLGN1
USP13
LAMP3
GMNC
HRASLS
XXYLT1
SEPSECS
PAQR4
ZNF75A
MPV17L
YWHAG

DLD
DCX
AMOT
GRIA3
XIAP
ADGRG4
LDOC1
PLXNA3
CMC4
LARP1B
PGRMC2
SETD7
RAPGEF2
TMEM192
PRLR
RPL37
CHURC1-FNTB
FNTB
RAD51B
GPR65
ATG2B
DLK1
PPP1R13B
NSMCE3
CHRFAM7A
CHRNA7
ARHGAP11A
RASGRP1
C15orf53
CCDC9B
ZNF696
ZNF250
PTPRD
SH3GL2
CHMP5
UBE2R2
LOC730098
FAM205C
FBXO10
RORB
PCSK5
TLE4
SPIN1
